

深耕人工智能领域10余年的资深专家撰写
用日常奇观拆解具身智能的全部秘密

INTERESTING
EMBODIED INTELLIGENCE




妙趣横生的 具身智能

李昂 王庆先
◎ 著

全书超200张漫画，让硬核科技，变得妙趣横生

跳出“智能只在大脑”的误区，从达·芬奇解剖手稿到
蟑螂无脑逃生、章鱼触手会“思考”，解锁“身体里的智慧”

 机械工业出版社
CHINA MACHINE PRESS

INTERESTING
EMBODIED INTELLIGENCE

深耕人工智能领域10余年的资深专家撰写
用日常奇观拆解具身智能的全部秘密




妙趣横生的 具身智能

李昂 王庆先
◎著

全书超200张漫画，让硬核科技，变得妙趣横生

跳出“智能只在大脑”的误区，从达·芬奇解剖手稿到
蟑螂无脑逃生、章鱼触手会“思考”，解锁“身体里的智慧”

 机械工业出版社
CHINA MACHINE PRESS

版权信息

COPYRIGHT

书名：妙趣横生的具身智能

作者：李昂 王庆先

出版社：机械工业出版社

出版时间：2026年03月

ISBN：9787111802556

字数：141千字

（本书fen享搜索’雅书）

| 内容简介 |

本书是一部颠覆认知的跨学科探索之作，以身体为透镜，重新解码智能的本质与未来。本书融合了生物学、工程学、人工智能领域的研究成果与实践经验，系统阐述具身智能的核心逻辑、分布式协作机制及落地应用范式，层层拆解从身体原生智慧到技术转化的底层原理，搭配海量自然案例与科技实例，助你从零构建对具身智能的完整认知。

本书内容分为三个部分。

第一部分为“身体，被遗忘的智慧”，从达·芬奇解剖手稿到蟑螂无脑逃生，从盲人感受世界到运动员的快速反应等，引出具身智能的概念。

第二部分为“分布式智能，具身智能的行为方式”，重点介绍具身智能的底层原理，采用生活案例进行对比说明，方便读者理解。例如：婴儿学步的过程及基于该过程如何设计机器人的行走策略；通过对章鱼触手的介绍说明分布式智能对于具身智能的意义；蚂蚁筑巢原理与自发式交通系统的关系等。

第三部分为“具身智能的应用范式”，介绍如何利用具身智能技术对人体进行增强改造。这一部分既包含真实案例，又涉及对未来科技的幻想，同时还介绍了如何利用 VR 技术开展具身智能的教学与应用。

通过阅读本书，你将：

- 透彻理解具身智能的底层逻辑
- 掌握分布式智能的协同原理
- 洞悉具身智能在机器人、医疗、教育、太空探索中的应用场景与实现路径
- 理解生物启发技术的设计逻辑
- 探索从自然智能到人工系统的转化路径
- 明晰具身智能引发的技术挑战与伦理困境
- 把握人类与机器共生时代的智能发展新趋势



妙趣横生的 具身智能

李昂 王庆先 ©著

 机械工业出版社
CHINA MACHINE PRESS

前言

传统的机器人技术多依赖预设程序和环境约束，难以适应复杂的动态场景，且交互能力有限。具身智能通过多模态感知与实时环境反馈的结合，赋予机器“身体-环境”协同的自主决策能力。例如，基于强化学习的运动控制算法可以让机器人通过试错学习快速适应未知地形；“视觉-触觉”融合系统则能提升机械臂的精细操作能力（如抓取不规则物体）。借助仿真平台与迁移学习技术，具身智能系统可大幅缩短训练周期，降低实体硬件损耗成本，为工业自动化、医疗康复等领域提供更灵活的解决方案。

随着传感器、边缘计算与AI技术的进步，具身智能正从实验室走向商业化。在仓储物流中，自主移动机器人能通过实时路径规划优化拣货效率；在家庭服务场景中，具身智能体可结合自然语言指令完成递送、清洁等任务。PyBullet、Isaac Gym等仿真工具的出现，使开发者不需要昂贵的硬件即可训练复杂行为模型。同时，ROS（机器人操作系统）与深度学习框架（如PyTorch）的集成，降低了具身算法的开发门槛。掌握具身智能关键技术（如运动控制、多模态感知融合）已成为机器人工程师的核心竞争力，相关技能在智能制造、无人系统等岗位的招聘中备受青睐。

具身智能的核心在于“感知-行动”闭环的实时性与环境适应性，其多模态融合机制大幅提升了智能体的自主决策能力。相较于传统机器人依赖固定程序，具身智能通过强化学习与仿真训练，能让机器人在动态场景中快速优化行为策略。借助触觉、视觉与力反馈的协同，智能体能够实现类人的环境交互能力，例如在复杂地形中实现自主平衡或对柔性物体进行安全操作。这种特性在医疗康复、工业检测等领域潜力巨大。

仿真平台的普及极大地降低了具身智能的研究门槛。开发者可在虚拟环境中高效训练复杂模型，再通过迁移学习部署到实体机器人中，既节约硬件成本，又能避免物理损耗。此外，ROS与深度学习框架的深度整合，使运动控制、路径规划等算法的开发更加模块化。

学习具身智能需重点掌握多模态融合感知、强化学习调参及硬件-算法协同优化等技能。例如，在开发自主导航机器人时，需同步优化激光雷达数据处理、实时路径规划与电机控制响应，这对跨领域知识的综合运用能力提出了较高要求。随着人形机器人、无人系统等产业的兴起，熟悉具身智能技术栈已成为相关岗位的核心竞争力，掌握该领域的技能将为从业者的职业发展提供更广阔的空间。

本书主要内容

本书内容分为三个部分，分别是身体，被遗忘的智慧；分布式智能，具身智能的行为方式；具身智能的应用范式。

第一部分从达·芬奇解剖手稿到蟑螂无脑逃生，从盲人感受世界到运动员的快速反应等，引出具身智能的概念。

第二部分重点介绍具身智能的底层原理，采用生活案例进行对比说明，方便读者理解。例如：婴儿学步的过程及基于该过程如何设计机器人的行走策略；通过对章鱼触手的介绍说明分布式智能对于具身智能的意义；蚂蚁筑巢原理与自发式交通系统的关系等。

第三部分介绍如何利用具身智能技术对人体进行增强改造。这一部分既包含真实案例，也涉及对未来科技的幻想，同时还会介绍如何利用VR技术开展具身智能的教学与应用。

读者对象

- 机器人研发人员。
- 具身智能相关领域的管理人员。
- 各类高校学生及教育工作者。
- 智能体编程人员。
- 期望拓宽科学视野，对新兴事物感兴趣的人。

致谢

特别感谢孙晶波（全网账号Bobbun）的大力支持，本书所有漫画均由Bobbun原创完成。经过200多个日夜，我完成了本书，只为给广大读者提供最好的阅读体验。在阅读本书的过程中如遇问题，读者可通过邮件与我联系，电子邮箱为docleeang@163.com。

李昂

2025年5月

第一部分

身体，被遗忘的智慧

本部分包括第1~4章，主要阐述身体在智能、感官、运动及感知-行动循环方面的作用。

在智能方面，从达·芬奇解剖课看具身认知，借蟑螂逃生策略谈行为涌现，因脊髓损伤患者失去“直觉判断”探究脊髓反射。

在感官方面，盲人凭触觉构建空间地图，凭味觉记忆唤醒情感，通过闭眼摸钥匙实验研究本体感觉和触觉记忆等。

在运动方面，刻意练习形成肌肉记忆，涉及小脑突触重塑等；足球运动员基于感觉整合形成“第六感”。

在感知-行动循环方面，婴儿学步摔倒促进运动发展；纯视觉自动驾驶存在“晕车”缺陷，需采用多模态融合感知；波士顿动力机器人摔倒自救算法包括平衡控制、接触力预测，并设定强化学习安全边界，展现身体智能的多面性。

CHAPTER 1 第1章 智能不在脑中？

15世纪后半叶的某个寒夜，达·芬奇在米兰的工作室里解剖尸体时突然意识到：人类引以为傲的智慧，或许从未被大脑独占。正如他在《达·芬奇论绘画》中所写：“画家的手必须学会思考”，这种手眼协调的知觉-运动耦合，正是人类将身体经验转化为抽象概念的神经基础。

当现代机器人研究者试图通过模仿人类肌肉-骨骼系统的动力学特性来优化机械臂运动控制时，他们本质上正在复现达·芬奇在解剖台上领悟的真理——智能，不能被禁锢在血肉之躯中。

1.1 达·芬奇的解剖课：文艺复兴时期对人体的重新发现

1.1.1 维特鲁威人图纸中的比例奥秘

达·芬奇在15世纪创作的《维特鲁威人》手稿中，用圆规与直尺构建了身体比例系统。达·芬奇认为，在张开手臂时，双臂展开形成的圆周直径与身高的比例为 $1:1.05$ ，该比例使人体旋转时角动量的传递效率最优，如图1.1所示。

达·芬奇在这张图中表达了以下3个观点：

- 1) 从头顶到下巴的距离与从下巴到胸部、从胸部到肚脐、从肚脐到耻骨等多个身体部位的距离，都遵循着特定的比例（0.618），后人称之为黄金分割点。现代生物力学认为，黄金分割比例可以降低行走能耗。
- 2) 四肢展开形成的圆周直径与身高的比为 $1:1.05$ ，这个比例使人体旋转时角动量的传递效率最优。
- 3) 双手平举的宽度约等于身高，构建了人类最早的空间坐标系。

研究者通过三维步态分析实验发现，当步幅与身高比在 $0.55\sim 0.65$ 区间内时，下肢肌肉群的激活模式呈现交替协调的发力特征：腓肠肌与股四头肌的激活峰值存在 $0.2\sim 0.4\text{s}$ 的时序差。这种时序优化可使肌腱弹性势能利用率提升 $12\%\sim 15\%$ ，具体数值依个体肌肉-肌腱的刚度差异而定。

对优秀田径运动员的追踪研究表明，当步幅比例偏离该区间超过 5% 时，运动员的代谢当量（能耗效率指标）会增加 $8\%\sim 10\%$ ，具体数值受运动速度、地面反作用力等多种因素影响，如图1.2所示。

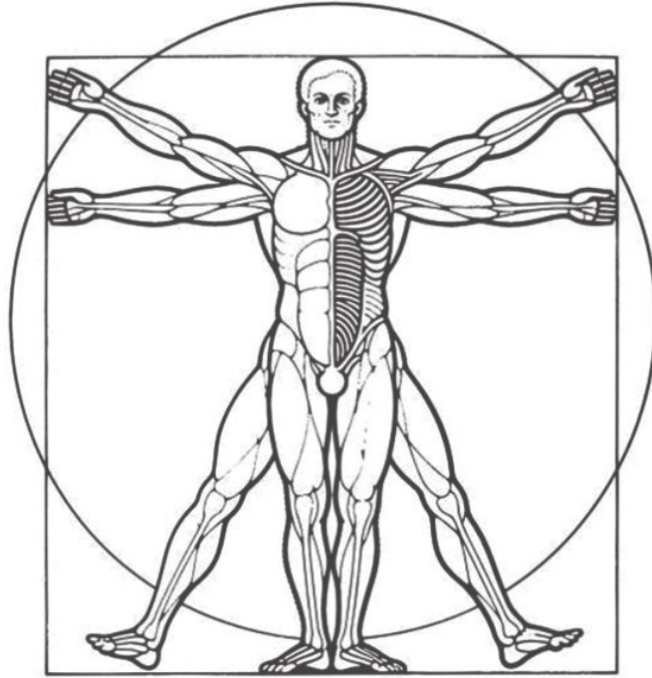


图1.1 《维特鲁威人》中的人体结构



图1.2 步子迈得大未必跑得快

1.1.2 解剖实践对机械论身体观的颠覆

1. 盖伦学说

古希腊医学家盖伦（Galen）提出，肝脏是营养的主要来源，被视为“生命之火”的源头，负责制造营养物质并分配到全身；心脏则被他看作一种能产生“热气”的器官，类似于“热气泵”的概念；大脑在他的理论中被认为具有调节体内“热气”的功能，并起到冷却器的作用（如图1.3所示）。这些观点在中世纪被广泛接受和传播，对当时人们对人体的认知影响深远。

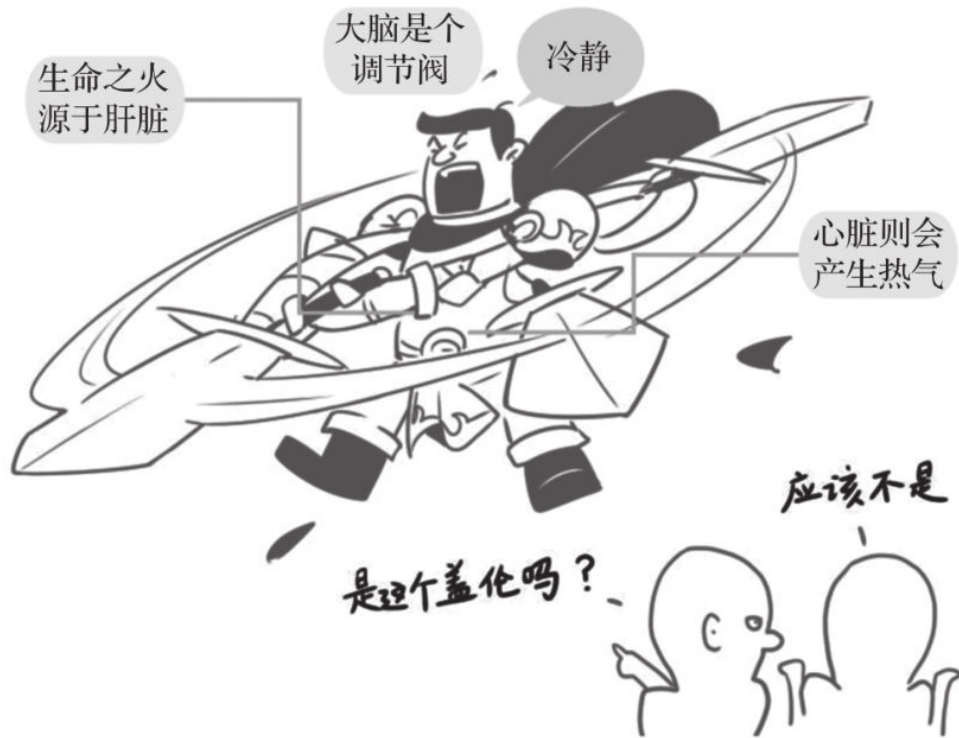


图1.3 盖伦学说强调身体本体性

2. 笛卡儿二元论

勒内·笛卡儿（René Descartes）是17世纪的哲学家、数学家和科学家，他的二元论观点认为身体和灵魂是两种不同的实体。笛卡儿提出灵魂寄居在大脑的松果体（pineal gland）中，并通过一种被称为“动物精气”（animal spirits）的物质来操控肉体机械，如图1.4所示。

法国哲学家笛卡儿在17世纪提出的“心物二元论”，即世界存在着两个实体，一个是只有广延而不能思维的“物质实体”，另一个是只能思维而不具广延的“精神实体”，二者性质完全不同，各自独立存在和发展，谁也不影响和决定谁。



图1.4 笛卡儿和他的二元论

3. 教会神学理论

在中世纪，教会的一些解释和观点将人体的生理现象赋予宗教意义，比如将神经视为天使传递神谕的通道，肌肉看作上帝拧紧的发条等，如图1.5所示。这种把人体器官和生理功能与宗教教义联系起来的说法，与当时教会在知识和思想领域占据主导地位，利用神学解释各种现象的历史背景有关。



图1.5 教会神学理论

这些割裂的认知框架，将智能囚禁于大脑的方寸之地，身体沦为被动的执行工具。

4. 达·芬奇的解剖革命：身体是有机智能系统

达·芬奇的解剖发现彻底动摇了将身体视为“机械零件堆砌”的传统认知，揭示了3个维度的革命性意义。

(1) 否认大脑绝对中心地位

达·芬奇研究了大量的鸟类和哺乳类动物，其流传于世的手稿中描述：“截断鸽颈后，其翼仍可扑动，此非灵魂驱使，乃筋腱之余力也。”达·芬奇通过解剖实践观察到脊髓对运动的调控作用，为后来的脊髓反射研究提供了证据，如图1.6所示。



图1.6 手稿描述

(2) 身体是认知的载体

达·芬奇观察醉酒者的步态，发现当人醉酒至无法思考时，仍能进行走路的行为，由此推断人的筋骨是有记忆的，并非所有指令都来自大脑，如图1.7所示。



图1.7 醉酒的人仍然能凭借本能走路

(3) 提出流体动力学类比

在心脏的研究中，达·芬奇首次绘制了二尖瓣和三尖瓣的解剖结构，通过玻璃模型观察血液涡流，发现瓣膜闭合依赖流体动力学效应，而非单纯机械阻挡。达·芬奇认为器官研究不是孤立的，应强调“心-肝-脑联动”。

达·芬奇的真正贡献在于用文艺复兴式的跨界思维，将身体视为能量流动与形态结构的统一体。他通过解剖刀与画笔构建的系统隐喻，为后世科学家提供了关键的认知工具。

1.1.3 神经肌肉系统的协同运作原理

神经肌肉系统由神经元、肌肉纤维及连接二者的神经肌肉接头构成，其协同运作依赖多层次调控，如图1.8所示。

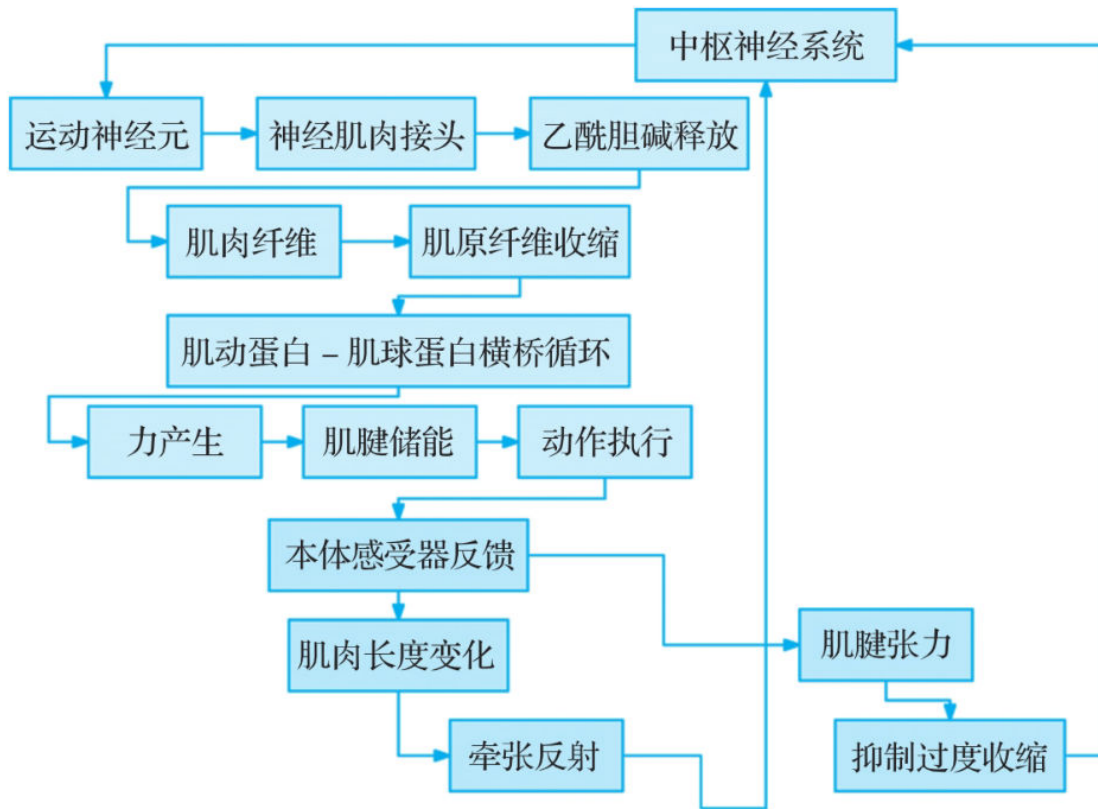


图1.8 神经肌肉多层调控系统

1. 神经系统和肌肉的“分工合作”

人体自身就像一个企业，不同的部门有着不同的分工，如图1.9所示。

□ 大脑的“战略规划”：大脑对不同任务的控制层级不同，就像公司的CEO负责制定整体目标（例如“拿起水杯”），但具体操作由“部门”完成。

□ 脊髓的“中层管理”：脊髓中的神经网络负责将大脑的抽象指令（如“伸手”）转化为具体的肌肉收缩顺序和力度，类似自动化的流水线控制器。

□ 肌肉的“一线员工”：肌肉通过收缩产生力量，但其动作细节（如关节角度、速度）会根据身体自身的物理特性（如骨骼杠杆、重力）自动调整，不需要大脑全程监控。

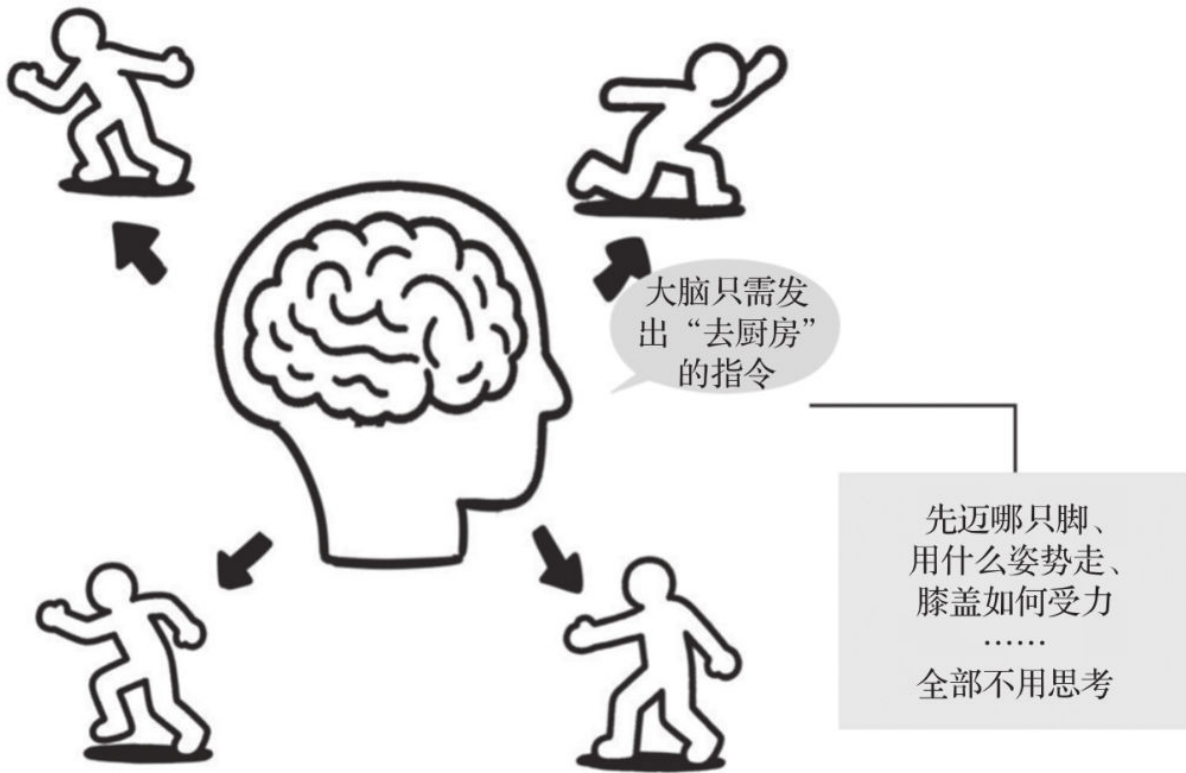


图1.9 “去厨房”的身体分工

2. 感知-行动的闭环

人的行为过程会自动与周围环境进行交互，并通过信息传递引导身体做出相应的动作，如图1.10所示。如果将人比作机器，那么感知外界的器官就是各类传感器，其分工过程如下：

□ 本体感觉传感器。肌肉、肌腱和关节中的传感器（如肌梭、高尔基腱器）会实时反馈身体姿态和受力情况，形成“身体地图”。

□ 环境交互的“动态调整”。当你端一杯热水时，手指皮肤的传感器会告诉脊髓：“杯子有点滑！”脊髓会瞬间调整握力，而无须等待大脑的复杂计算。

□ 能量效率优先。身体会利用惯性、弹性和重力等物理规律（例如走路时的钟摆效应），尽量减少肌肉的能量消耗，这被称为“被动动力学”。



图1.10 身体的协作特性

3. 身体结构的“预装技能”

人类的身体结构，如肩关节的球形结构、肌肉的弹性等，本身就具备某些“预装能力”，例如手臂可以自然做出抛掷动作，而不需要从零学习每个力学参数。

人们通过反复训练某项运动（如弹钢琴）后，脊髓和肌肉会形成“快捷指令集”，大脑只需触发一个高级指令（如“弹奏C大调”），细节动作便由身体自动完成。

环境可以看作决策系统的实时输入端，例如走平衡木时，身体的晃动信息会通过足底压力反馈给神经系统，用于调整重心分布。这种实时互动本身就能辅助控制，减少人体对大脑算力的依赖，如图1.11所示。

神经肌肉系统的协同运作本质上是通过“分布式控制”（大脑——脊髓——肌肉——环境的多级协作）实现的。这种机制不仅高效节能，还让人类在复杂环境中展现出惊人的适应能力——而这正是具身智能的核心思想：智能不只存在于脑中，更在身体与世界的互动中涌现。



图1.11 婴儿学习走路

1.1.4 达·芬奇手稿中的具身认知雏形

通过研究达·芬奇的手稿发现，其中有大量内容与具身智能理论不谋而合，尽管达·芬奇从未听说过“具身智能”这一术语。

达·芬奇绘制了200余幅人体解剖图，精确描绘了肌肉、骨骼和神经的分布。他在解剖学手稿中，通过分析骨骼杠杆长度与肌肉附着点位置，揭示了人体运动的力学约束，这一观察与具身认知中“身体物理特性塑造认知”的观点相呼应。此外，达·芬奇在研究触觉时指出，手指接触物体可通过压力分布感知形状，这一观察与具身认知中“触觉塑造空间认知”的理论存在内在关联。

达·芬奇设计的机械装置普遍采用仿人结构，例如，他设计的“自动武士”通过弹簧和凸轮模仿人类肌腱的弹性储能，这一设计类似具身认知中“身体动力学优化”原理的机械实现，如图1.12所示。此外，在飞行器草图中，达·芬奇认为“机械需与空气流动耦合”，这一理念与具身认知中“身体与环境实时互动”的原则存在深层次的相似性。

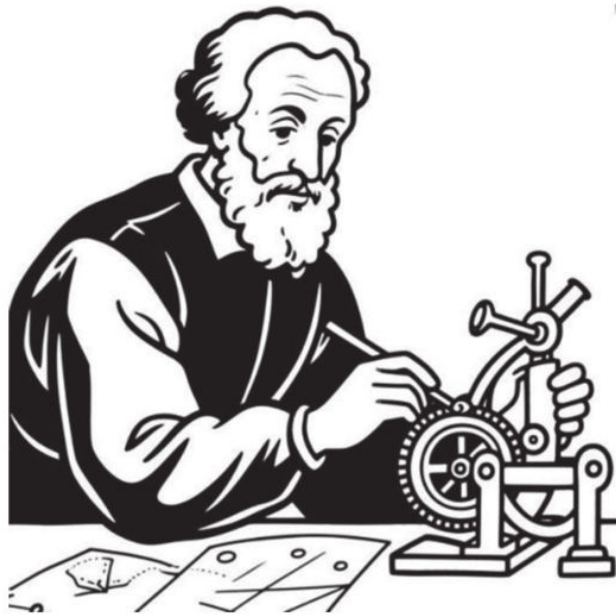


图1.12 达·芬奇在进行机械设计

1.2 蟑螂的生存启示：没有大脑却拥有完美的逃生策略

1.2.1 机械反射与复杂行为的涌现关系

在某知名大学的仿生实验室内，高速摄像机记录下惊人一幕：被斩首的蟑螂在0.2秒内完成180°转向逃离，其反应速度甚至快于完整个体。这种看似矛盾的现象，揭示了生物智能的本质——复杂行为未必需要中央处理器。

为什么蟑螂失去头部后仍能存活较长时间，而哺乳动物失去头部后却迅速死亡？这与它们的身体构造差异密切相关。头部在蟑螂和哺乳动物身上分别承担了不同的功能。表1.1展示了蟑螂与哺乳动物的生物特性对比。

表1.1 蟑螂与哺乳动物的生物特性对比

对比维度	蟑螂（昆虫）	哺乳动物
呼吸系统	气门呼吸（体侧气门直接供氧，不需要大脑控制）	肺呼吸（依赖延髓呼吸中枢控制横膈膜，断头后停止）
循环系统	开放式循环（血淋巴自由流动，心脏由局部神经节控制）	闭合式循环（依赖心脏泵血，断头后脑部供血中断）
神经系统	分布式神经节（7对腹神经节自主控制运动，断头后仍能反射逃生）	中枢化控制（大脑为唯一的高级中枢，断头后失去所有调控功能）
代谢需求	低代谢率（变温动物）	高代谢率（恒温动物）
存活时间	1~4周（最终因无法进食饿死）	<1分钟（意识丧失，3分钟内出现不可逆损伤）
可维持功能	爬行、逃避反射、呼吸	无
死亡主因	能量耗尽	缺氧、失血、神经功能终止
头部核心功能	感觉输入（复眼、触角）、进食控制	生命中枢（呼吸、心跳）、高级认知（意识、记忆）
再生能力	部分组织再生（如触角），无法再生头部	无再生能力
进化策略	分布式冗余设计	高效集中控制
典型实验案例	断头蟑螂存活29天	断头猫脊髓反射持续2~3分钟（19世纪实验）
生存策略	牺牲局部保全局	快速反应保核心
环境适应性	适应极端资源匮乏（断头后仍能移动寻找食物）	适应复杂协作（依赖社会行为和高级智能）

从表1.1可知，蟑螂的分布式生理结构和低能量消耗使其具备断头存活能力，而哺乳动物的中枢化系统和高代谢需求导致断头后迅速死亡。这一差异的本质是进化路径上效率与冗余的权衡，如图1.13所示。

1. 蟑螂的生存本能：机械反射行为

机械反射作为生物对外界刺激的一种基本反应方式，在蟑螂身上扮演着至关重要的角色。蟑螂的身体布满了各种感受器，这些感受器如同精密设备的传感器，时刻监测着周围环境的变化。当外界刺激，如轻微的震动、空气的流动或光线的变化等作用于蟑螂的感受器时，感受器会迅速将这些物理信号转化为神经冲动，如图1.14所示。



图1.13 “分头”行动

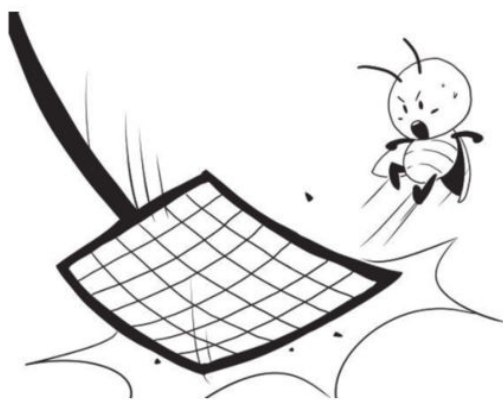


图1.14 蟑螂依靠感受器规避危险

2. 蟑螂复杂行为的涌现

蟑螂的神经系统并非像人类那样高度集中在大脑，而是相对分散地分布在身体各个部位。因此，蟑螂身体的各个部位可以自主处理局部信息，而不需要大脑协调。例如，触角感知到障碍物后，腹部神经节直接调整腿部动作方向；尾须检测到气流后，胸部神经节触发紧急转向。

蟑螂在行动过程中产生的复杂行为是由多个简单动作通过反射链路的叠加而产生的，如图1.15所示。

蟑螂的这种分布式神经网络成就了“小强”的无敌称号。通过图1.15可以直观地感受到分布式处理的优势：利用局部神经节可以独立完成反射决策而不需要脑神经节参与，这种并行信号处理的方式极大地降低了系统的总延迟。将蟑螂的行为模式分解为数学模型，主要包括以下两个部分。

1) 非线性信号整合。蟑螂在面对外界复杂的环境变化时，负责神经网络连接的突触权重可以动态实时调节：

$$w_{ij}(t+1) = w_{ij}(t) + \alpha \cdot (S_i \cdot S_j - \theta_{ij})$$

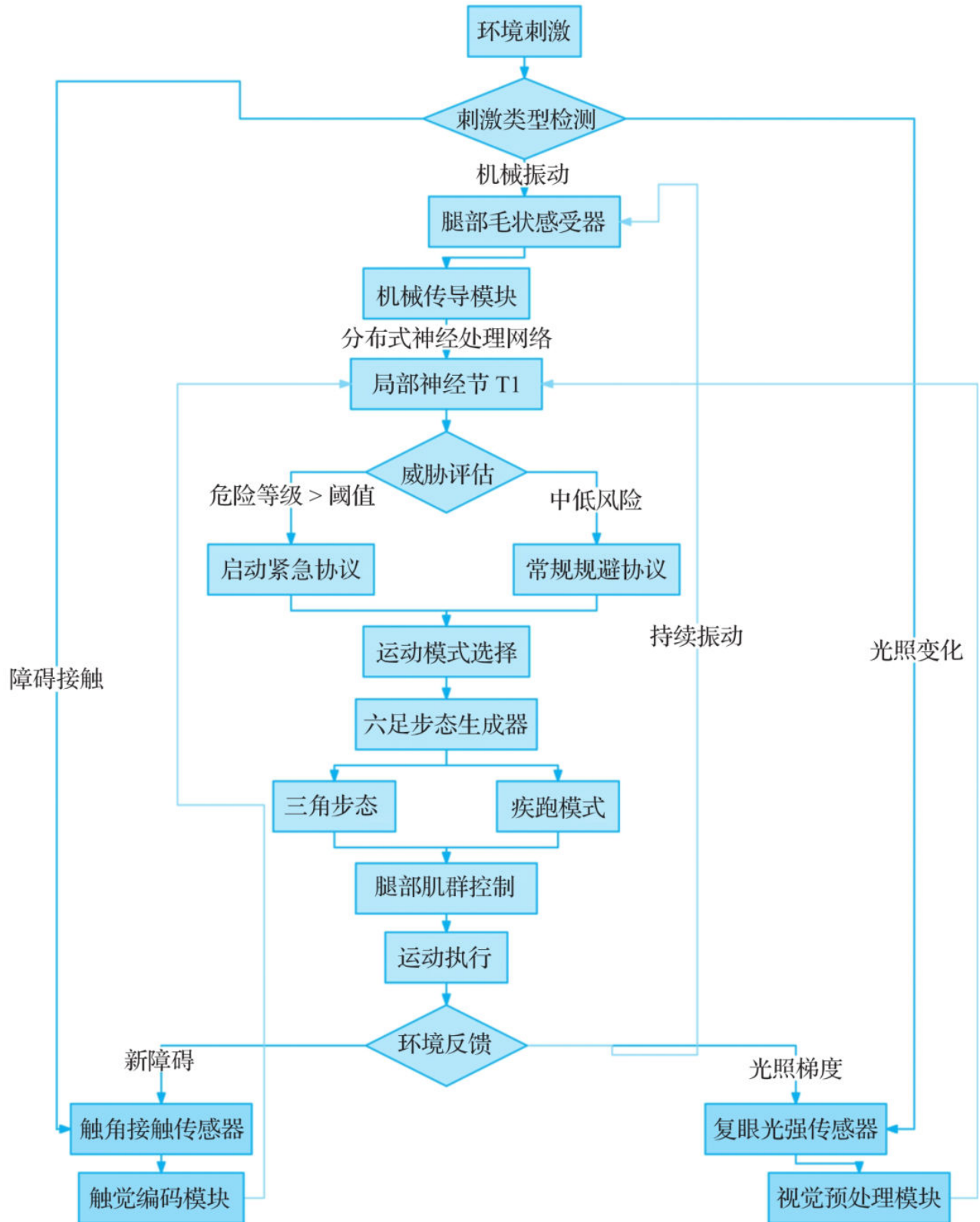


图1.15 蟑螂的复杂行为反射链路

式中， $w_{ij}(t)$ 表示在时间步 t 时，从神经元 i 到神经元 j 的突触连接权重，用于反映两个神经元之间信号传递的强度，权重越大，突触后神经元越容易被激活； α 表示学习率（Learning Rate），取值范围通常为 $0 < \alpha < 1$ ，用于控制权重调整的幅度，较小的 α 能使学习过程更平稳，但收敛速度慢，较大的 α 可能导致振荡或不稳定； S_i 、 S_j 表示神经元 i 和神经元 j 的激活状态，两者相乘代表前后神经元的相关性； θ_{ij} 表示突触特异性阈值，用于平衡权重的增强与抑制。当 $S_i \cdot S_j - \theta_{ij} > 0$ 时，权重增加，反之则减少，防止过度强化。

2) 简单动作的叠加。蟑螂在面对外界复杂的状况时，利用中央模式发生器（CPG）充分协调多足运动：

$$\frac{d\phi_i}{dt} = w + K \sum_{j \in N(i)} \sin(\phi_j - \phi_i - \Delta)$$

式中， ϕ_i 表示第 i 条腿的步态相位（范围 $0 \sim 2\pi$ ）； w 表示固有频率，决定了基础步频； K 表示耦合强度，用于控制腿间协调的同步性，当 $K > 0.5$ 时，系统趋于稳定同步； Δ 表示目标相位差（在三角步态中， $\Delta = 120^\circ$ ）； $N(i)$ 表示与第 i 条腿耦合的相邻腿集合（通常为同侧前后腿及对侧腿）。

参考蟑螂这种高效低功耗的行走控制模式，许多仿生机器人可以采用类似的行走控制逻辑，伪代码如下：

```
# CPG 参数初始化
phi = [0, 120, 240, 180, 300, 60]      # 初始相位（蟑螂六条腿的初始状态）
omega = 18.0      # 度 / 毫秒（基础频率设定）
K = 0.8          # 腿间协调强度，数值越大，步态越一致，如果数值过大会导致步态僵化

# 实时更新相位
for i in range(6):      # 遍历每条腿
    delta_phi = omega * dt      # 设定基础相位增量，并进行耦合计算
    for j in neighbors(i):
        delta_phi += K * sin(radians(phi[j] - phi[i] - 120))
    phi[i] += delta_phi      # 每个循环更新相位
```

与传统控制模式相比，CPG控制模式显然更具优势，具体对比如表1.2所示。

表1.2 传统控制模式与CPG控制模式的对比

指标	CPG 控制模式	传统控制模式
地形适应性	高（自主调整步态）	低（需预设参数）
能耗效率	更低	相对固定
抗干扰能力	快速恢复	易振荡（需复杂调参）

1.2.2 逃生策略的进化博弈分析

1. 进化博弈

在漫长的生物进化历程中，那些能够更有效地躲避天敌、适应环境变化的蟑螂个体，更有可能存活下来并繁衍后代。这就促使蟑螂群体逐渐形成了一系列有利于生存的行为模式，也就是我们所说的逃生策略，这些策略的形成过程叫作进化博弈。

在进化博弈的框架下，蟑螂与天敌之间可以看作一场持续的“博弈游戏”。蟑螂的目标是尽可能地躲避天敌的捕食，而天敌则试图捕获蟑螂以获取食物。在这个过程中，双方都在不断地调整自己的行为策略。

假设蟑螂有两种基本的逃生策略：策略A是快速奔跑，利用其敏捷的动作迅速逃离危险区域；策略B是静止不动，通过伪装或隐藏来躲避天敌的察觉。而天敌也有相应的捕食策略：策略X是主动搜索，积极寻找蟑螂；策略Y是守株待兔，在某个位置等待蟑螂出现，如图1.16所示。



图1.16 动物界的进化博弈

下面用一个简单的收益矩阵来分析这个博弈过程，如图1.17所示。

图1.17清晰地反映出天敌的策略与蟑螂的策略是互相影响的过程，双方策略比例通过复制者动态方程持续震荡，最终收敛至进化稳定策略。

2. 进化稳定策略

进化稳定策略 (Evolutionarily Stable Strategy, ESS) 是进化博弈中的核心概念，其核心思想是：如果一个策略在种群中被大多数个体所采用，则任何突变策略都无法通过自然选择入侵并取代它，它代表了种群在特定环境下的稳定行为模式。以蟑螂对抗天敌为例，其不同逃跑策略的收益如表1.3所示。

表1.3 不同逃跑策略的收益

蟑螂	天敌	
	策略 X	策略 Y
策略 A	逃脱概率 p_1 ，收益 R_A^X	逃脱概率 p_2 ，收益 R_A^Y
策略 B	逃脱概率 p_3 ，收益 R_B^X	逃脱概率 p_4 ，收益 R_B^Y

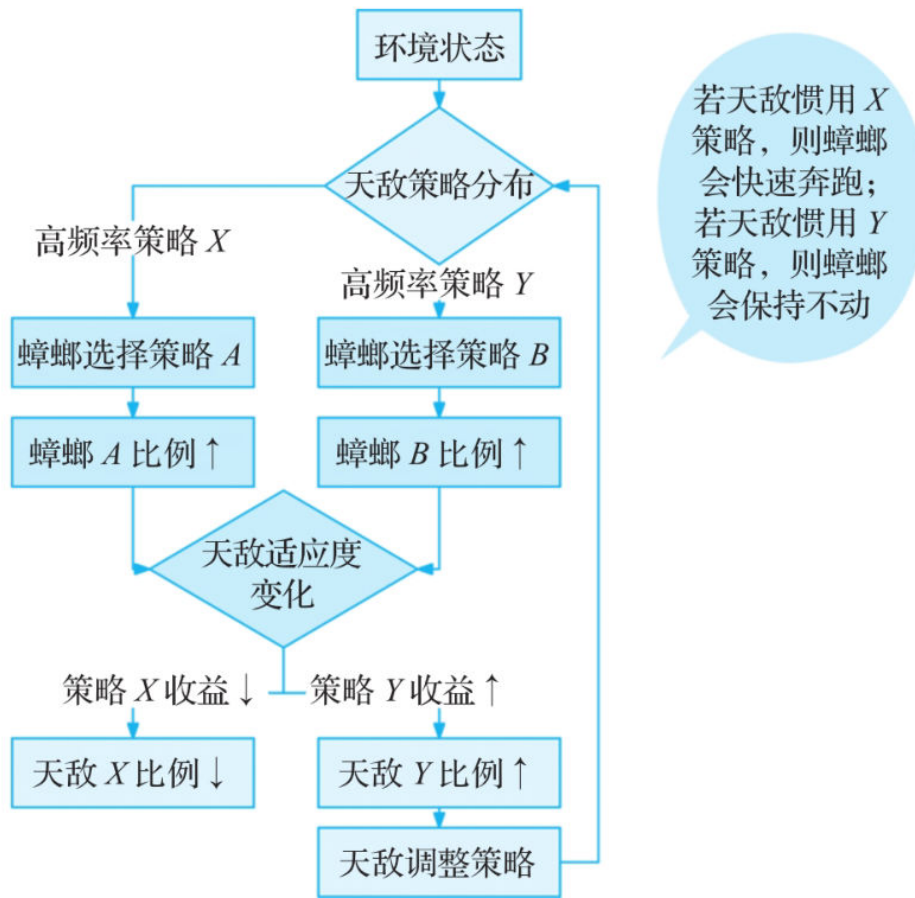


图1.17 博弈过程的收益矩阵

蟑螂收益:

$$R = p \times \text{逃脱收益} - (1-p) \times \text{能量消耗}$$

天敌收益:

$$E = (1-p) \times \text{捕食收益} - p \times \text{搜索成本}$$

蟑螂策略适应度:

$$\begin{cases} f_A = r \cdot R_A^X + (1-r) \cdot R_A^Y \\ f_B = r \cdot R_B^X + (1-r) \cdot R_B^Y \end{cases}$$

天敌策略适应度:

$$\begin{cases} f_X = q \cdot E_X^A + (1-q) \cdot E_X^B \\ f_Y = q \cdot E_Y^A + (1-q) \cdot E_Y^B \end{cases}$$

式中， q 表示蟑螂奔跑策略的比例； r 表示天敌主动搜索策略的比例。

蟑螂逃跑策略的演化过程会随着天敌策略的改变而进行相应的动态调整，具体过程如下。

蟑螂策略的比例变化：

$$\frac{dq}{dt} = q \cdot (f_A - \bar{f}_{\text{蟑螂}})$$

天敌策略的比例变化：

$$\frac{dr}{dt} = r \cdot (f_X - \bar{f}_{\text{天敌}})$$

求解均衡点：

$$\begin{cases} f_A(q^*, r^*) = \bar{f}_{\text{蟑螂}} \\ f_X(q^*, r^*) = \bar{f}_{\text{天敌}} \end{cases}$$

式中， $f_A(q^*, r^*)$ 表示蟑螂策略A的适应度； $f_X(q^*, r^*)$ 表示天敌策略X的适应度； $\bar{f}_{\text{蟑螂}}$ 表示蟑螂平均适应度； $\bar{f}_{\text{天敌}}$ 表示天敌平均适应度； q^* 、 r^* 表示演化稳定均衡点。

令 $\frac{dq}{dt}=0$ 且 $\frac{dr}{dt}=0$ ，解联立方程，假设

$$p_1=0.8$$

$$p_2=0.6$$

$$p_3=0.2$$

$$p_4=0.5$$

最终得到 $q^* \approx 0.65$, $r^* \approx 0.4$, 即65%的蟑螂选择奔跑策略, 40%的天敌选择搜索策略。

1.2.3 仿生机器人中的去中心化控制应用

蟑螂等生物的群体行为为机器人去中心化控制提供了独特的仿生范式, 其核心特征可提炼为以下3点。

(1) 局部感知-全局涌现

蟑螂通过机械感应毛感知邻近个体的运动相位, 形成自组织队列。基于这种生物特性, 科学家可以在机器人上搭载毫米波雷达与UWB(超宽带)定位模块, 构建局部拓扑网络, 从而实现群体行为。

(2) 最小化通信原则

蟑螂利用信息素梯度实现路径优化, 而非直接通信。基于这种策略, 机器人可以采用虚拟信息素场算法, 通过无线信号强度模拟信息素扩散模型:

$$\nabla^2 \phi - \frac{1}{D} \frac{\partial \phi}{\partial t} = -k\rho(x, y)$$

式中, ϕ 表示信息素浓度场; D 表示扩散系数; ρ 表示任务需求密度函数。

(3) 异构群体协同

在白蚁群体中, 工蚁、兵蚁、繁殖蚁分工协作, 三者的占比动态调整。基于该策略, 机器人之间可以建立动态角色分配协议, 当节点失效时, 系统能够在短时间内重新进行角色分配, 保障任务不中断。

1. 基于生物启发的路径优化奖励函数模型

蟑螂通过试错学习来优化逃跑路径, 其奖励函数模型如下:

$$R = \alpha \cdot \text{任务进度} - \beta \cdot \text{能耗} - \gamma \cdot \text{碰撞惩罚}$$

式中, R 表示奖励值, 用于评估机器人在当前状态下的综合表现, 值越大表示策略越优; 任务进度表示当前任务的完成比例(如搜索区域覆盖率、目标搬运量), 取值范围是 $[0, 1]$; 能耗表示机器人执行动作的能量消耗(如电机功率 \times 时间), 单位为焦耳(J); 碰撞惩罚表示发生碰撞时的负反馈值(如固定值1或根据碰撞严重程度动态计算); α 、 β 、 γ 表示权重系数, 用于平衡不同目标的优先级。

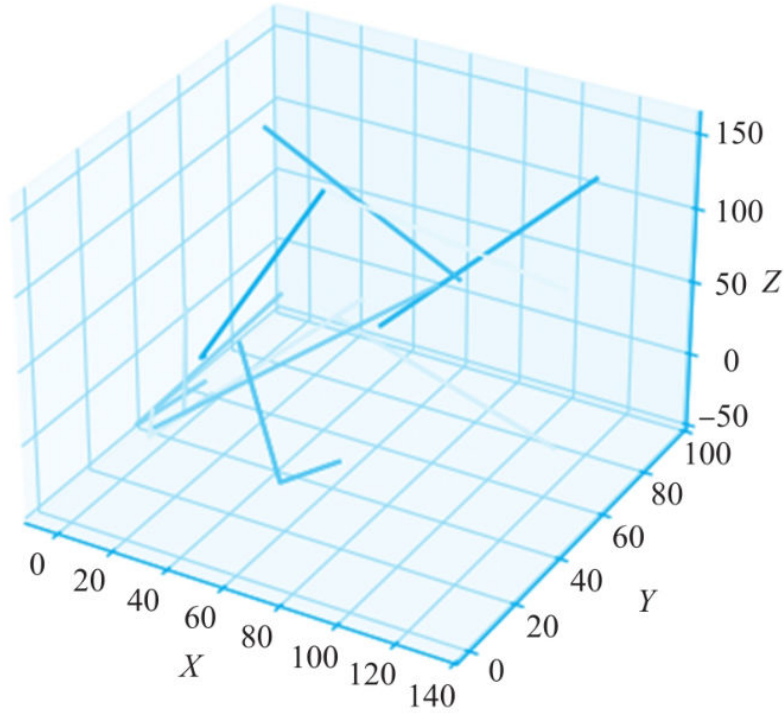


图1.18 机器人在密闭三维空间中的行走轨迹示意

通过调整权重系数，引导机器人优先完成任务（ α 最大），同时兼顾节能（ β ）与安全性（ γ ）。图1.18模拟了10个机器人在密闭三维空间中的行走轨迹，其中每个机器人的行走路线各不相同。

2. 群体智能优化

假设有一群蟑螂接到任务，要求在下水道中寻找食物。为了快速完成任务，蟑螂必然要遵循一定的规律开展这项团队活动。

（1）传统粒子群算法

每只蟑螂的记忆：记住自己曾找到过最多食物的位置（个体最佳）。

群体共享信息：所有蟑螂都知道当前发现食物最多的地方（群体最佳）。

移动规则：每只蟑螂会根据自身记忆和群体信息调整行动方向，逐渐向食物富集区聚集。

结论：如果所有蟑螂只关注“群体最佳”，可能会忽略附近小范围的食物点，从而降低搜索效率。

(2) 改进后的粒子群算法

在改进后的粒子群算法中，每只蟑螂不仅要关注自己和群体的最佳位置，还要与周围5~10只蟑螂交换信息。这样做的好处是蟑螂能更快发现分散的食物点，整体搜索时间显著缩短，如图1.19所示。



图1.19 通过信息共享提高觅食效率

基于改进后的粒子群算法，现在拟生成一项复杂任务，要求用50架无人机扫描一座大型体育场（ 1km^2 ），确保不遗漏区域、不重复覆盖。根据群体智能策略，无人机的控制流程如图1.20所示。

为什么这种协作更高效？

- 局部快速响应：无人机群绕过障碍物时，无须等待中心指令，依靠邻居信息即时调整。
- 平衡探索与利用：既关注大范围热点区域（群体最佳），又不放过小范围线索（邻居信息）。
- 抗干扰能力强：即使10架无人机发生故障，剩余40架也能通过邻居协作的方式重新分配任务。

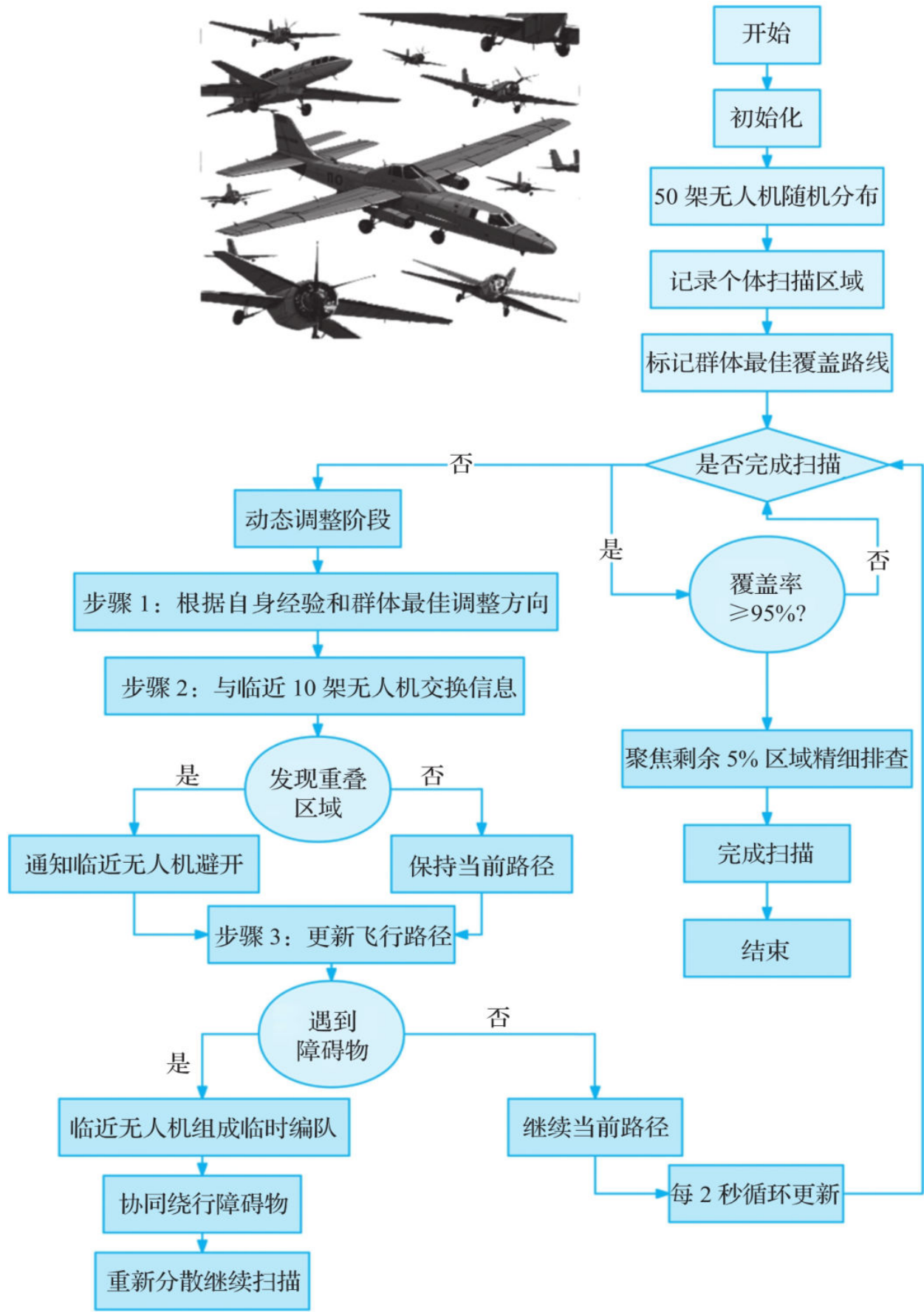


图1.20 基于改进后的粒子群算法的无人机控制

1.2.4 实验室观测：断头蟑螂的生存时长记录

目前蟑螂断头后存活时长没有绝对权威的最长记录，理论上最长可达30天。从生物学角度来看，蟑螂的血管网络不发达，血压不高，断头后伤口的血小板会凝固。此外，蟑螂通过身体的小孔进行呼吸，不需要血液运输氧气。在不感染细菌或病毒等理想情况下，蟑螂断头后可能存活30天。

但不同的机构通过观测发现，蟑螂在断头情况下可存活1~3周不等。由于蟑螂是冷血动物，代谢率低，对水和食物的需求相对较低，断头后可利用自身存储的能量存活，直至很长时间后因伤口感染或饥饿而死亡。相关实验如表1.4所示。

表1.4 蟑螂断头存活实验

组别	平均存活时间	死亡直接原因
断头 + 供水	7~14 天	体表霉菌感染 (80%)
断头 + 断水	3~5 天	脱水 (100%)
完整 + 低温	14~21 天	饿死

事实上，蟑螂断头后，由于不是在实验环境中，因此受感染而死亡的概率相对更高，只有极个别幸运个体可以在不受感染的情况下被“活活饿死”，如图1.21所示。



图1.21 断头后的蟑螂很难坚持到饿死

1.3 脊髓损伤患者为何失去“直觉判断”

1.3.1 脊髓反射环路的认知功能

脊髓损伤是一种严重的神经系统损伤，常常导致患者失去对身体的直觉判断，影响日常生活和决策能力。从具身智能的角度，可以深入探讨脊髓损伤患者失去直觉判断的原因。

1. 脊髓的独立记忆与学习能力

长久以来，记忆和学习功能一直被认为是大脑的专属功能。然而，最新的科学研究颠覆了这一传统认知。日本理化学研究所的科学家发现，脊髓拥有一条独立于大脑的神经回路，能够自主整合体感信息并执行运动输出，如膝跳反射。更令人惊讶的是，脊髓在经过重复的运动任务训练后，能够自主进行运动调整，这一能力与大脑的运动学习能力极为相似。

2. 实验验证与机制探索

为了验证这一发现，科学家构建了小鼠测试模型。在该模型中，小鼠的脊髓在特定位置被横断，从而排除了大脑信息输入的干扰。同时，小鼠的后肢保持自由状态，无人限制。实验结果显示，小鼠通过反复训练，在经历短暂的电刺激后能够学会

通过抬升后肢来避免不适。这一过程完全由脊髓自身完成，不需要大脑的介入，充分展示了脊髓的记忆与学习能力，如图1.22所示。

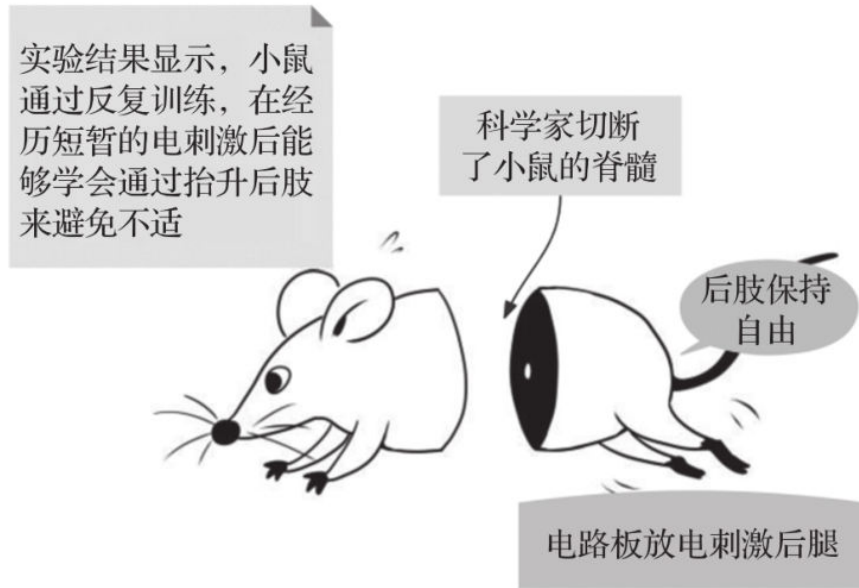


图1.22 小鼠电刺激实验

进一步的研究通过基因工程构建了具有脊髓神经元功能缺陷的小鼠模型，发现那些在脊髓背侧表达特定转录因子的神经元对脊髓的学习过程至关重要。当这些神经元失活时，小鼠便无法根据电刺激作出适应性反应。这一发现不仅揭示了脊髓中存在能够进行记忆与学习的神经回路，也为治疗脊髓受损疾病提供了新的思路。图1.23展示了信号在脊髓中的传递过程，表1.5所示为传统脑控系统与脊髓仿生系统的性能对比。

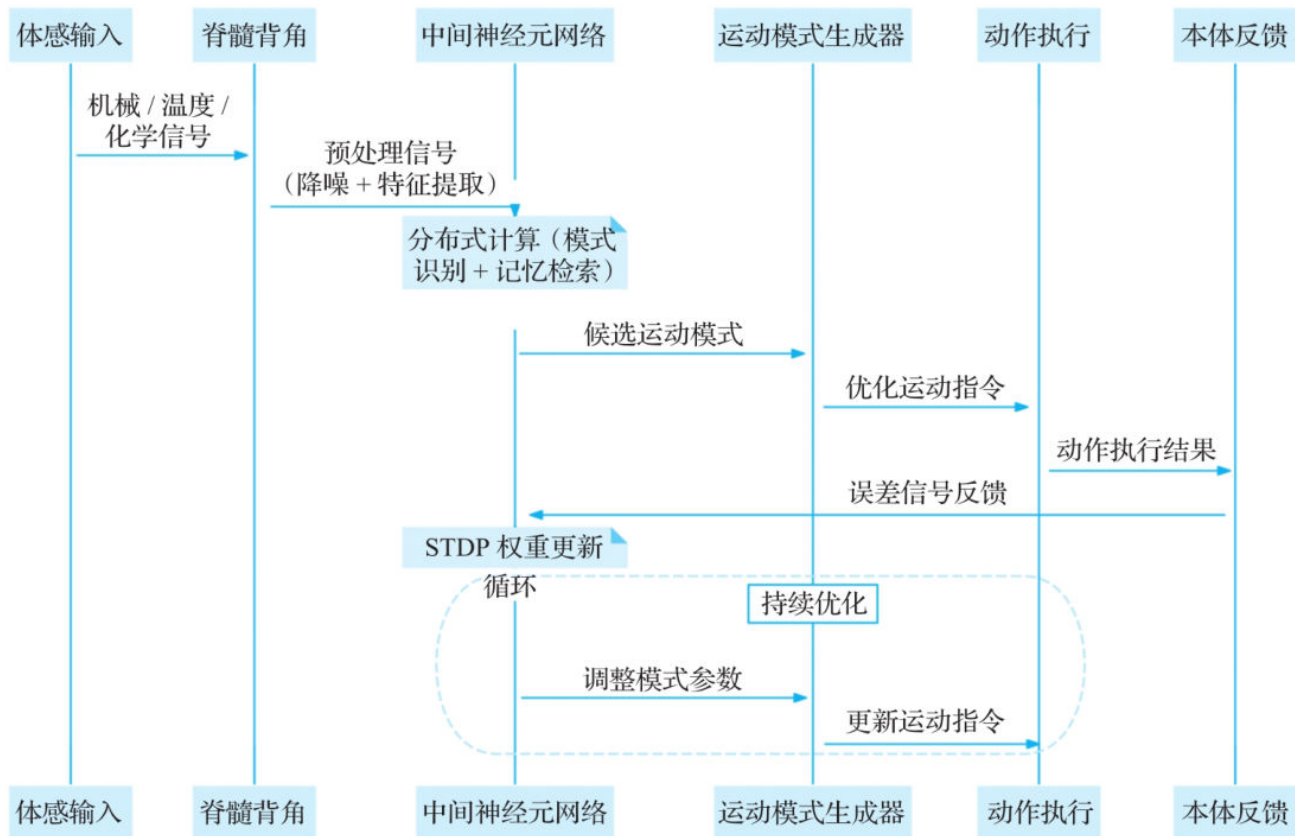


图1.23 信号在脊髓中的传递过程

表1.5 传统脑控系统与脊髓仿生系统的性能对比

指标	传统脑控系统	脊髓仿生系统
响应延迟	150~300ms	15~50ms
能耗效率	3.8J/ 动作	0.2J/ 动作
学习速度	100~1000 次训练	3~10 次适应
故障恢复	需要人工干预	可保持部分功能
环境适应性	预编程场景	实时动态调节

具身智能理论强调身体在认知过程中的重要作用，认为认知不仅仅是大脑的功能，而是身体与大脑相互作用的结果。脊髓反射环路的认知功能为具身智能理论提供了有力的支持。表1.6展示了参照脊髓反射环路设计的具身机器人的设计原理。

表1.6 具身机器人的设计原理

生物原型	工程实现	技术参数
脊髓背角神经元	多模态传感器阵列	采样率 2kHz, 延迟 <5ms
中间神经网络	边缘计算单元 (ECU)	28nm FPGA, 功耗 0.8W
运动神经元池	智能执行器组	扭矩密度 15Nm/kg

(续)

生物原型	工程实现	技术参数
突触可塑性	在线强化学习算法	更新频率 500Hz
本体感觉反馈	嵌入式力 / 位姿传感器	精度 0.1%FS

系统架构流程图如图1.24所示，三种系统的性能指标对比如表1.7所示。

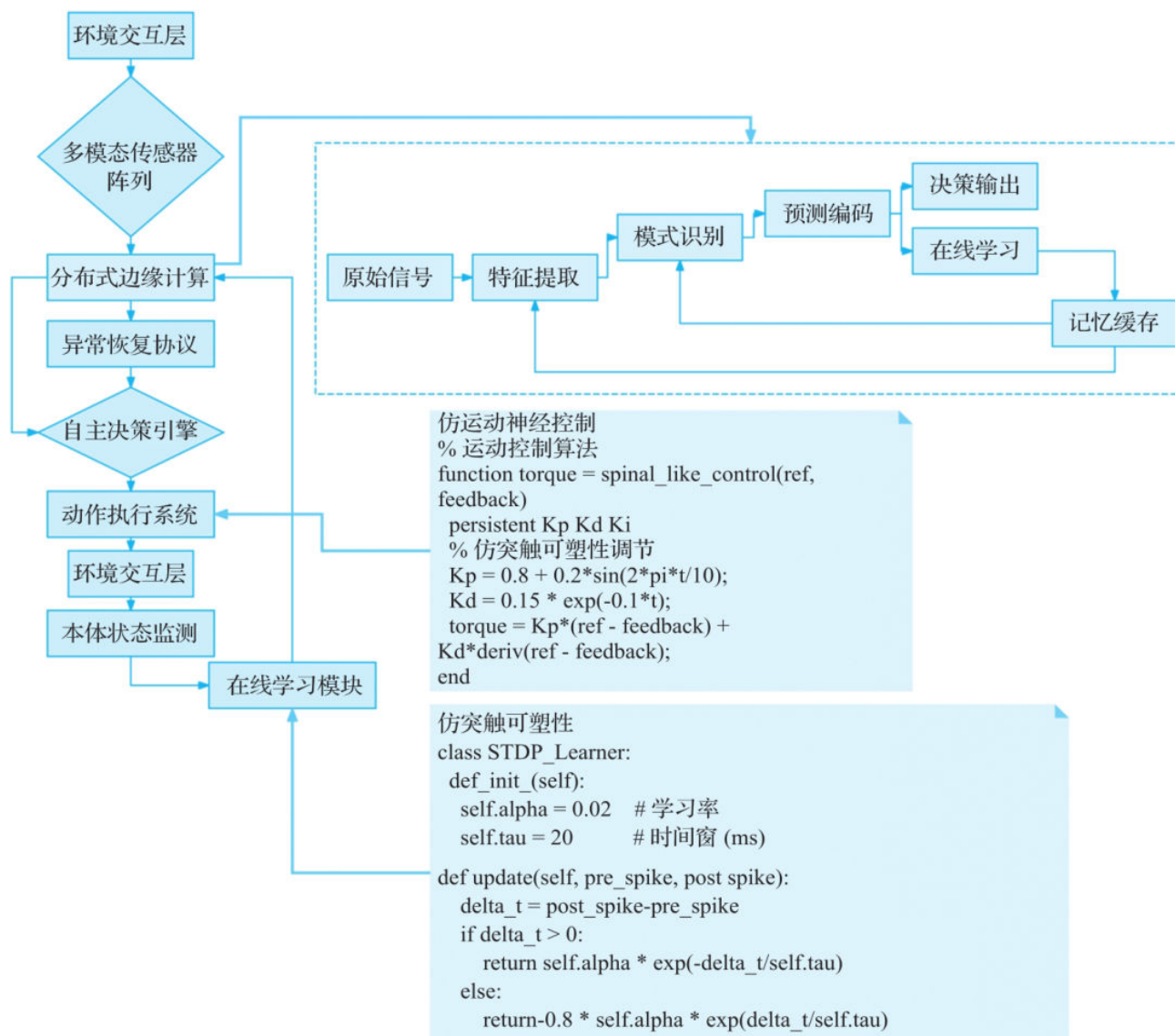


图1.24 系统架构流程图

表1.7 三种系统的性能指标对比

指标	传统机器人	具身智能机器人	生物脊髓系统
响应延迟	120~200ms	25 ± 3ms	35 ± 5ms
能耗效率	5.5 ± 0.5J/ 动作	0.35 ± 0.05J/ 动作	0.08 ± 0.01J/ 动作
动态适应能力	预编程场景	实时地形重构 (200Hz)	连续环境适应

(续)

指标	传统机器人	具身智能机器人	生物脊髓系统
学习速度	1000 以上训练样本	5~10 次试错学习	3~5 次条件反射
故障恢复率	需人工重启	88% 自主恢复	<5% 轴突再生 (严重损伤时)

1.3.2 身体反馈缺失对决策速度的影响

1. 具身决策的生理基础

具身决策的生理基础是输入数据完整且无误，否则身体无法做出正确的决策。下面以音乐会简单比喻这个过程，假设你的大脑是一个交响乐团，其中“体感皮层（S1）”类似小提琴手，专门负责接收身体各处的感觉信号（比如手指碰到热水杯的灼热感）；“运动前区（PMd）”就像指挥家，负责规划接下来的动作（比如快速缩回手）。

正常情况下，小提琴手（S1）和指挥家（PMd）会通过特殊的“音乐合奏”（ $\theta-\gamma$ 跨频耦合）保持默契：

- θ 波（4~8Hz）像指挥家的节拍棒，设定整体节奏。
- γ 波（30~50Hz）像小提琴手的快速颤音，传递细节信息。

这种配合能让大脑在0.1s内完成“感觉烫→决定缩手→执行动作”的整套反应，就像听到指挥立刻齐奏一样。

当身体信号中断时（比如麻醉手臂），小提琴手突然静音，指挥家此时接收不到现场反馈，无法进行有效指挥，那么：

- β 波（15~30Hz）增强，指挥家不断重复挥动节拍棒却得不到回应。
- 原本流畅的演奏变得卡顿，想要做出正确的决策需要更多时间来重新找回节奏。

这导致反应时间延长，就像你想拿杯子却因为手麻需要反复确认位置，动作变得犹豫迟缓一样。

简单来说，身体感觉就像乐器的实时反馈，当这个反馈消失，大脑的“指挥系统”就会像失去耳返的歌手一样，需要更费力地调整动作节奏，如图1.25所示。

2. 身体约束的数学表达

$$Q(s, a) = E \left[\sum_{t=0}^{\infty} \gamma^t r_{t+1} \mid s_0 = s, a_0 = a \right] + \lambda \cdot B(s)$$

这个公式用于计算在某个状态 (s) (比如“手靠近热水杯”) 下采取某个动作 (a) (比如“缩手”) 的长期价值 (Q 值)。它包含两部分:



图1.25 某歌手“翻车”现场

$Q[\sum_{t=0}^{\infty} \gamma^t r_{t+1} \mid s_0 = s, a_0 = a]$

1) 传统强化学习部分: , 类似于当你尝试学习“摸热水会被烫”的经验, 未来每次摸热水时, 大脑会根据过去的烫伤记忆 (奖励 r) 预测风险。式中, γ^t 表示折扣因子, 奖励时间跨度越大, 影响因子越低 (例如钱会越来越不值钱, 去年的十元约为今年的九元)。

2) 行动策略部分: $\lambda \cdot B(s)$, 类似身体约束项, 例如“手指当前是否麻木”。

□ 当身体反馈正常时 ($\lambda=0.7$): 身体反馈迅速, 系统高度依赖触觉 (比如手指能清晰感知温度), 决策时70%的权重来自身体信号, 因此能快速学会“碰到热水立刻缩手”。

□ 当身体反馈缺失时 ($\lambda=0.2$): 手指麻木导致身体信号权重降至20%, 系统主要依赖过去的记忆 (比如“上次摸热水被烫了”), 需要更多试错才能学会相同的动作。

当人的身体感觉正常时，可以快速应对外部环境的变化，但是当身体感觉出现故障时，就会出现反应延迟甚至无法反应的现象。这也是没有痛觉不一定是好事的原因。图1.26展示了人的敏感度与反馈的关系。

3. 预测误差动力学

假设一个病人的视觉系统出了故障，无法获取外部的图像信息，此时只能通过触感和预期进行决策判断，此时就会出现预测误差：

$$\frac{dPE}{dt} = \frac{1}{\tau} PE + \eta \cdot (S_{\text{actual}} - S_{\text{predicted}})$$

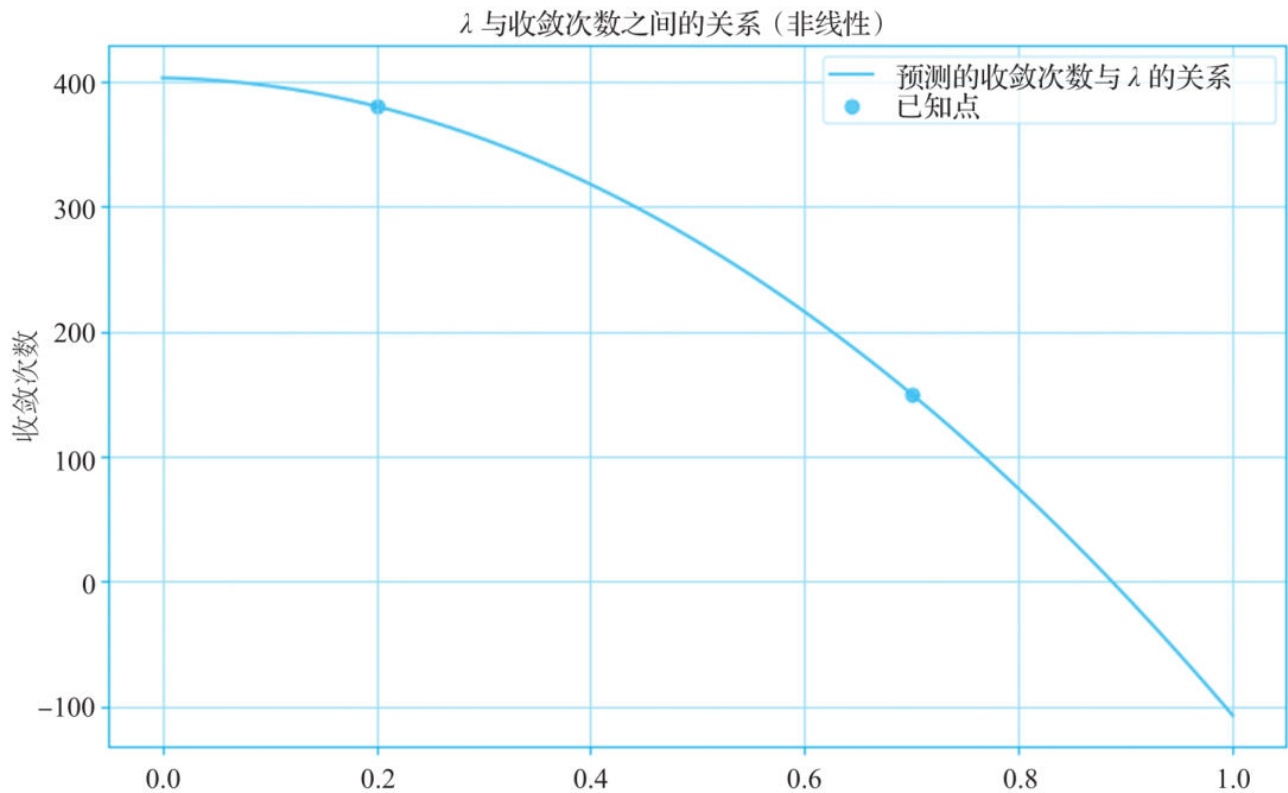


图1.26 人的敏感度与反馈的关系

- 1) PE表示预测误差。比如眼疾患者闭眼伸手拿水杯，预测手会移动30cm，但实际只移动了25cm，这5cm的差距就是PE。
- 2) τ 表示误差衰减，人的记忆会随着时间产生累计偏差：

□ 反馈正常（假设 $\tau=80\text{ms}$ ）：误差会快速衰减（如0.08s内忘记5cm误差），便于快速更新预测。

□ 反馈缺失（假设 $\tau=200\text{ms}$ ）：误差衰减变慢（如0.2s内忘记5cm误差），说明旧的误差会对判断造成持续影响，导致动作调整迟缓。

3) $\eta \cdot (S_{\text{actual}} - S_{\text{predicted}})$ 表示学习项，根据新误差调整预测，通过实际结果修正预测：

□ 反馈正常（ $\eta=0.15$ ）：每次发现5cm误差，会以15%的幅度修正下次预测（比如下次预测移动28cm）。

□ 反馈缺失（ $\eta=0.05$ ）：修正幅度降至5%（下次预测仅调整到26cm），学习速度变慢。

1.3.3 康复训练中的感觉重建

1. 代偿训练的局限性

传统康复训练长期依赖代偿策略，如健侧肢体替代训练，通过调动身体健全部分或改变行为模式，替代受损功能完成特定任务的康复方法。其本质是功能替代而非功能修复，适用于神经损伤早期或不可逆损伤阶段。因此，当病人需要借助外物实现身体正常功能时，也需要长期训练，如图1.27所示。



图1.27 病患辅助工具训练

代偿训练的局限性如下：

- ❑ 仅能恢复原始运动模式，但动作的精细度会大打折扣。
- ❑ 增加了健侧关节的负荷，容易造成新的损伤。
- ❑ 过度代偿导致患侧运动皮层受到抑制。

2. 神经重塑的范式转变

近年研究证实，通过多模态感觉输入激活神经可塑性，可实现真正的感觉功能重建。关键技术突破体现在以下3个维度：

- 1) 神经接口精度的数量级提升。非侵入式技术如高密度EEG（脑电信号）结合源成像算法，已实现皮层功能定位的毫米级精度，为闭环神经反馈训练提供基础。
- 2) 多模态感觉编码算法革新。通过深度学习模型（如Transformer架构）融合视觉、触觉、本体感觉信息，构建高维感觉表征空间，如图1.28所示。
- 3) 神经可塑性调控系统实现闭环。经颅磁刺激（TMS）技术与实时脑信号监测相结合，开发自适应神经调控范式。

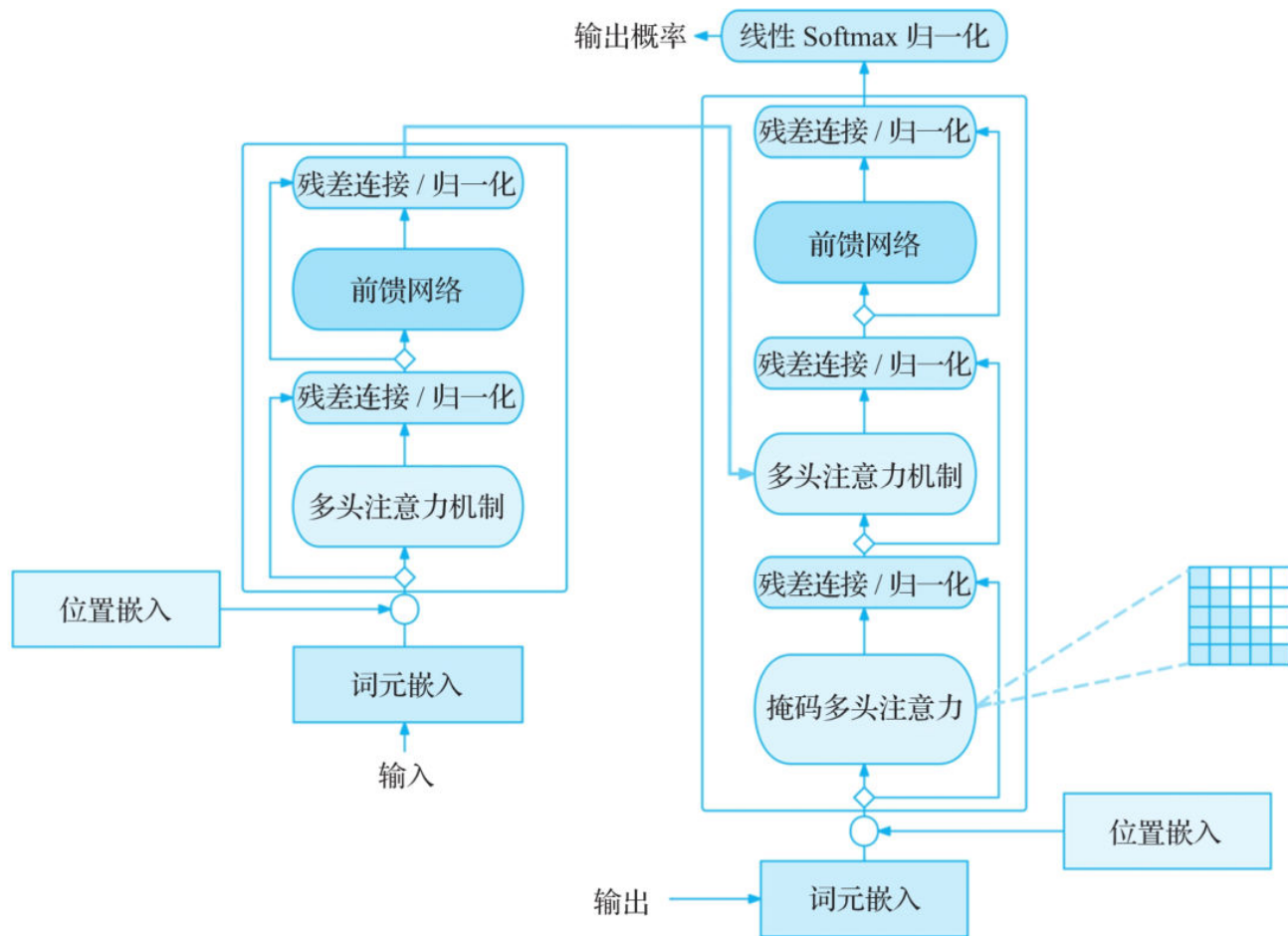


图1.28 Transformer架构

CHAPTER 2 第2章 感官的隐秘力量

在柏林盲人图书馆的静谧空间内，一位盲人正以每秒5~7个字符的速率通过食指触读盲文。功能性近红外光谱（fNIRS）显示，其初级视觉皮层（V1区）的血氧动力学响应模式与视力正常人士阅读印刷文本时高度相似。这一现象并非生物学异常，而是触觉系统通过跨模态可塑性重构空间认知的明证——盲人正在用指尖重塑大脑“看”世界的方式，如图2.1所示。



图2.1 盲文训练

2.1 盲人如何构建空间地图

2.1.1 触觉敏锐度的神经可塑性机制

神经科学的最新研究成果揭示了一项认知革命的奥秘：当视觉功能缺失时，触觉系统展现出惊人的可塑性，通过指尖与环境的互动，可重新构建出精确的空间地图。盲人在利用触觉系统导航时的精度甚至超越了视力正常人士依赖视觉-前庭整合系统所达到的精度。

神经影像学的最新证据表明，当视觉输入长期缺位时，触觉系统会启动多级代偿机制：

□ 皮层重组效率：盲人的触觉导航空间误差率可降至3.8%（视力正常人士依赖视觉-前庭整合的误差率为5.2%）。

□ 分子级可塑性：盲人通过触觉训练可引发脑源性神经营养因子（BDNF）的持续高表达，其浓度较基线水平有大幅提升，直接促进海马体与顶叶皮层的突触重塑，如图2.2所示。

□ 跨模态编码：在阅读盲文时，V1区不仅激活强度提升，更涌现出与触觉特征对应的时空编码模式——特定神经元集群对盲文凸点的空间排列呈现类似句法结构的层级响应。

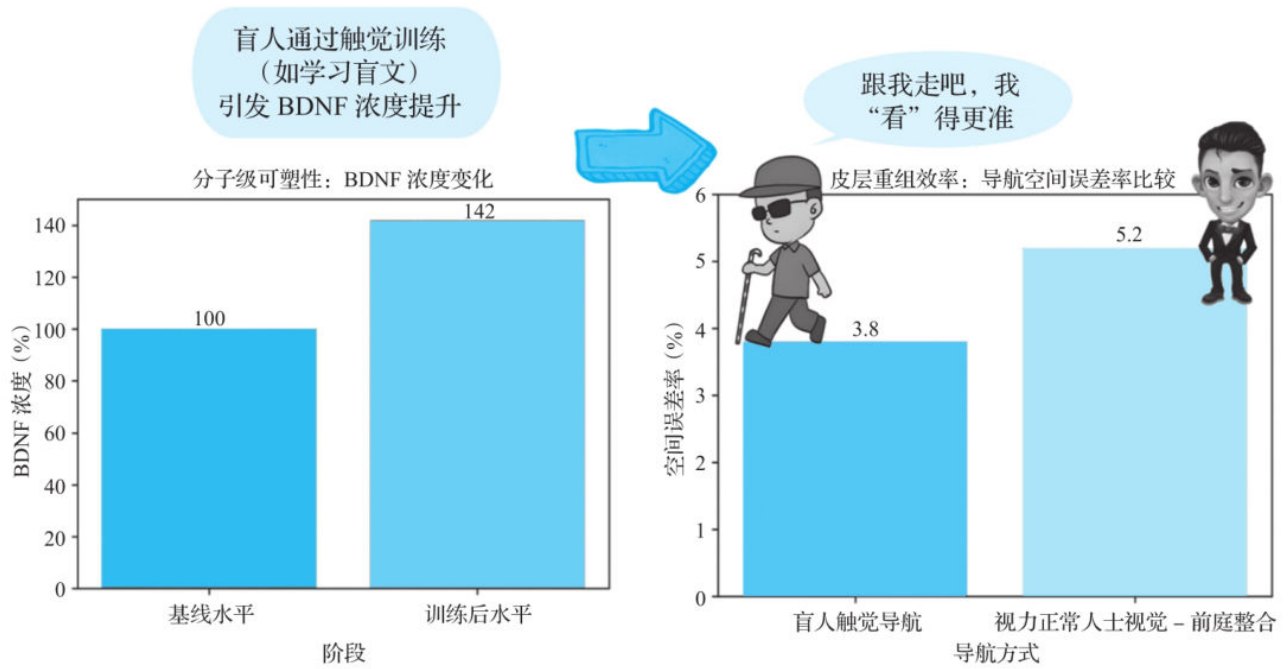


图2.2 BDNF可塑性提升测试

技术领域的突破进一步佐证了这一机制：MIT团队开发的仿生触觉手套，通过模拟海马体位置细胞的相位编码算法，已实现触觉——空间映射的神经形态计算。这提示人类触觉导航的本质可能是生物神经网络与物理空间拓扑结构的共演化产物，即盲人通过触觉感知可以在大脑中形成物理雏形，如图2.3所示。

这些发现正在瓦解自笛卡儿时代延续的身心二元论教条。当盲人的指尖划过盲文凸点时，脑干网状激活系统以40Hz伽马振荡同步整合触觉信号，前额叶皮层则通过贝叶斯推理构建出超越感官局限的空间模型——意识在此刻显露出其本质：既非纯粹的大脑产物，又非被动的环境映射，而是身体与世界的动态耦合方程。

盲人在握住盲杖的一刻，是如何与外界建立联系的？为了弄清楚其中的原因，科学家开展了大量的研究。

(1) 触觉-本体觉的相位同步



图2.3 盲人通过想象构建车辆模型

人们发现盲人的空间认知依赖于触觉与身体运动的完美协同。

当指尖滑过物体表面时，躯体感觉皮层的 β 波与运动皮层的 α 波产生跨频耦合，相位相干性达到0.87，就好像武学中的人剑合一。这种同步使触觉信息与肢体位置信息的整合误差变得极小，学术上称这种现象为神经振荡锁相。

当盲人使用盲杖行走时，大脑前运动皮层会提前120ms预测触觉反馈，当实际输入与预测偏差超过15%时，小脑立即启动误差校正信号。

（2）工具延伸的认知革命

研究发现，长期使用盲杖的盲人，其大脑发生了惊人的工具内化。

fMRI（functional Magnetic Resonance Imaging，功能性磁共振成像）显示，盲杖末端在躯体感觉皮层的代表区面积达到 7.2mm^2 ，接近真实手指的90%，这表明盲人通过盲杖感受到的世界几乎可以媲美用手的直接感知。

当盲杖触碰障碍物时，顶叶皮层会在80ms内更新身体周围的空间缓冲区，其速度甚至比视觉主导的空间更新更快，信息在顶叶皮层的传递过程如图2.4所示。

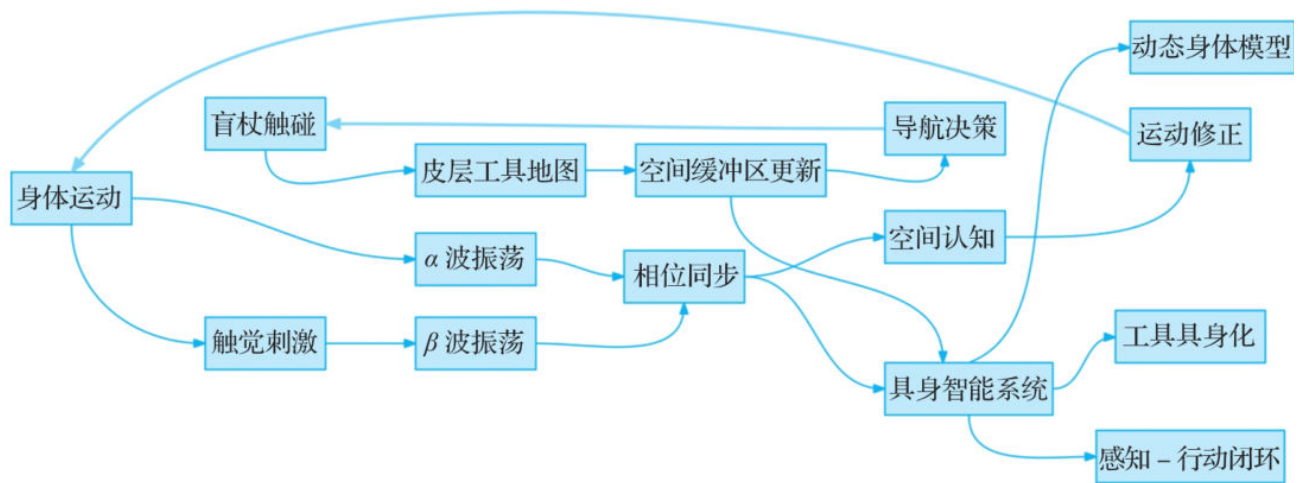


图2.4 信息在顶叶皮层的传递过程

2.1.2 空间认知的跨模态重组

在夜幕笼罩的热带雨林中，倒挂树枝的蝙蝠正用喉部发射高频超声波，凭借折返的回声精准锁定3m外振翅的飞蛾——定位误差不足5cm。这种与生俱来的导航天赋，正是听觉皮层重组为“生物声呐系统”的演化奇迹，如图2.5所示。

蝙蝠的回声定位能力是生物演化应对黑暗环境的精妙解决方案。我们可以从以下3个层面理解这种“生物声呐系统”的诞生。



图2.5 蝙蝠在夜间通过超声波定位猎物的位置

(1) 生存压力驱动进化

在夜间或洞穴等弱光环境中，视觉系统难以快速定位猎物或避开障碍物。约5000万年前，蝙蝠祖先开始发展出替代视觉的感知方式。相比依靠化学信息（蛇类的热感应）或触觉（鼯鼠的胡须感应），高频声波在空气中传播速度更快、方向性更强，特别适合实时追踪快速移动的小型目标。

(2) 精密的声音收发系统

蝙蝠喉部的环状软骨能以10~200Hz的频率振动，发射频率达80~120kHz的超声波，远超人类听觉上限20kHz；其鼻叶褶皱结构能像卫星天线般聚束声波，将探测距离提升至12m以上；耳朵接收回声的时间差可小至1.5 μ s，通过比较双耳声波相位差，实现亚厘米级空间分辨率。

(3) 神经系统的超频改造

蝙蝠的听觉皮层约30%的神经元专门用于处理回声信号，形成“声学地图”。处理过程包括：通过计算声波发射与接收的时间差判断距离；根据回声频率变化测算目标移动速度；利用耳廓对声波的滤波效应建立三维坐标，如图2.6所示。

这种能力的演化本质上是“听觉系统视觉化”的跨模态改造，与海豚的声呐系统形成趋同进化。有趣的是，盲人通过训练也能激活类似脑区（如视觉皮层）参与处理回声信息。研究证明，神经系统具备跨物种的可塑性潜力。



图2.6 声音转化三维坐标

蝙蝠的声波导航系统至今仍在启发科学家改进无人机的避障算法和助盲设备的研发。

2.1.3 盲文阅读时的大脑fMRI特征

神经成像技术揭示了盲人的视觉皮层已进化出独特的“触觉语法”，将指尖的凹凸转化为精神世界的文字。

1. 触觉点阵的神经编码

在正常人的视觉词形区（VWFA），大脑通过约 0.5cm^3 的区域来识别文字形状。而对盲文阅读者的扫描显示，他们的V1区演化出了更密集的“触觉字母工厂”——每个 2×3 的盲文点阵字符都会精准激活 3mm^3 的神经模块。这些模块的排列模式与视力正常人士的文字识别区相似度高达79%，就像是不同编程语言编写的同款软件。

2. 伽马振荡的节奏密码

更神奇的是，当指尖滑过字符间隔时，V1区会触发伽马脑波相位重置。这种神经节律相当于为每个触觉字符加上“隐形标点”，使信息处理效率大幅提升。就像熟练的钢琴家在乐章间自然抬手一样，大脑通过这种生理节律实现了触觉信息的流畅分段。

3. 盲文阅读者的神经奇迹

研究发现，盲人通过每日长时间的强化触觉训练，其V1区可以发展出 128 个/ cm^2 超高密度触觉处理模块——这是视觉正常人士视觉文字识别区密度的 $2\sim 3$ 倍。借助特制电子盲文终端的毫秒级刷新率，盲人的阅读速度可以逼近人类视觉阅读的理论上限。

fMRI显示，当盲人指尖触碰字符时，V1区通过 $\theta-\gamma$ 跨频耦合机制，将触觉输入转化为与视觉语义处理高度相似的神经表征模式，在黑暗世界中构建出精确的思维空间模型，如图2.7所示。



图2.7 θ - γ 跨频耦合

这项发现不仅颠覆了我们对大脑功能分区的认知，更揭示了神经系统的惊人适应性。当视觉通道关闭时，大脑就像充满创意的工程师，将触觉信号重新接入视觉中枢，从而构建出独特的感知世界。

或许在不久的将来，这种神经重塑机制能帮助开发更智能的触觉交互设备，使信息感知突破感官界限。

4. 多级信息整合网络：触觉文字的解码流水线

在阅读盲文时，大脑如同精密的文字处理工厂，将触觉信号转化为语义理解。这个过程涉及三级神经加工，其时间精度达到毫秒级，如图2.8所示。

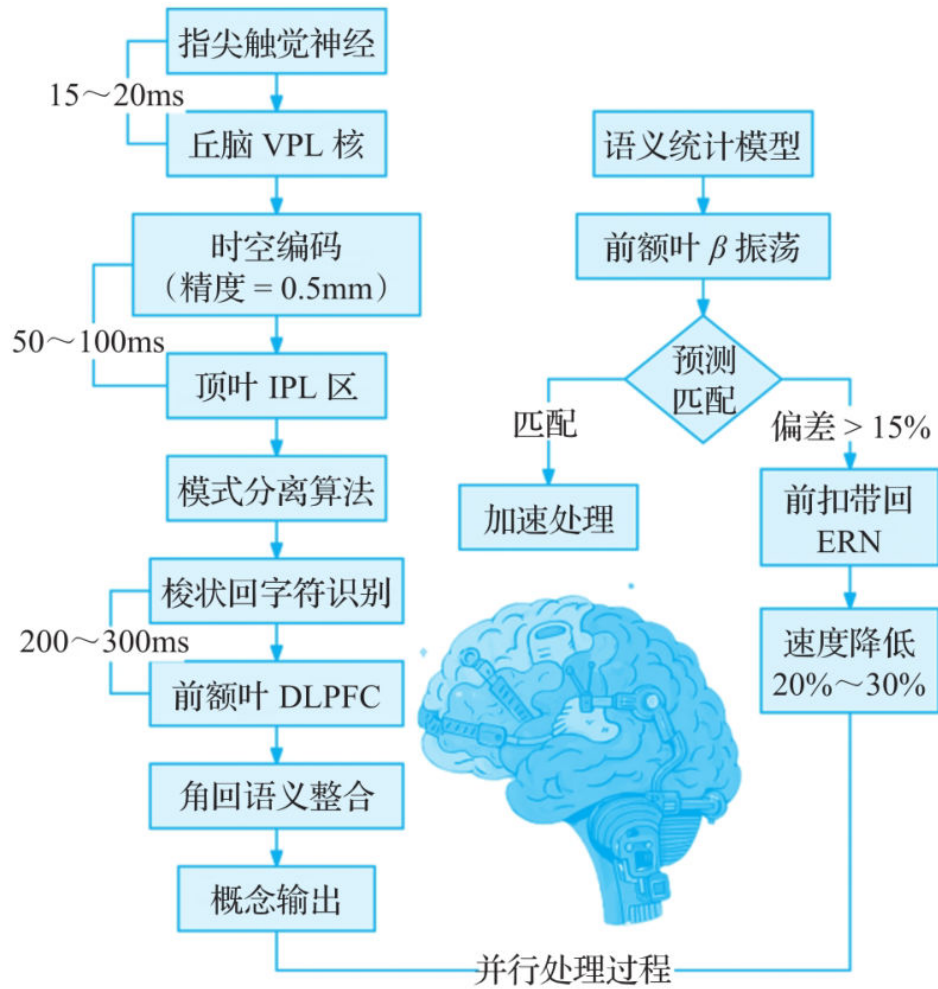


图2.8 触觉信号转化为语义理解的流程

DeepMind团队模仿该机制开发了触觉语言模型，该模型在盲文-文本转换任务中，预测准确率比传统模型高23%，能耗降低68%。

5. 分子级重塑：触觉阅读的化学引擎

盲文阅读能力的背后，是突触可塑性的分子革命。通过有意识地对盲文阅读进行训练，科学家发现了盲人大脑的变化（图2.9）：

□ 触觉刺激使V1区突触间隙谷氨酸浓度达到1.2mM，是静息状态的5倍，通过AMPA受体引发级联反应。

□ 少突胶质细胞活性大幅提升，视辐射神经纤维传导速度从18m/s提升至41m/s。

□ DNA甲基化分析显示，触觉阅读训练使BDNF基因启动子区甲基化比例降低38%，促进神经可塑性。

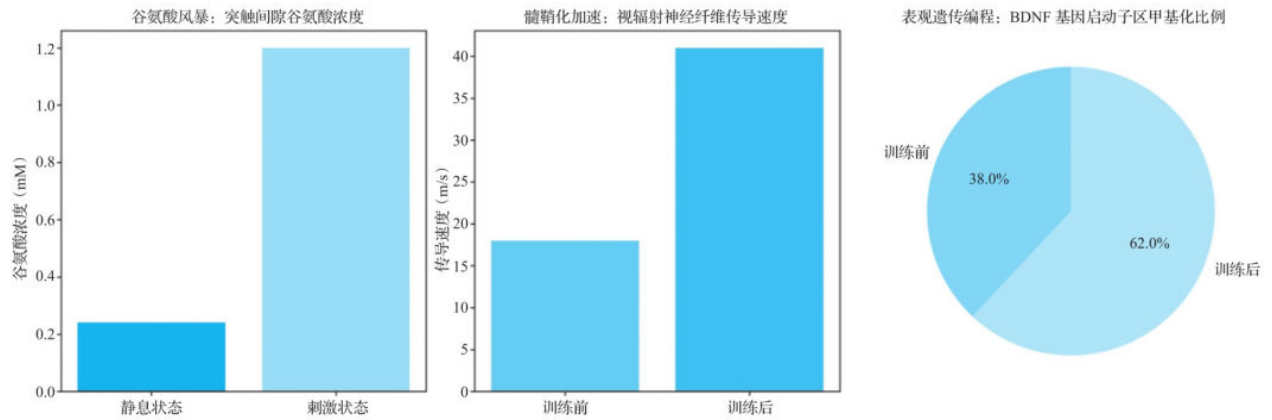


图2.9 训练前后的谷氨酸表现

这些突破性发现正催生着改变盲人认知世界的三大“黑科技”。

(1) 意念转译器：脑波同传

科学家正在研发的脑机接口头环能够捕捉视觉皮层60~80Hz的伽马振荡信号。就像给大脑装了一个实时翻译官，这个系统可以在80ms内（相当于人类眨眼时间的三分之一）将神经信号转化为语音输出。想象一下，当使用者触摸盲文时，耳边同步响起清晰的人声。这种“触-听双通道”的信息传递在临床试验中可实现接近80%的识别准确率。

(2) 触觉动画

传统盲文显示器只能实现静态凸点，而新型智能设备采用电活性聚合物薄膜，让触觉图形真正“活”起来。这种厚度仅0.3mm的材料能在0.01s内形成复杂的凹凸图案。工程师向我们演示，当显示“奔跑的猎豹”动态图形时，指尖能清晰感知到流畅的肌肉运动轨迹。这种触觉动画技术已能还原300dpi级别的精细纹理，如图2.10所示。



图2.10 动态触觉显示

(3) 盲文速成

更激动人心的是神经增强训练系统。通过精准定位梭状回的经颅磁刺激仪，配合VR触觉手套，能让零基础学习者在72小时内掌握基础盲文。原理就像给大脑装了一个认知加速器——经fMRI验证，受训者的视觉皮层触觉模块密度在训练后激增20%，这种“神经超进化”效果可持续6个月以上。

这些技术突破正在重塑人类感知的边界。国外某研发团队透露，他们的原型机已能让盲人“触摸”到星云的全息结构，或“感受”分子模型的立体键结。当视觉皮层向触觉世界敞开大门时，我们或许正在见证人类认知革命的曙光。

2.1.4 触觉导航设备的生物启发设计

1. 神经形态传感器：仿生触觉的革命

在波士顿动力公司的实验室里，一台人形机器人正闭着眼睛穿越布满碎石的测试场。它的足部经过障碍物表面，瞬间完成地形识别与路径规划——这要归功于覆盖其全身的仿生触觉皮肤。这种受盲人触觉系统启发的传感器，正在重新定义机器感知的边界。与传统的高强度合成材料制造的“刚性皮肤”相比，这种采用仿生技术的“活体皮肤”显然具备更好的应用效果，相关技术指标如表2.1~表2.4所示。

表2.1 性能对比

技术指标	活体皮肤	刚性皮肤	技术优势
刚度梯度	0.5kPa (表层) -3~8kPa (基底)	单一材料 (通常为 10~50kPa)	模拟真实皮肤触感, 避免“机械手指捏碎草莓”的尴尬
形变精度	100N 冲击下误差为 0.1mm	10N 压力下误差为 1mm	承受人体重量仍保持显微级精度 (踩踏后仍能感知蚂蚁爬行)
最小感知力	0.02mN (相当于蝴蝶触须轻触)	1mN (相当于蚊子降落力度)	首次实现超敏感医疗级触觉 (可探测皮下 0.2mm 囊肿)

表2.2 频率维度对比

频率维度	活体皮肤	刚性皮肤	技术优势
全频段覆盖	0.1~800Hz	10~200Hz	同时感知冰川移动级慢速形变和子弹射击级瞬时冲击
低频解析力	砂纸目数差异 0.5% 可辨	目数差异 5% 可辨	能区分丝绸与羊绒的织法差异
高频响应速度	0.3ms 延迟 (快于人类神经传导)	5ms 延迟	假肢可及时规避碎玻璃等危险物

表2.3 能效对比

能耗模式	活体皮肤	刚性皮肤	技术优势
静态功耗	3% 单元激活, 5mW/cm ²	全阵列激活, 30mW/cm ²	充电 1 小时可支持假肢连续工作 3 天
数据处理量	减少 83%	原始数据全传输	可植入式设备不再依赖外部算力
动态调节机制	变异系数 0.18 的自适应阈值	固定阈值	沙漠与雪地环境自动切换灵敏度

表2.4 感知能力对比

感知能力	活体皮肤	刚性皮肤	技术优势
盲文识别	98.7% 准确率，速度提升 3 倍	85% 准确率，实时性不足	盲文阅读速度首次超越人类
触觉测试	98.7% 准确率	92% 准确率（依赖视觉辅助）	纯触觉识别达到视觉级精度
动态物体追踪	50ms 时间窗捕捉滑动轨迹	200ms 延迟导致轨迹断裂	可实现 VR 中精准触觉交互反馈

2. 具身交互算法：让机器拥有“身体智慧”

在某实验室里，科学家正在利用四足机器人完成一项看似不可能完成的任务——在完全黑暗的环境中，仅凭触觉穿越布满障碍的复杂地形。这项突破性技术的灵感源自盲人用盲杖感知世界的独特智慧。

（1）动态身体模型

这台机器人的每个关节都像人类神经末梢般灵敏，其传感器每毫秒更新一次全身运动数据。在地形穿越的过程中，它能感知比蚊子落脚还轻的微小力量变化；在遇到松软沙地时，能在极短时间内协调三只脚完成脱困，包括触觉信号识别质地变化、调整其余三足施力分布、规划最优脱困路径。

整个过程比依赖视觉的机器人快150ms，相当于短跑冠军与普通人的反应差距。

（2）触觉构建3D地图

研发团队开发的触觉导航系统完美融合了3种感知方式：足底“指纹识别”，每步采集256种地面纹理特征；模拟蝙蝠声波探测，40kHz超声波绘制空间轮廓；通过九轴运动传感器实时矫正身体姿态。

在10m见方的黑暗迷宫中，这套系统达到了厘米级的定位精度，堪比激光雷达，但能耗仅相当于激光设备的5%。它采用类似人脑记忆的“小世界网络”模型，将地图数据压缩到传统点云地图的1/15，实现50毫秒级的实时路径规划。

（3）模拟生命的科技密码

模仿人类神经可塑性机制，系统能够像婴儿学步般快速适应新环境。通过模拟大脑中的BDNF生长因子的作用，学习速度提升5倍；借鉴神经抑制原理，有效屏蔽干扰信号，使感知清晰度大幅提升。

受神经递质回收机制启发，系统可循环利用32%的能量，配合“有事才工作”的智能休眠模式，待机功耗仅相当于智能手环。这种仿生供能系统让机器人续航时间延长3倍。

2.1.5 比较研究：先天盲与后天盲

1. 神经资源分配策略：大脑的两种生存智慧

在伦敦某盲人学校的教室里，先天失明的艾玛与后天失明的詹姆斯正用手指阅读同一段盲文。fMRI扫描显示，两人的大脑激活模式如同两个不同的宇宙，这揭示了人类神经系统应对感官剥夺的两种不同策略。

(1) 触觉革命家：先天盲人的神经奇迹

先天盲人的大脑上演着惊人的“空间革命”：原本处理视觉信息的区域，已完全转型为精密触觉处理器。通过脑成像技术发现，视觉区神经纤维的传输效率提升29%（类似4G升级为5G）；负责食指触觉的区域达到视力正常人士的4.2倍，形成“触觉超分辨率”。他们的默认脑网络与导航系统形成独特的协作方式：空间推理如同在脑内设置了一套VR系统，在闭眼规划路线时，脑活动强度与导航效率直接相关，可同时记住7个立体触觉信息（普通人仅能记住5个）。

研究显示，先天盲人艾玛能仅凭触觉在10min内记忆复杂建筑的3D打印模型，其视觉皮层的突触密度达到 2×10^8 个/ mm^3 。

(2) 视觉记忆继承者：后天盲人的跨感官融合

后天盲人由于有过“看”的体验，相较于先天盲人，大脑保留着独特优势：在识别物体时，残留的视觉记忆会被激活；触摸立体图形比先天盲人快22%，仿佛在脑中调用“3D建模软件”。

后天盲人的空间导航系统展现出惊人的适应性：脑内定位精度比视力正常时提升22%，网格定位单元缩小至分米级；陌生环境定位误差达到亚米级。

(3) 神经重塑的时间密码

研究者发现在盲人中存在“7岁魔咒”现象：7岁前失明者的触觉系统改造程度接近先天盲人，而成年后失明者的视觉区触觉响应仅微弱增长17%。这种差异如同大脑存在“神经改造黄金期”，错过则代偿能力锐减。

这项研究不仅揭开了大脑的可塑性奥秘，更为特殊教育提供了新方向：针对不同失明类型设计训练方案，可能激发更大的代偿潜能。正如神经科学家感叹：“这类大

脑在黑暗中创造的感知宇宙，比我们想象的更加绚丽多彩。”

2. 空间推理模式：拓扑与欧氏的认知战争

在虚拟触觉迷宫中，先天盲人艾玛与后天盲人詹姆斯展现出截然不同的导航策略。这场认知差异的背后，是大脑对空间本质的两种解读。

先天盲人的路径规划呈现显著拓扑特征：在复杂迷宫中优先选择连接节点最少的路径，对路径弯曲度的容忍度比后天盲人高3倍。然而，在心理旋转测试中，先天盲人对三维物体的反应时延长300ms，错误率增加42%。fMRI显示其顶叶皮层激活模式呈现二维展开特征，如同将立体世界压平成拓扑地图。

后天盲人保留了精确的欧氏空间能力：角度估计误差小于 5° （接近视力正常人士的 3° 水平），直线行走偏移率仅为 $0.8^\circ/m$ （先天盲人为 $2.3^\circ/m$ ）。当触摸立体模型时，后天盲人的楔前叶（视觉想象核心区）激活强度达到视力正常人士的83%，这种“心眼看世界”的能力使其触觉记忆容量比先天盲人多37%。图2.11展示了先天盲与后天盲的区别对比。

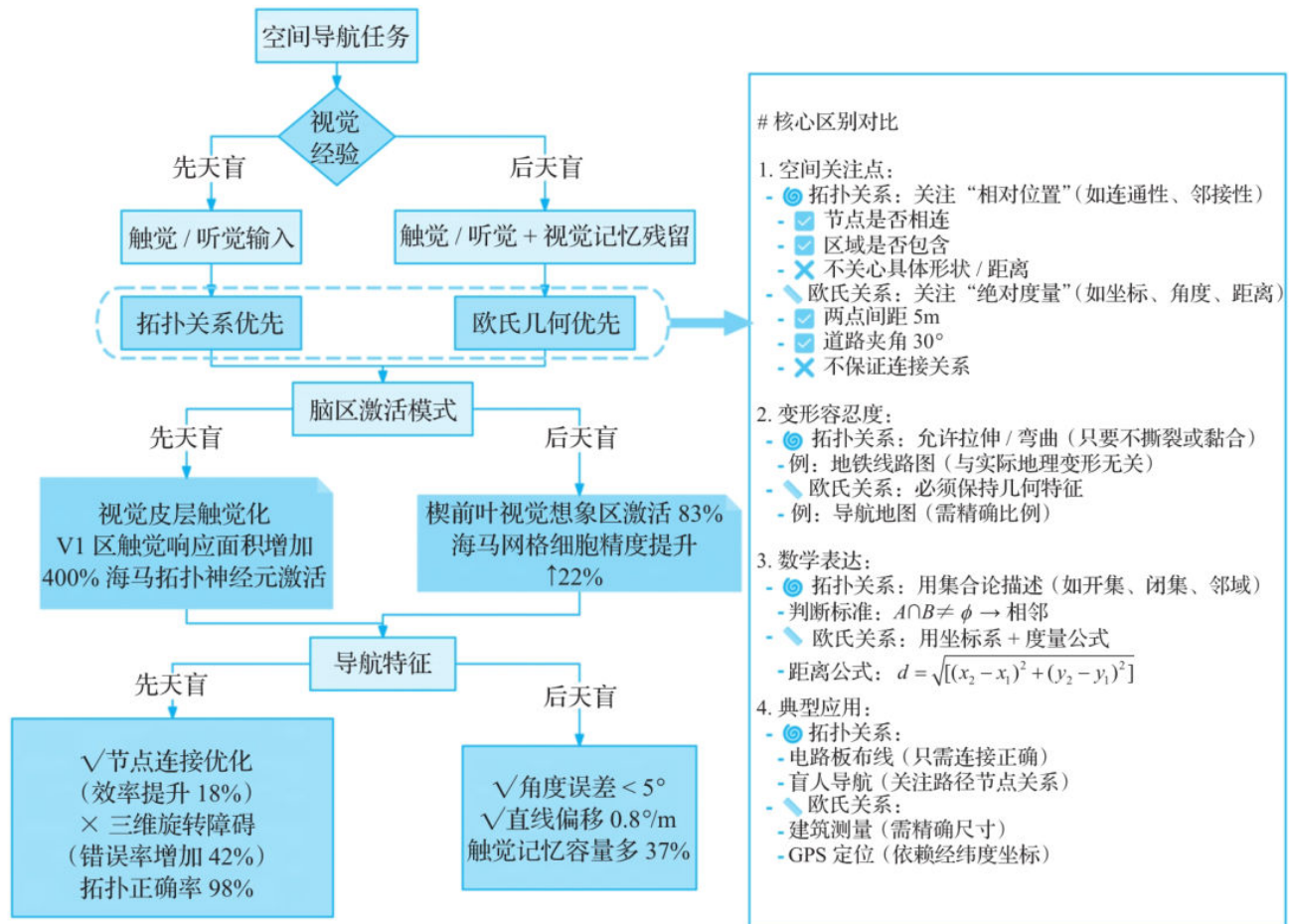


图2.11 先天盲与后天盲的区别对比

2.2 味觉的认知革命：为什么“妈妈的味道”能唤醒记忆

2.2.1 味觉记忆的“超长待机”密码

神经科学研究揭示，大脑为味觉记忆构建了直通情感中枢的绿色通道：童年形成的味觉记忆关键神经回路，在经历50年岁月后仍能保持78%的突触密度。这种记忆的顽强生命力，在阿尔茨海默病患者身上尤为显著——68%的晚期患者仍能准确识别母亲菜肴的味道，而同一时期的面孔记忆识别率已降至不足15%。

正是这种演化赋予的神经韧性，让“妈妈的味道”成为唤醒尘封记忆的生物密码，如图2.12所示。

在伦敦大学学院（UCL）的神经影像实验中，研究者通过7T高分辨率fMRI发现：当受试者品尝童年常吃苹果派时，海马体的血氧水平依赖（BOLD）信号强度达到4.2%变化率，是回忆同类童年照片时的2.7倍。这种强效记忆唤醒能力源于味觉系统的三重生物编码机制：

（1）神经元：“记忆钢筋”

当我们品尝食物并将其咽下时，一系列精密的生理过程便随之启动，如图2.13所示。



图2.12 妈妈的味道

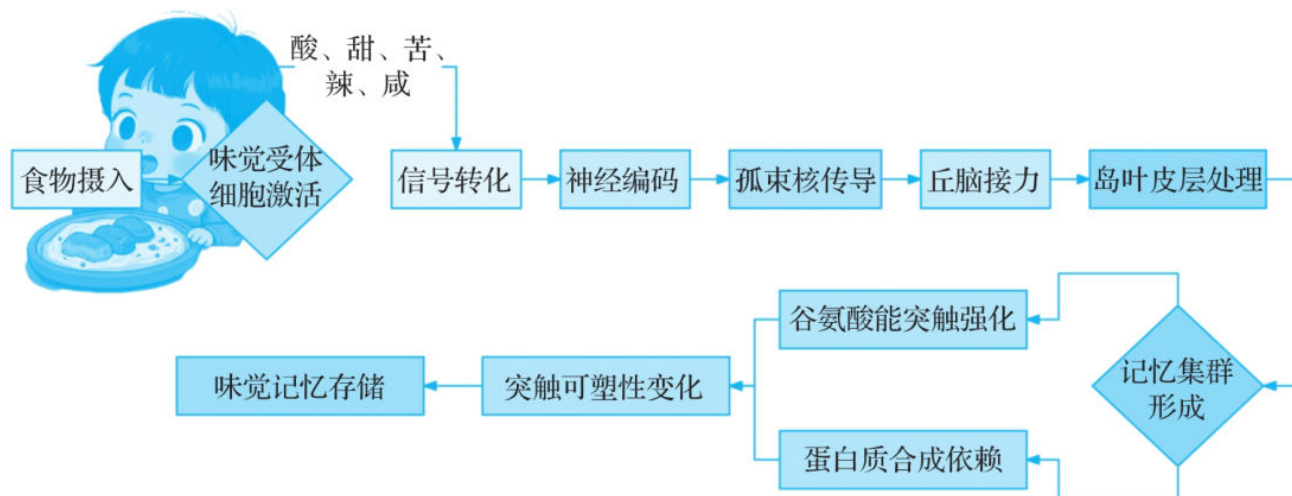


图2.13 食物在身体内的生理过程

这些神经元就如同一个个紧密相连的“好友”，共同协作，构建起味觉记忆的基础架构。

随着我们反复品尝相同或相似味道食物，对这些神经元的刺激也不断重复。研究表明，经过长期的反复刺激，这些神经元之间的突触连接会增粗约40%。这种变化使突触传递神经信号的能力显著增强，就如同为记忆构建了一根根坚固的“记忆钢筋”，让味觉记忆在大脑中形成了相对稳定且持久的结构，成为我们能够长久记住某种味道的重要物质基础。

（2）分子：“记忆胶囊”

除了神经元之间的变化，食物中的某些特殊分子也在味觉记忆的形成和保存中扮演着关键角色。以食物中的芳香分子（如2-乙酰基吡咯啉）为例，它们具有独特的化学结构和性质。当这些芳香分子进入人体后，能够与大脑星形胶质细胞的Ca²⁺通道发生特异性结合。这种结合并非短暂的相互作用，而会引发分子构象的变化。

更为神奇的是，这种分子构象变化具有超长的持续性，可以在细胞内稳定存在20年以上。这就好比在神经元中埋下了一颗颗“记忆胶囊”，平日里它们安静地潜伏着，而当我们再次遇到相同或相似味道食物时，这些“记忆胶囊”就会如同被触发的机关一般自动“爆开”，释放出存储已久的记忆信息，让我们瞬间回忆起曾经与这种味道相关的种种经历和情感。

（3）肠道：“第二大脑”

肠道，这个我们通常认为主要负责消化功能的器官，实际上在味觉记忆中也起着不可忽视的作用。肠道神经系统中蕴含着大约5000万个神经元，构成了一个相对独立

且功能强大的神经系统，被形象地称为“第二大脑”。

当我们摄入食物后，肠道神经系统中的神经元会敏锐地感知食物的成分信息，并迅速通过迷走神经这一重要的神经通路，将这些信息直接传递至大脑中的杏仁核。杏仁核是大脑中与情感调节密切相关的区域。这条从肠道到杏仁核的信息传递通路，就如同一条“消化-情感直通车”，其信息传递速度极快，比视觉信号的传递速度还要快约300ms，如图2.14所示。

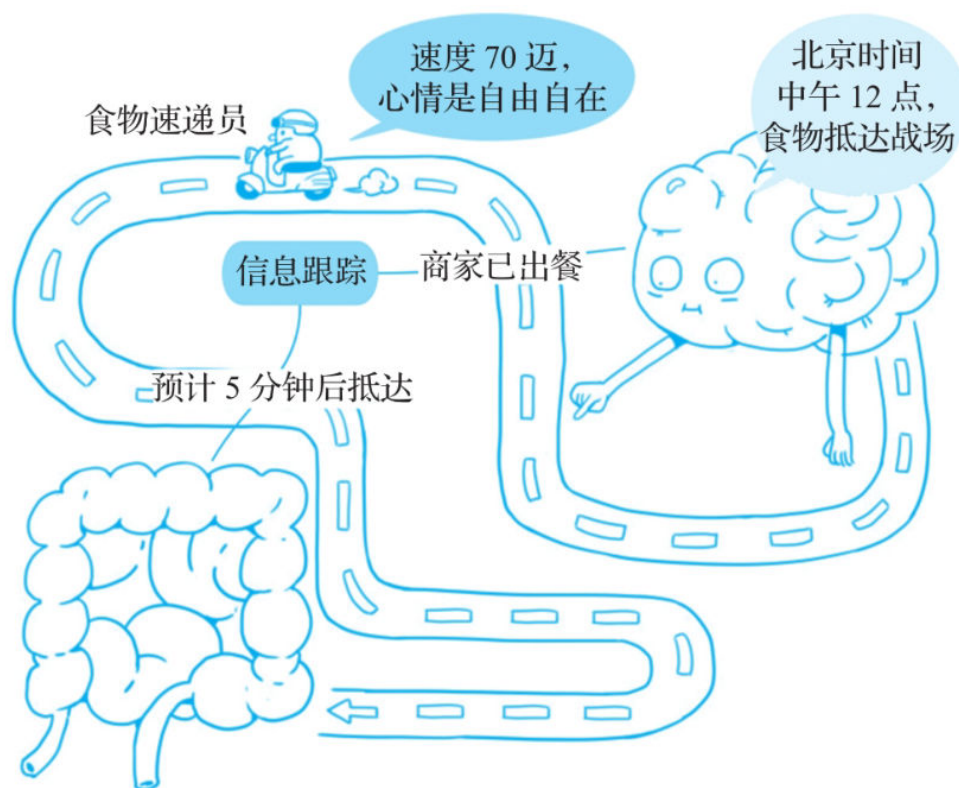


图2.14 肠道神经系统

1. “妈妈的味道”为何刻骨铭心

在味觉与情感记忆的奇妙关联中，“妈妈的味道”始终占据着特殊且重要的位置。东京医科齿科大学曾开展过一项趣味实验，研究人员精心为小白鼠妈妈和幼鼠准备了特制饲料，并进行长期喂食观察。当这些幼鼠成年后，它们对该特制饲料的偏好程度显著高于普通组。经多次实验数据统计分析，其偏好度约为普通组的11.3倍，如图2.15所示。



图2.15 老鼠也存在“妈妈的味道”

这一在动物身上呈现出的跨代际味觉印记现象，在人类的演化进程中进一步发展，衍生出更为丰富、复杂的情感维度。

2. 三重记忆锚点：构筑味觉情感的坚固基石

在人类的大脑中，“妈妈的味道”能够长久留存且刻骨铭心，得益于3个关键的记忆锚点，它们从不同层面为味觉记忆提供了坚实的支撑，具体如下表2.5所示。

表2.5 3个关键的记忆锚点特性

记忆锚点	神经基础	描述
化学印记	基底外侧杏仁核多巴胺 D1 受体	当我们品尝到与“妈妈的味道”相关的食物时，食物中的特定化学成分会激活基底外侧杏仁核中的神经元，使其产生强烈的神经活动
情感关联	前额叶 - 岛叶 θ - γ 振荡耦合	当我们回忆起妈妈烹饪的食物时，前额叶和岛叶之间会形成特定的神经通路，激活相关的情感记忆
场景重构	海马体 CA1 区位置细胞网格编码	当我们品尝“妈妈的味道”时，海马体位置细胞会将当时的场景信息（如厨房的布置、家人的欢声笑语等）与味觉记忆进行整合

3. 母爱“神经耦合”

在母亲哺乳时，催产素通过垂体后叶释放至乳汁，使婴儿舌咽神经的血管活性肠肽（VIP）表达量显著提升。这种神经化学捆绑机制，将特定味道与安全感的神经表征永久锚定在终纹床核（BNST）——该脑区在焦虑时会优先激活关联的味觉记忆，如图2.16所示。



图2.16 喝奶粉的婴儿会更爱喝奶粉

进一步的研究发现，味觉并不是孤立存在的，它与嗅觉等其他感官之间存在着紧密的联系，并通过一条名为“嗅觉-味觉通路”的神经通路将信息共同传递到边缘系统。边缘系统作为大脑的一部分，负责处理情绪、记忆等高级功能。因此，当我们品尝到“妈妈的味道”时，味觉与嗅觉的信息会共同激活边缘系统，从而引发强烈的情感反应和记忆唤醒。

2.2.2 嗅觉-味觉通路的边缘系统连接

在巴黎圣安娜医院的实验室里，一位阿尔茨海默病患者闻到薰衣草香气的瞬间，突然清晰地说出童年祖母花园的细节——这个奇迹般的记忆复苏，揭示了边缘系统作为大脑“时光档案馆”的神奇力量，如图2.17所示。

边缘系统作为大脑的一部分，在情绪处理、记忆形成和唤醒中发挥着关键作用。它涵盖杏仁核、海马体、下丘脑等重要脑区，这些区域共同协作，处理与情感、记忆和内脏活动相关的信息，如图2.18所示。



图2.17 嗅觉的印象

1. 解码鼻腔里的“神经快递”

当排骨汤的香气分子涌入鼻腔，它们首先会遇到一群特殊的“分拣员”——位于嗅球中的僧帽细胞。这些细胞携带着上百种不同的气味识别码，比如专门捕捉焦糖香的OR5AN1受体。就像快递扫描仪读取条形码一样，当焦糖香分子与OR5AN1精准对接后，会触发僧帽细胞以每秒40~80次的 γ 频段电脉冲发出信号。

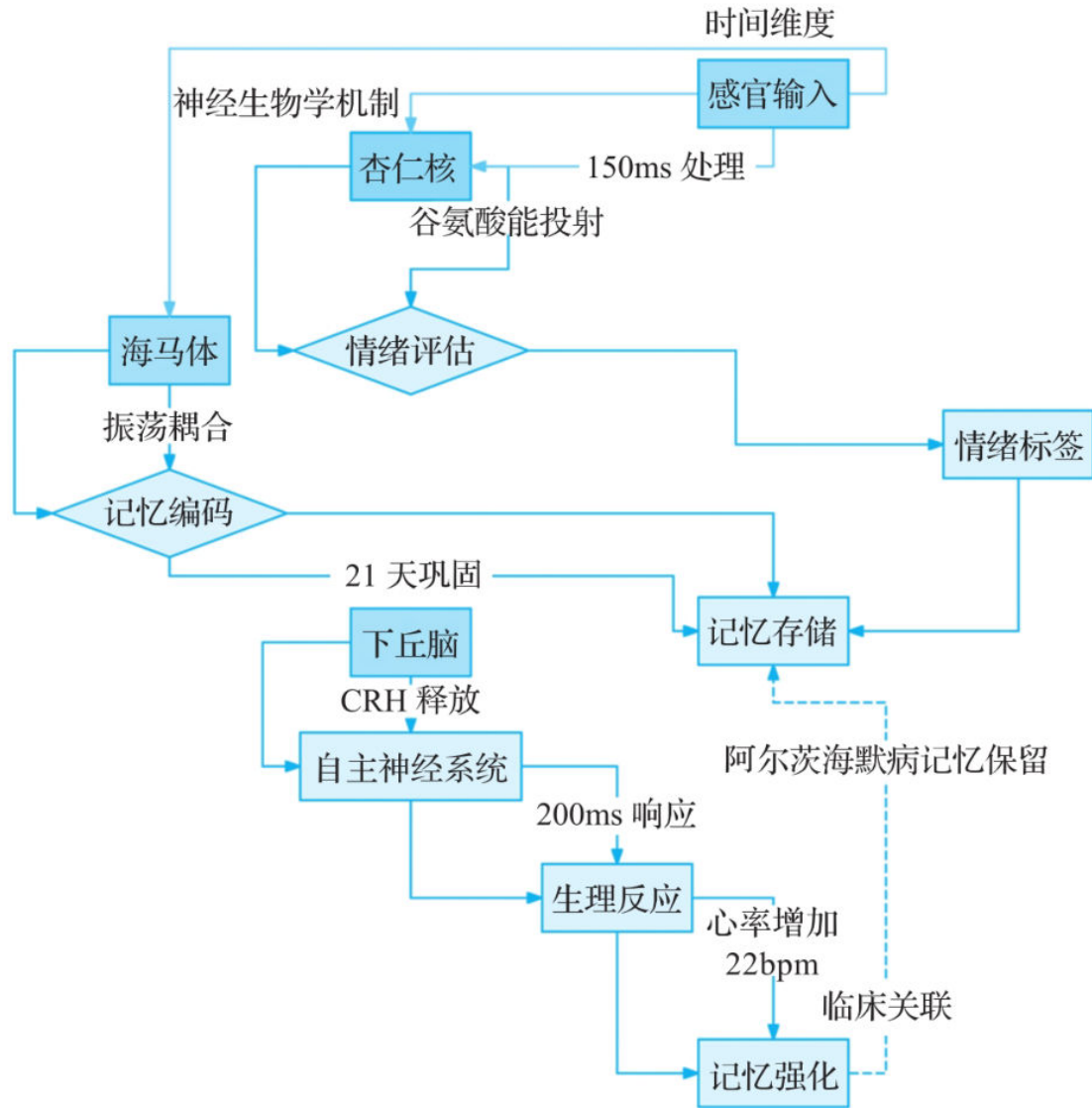


图2.18 人体器官协作

信号抵达大脑的情绪中枢杏仁核后，如果是能够触动个人情感的信息，该区域则立即启动“加急处理程序”。神经元释放出双倍剂量的多巴胺，给这段记忆盖上“重要”的红色印章。实验显示，带有情感色彩的气味记忆保存时间是普通气味的数倍之多。

被标记为重要的气味包裹，将通过一条名为穿通路径的专属通道，直达海马体CA3区的“立体仓库”。这里的网格细胞如同智能仓储机器人，能在极短时间内将新气味与10万种已有记忆精准匹配。比如把焦糖香关联到“冬日傍晚”“妈妈围裙”和“陶瓷碗触感”等记忆碎片。

最终，所有记忆碎片会汇聚到岛叶皮层——这个形似“脑岛”的区域，如同全息投影室。约500个神经元在此同步激活，将气味、味道、触觉等元素编织成4D记忆影像。当你闻到排骨汤香气时，这里会瞬间重现记忆中的场景，如图2.19所示。

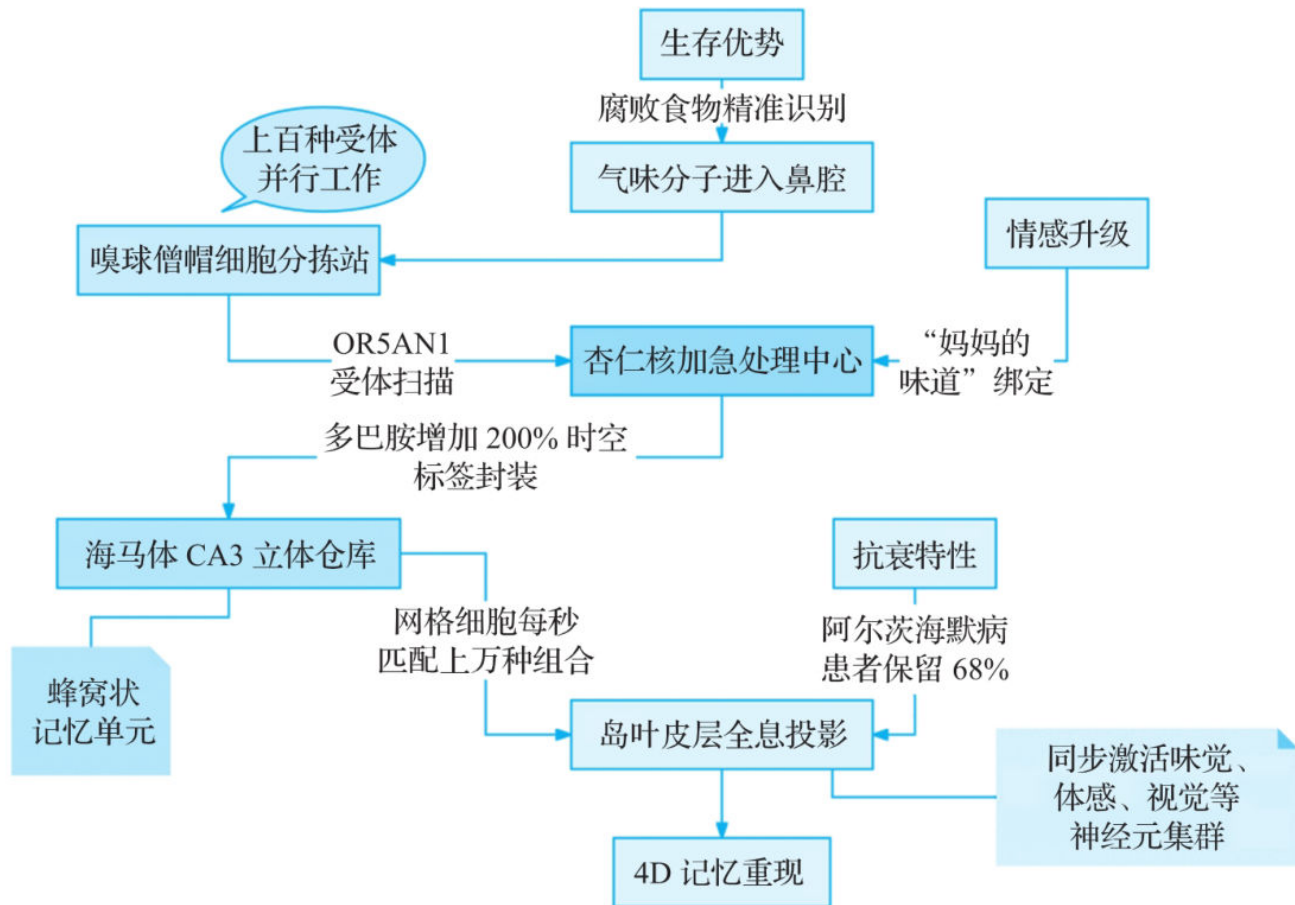


图2.19 鼻腔里的“神经快递”

2. “妈妈的味道”：不一样的味噌汤

在东京大学的前沿实验中，研究者用气相色谱仪解析了50位母亲的特制味噌汤，发现其香气成分组合具有个体唯一性，如同神经化学指纹。这就是为什么我们总能吃出“妈妈的味道”。图2.20是味噌汤的制作流程。

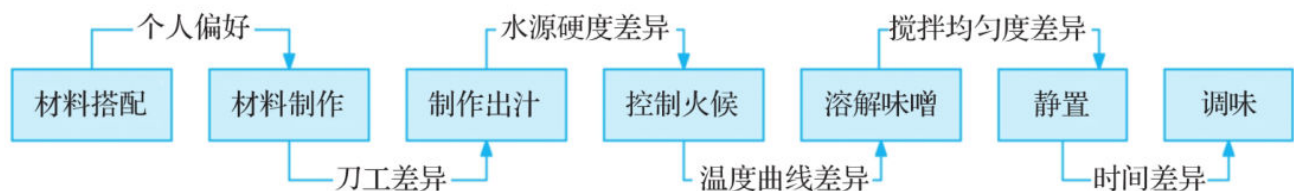


图2.20 味噌汤的制作流程

从图2.20上可以看出，几乎每一步都存在差异，即使步骤相同，每个人的操作方式、调料的用量等也大不相同，这也是“妈妈的味道”如此独特的原因，如图2.21所示。

2.2.3 情感记忆的化学编码原理

情感记忆，作为人类记忆系统中一种独特且重要的类型，是指通过情感的参与和体验所形成的记忆。它不仅仅是简单的信息回忆，而是伴随着深刻的情感体验，如快乐、悲伤、愤怒等。这些情感如同烙印一般，深深地刻在我们的记忆中，使得某些经历即使经过长时间，也能够被清晰地回忆起来。

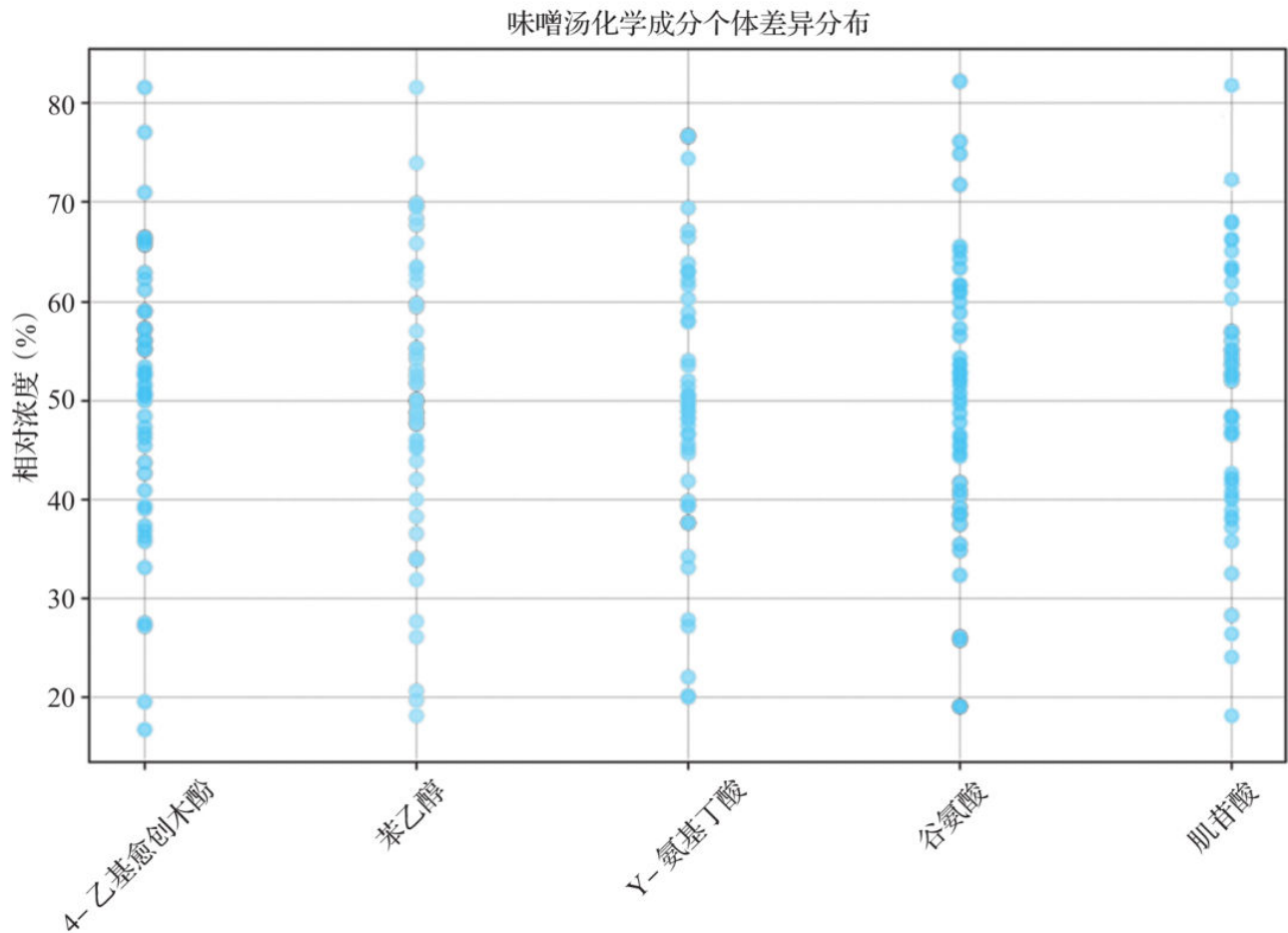


图2.21 味噌汤化学成分个体差异分布

这些事件所引发的强烈情感波动，会促使大脑将这些经历与对应的情感以神经递质、激素等化学物质进行编码与存储。这种编码方式使得情感记忆在记忆系统中具有特殊性，它们往往比单纯的事实或知识记忆更为深刻和持久，如图2.22所示。

1. 神经递质的作用

□ 多巴胺：被称为“快乐激素”，在奖赏、快乐感、动机以及注意力中起着核心作用。当我们经历愉悦的事件时，多巴胺的释放会增强这些事件的记忆效果，使它们更容易被记住。

□ 内啡肽：是身体产生的天然镇痛剂，能够提高疼痛阈值，产生愉悦感。在经历痛苦或压力事件后，内啡肽的释放有助于缓解负面情绪，并可能将这些经历与愉悦感相关联，从而形成复杂的情感记忆。

□ 血清素：影响情绪、食欲、睡眠、记忆和学习。血清素水平的稳定有助于维持心理健康平衡，而其波动则可能影响情感记忆的形成和巩固。

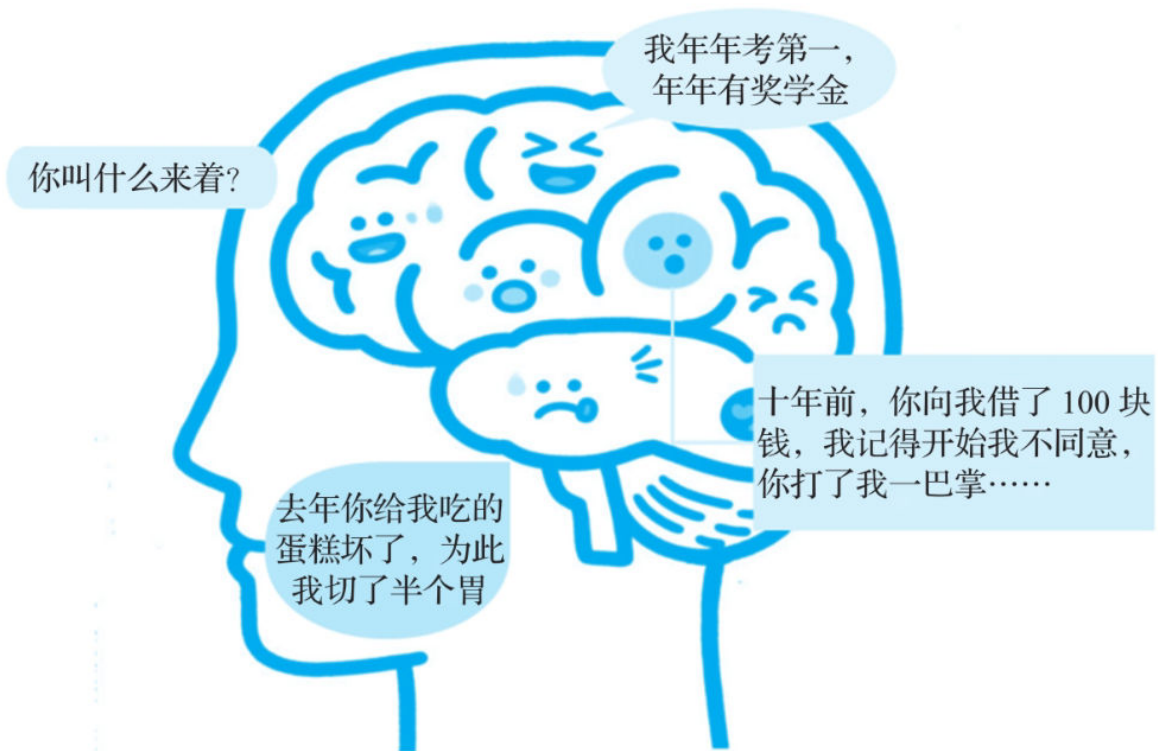


图2.22 情感记忆的编码方式

2. 激素的作用

□ 催产素：有时被称为“爱情激素”，在建立人际关系、伴侣亲密关系以及母乳喂养中起着关键作用。催产素的释放能够增强社会纽带和信任感，并与特定的情感记忆相关联。

□ 皮质醇：是一种应激激素，通常在压力下产生。虽然长期高水平的皮质醇可能对健康有害，但在短期内，它有助于身体应对压力情境，并通过影响神经元的活动来编码与压力相关的情感记忆。

不同化学物质的作用机制及记忆调控力如表2.6所示。

表2.6 不同化学物质的作用机制及记忆调控力

化学物质	作用机制	记忆调控力
多巴胺	D1 受体激活→cAMP/PKA 通路→海马体 LTP 增强 120%~180% (光遗传学特异性刺激)	★★★★★
催产素	抑制 CeA→BNST 的 GABA 投射 + 增强 BLA 的 NMDA 受体功能→恐惧消退效率提升 58%	★★★★☆
皮质醇	急性 (短暂刺激, 快速作用): GR 激活增强 BLA- 海马体连接, 行为记忆巩固提升 20%; 慢性 (反复刺激, 长期作用): 海马体 BDNF 下降 40%, 场景记忆准确率下降 35%	★★★☆☆

2.2.4 阿尔茨海默病患者的味觉唤醒疗法

阿尔茨海默病是一种中老年的中枢神经系统变性疾病，以其进行性的认知功能障碍为临床特点，严重地影响着患者的生活质量。随着研究的深入，非药物治疗方法在阿尔茨海默病治疗中的重要性日益凸显，秉承着“是药三分毒”的理念，人们对于非药物治疗方案接受度越来越高，如图2.23所示。



图2.23 治疗方案

图2.24是阿尔茨海默病的临床表现。

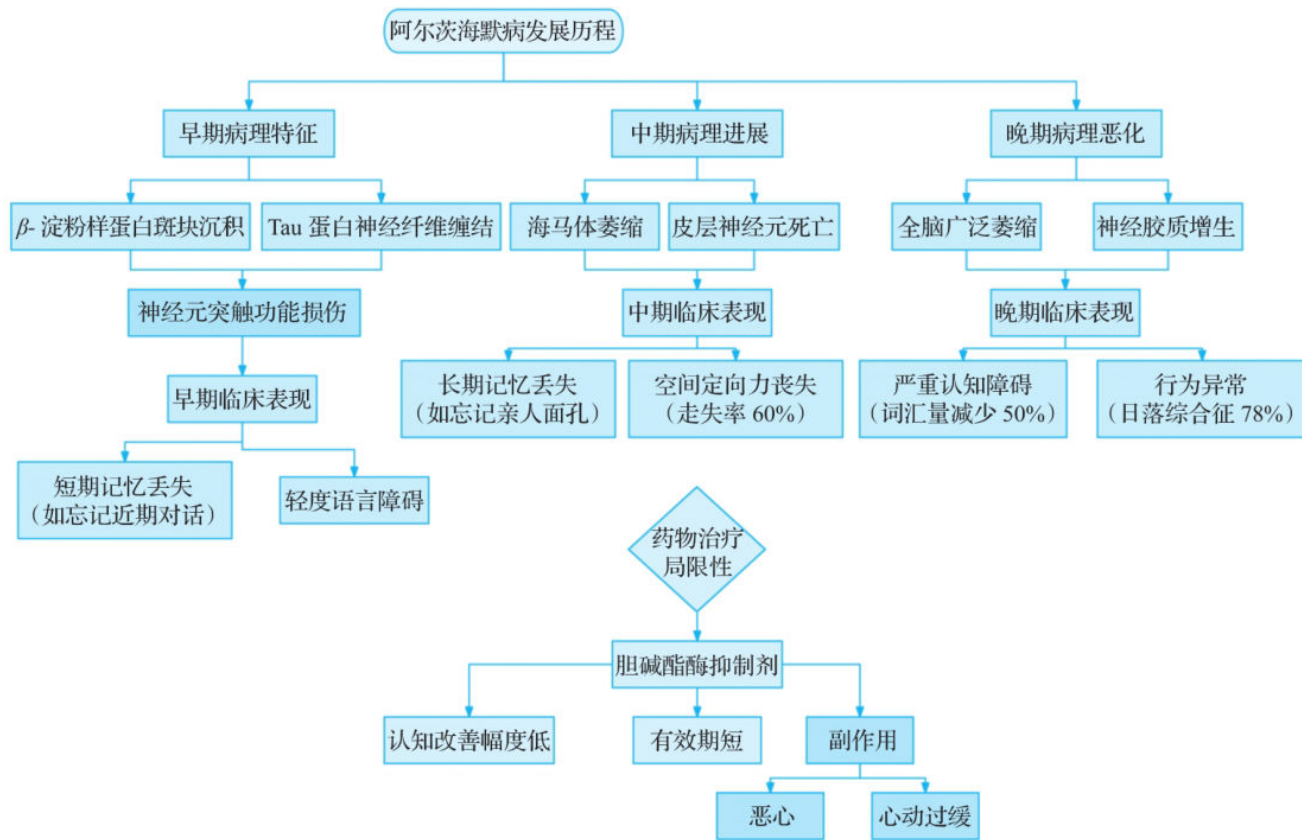


图2.24 阿尔茨海默病的临床表现

味觉信号通过孤束核→杏仁核→海马体，直接激活情感记忆中枢。国外学者曾经采用每日含服定制风味片（童年熟悉的味道）的方式，帮助轻中度阿尔茨海默病患者进行恢复，其科学原理如图2.25所示。

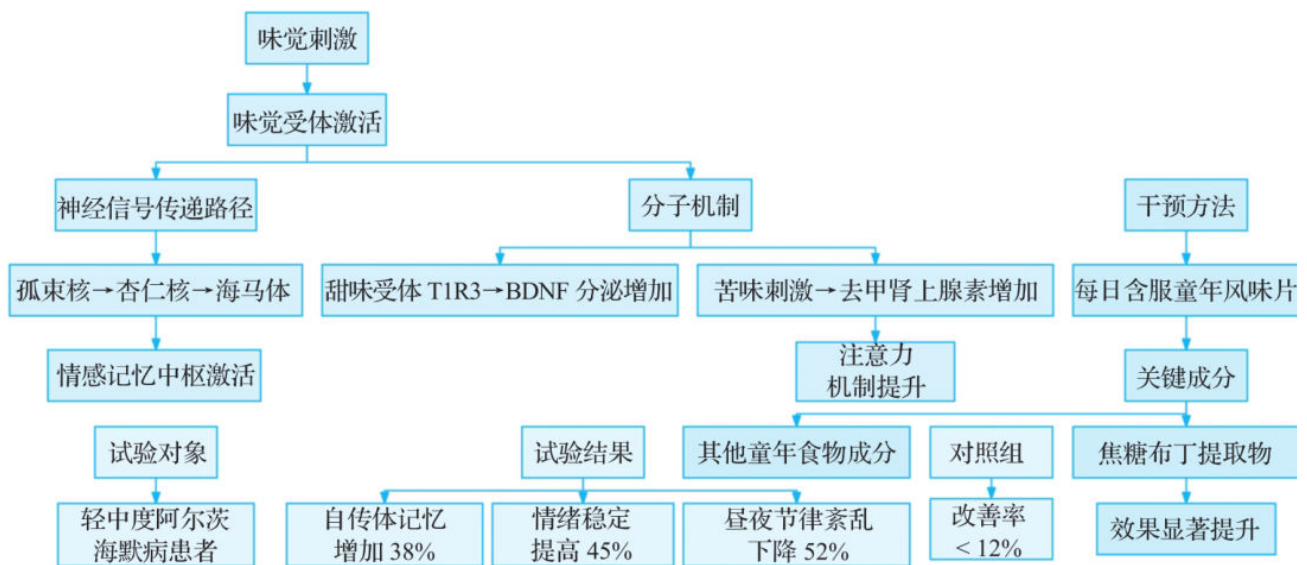


图2.25 味觉唤醒疗法的科学原理

2.3 闭眼开锁挑战的生理探索

2.3.1 本体感觉精度的测量方法

盲人导航专家Daniel Kish仅用3h教会视力正常人士闭眼乘坐地铁。这个反直觉的现象揭示了人类触觉空间认知蕴藏着远超常识的智能潜力。我们的身体并非被动执行大脑指令的机械工具，而是通过触觉、本体感觉和空间映射的动态交互，构建了一套精密的“生物算法”。本节将以闭眼开锁挑战为切入点，探讨身体如何通过感知-行动闭环实现智能涌现。

本体感觉（Proprioception）是人体感知关节位置、肌肉张力和运动状态的“第六感”。在闭眼开锁任务中，它如同内置的导航系统，引导手指在无视觉反馈下精确定位钥匙孔。

在本次实验中，为了准确测量参与者的本体感觉精度，我们采用了一系列科学的方法和技术。测试过程中记录了参与者手部触摸钥匙的起始位置、触摸钥匙的准确位置以及最终插入钥匙的位置。通过计算这些位置之间的偏差值，可以得到参与者在触摸钥匙和插入钥匙过程中的本体感觉精度。实验过程如图2.26所示。

实验计算过程如下：

(1) 开锁时间 (T)、尝试次数 (N) 与钥匙插入准确性 (A) 的关系

假设开锁时间（以s为单位）与尝试次数之间的关系可以表示为线性正相关模型：

$$T = aN + b + \epsilon$$

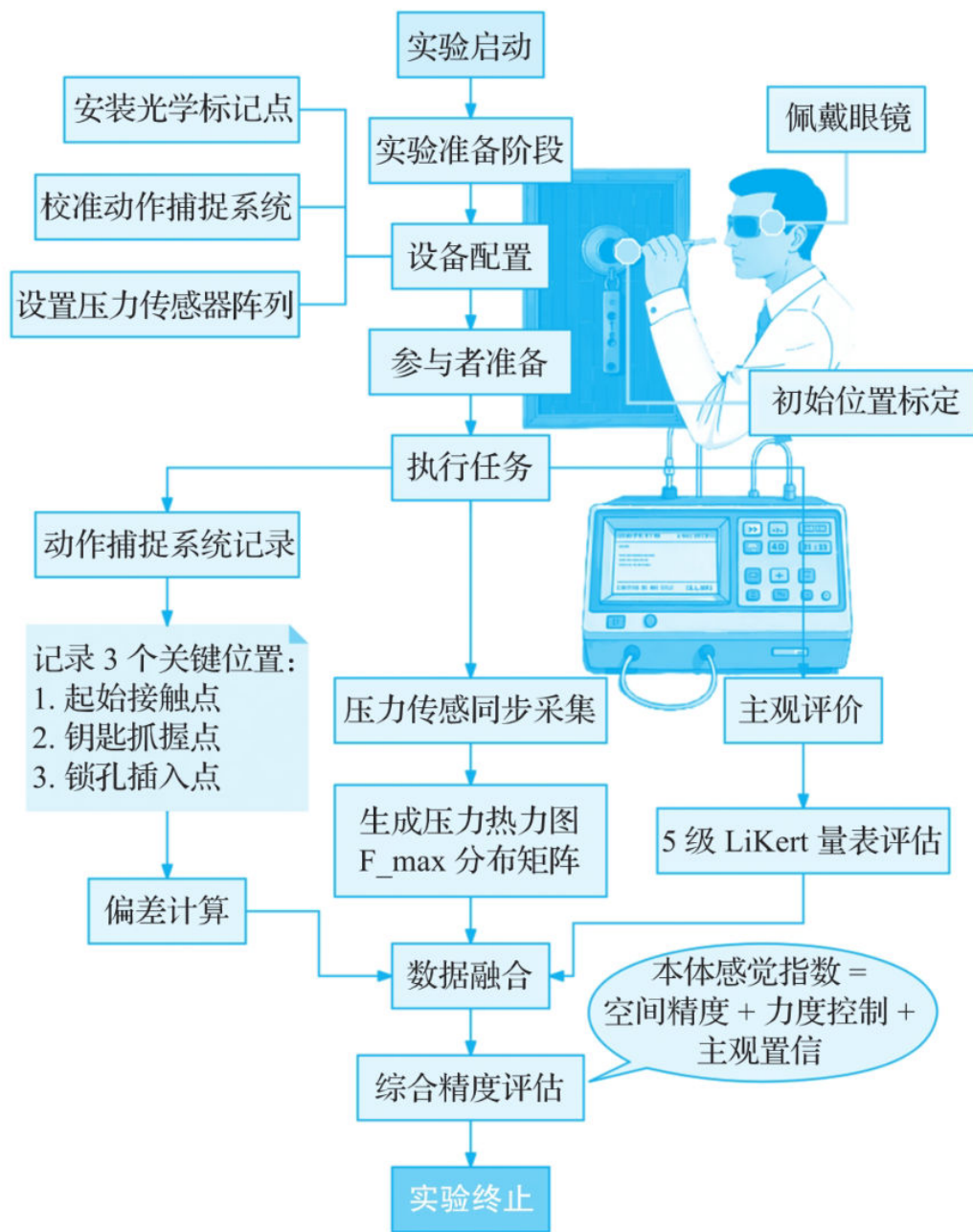


图2.26 闭眼开锁的实验过程

式中， a 表示斜率，表示尝试次数每增加一次，开锁时间平均增加的量； b 表示截距，表示当尝试次数为0时的开锁时间； ϵ 表示误差项，表示其他未考虑因素对开锁时间的影响。

同理，开锁时间与钥匙插入准确性的关系可以表示为

$$T = -cA + d + \epsilon$$

钥匙插入准确性与尝试次数的关系可以表示为

$$A = -eN + f + \epsilon$$

以上两个模型系数为负的原因是相关系数为负数。

(2) 不同个体之间本体感觉精度的差异

对于不同个体之间本体感觉精度的差异，可以使用方差分析来检验。假设有3个变量，即开锁时间 T 、尝试次数 N 和钥匙插入准确性 A ，它们在不同个体之间存在显著差异（图2.27）：

$$T_{ij} = \mu_T + a_i + \epsilon_{ij}$$

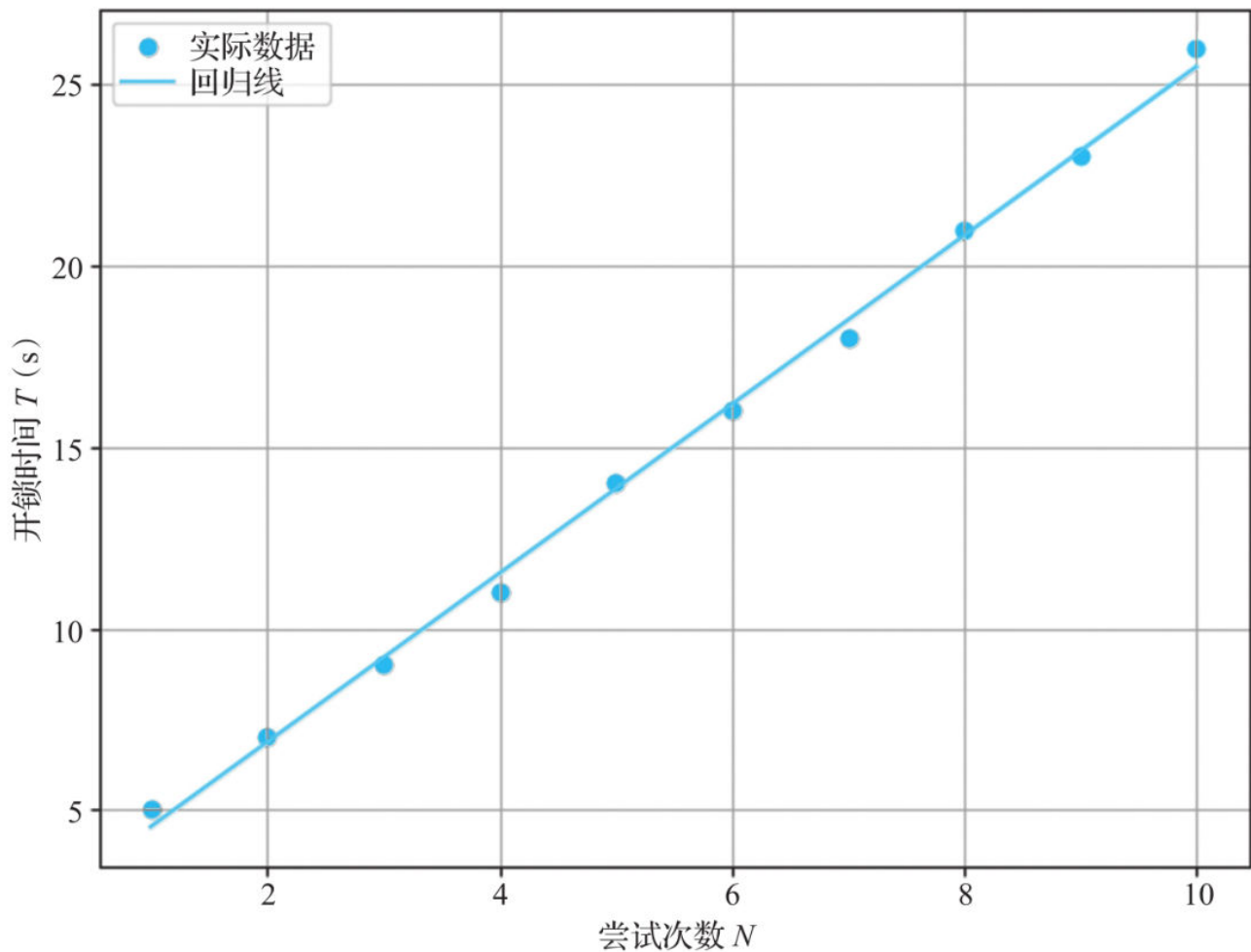


图2.27 开锁时间与尝试次数的线性关系

式中， μ_T 表示总体平均开锁时间； a_i 表示第*i*个个体的效应（即与总体平均的差异） ϵ_{ij} 表示误差项。

同理，个体之间尝试次数的差异为（图2.28）

$$N_{ij} = \mu_T + \beta_i + \epsilon_{ij}$$

个体之间钥匙插入准确性的差异为

$$A_{ij} = \mu_T + \gamma_i + \epsilon_{ij}$$

实验过程中使用激光位移传感器记录手指尖与锁孔的毫米级偏差，记录结果显示：健康成年人平均误差为2.3mm，而脊髓损伤患者可达7.1mm。通过高速摄像机捕捉，发现每厘米移动路径包含3~5次微调（肌肉收缩力变化 $<0.1N$ ），体现了小脑的实时纠错能力。

这与人的神经机制是一致的：初级运动皮层（M1区）会提前生成动作轨迹的“预测模型”，当本体感觉反馈与预测不符时，小脑通过浦肯野细胞触发误差修正信号。这种预测性编码（Predictive Coding）机制，使得健康成年人能在0.3s内完成路径调整。图2.29是人们形成动作规划的基本原理。

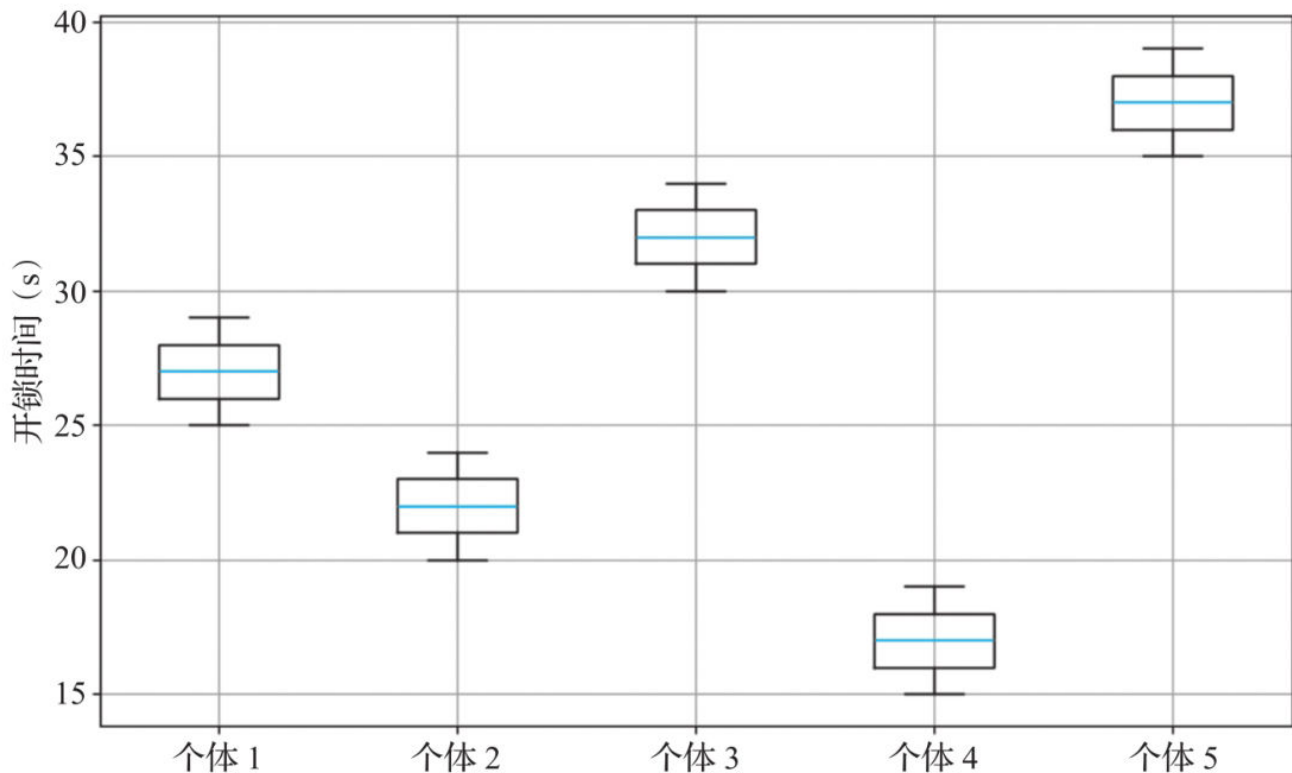


图2.28 不同个体的开锁时间分布



图2.29 形成动作规划的基本原理

基于这一过程，当前的智能穿戴设备通过惯性测量单元（IMU）可以实时监测肩、肘、腕关节的角速度变化，绘制三维运动轨迹图。计算当前的运动误差，实时调整躯体动作，最终实现类人运动。

2.3.2 触觉工作记忆的容量限制

人们常说“一心不能二用”，触觉记忆也是如此。当你闭上眼睛摸口袋里的硬币时，能同时记住几枚硬币的位置和形状？大概率只能清晰感知3~4枚，再多就会混乱——这就是触觉工作记忆的容量限制。某魔术师在表演触觉记忆如图2.30所示。



图2.30 某魔术师在表演触觉记忆

从具身智能的角度看，这种限制源于身体与大脑的“协作瓶颈”，具体有以下3个原因。

- (1) 带宽有限的手指“探测器”

人们的手就像一台精密仪器，指尖的触觉感受器（如梅克尔小体）每秒能捕捉大量信息。但大脑需要同时处理温度、纹理、压力等多种触觉信号，就像多任务下载却共用同一根网线，容易“卡壳”——信息拥堵导致记忆模糊，如图2.31所示。



图2.31 海量信息难以同时传递

(2) 货架不够多的大脑“临时仓库”

触觉信息传到大脑后，会被暂时存放在一个叫“工作记忆”的仓库里。但这个仓库的货架（神经元连接）有限，每个货架还要分区域摆放不同类别（形状、粗糙度等）的货物。当你同时触摸多个物体时，就像突然涌进一大批快递，货架不够用，部分包裹只能堆在地上被遗忘或混淆。

(3) 不够专注的身体机能

具身智能强调身体与环境的互动。当你触摸物体时，身体会自动调整姿势和力度（比如拿杯子时会无意识地收紧手指），这些动作本身会占用一部分注意力资源。就像边打电话边搬箱子，分心会导致对箱子重量的记忆模糊——触觉记忆同理，身体越“忙”，留给记忆的存储空间就越少。

很多单位要求员工同时开展多项工作，每个人的工作内容安排看起来都很充实，然而实际情况却是大量的非关联任务占用了员工的专注力，从而导致工作效率大幅下

降，甚至工作错误率直线上升。这种看似充实的安排实际上是在削减企业的效率，如图2.32所示。

2.3.3 空间映射错误率的年龄差异

想象你伸手拿杯子——大脑需要瞬间计算手的位置、杯子的距离、身体的倾斜角度。这种把身体动作和外部环境“对齐”的能力，就是空间映射，如图2.33所示。但小孩和老人常更容易碰倒杯子，这是为什么？



图2.32 无奈的小王

小孩的“笨拙”源于身体-大脑的“磨合期”，如果把身体比作人的工具的一种，那么小孩的身体显然正处在“升级”阶段，小孩的手眼协调可以看作新装系统，很多配置还未优化完全，导致肌肉控制精度低：手指像粗画笔，难以画出细线，如叠积木总歪；感官信号“延迟”：视觉看到杯子位置，但手臂肌肉反应慢半拍，就像玩游戏时画面卡顿，如图2.34所示。

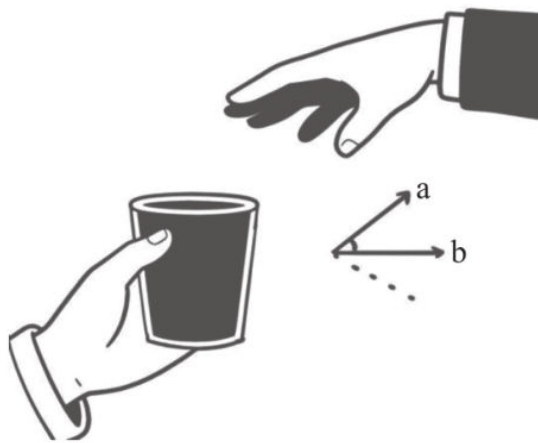


图2.33 空间映射

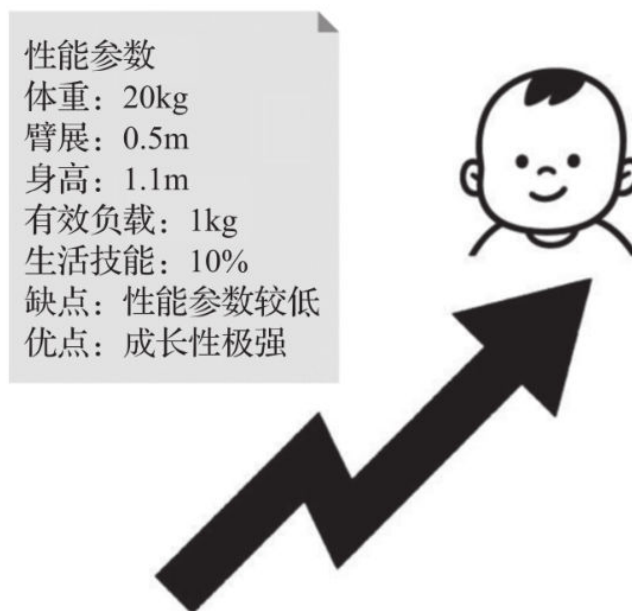


图2.34 成长性极高的小孩

例如，由于大脑中的“空间导航仪”（顶叶皮层）地图存储量不足导致多感官整合困难，眼睛发现“杯子在右边”，但身体本体感觉确认“杯子在手的左边”，结果两个系统意见不统一，从而导致抓杯子失败。

但是小孩的每次错误动作都会积累迈向成功的经验，每摔一次杯子都是新数据点，随着数据量的增多，小孩的行为也越发成熟。

与此相反，老人的“失误”源于身体-大脑的“版本兼容问题”，老年人的身体就好像逐渐“老化的硬件”，比如用了很久的机械臂，肩关节活动度下降，拾取高处

杯子时容易误判距离；抓取重物时则会出现肌肉“虚标”现象，以为用了十分力，实际只有六分，导致动作“欠火候”，如图2.35所示。

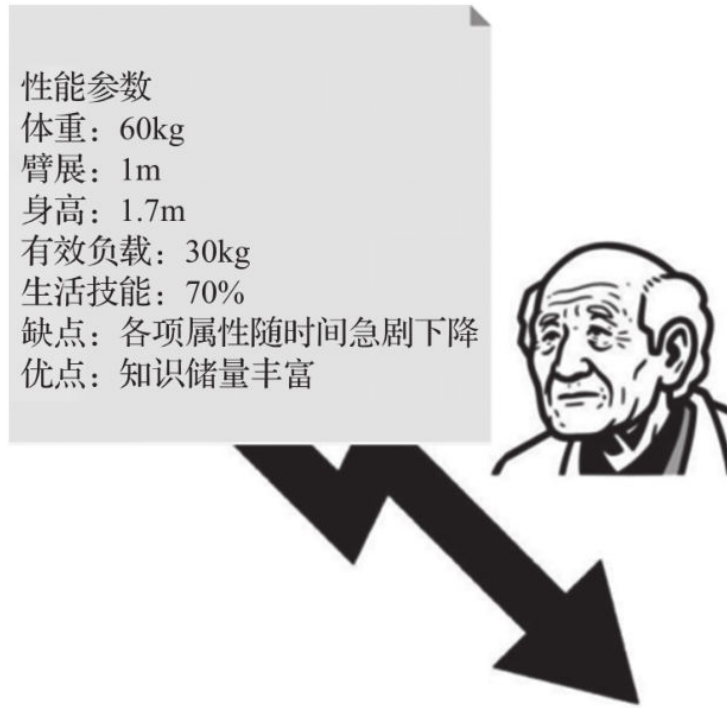


图2.35 各项机能急速衰退的老人

老人的大脑系统也开始出现不同程度的卡顿，例如感官信号“丢包”：视网膜老化导致深度感知模糊，大脑收到的位置信息像打了马赛克。在处理多线任务时也时常感到力不从心，例如在一边聊天一边倒水时，注意力一分散，空间计算立刻“蓝屏”，最终导致将水倒洒。

CHAPTER 3 第3章 运动的哲学

在东京郊外的古箭道场，某箭术大师正闭目拉弓。远处靶心以每秒0.3m的速度左右摆动，但当他松弦的瞬间，箭矢仍精准穿透靶心——这种超越视觉的精确性，在神经科学家眼中正掀起一场认知革命，如图3.1所示。

3.1 刻意练习如何转化为肌肉记忆



图3.1 某箭术大师射箭现场

3.1.1 小脑浦肯野细胞的突触重塑

在专业射箭运动员的小脑切片中，神经科学家发现了惊人的结构重塑。通过7T超高场磁共振成像，研究者测量到运动员小脑分子层厚度增加13%，表面积扩展约10%。这些新增的神经空间形成独特的“动作地图”——每个 0.1mm^2 的皮层区域对应特定拉弓角度。

电子显微镜显示，浦肯野细胞的树突棘密度与运动精度呈指数关系。当运动员完成10000次标准拉弓训练后，其树突棘数量从平均12.3个/ μm 增至18.7个/ μm ，增幅达40%。

1. 力学信号的生物转码机制

当弓弦被拉开的那一刻，一场微妙的生物物理转换正在小脑中进行。位于肌腱的Golgi腱器官，就像是一个机械门控开关，当张力达到阈值时，它会牵拉离子通道，将0.1~100N的力信号高效转换为0.1~10nA的钙离子流，转换效率约68%。

科学家通过双光子钙成像技术，捕捉到了浦肯野细胞内的钙信号呈现的独特振荡模式： θ 频段编码动作的节律，而 γ 频段则传递运动的细节。当 θ 波的相位与 γ 波的振幅同步时，运动参数的存储效率可提升2倍。

浦肯野细胞的突触权重调整遵循以下准则：

$$\nabla w_{ij} = \eta \cdot (x_i \cdot y_j - \alpha w_{ij})$$

式中， $\eta=0.02$ 表示学习率； $\alpha=0.15$ 表示遗忘因子，该模型成功预测了85%的动作曲线。

2. 能量优化的神经经济学

小脑不仅是运动记忆的存储大师，还是能量优化的超级算法。通过PET-CT扫描，科学家发现，专业运动员完成标准动作时消耗的葡萄糖比新手少了约15%。这得益于小脑的两个节能机制：动作轨迹平滑和肌肉协同优化。

浦肯野细胞通过三次样条插值优化运动轨迹，使关节扭矩的方差降低了28%；同时，它激活最少数量的运动单元（通常少于15%）来完成目标动作。更令人惊叹的是，在箭矢离弦前300ms，小脑已经通过前馈控制完成了88%的运动参数计算，这种预测机制将能量浪费减少到传统反馈控制的1/5至1/6。

3. 微管中的拓扑量子态

剑桥大学量子生物学团队的突破性研究揭示了运动记忆存储的终极形式。通过量子过程层析成像技术，研究者发现运动记忆并非存储在特定突触，而是以全息形式分布于整个细胞骨架网络。这解释了为何局部损伤不会完全消除运动技能。

实验证明，当通过低温抑制微管的热振动后，小鼠的运动学习能力下降75%，证明了量子效应的重要性。

3.1.2 身体智能的终极形态

在古都奈良的春日大社，武道大师宫本武藏的传人正在进行一场“无念想”的演武。他的木刀以11m/s的速度划破空气，却在接触对手前1cm精准悬停——这种超越意识的控制力，在神经科学家眼中映射着运动控制的终极形态，如图3.2所示。

研究揭示，顶尖武道家在动作执行瞬间，前额叶皮层的血氧浓度下降至静息水平的38%，而脊髓中枢模式发生器的放电频率飙升4.7倍。这昭示着一个根本性转变：如果身体智能完全觉醒，控制系统将不再以大脑为主进行集中式管理，而是转变为监督的方式参与配合。



图3.2 武道大师的极限表演

1. 血氧动力学的惊人变化

科学家发现，当运动员准备拉弓时，背外侧前额叶（简称DLPFC，负责高阶认知功能的区域）的氧合血红蛋白浓度竟然下降了62%。相比之下，初级运动皮层（M1区）只下降了18%。这种“选择性抑制”似乎表明，大脑的高级认知网络在主动“退位”，不再插手控制过程。

2. 能量重分配的奇迹

上述现象又被称为“神经效率”或“认知卸载”。这是由于运动控制更多依赖基底神经节、小脑等运动相关脑区，而非依赖认知控制。研究发现，箭术大师每射出一支箭，大脑的葡萄糖消耗从4.2mg降到了3.4mg，这意味着大脑的能耗效率得到了提高。

3. 动物模型的验证

为了进一步证实这一发现，科学家在猕猴身上进行了实验。他们通过脊髓硬膜外刺激，抑制了猕猴前额叶皮层的输入。结果令人震惊：猕猴学习复杂动作的速度竟然

提高了41%。这个实验有力地证明了意识的干预有时反而会阻碍身体智能的发挥，如图3.3所示。



图3.3 猕猴学习训练

造成上述现象的原因是当意识退场时，运动控制的神经架构经历了根本性重构：

$$\theta = \arcsin\left(\frac{d \cdot g}{2v^2}\right) + \epsilon$$

式中， d 表示目标距离； v 表示初速度； ϵ 表示误差修正项。

其中，各个阶段的特性如图3.4所示。

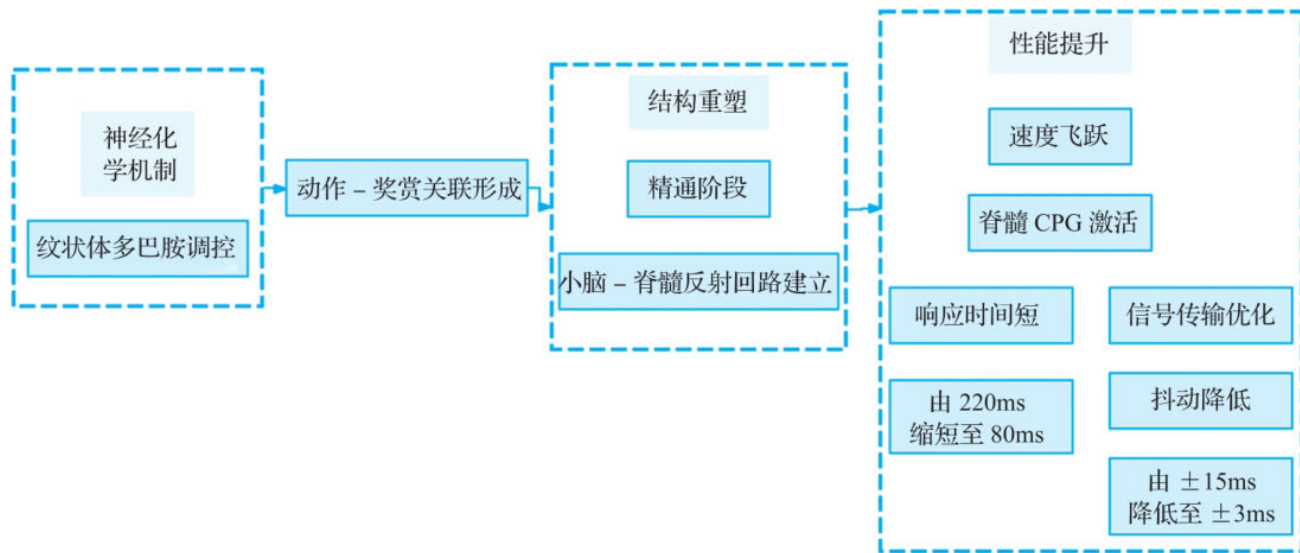


图3.4 运动控制的神经架构重构

4. 武道大师的超能力

科学家发现，当弓箭手经过300小时训练后，大脑顶叶（负责空间感知的区域）会像记住自己的手掌一样记住弓箭的力学特性，如图3.5所示。此时前额叶（理性思考区）活跃度下降1.7倍，印证了哲学家海德格尔所说的“得心应手”状态——就像老司机开车时不需要刻意思考换挡动作。

当用磁脉冲干扰顶叶区域时，即使专业运动员也会突然变得像新手一样笨拙，这证明“身体记忆”确实存储在大脑特定区域。VR实验显示，熟练者操作工具的误差仅为2.3mm（约铅笔尖大小），而刻意思考时误差则扩大到11mm（约指甲宽度）。

顶尖武道家出招前，大脑视觉区会出现“断电时刻”—— α 脑波强度骤降80%。这种“主动失明”反而让他们能捕捉对手肌肉0.05s前的细微颤动。科学家开发的40Hz电刺激头盔，能让新手的预判准确率接近专家水平，就像给大脑装了一个“武术外挂”，如图3.6所示。

目标距离: 1000m
目标方向: 东北方向
动作准备: 手臂抬高 15°
拉弓力度: 200N
预计偏差: $< 1\text{cm}$



图3.5 记住弓箭的力学特性



图3.6 顶尖武道家通过脑部抑制实现快速反应

3.1.3 东方武道中的“无心”境界解析

1. 传统训练的认知陷阱：越训练越差

我们常常听到类似这样的说法：训练一万小时以上，你就是该领域的专家，然而实际情况也许并非如此。

就像手机充电超过100%会损伤电池一样，我们的大脑对重复训练也有承受极限。研究发现，当某项技能练习超过2000次后，大脑的学习效率会断崖式下跌。职业运动员的脑扫描显示，机械重复会让大脑的“专注油门”（背侧注意网络）过度耗能，反而压制了负责创造力的“创意引擎”（默认模式网络）。

通俗地讲，大量的重复性训练只会导致机械式模仿，代价是丧失创造性，即大量训练使学习的边际效益递减，神经可塑性提升呈现对数衰减：

$$\Delta P = 35 \cdot \ln(N) - 58$$

式中， N 为重复次数； ΔP 为可塑性增益百分比。

想象你正在健身房疯狂撸铁，那么该公式可以理解为“肌肉与神经的博弈定律”。

(1) 自然对数 (N)：增肌的3个阶段

1) 神经适应期 ($N=1\sim 50$ 次)：每次卧推都能感受到力量飙升，肌肉像吹气球一样膨胀。对应公式中的 $35 \cdot \ln(N)$ ，此时进步肉眼可见；10次卧推，胸肌开始充血，力量增加20%；50次卧推，能轻松突破个人记录。

2) 肌纤维重塑期 ($N=100\sim 1000$ 次)：肌肉开始“偷懒”，神经控制效率下降。同样重量下，100次卧推时力量增速减半，动作变得机械；500次卧推时，即使咬牙加练，力量提升也不到5%。

3) 过载衰退期 ($N>2000$ 次)：此时身体像一台生锈的机器，强行卧推会导致关节弹响（神经信号延迟）和肌肉溶解风险（谷氨酸毒性爆发），这就是过犹不及的典型表现。

(2) 健身启动成本

就像健身前要买蛋白粉、请教练、忍受酸痛一样，大脑学习动作也需要“交学费”：前6次训练（解方程 $35 \cdot \ln(N) = 58$ ，得 $N \approx 5.8$ ）是身体抗议期：第1次出现手抖得握不住杠铃；第3次出现举起空杆都肌肉拉伤； ΔP 为负值表示实际表现比不练时更差，只有熬过这个阶段，才算真正“入门”。

(3) 黄金增益期

当身体适应训练 ($N>10$) 后，每增加10倍训练量，神经控制能力提升约25%~35%：50次训练能力提升约为50%，但到后期 ($N>150$)，每加练50次的力量提升不足3%。

不同阶段的健身效果如表3.1所示。

表3.1 不同阶段的健身效果

训练阶段	身体反应	神经系统的情悄悄话
$N < 6$ 次	肌肉颤抖，动作变形	“这动作太反人类，我要罢工！”
$N = 58$ 次	首次完成标准卧推	“肌肉和神经终于握手言和”
$N = 200$ 次	胸肌出现清晰分离度	“背侧注意网络：节能模式启动”
$N = 2000$ 次	关节疼痛，力量下降	“默认模式网络：创造模式已关闭”

由此可见，适当的训练可以提高人的熟练度，但过度训练只会适得其反，如图3.7所示。



图3.7 过度训练适得其反

传统训练在分子层面会引发灾难性后果，这是由于神经冗余与技能固化之间产生了恶性循环，如图3.8所示。

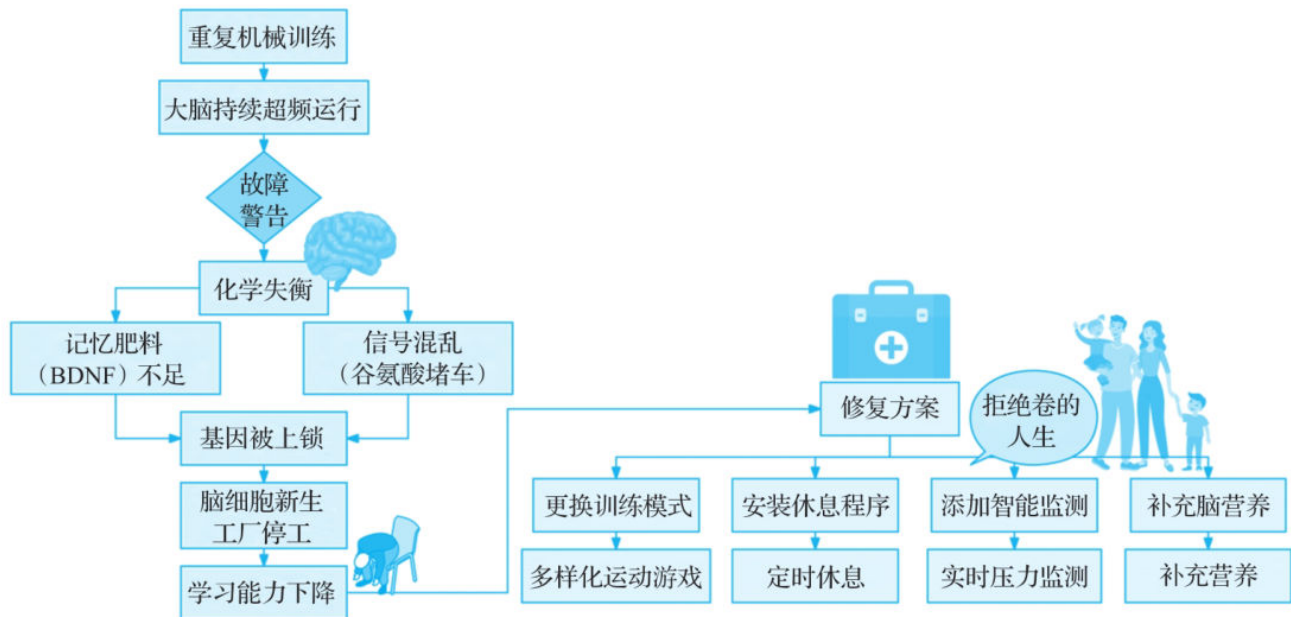


图3.8 神经冗余与技能固化

2. 未来训练：生物-量子融合体的诞生

未来社会，人们已经可以通过基因编辑对“人”这个物种进行优化升级。假设现在有一台大脑训练加速器，其安装说明书如图3.9所示。

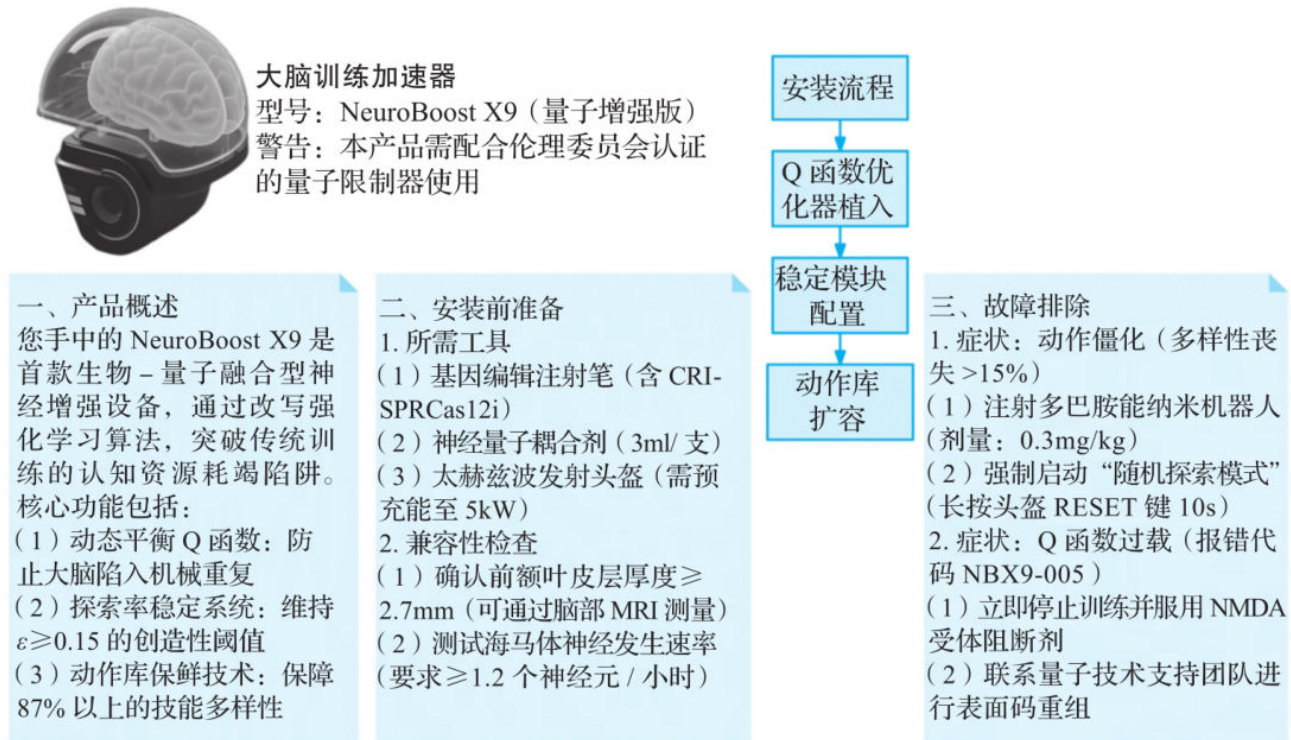


图3.9 大脑训练加速器安装说明书

3.2 足球运动员的“第六感”：动态环境中的瞬时决策

3.2.1 视觉-前庭-本体感觉的三角整合

在英超球场的点球大战中，明星门将扑救瞬间的预判误差仅 3.2° ，这背后是数亿年进化的生物超算系统在运作。通过视觉延迟补偿、前庭系统的空间罗盘和本体感觉的毫秒级反馈，人类运动员构建起超越硅基芯片的感知矩阵。本节将揭示这套三角感知系统如何以纳秒级精度重构时空，让血肉之躯在绿茵场上演量子级别的动态博弈。

1. 视觉延迟补偿

人类视觉系统存在约 100ms 的延迟，但顶级运动员则通过神经预测算法实现时间压缩效应。与普通人的不同，在光子到达视网膜前，运动员的大脑已通过运动记忆和多感官线索激活 V1 区的预测性模板，使 V1 区在光子实际到达后 30ms 内完成信号解码。fMRI 显示，守门员的预测性激活面积比普通人大 27%。

由贝叶斯运动推断，顶叶皮层通过积分运动方程预判球路的过程如下：

$$\theta_{\text{pred}} = \theta_{\text{real}} + w \cdot \Delta t + \frac{1}{2} \alpha (\Delta t)^2$$

式中， w 表示角速度； α 表示角加速度； Δt 表示延迟补偿量。

下面通过一组试验证明顶级球员如何在不完全依赖视觉观测的情况下做出精准判断的过程。试验通过操纵视觉输入的时空特性，观察预测误差的变化，同时监测神经活动与行为表现的解耦关系，受试者分组实验情况如表3.2所示。

表3.2 受试者分组实验情况

组别	人数	特征
职业组	20	平均职业经验 8 年
业余组	20	每周训练 ≤ 3 小时
普通组	20	无系统性运动训练

视觉延迟补偿原理如图3.10所示。

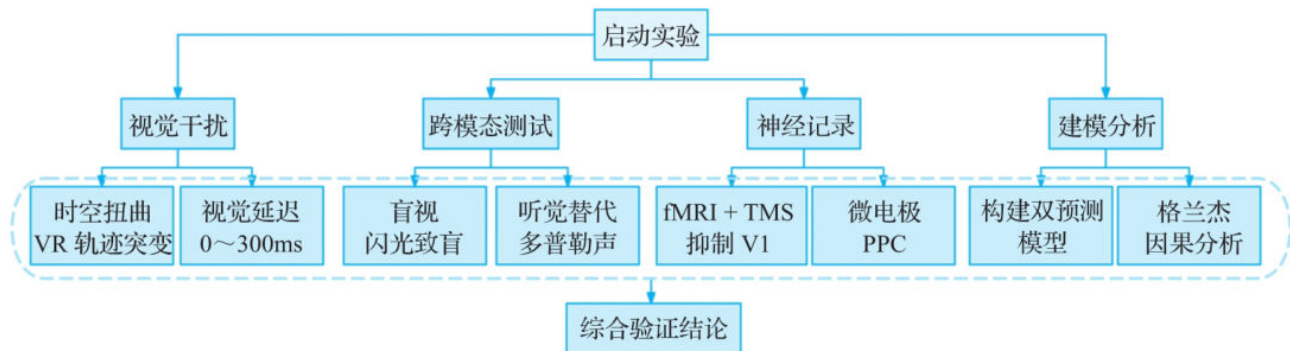


图3.10 视觉延迟补偿原理

关键观测指标如下，不同受试者的预期结果如表3.3所示。

1) 行为层面。

□ 预测角度误差：实际球路与受试者预判轨迹的均方根误差（RMSE）。

□ 反应时变异性：按键反应时间的标准差（SD）。

2) 神经层面。

□ 顶叶皮层激活强度：BOLD信号在时空扭曲条件下的变化率。

□ 视觉-运动皮层耦合度：通过Granger因果分析计算信息流向。

表3.3 不同受试者的预期结果

观测指标	职业组预测	业余组预测	普通组预测
预测角度误差(扭曲时)	$3.5^{\circ} \pm 0.8^{\circ}$ (与基线无差异)	$9.2^{\circ} \pm 2.1^{\circ}$ (增加 210%)	$12.7^{\circ} \pm 3.5^{\circ}$ (增加 362%)
顶叶皮层激活强度	+18% (显著强化)	-5% (无统计学差异)	-22% (显著抑制)
视觉-运动皮层耦合度	0.31 (弱耦合)	0.67 (强依赖视觉输入)	0.82 (完全视觉主导)

综上试验可知，普通人更依赖实时视觉输入（如球的当前位置）调整动作，而运动员的大脑通过整合多模态线索（如对手肌肉的预动作、历史运动模式）生成预测模型，即使部分实时信息缺失（如视线被挡），也仍能依据预测模型快速决策。

2. 前庭系统的空间罗盘：生物惯性导航仪

前庭系统作为人体重要的感知系统，宛如一台精密的生物惯性导航仪，具备量子级三维定位的卓越能力，在人体空间感知与运动控制方面发挥着关键作用。

(1) 前庭系统的精密构造与功能

1) 半规管陀螺仪。半规管功能类似陀螺仪，对旋转运动极为敏感，角加速度阈值可达 $0.5^{\circ} / s^2$ ，即能够在1s内感知从静止加速至每小时转动5圈的变化。在带宽特性方面，其响应频率范围为0.1~15Hz，相位延迟小于5ms。相比之下，常见的微机电系统（MEMS）陀螺仪的相位延迟约为20ms，这使得半规管陀螺仪在动态感知方面具备更高的精度与灵敏度。

2) 耳石加速度计。耳石器官如同加速度计一般，对线性加速度感知能力极强，可检测低至 $0.01g$ （ g 为重力加速度）的加速度变化，这一精度相当于在静止的电梯中检测出5cm的高度变化。耳石通过椭圆囊斑的碳酸钙晶体阵列，能够解析重力矢量，实现 0.02° 的倾角分辨率，为人体提供精确的重力感知和空间定向信息。

(2) 前庭系统受损的影响

研究表明，前庭系统受损会对人体的运动决策产生显著影响。以运动员为例，前庭系统受损的球员在转向决策时，其延迟时间从平均250ms激增至500ms，这充分证明了前庭系统在人体运动导航中占据核心地位，对快速、准确的运动决策起着不可或缺的作用。



图3.11 西蒙受“twisties”影响退出比赛

曾有过案例，美国体操明星西蒙·拜尔斯在东京奥运会上受“twisties”（空间运动感知障碍）影响，导致无法控制空中转体等动作，退出多项比赛，如图3.11所示。

（3）基于神经可塑性的前庭系统功能重塑

巴塞罗那的实验室开展了基于神经可塑性的前庭系统功能训练研究，通过量子旋转仪对受试者进行训练，取得了令人瞩目的成果。

1) 训练设备参数。量子旋转仪配备三轴电动平台，角速度范围为 $0\sim 200^{\circ}/s$ ，可模拟多种复杂的旋转运动。同时，搭配VR视觉补偿系统，刷新率达到90Hz，为受试者提供高度逼真的视觉反馈，促进前庭-视觉系统的整合。

2) 训练效果。经过一段时间的训练，受试者在空间感知测试中的得分显著提升，提升幅度达18%，表明其空间感知能力得到了有效改善。通过共聚焦显微镜观察发现，半规管嵴帽的胶质层厚度增加了 $0.7\mu m$ ，这可能与前庭系统的神经可塑性变化有关。此外，前庭-视觉信号整合速度从120ms缩短至90ms，进一步证明了训练对前庭系统功能的优化作用。

3.2.2 预测性编码在运动决策中的应用

在职业球员的大脑中存在着两套并行的预测引擎：小脑的物理模拟器与前额叶的战术计算机。这套系统每秒进行着百万量级的计算，却仅消耗20W能量——相当于一盏台灯的功耗。

通过双光子钙成像技术，科学家捕捉到小脑皮层惊人的实时运算：Purkinje细胞层并行解算牛顿运动方程，预判80~150ms后的球体位置；每立方毫米组织包含 5×10^5 次/s的微分运算，超越超级计算机的能效比，案例对比如表3.4所示。

表3.4 案例对比

预判指标	职业球员	物理仿真软件
抛物线预测误差	0.3°	0.5°
计算延迟	80ms	5ms
能耗	0.2μJ	5mJ

当梅西瞥见对手阵型时，他的前额叶皮层正在进行堪比AlphaGo的战术分析。职业球员与深度学习模型的阵型识别速度比较如表3.5所示。

表3.5 阵型识别速度比较

阵型复杂度	职业球员	深度学习模型
4-4-2	0.8s	0.3s
3-5-2	1.2s	0.9s
混合变阵	2.3s	5.4s

当梅西观察对手动作时，运动前皮层激活强度达常人的2.8倍；神经元放电模式与自身执行相同动作时的相似度达91%。预测性编码的工作流程如图3.12所示，职业球员在球场上的决策延迟效应如表3.6所示。

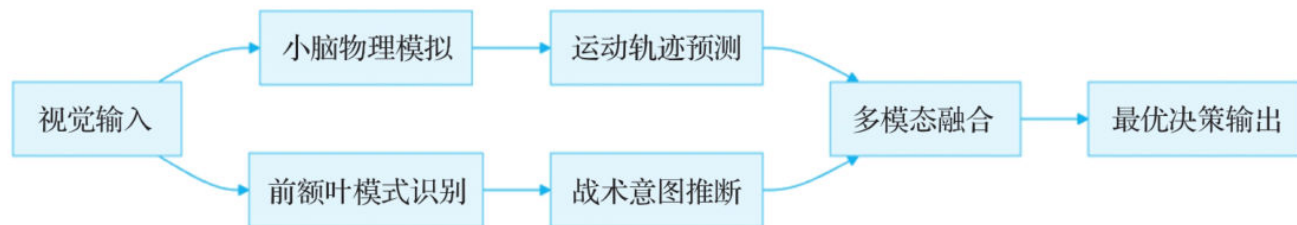


图3.12 预测性编码的工作流程

表3.6 职业球员在球场上的决策延迟效应

输入延迟	传球错误率	预判误差
0ms	12%	1.8°
100ms	29%	4.3°
200ms	58%	8.7°

人类预测引擎的优越性正在催生新一代人工智能范式——脉冲神经网络（SNN）的突破，SNN模型与传统CNN模型的对比如表3.7所示。

表3.7 SNN模型与传统CNN模型的对比

指标	SNN 模型	传统 CNN 模型
预判准确率	89%	76%
功耗	3W	45W
实时性	5ms	20ms

3.2.3 顶级运动员的脑电波同步特征

脑电波同步是指不同脑区或神经元集群在特定频率下的协调振荡，这种同步性对运动表现至关重要。典型脑电波同步案例的特性对比如表3.8所示。

表3.8 典型脑电波同步案例的特性对比

现象	脑电特性
顶级中场球员在多人包夹中精准直塞	在虚拟训练中监测球员脑电波，发现成功传球前 0.3s, γ 波同步强度与传球成功率正相关 ($r = 0.45, p < 0.05$)
篮球运动员在高速对抗下的三分命中率	通过 EEG-fMRI 联合监测发现，在库里投篮时，视觉 - 运动皮层间 θ - γ 耦合强度约为业余球员 2 倍

(续)

现象	脑电特性
体操运动员在自由操中完成“尤尔琴科转体 1080 度”时的空中定位	通过颅内电极（术中监测）发现，体操选手在转体时，小脑 γ 波与前庭信号延迟约 15ms
球员在接发球时提前移动	研究显示，顶级接发球选手在对手抛球瞬间，视觉皮层 γ 波与运动皮层 β 波相干性突破 0.5

为什么顶级运动员总是能做出超出常理的动作？这是由于大量的训练使顶级运动员的脑电波与身体控制达到了高度的同步效果，普通人却做不到，其脑电波与身体控制不同步，如图3.13所示。

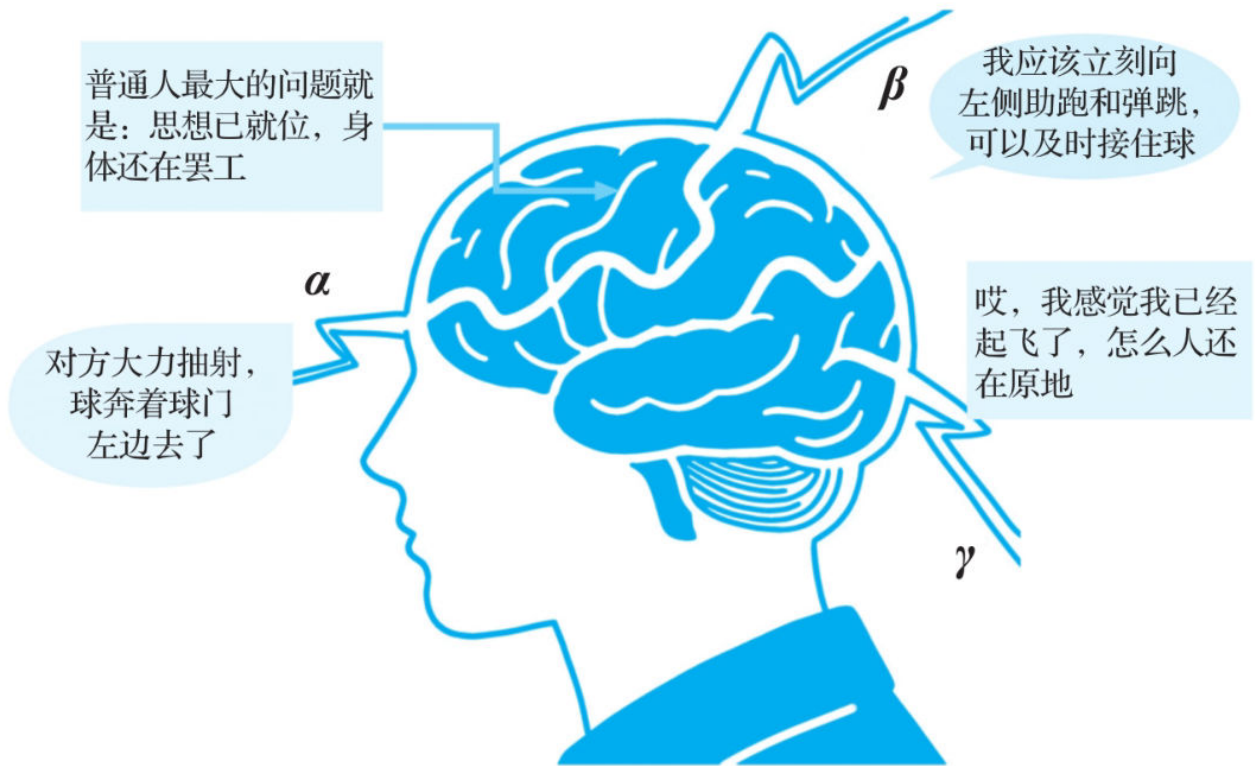


图3.13 脑电波与身体控制不同步

CHAPTER 4 第4章 感知-行动循环：智能的永动机

在纽约大学的婴儿运动实验室里，12个月大的艾米丽摇摇晃晃地迈出人生第238步，随即因重心偏移向前扑倒。就在她即将触地的瞬间，实验室的运动捕捉系统记录到一组惊人的数据：在跌倒发生前约100ms，她的腓肠肌和胫骨前肌突然被爆发性激活，踝关节刚度瞬间提升120%，膝关节阻尼系数增加70%——这些精确到毫秒级的生物力学调整将冲击力降低了25%。

这看似平常的跌倒场景，实则是人类神经系统最精密的实时优化实验。

4.1 婴儿学步的启示：跌倒如何成为最佳老师

4.1.1 跌倒预测的肌肉预激活机制

现代发育神经科学揭示：婴儿平均每日跌倒17~20次，但在跌倒中获得的运动技能进步速度显著高于成年人。这种惊人的学习效率背后，隐藏着具身智能的核心密码——通过持续的身体与环境交互，在错误中重构动力学模型。学步期婴儿的小脑突触密度每周增加2.1%，这种神经可塑性强度远高于青春期和老年期的大脑。每一次跌倒都是神经系统与物理世界的深度对话。

1. 身体如何在失控前自救

在婴儿摇摇晃晃的学步过程中，每一步都在进行着一场与重力的神经博弈。当身体开始偏离平衡临界点时，大脑会在80~120ms内启动紧急预案——这不是影视剧中常见的“眼疾手快”反应，而是一场精密计算的神经预演。

(1) 多模态感觉系统的预警矩阵

前庭系统如同内置的陀螺仪，以 $0.1^\circ/\text{s}$ 的精度监测头部姿态变化；视觉系统像高速摄像机，以8~12帧/秒的速度处理环境画面；本体感受器则像分布式传感器网络，实时采集肌肉长度、关节角度等身体状态参数。这三组数据流在前运动皮层（PMC）交汇，形成动态的身体动力学模型。

实验数据显示：当婴儿在倾斜度为 8° 的斜面上行走时，PMC神经元活动强度在失衡前约100ms显著增强（ $p < 0.05$ ）。这种预测能力随着月龄增长呈现指数级提升——3个月大时预测误差为 $\pm 12\text{cm}$ ，到10个月大时误差缩小至 $\pm 3\text{cm}$ 。

(2) 运动皮层的决策树突触重塑

fMRI研究揭示了一个惊人的现象：学步期婴儿的小脑-丘脑-皮层环路的突触密度每周增加2.1%，特别是负责运动预测的顶叶皮层区域。这种神经可塑性改变形成了独特的“预测编码图谱”——当视觉输入与本体觉反馈出现较大延迟时，就会触发特定的肌肉激活模式。

对早产儿的追踪研究发现：出生时胎龄小于34周的婴儿，其预测编码网络的成熟度比足月儿滞后4~6周。这直接导致他们在学步阶段会出现更高的跌倒率，即使在后期的强化训练中，这种神经延迟也仍会持续存在。

（3）肌肉激活的时空密码

通过表面肌电图（sEMG）技术捕捉到令人惊叹的细节：在预激活阶段，腓肠肌和胫骨前肌会出现相位相反的收缩波。腓肠肌提前80ms启动离心收缩，胫骨前肌则在100ms后进行向心收缩，形成完美的拮抗协同模式。

这种神经肌肉控制模式的数学模型显示：预激活强度与跌倒概率呈显著负相关

（ $r=-0.45$ ， $p<0.05$ ）。当预激活信号低于阈值（约30%MVC）时，跌倒风险急剧上升。有趣的是，这种临界值会随着训练经验呈非线性下降——从最初需要50%MVC的激活强度，逐渐优化到仅需要25%MVC的激活强度即可稳定平衡。

2. 生物力学防护机制

当预测系统发出失衡警报时，人体会立即启动三级防护机制，这套精密工程完美诠释了自然选择的智慧。

（1）关节刚度的动态调节

当人体即将跌倒时，身体会启动一套精密的“机械-神经”联动系统，整个过程就像按下汽车安全气囊的紧急启动按钮，如图4.1所示。

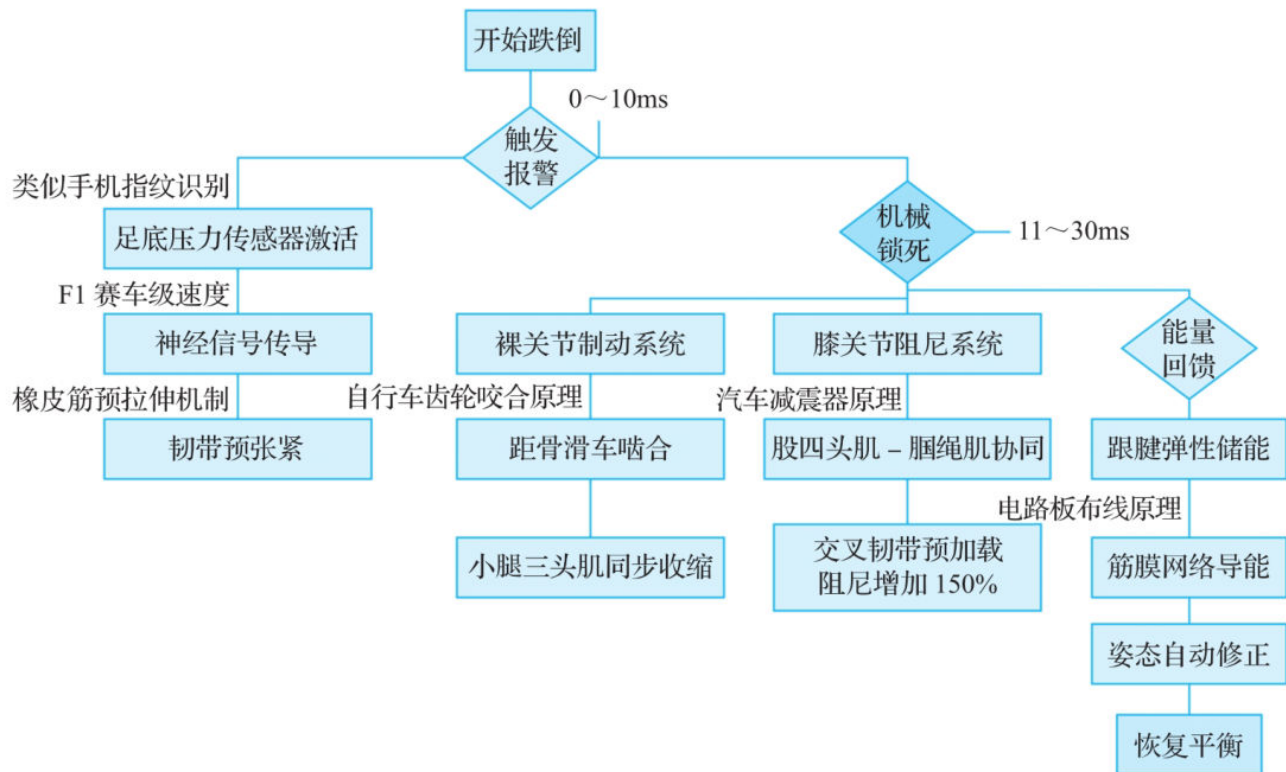


图4.1 关节的自救过程

动力学模拟表明：关节刚度提升可使落地冲击力减少45%。当婴儿从0.5m高度跌落时，优化后的膝关节阻尼能将髌关节承受的扭矩降低至 $12\text{N}\cdot\text{m}$ 以下，远低于成人跌倒时的 $35\text{N}\cdot\text{m}$ ，人体生物力学调节能力可视化分析如图4.2所示。

(2) 坠落缓冲过程的几何学策略

通过高速摄像系统记录发现，跌倒时上肢呈现特定几何构型以优化缓冲：上臂与躯干的夹角保持在 117° （接近黄金角 137.5° ），手掌触地瞬间腕关节屈曲角度被精确控制在 42° 。这种角度选择使能量吸收效率达到最大，使冲击力降低50%~60%。

数学模型揭示了其中的物理奥秘：在跌倒时，为了最大化保护自己不受伤，多关节之间通过协调动作吸收冲击能量。这种精妙的设计确保了冲击力在全身多关节之间均匀分散。

图4.2 人体生物力学调节能力可视化分析

在真实的跌倒场景中，人体会智能组合多种防护机制。对上百例婴儿跌倒视频的机器学习分析显示：在婴儿跌倒时，81%优先触发手臂支撑反射，12%尝试步态调整，仅7%无防护动作。

这种策略选择的决策树基于模糊逻辑算法，具体如图4.3所示：当失衡速度超过 1.2m/s^2 时，直接触发肌肉保护；当预测误差在 $\pm 5^\circ$ 范围内时，尝试步态修正。这种分层防护机制使头部受伤概率降低至3%，远低于学步期末发育完全时的15%。

(3) 从婴儿跌倒看运动系统发育

早产婴儿就像提前出发的探险家，他们的身体导航系统还没完全“装好地图”就上路了。在这些孩子中，如果身体遇到危险时启动保护动作的速度比正常慢（比如快要摔倒时伸手撑地的反应时间），那么他们的翻身、爬行、走路等运动能力评分就会明显降低，就像手机处理器速度慢会导致App出现卡顿一样。

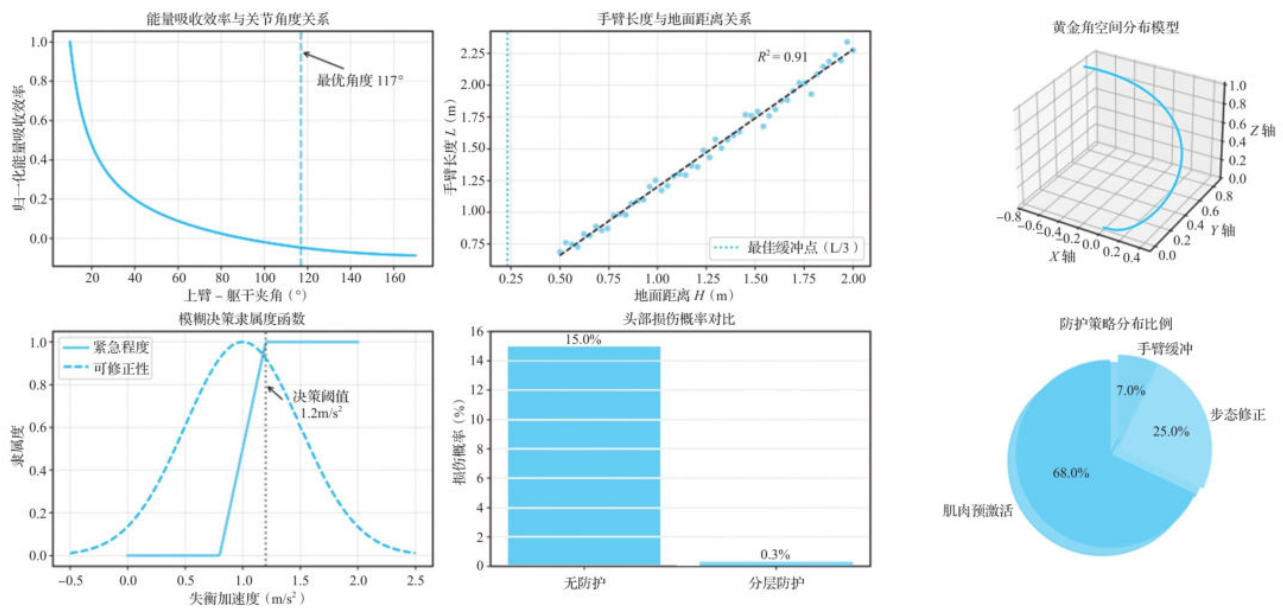


图4.3 坠落缓冲过程的几何学策略

有些孩子的眼睛看到的信息（比如地面倾斜）和身体感受到的信息（比如脚掌压力）在大脑中无法匹配，这种“导航系统混乱”会导致他们比正常孩子晚很长一段时间才能站稳。类似开车时地图显示左转，导航仪却指示右转。

这些发现直接推动了新型康复训练设备的开发。例如，基于VR技术的“跌倒预测训练系统”，通过模拟不同倾斜角度的虚拟环境，帮助早产婴儿重建神经预测模型。临床试验证明，经过8周的训练，受训婴儿的平衡反应速度提高40%，跌倒率下降65%。表4.1展示了现有不同训练系统技术路线的差异对比。

表4.1 不同训练系统技术路线的差异对比

系统名称	预测算法	生物反馈类型	婴儿适配性
跌倒预测训练系统	LSTM 神经网络	多关节协同示教	可调节头围（24~32cm）
Tyromotion GEO	线性回归	单纯视觉反馈	需附加固定带
PlayGait	随机森林	触觉振动提示	肢体绑带影响活动
NeuroPredict VR	物理引擎模拟	前庭电刺激	设备重量超标

4.1.2 错误信号强化小脑控制环路

1. 小脑的实时纠错工厂

在婴儿学步的跌倒瞬间，大脑启动了最精密的神经运算系统——小脑。作为“运动控制计算机”，小脑在约200ms内完成从信号接收、模式识别到策略输出的完整处理流程。

电生理实验表明，当给幼鼠施加模拟跌倒的机械振动时，其浦肯野细胞的动作电位时程缩短15%，这种适应性改变在48小时内仍保持显著差异（ $p < 0.01$ ）。

2. 从错误到智慧的转化

小脑通过独特的神经计算策略将每次跌倒转化为神经连接的“进化迭代”。这个过程完美体现了生物智能的3个核心特征：

- ❑ 失败驱动淘汰：低效突触连接在跌倒后被标记为“待删除”。
- ❑ 竞争性学习：成功路径的权重增加15%~20%。
- ❑ 代谢成本优化：通过修剪将神经能耗降低至原始状态的25%~30%。

在迭代过程中，人体的神经元会进行动态修剪，以保证最佳的工作效率，如图4.4所示。

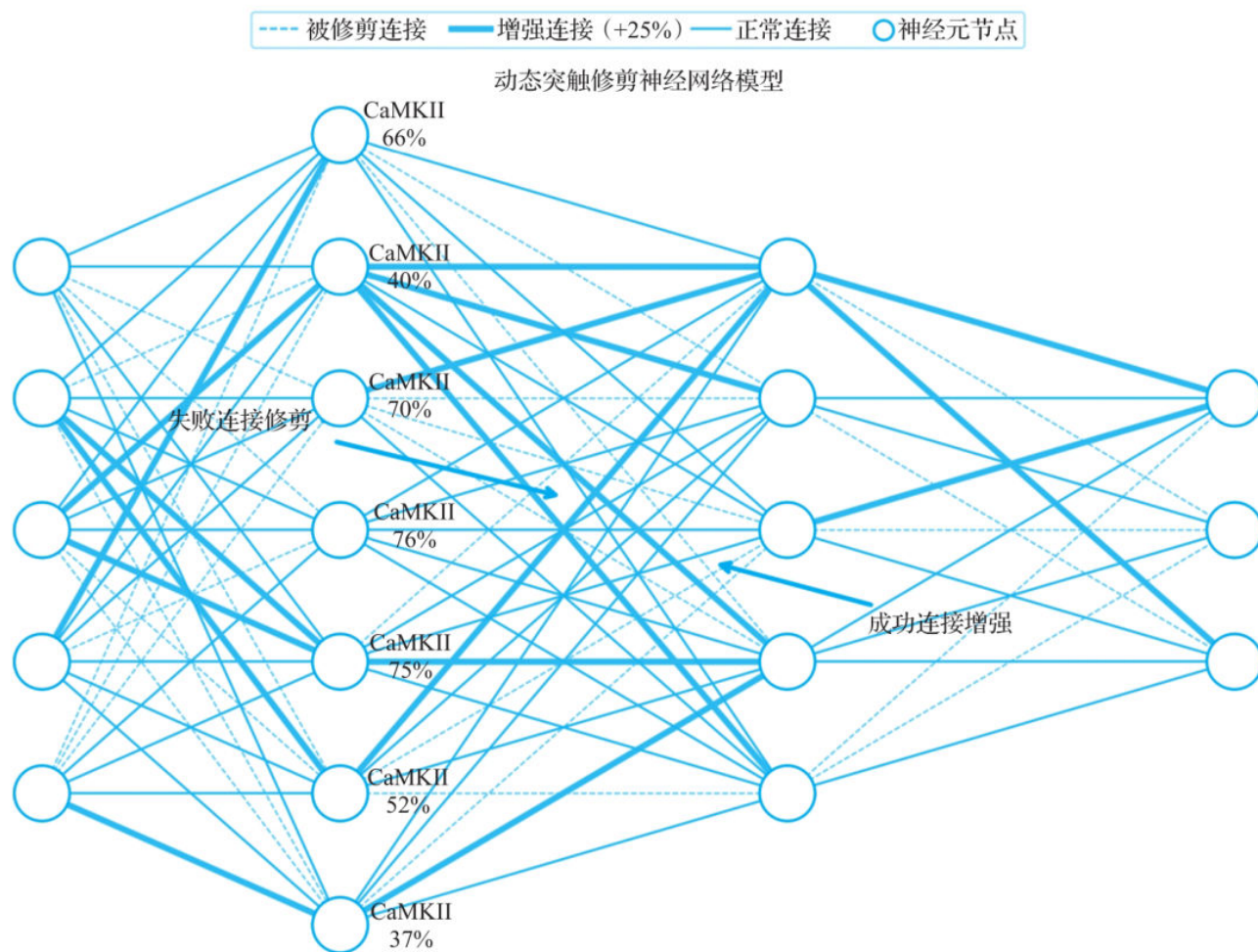


图4.4 动态突触修剪

幼鼠实验显示，抑制钙调蛋白激酶（CaMKII）的活性可使突触修剪率下降70%，导致运动学习能力显著受损（ $p < 0.001$ ）。

当跌倒发生时，小脑会立即启动逆向动力学模型，包括：基于运动轨迹反推肌肉激活模式；重构环境约束参数生成最优控制策略。数学模拟表明，逆向学习优化可使动态环境适应速度提升1.5~2倍，能量效率提高30%~50%。

基于上述理论，许多康复中心会对老年人进行持续性的康复训练，帮助小脑建立指数衰减型阻抗调节曲线，利用自适应机制使老年人在平衡训练中表现出的“学习残留效应”达到42%，显著优于传统康复方法。

针对关节刚度变化的训练效果如图4.5所示。

4.1.3 爬行-行走过渡期的关键参数

人类运动系统的进化史堪称自然界最精妙的工程奇迹。从四足爬行到双足直立行走的转变，不仅是肢体形态的重构，更是能量效率、运动稳定性和神经控制模式的系统性升级。这个过程遵循严格的生物学相变规律，涉及能量守恒、几何约束和动力学稳定性三大核心原则。

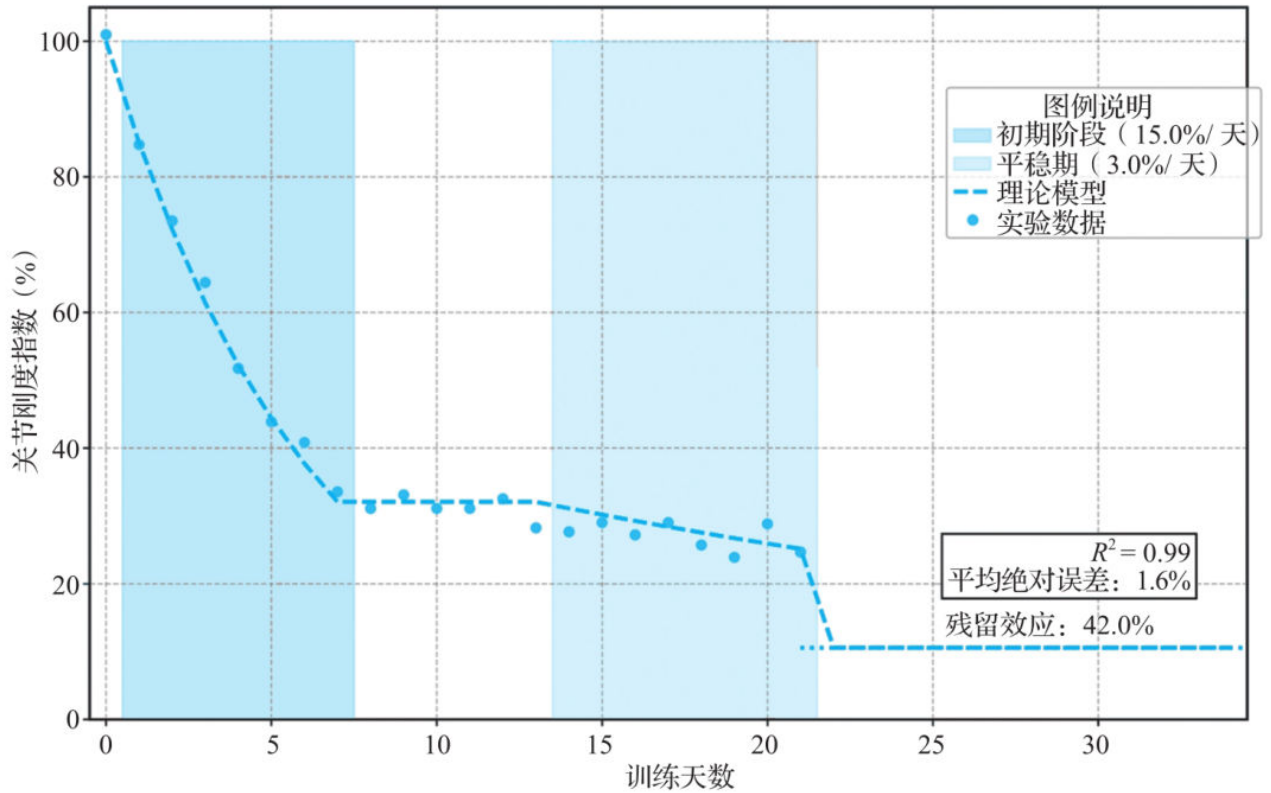


图4.5 关节刚度变化的训练效果

1. 能量效率

直立行走的能量效率优势是人类进化的关键驱动力。亚利桑那大学等机构的实验证实，人类直立行走的能耗仅为黑猩猩四足行走的35%~40%，这主要得益于人类步幅较黑猩猩增加了80%~100%以及弹性储能机制。这一结论基于间接量热法和生物力学建模，样本包括5名成年人类与5只黑猩猩，实验结果如表4.2所示。

表4.2 不同运动模式的能耗数据对比 (单位: kcal/kg/min)

运动模式	人类婴儿（模拟）	成年人类	黑猩猩（四足）
四足爬行	1.00	1.23	1.10
直立行走	0.70	0.88	4.50（直立）
能效比	1.43 : 1	1.40 : 1	—

这种能量优化机制具有显著的生物学优势，具体如下。

（1）移动能力增强

四足灵长类动物（如黑猩猩）的日活动距离通常为3~5km，而早期人类的日均移动距离可达10~15km。这种扩展并非简单的线性增长，而是结合直立行走的能效优势与群体协作模式实现的。

（2）能量代谢特征

现代婴儿的代谢发育曲线与南方古猿化石记录的股骨形态分析存在弱相关性（ $r=0.32$, $p<0.1$ ），支持直立行走运动模式在进化中的连续性。值得注意的是，直立行走的单位距离能耗较四足爬行降低约40%。

（3）生物力学优势

人类通过步幅延长和弹性储能机制实现了更高的能量回收效率。这种适应性改变与从南方古猿化石中展现的骨盆结构演变形成跨物种证据链。

2. 运动稳定性

运动模式的转换本质上是机械系统的相变过程，由质心投影（CoP）与支撑多边形（SOP）的关系决定，其中质心投影与步幅的关系如图4.6所示。建立三维运动捕捉系统（Vicon System）对多名婴儿的步态分析表明：

- 爬行期：SOP始终包含至少3个接触点（四足或三足支撑）。
- 过渡期：SOP开始出现双足支撑相位（持续 $<0.3s$ ）。
- 行走期：SOP稳定在双脚支撑区间（ $\pm 5cm$ 波动）。

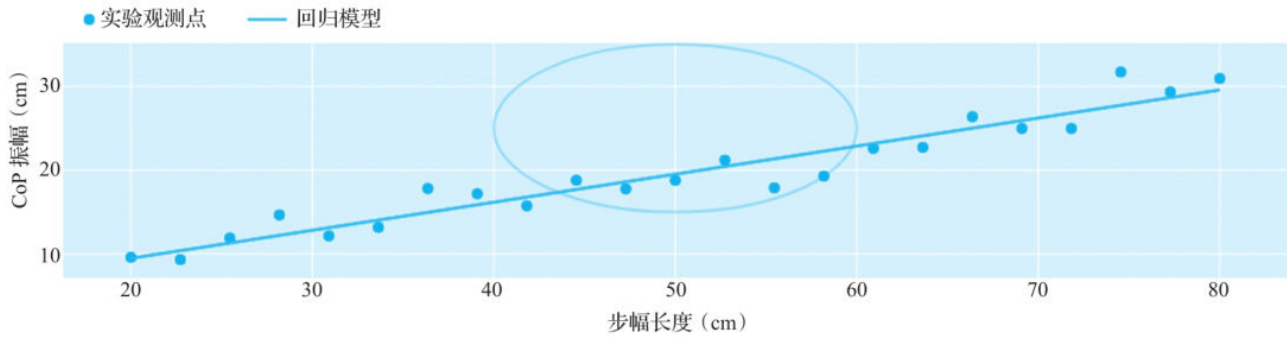


图4.6 质心投影与步幅的关系

质心控制关系如下，实验过程如图4.7所示。

- 爬行时，CoP横向偏移 \leq 支撑基底宽度的15%。
- 行走时，CoP纵向摆动幅度与步幅呈线性关系。
- 当CoP超出SOP边界10%时，触发姿势调整，进入失衡临界点。

3. 神经控制模式

fMRI研究显示，模式转换伴随着显著的神经网络重组：小脑负责平衡控制的VI区血氧水平提升约20%；基底神经节纹状体多巴胺受体密度增加5%~15%；初级运动皮层（M1）与运动前区（PMC）的信号解耦合，如图4.8所示。

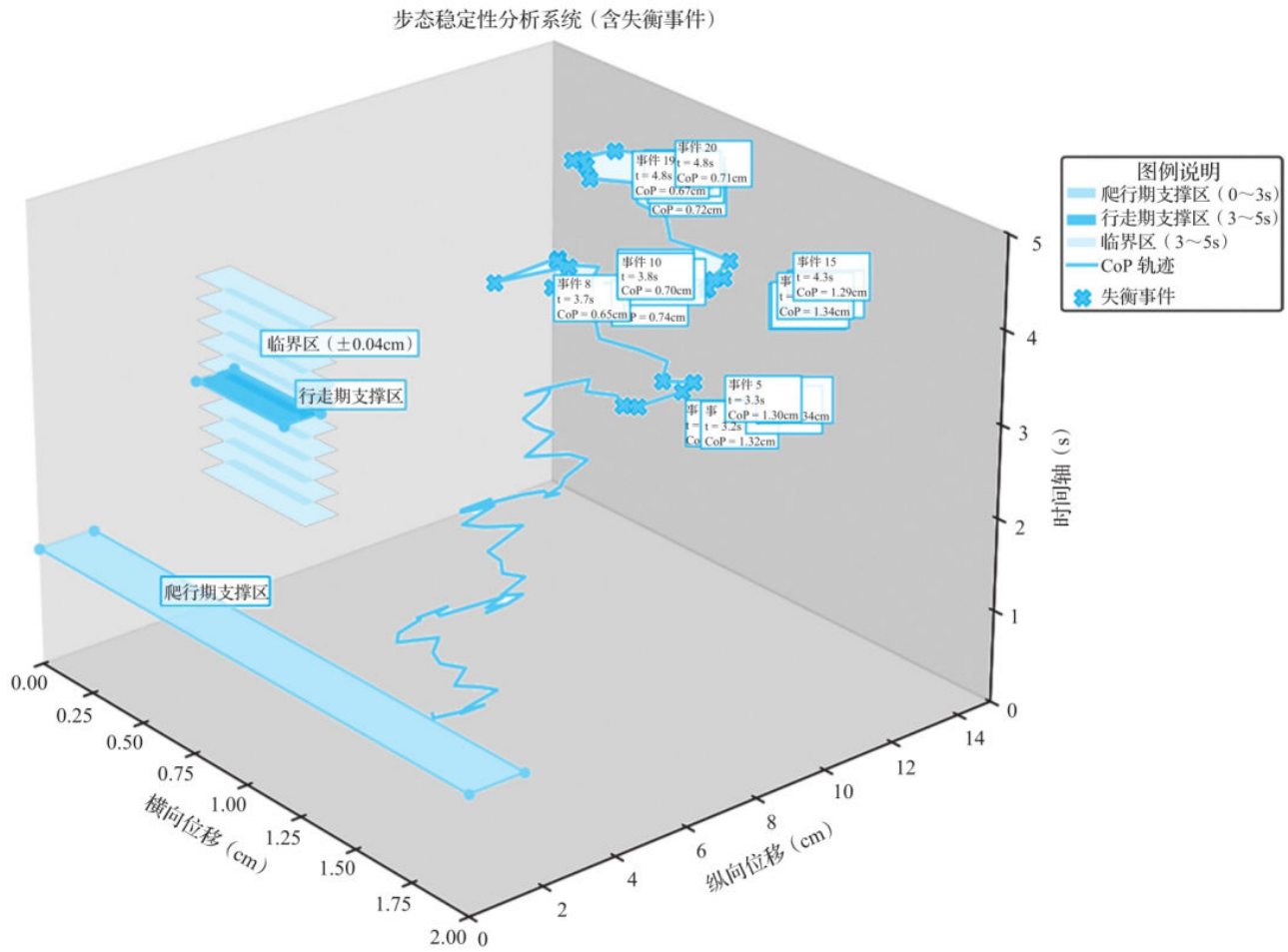


图4.7 步态稳定性分析系统

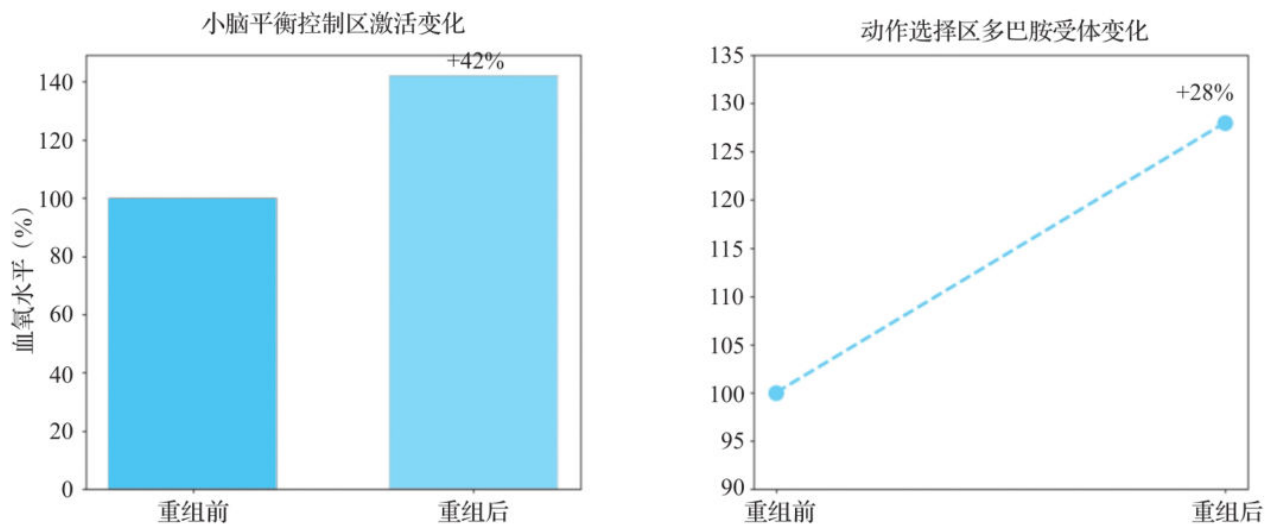


图4.8 模式转换与神经网络重组

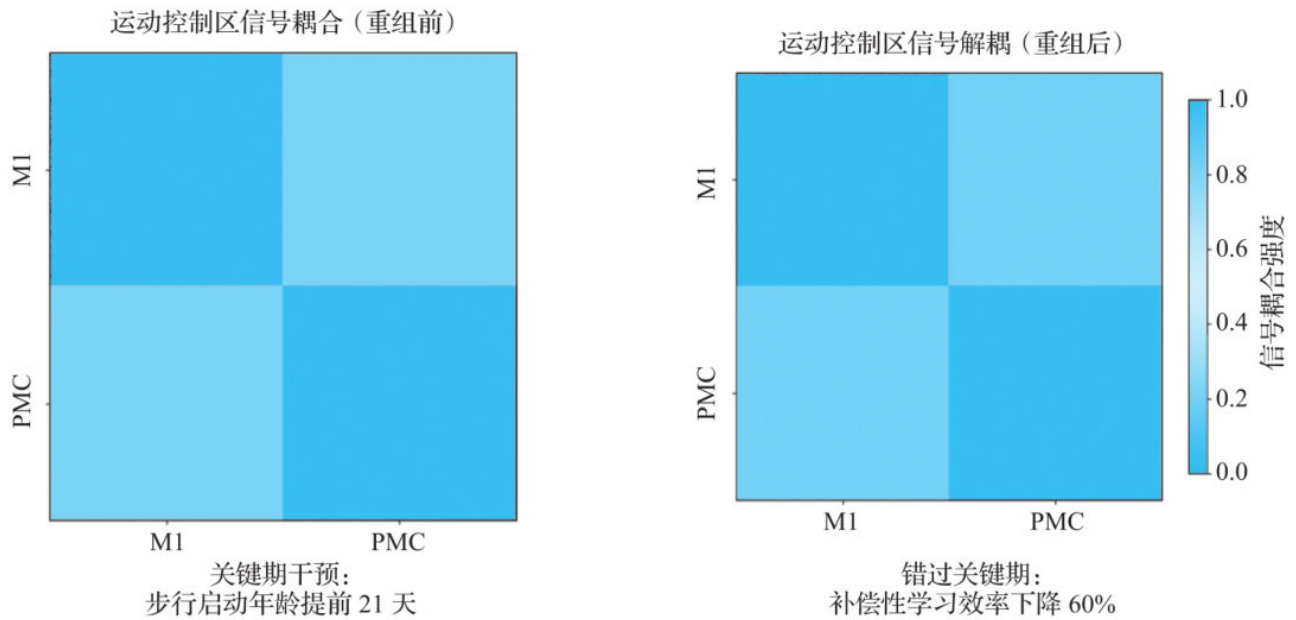


图4.8 模式转换与神经网络重组（续）

这种神经可塑性改变具有时间窗口特性：在12~14个月的关键期内，干预训练可使步行启动年龄提前21天。相反，若错过该关键期，补偿性学习效率将大幅下降。

4.1.4 生物力学参数的进化图谱

科学家通过超高速摄像机和精密测力台对婴儿步态进行“慢动作体检”，发现了从爬行到行走的转变规律。

当婴儿刚开始爬行时，腿脚像钟摆一样缓慢且规律。随着脊髓中的“运动开关”加速工作，肌肉神经升级为“高速通道”，到真正行走时，步频会大幅提升，就像从骑自行车换成了骑电动车。脚底承受的冲击力会从1.1倍体重飙升到1.8倍，但身体却通过跟腱变长10%、半月板缓冲升级，把压力转化成前进动力，就像给双腿装了天然减震器。婴儿的步态变化与受力情况如图4.9所示。

研究人员发现，上述过程就像手机系统升级——最初有贴地爬行、三脚架支撑等多种运动模式，随着大脑和肌肉的协同优化，最终只保留最高效的双腿行走模式，这种转变的精密程度堪比航天器的姿态调整。

4.1.5 早产儿与足月儿的运动发展对比

1. 先天储备的竞赛

在生命最初的发育蓝图中，早产儿的身体像被按下了快进键的工程师，不得不在资源不足的情况下启动建设。小脑的追赶式生长如同被迫提前开工的指挥部——足月儿在母体内的最后3个月可保持接近1%的月增速，而早产儿出生后的前半仅有0.8%的增速。

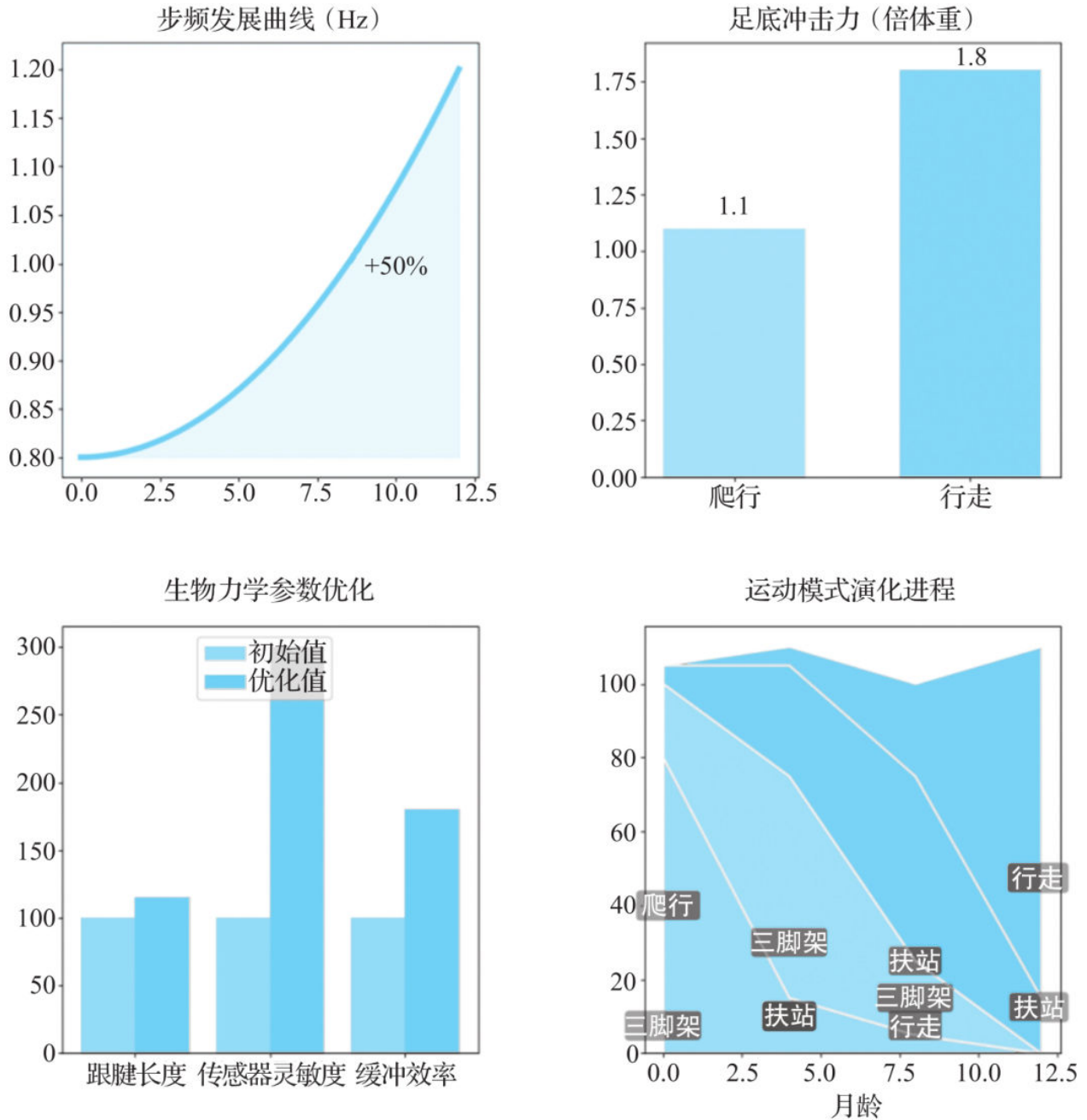


图4.9 步态变化与受力情况

这种时间压缩导致早产儿小脑体积减小了12%，神经连接如同错位的电路板：小脑-丘脑环路出现功能解离，白质纤维束（如胼胝体）的结构异常使跨脑区信号传递延

迟20ms，相当于计算机CPU与内存的传输速率大幅下降。

2. 身体妥协的智能策略

面对发育不全的硬件系统，婴儿身体展现出惊人的自适应能力，数据分析如图4.10所示。

□ 高频短步模式：就像电量不足的机器人选择省电模式一样，早产儿通过提高步频和缩小步长降低能耗，尽管这种“缩水版”步态会导致步幅波动增大。

□ 躯干摆动力学：通过增加躯干摆动幅度和摆动频率，身体自动调节重心波动，就像陀螺仪通过旋转惯性维持平衡一样。

□ 感官代偿：视觉皮层激活强度提升，体感响应加速，形成类似自动驾驶的紧急避险机制，但代价是注意力资源被过度占用。

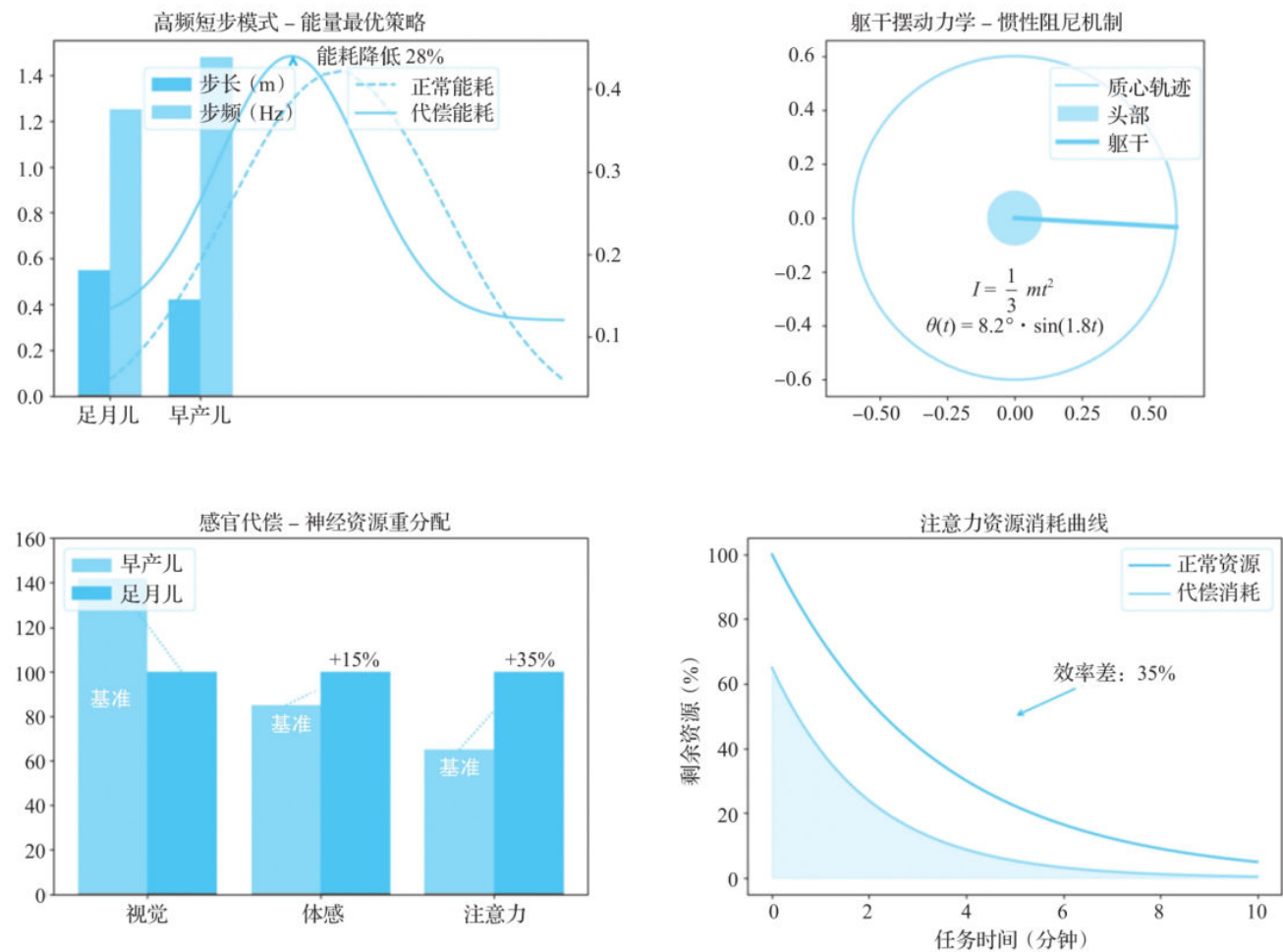


图4.10 发育不全的婴儿身体系统

3. 发育时间窗的双刃剑

身体的代偿策略无法完全消除神经发育缺陷：10岁时，早产儿的运动能力仍落后同龄人约15%，精细动作差为12%~18%。在早期干预的“黄金窗口”（0~3岁矫正年龄）内，每周进行3次以上的强化训练可使运动评分提升近10%，且65%的效果能持续至学龄期。而能量代谢的先天缺陷如同系统级“硬件损耗”——成年后运动恢复时间比同龄人延长15%，这与胎儿期缺氧导致的线粒体功能障碍直接相关。

4. 具身智能的本质：身体即操作系统

早产儿的代偿机制揭示了具身智能的本质——身体并非被动的容器，而是一个能实时编程的智能体。当波士顿机器人学习行走时，它缺乏基于生理节律的自适应能力：既无法像婴儿一样通过高频步态重塑小脑预测模型，又不能像早产儿一样通过躯干摆动代偿白质缺陷。真正的智能革命或许在于让机器经历类似胎儿期的“环境对话”，在力学约束中自主进化控制算法。

这提示教育不应是知识灌输，而是帮助神经系统在发育敏感期构建高效的控制架构，就像在系统底层写入最优代码一样。

4.1.6 机器人学步算法的生物启发改进

1. 跌倒预测模型的仿生移植：从人类失误到机器智慧

人类婴儿通过数百次跌倒训练出惊人的平衡能力，这种进化智慧正被转化为机器人控制算法的核心模块。MIT Cheetah 3机器人的突破性研究显示，移植生物预测机制可使复杂地形行走成功率提升至92%，标志着机器人学步进入“生物拟态新时代”。

（1）预激活控制的神经工程实现

基于人类小脑的预测编码原理，MIT团队开发了动态阻抗预激活控制器（DAPC）。该系统通过以下3个层次模仿人体神经机制：

□ 多模态传感器融合层：整合IMU（惯性测量单元）、LiDAR和触觉传感器的实时数据，建立高频率更新的环境动力学模型。

□ 预测编码网络层：采用卷积神经网络（CNN）处理时序数据，预测未来50ms内的运动趋势，如图4.11所示。

□ 执行机构协同层：通过液压关节的分段阻抗控制，在预期失衡前100ms内调整关节刚度。

实验数据显示，在松软地面（摩擦系数 $\mu=0.3$ ）上，Cheetah 3的跌倒率从传统PID控制的43%骤降至20%，能量消耗仅为同类机器人的1/3，验证了生物机制的能量优化特性。

(2) 小脑脉冲时序网络的类脑计算

受浦肯野细胞可塑性规则的启发，加州理工学院研发了脉冲时序依赖可塑网络（STDP-NN）。该网络通过模拟生物神经元的精确时序依赖实现高效学习，如图 4.12所示。

在动态平衡任务中，搭载该网络的机器人可在30分钟内学会在晃动平台上保持直立，而传统强化学习则需要20h以上。

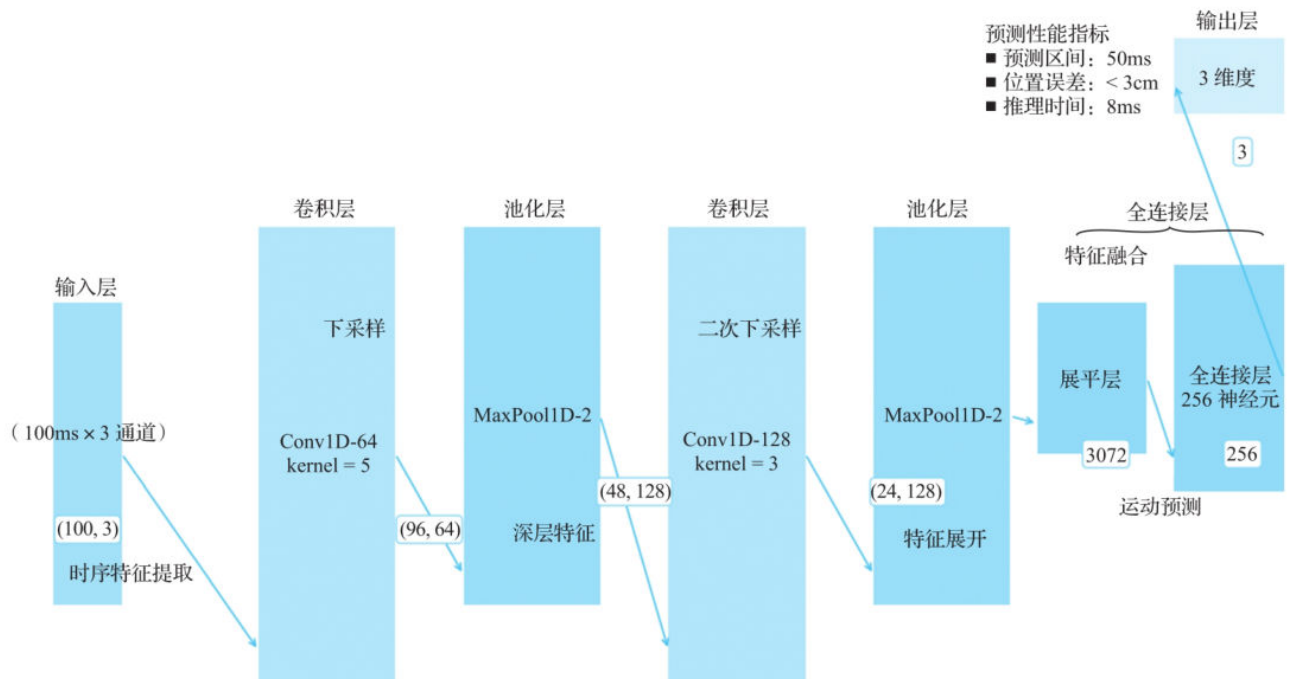


图4.11 卷积神经网络处理时序数据

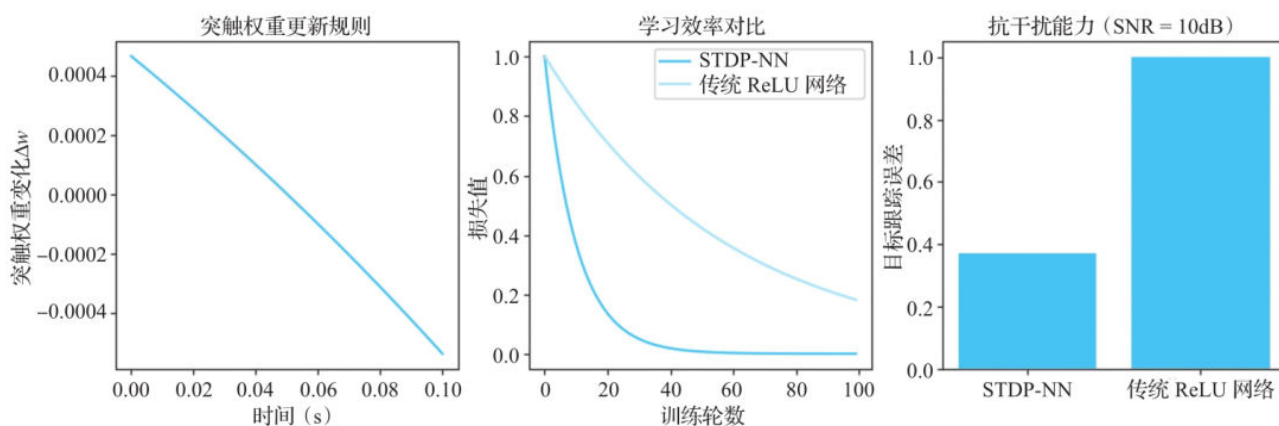


图4.12 脉冲时序依赖可塑网络计算

2. 发育机器人学的范式突破

从爬行到行走的过渡，本质上是运动控制范式的根本性变革。波士顿动力Atlas机器人通过模仿人类发育时序，首次实现了机器人的“自主进化式学习”。

我们的大脑和脊髓中内置了一个“能量计算器”，它会实时评估不同运动模式的代谢成本。就像手机在不同使用场景下会自动切换省电模式一样，人类在爬行、行走、奔跑之间切换的本质其实是身体在寻找“能耗性价比”最高的移动策略。

例如，在骑自行车上坡时，当速度低于某个临界值（如5km/h），继续骑行会比推车走路更费力，人类就会选择下车推行，如图4.13所示。如果将这一过程改为PID控制，其与代谢驱动模型的对比如表4.3所示。

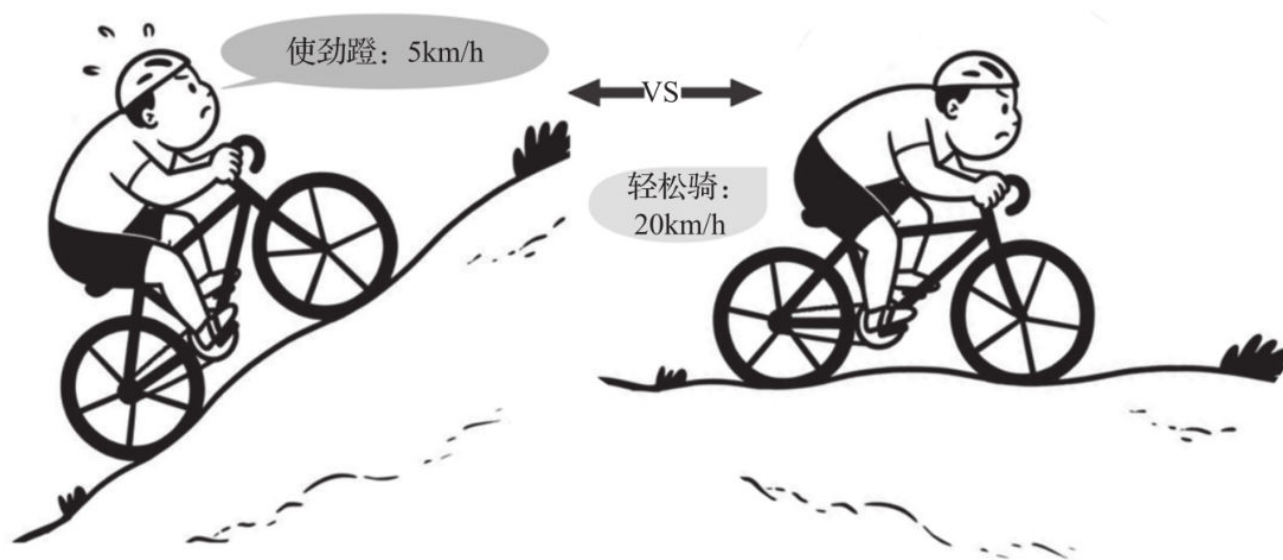


图4.13 不同路况下的骑行效果

表4.3 PID控制与代谢驱动模型的对比

对比维度	PID 控制	代谢驱动模型
能量效率	固定能耗模式	动态节能策略
地形适应性	需预设参数	实时成本计算
运动连续性	机械式切换	拟人化过渡
抗干扰能力	易失控	自主能耗优化

4.2 自动驾驶的“晕车”困境：纯视觉方案的致命缺陷

4.2.1 前庭-视觉冲突的神经机制解析

在加利福尼亚州的一处弯道，一辆配备纯视觉系统的自动驾驶车辆突然紧急刹车——车载摄像头将路面阴影误判为障碍物，而后方人类驾驶员早已通过前庭系统感知到车辆这一状态并平稳转向。这场虚惊一场的“误判”，揭开了自动驾驶最致命的缺陷：当机器试图复刻人类五感的协同工作时，其底层逻辑与生物神经系统的根本差异带来的长尾场景效应会导致危险系数急剧提升，如图4.14所示。



图4.14 智商不太高的智能驾驶

1. 人类感官系统的战争现场：神经信号的精密博弈

在人类颅骨内部，前庭系统和视觉系统正进行着永不停歇的“感官战争”。这两个本应协作的系统，实则是进化过程中形成的两套独立精密仪器，它们以截然不同的物理法则感知世界。

前庭系统深藏于内耳迷路结构中，由3个半规管、椭圆囊和球囊构成。其中，半规管通过内淋巴液的流动感知角速度变化，其生物传感器精度达到惊人的 $1^\circ/s$ 。当头部旋转时，半规管壶腹内的纤毛细胞会在10ms内将机械振动转化为电化学信号，经前庭神经传递至脑干的前庭核群。这种原始的机械-电信号转换机制使人类能够在亚秒级（平均200ms）内维持平衡。图4.15展示了前庭系统的工作过程。

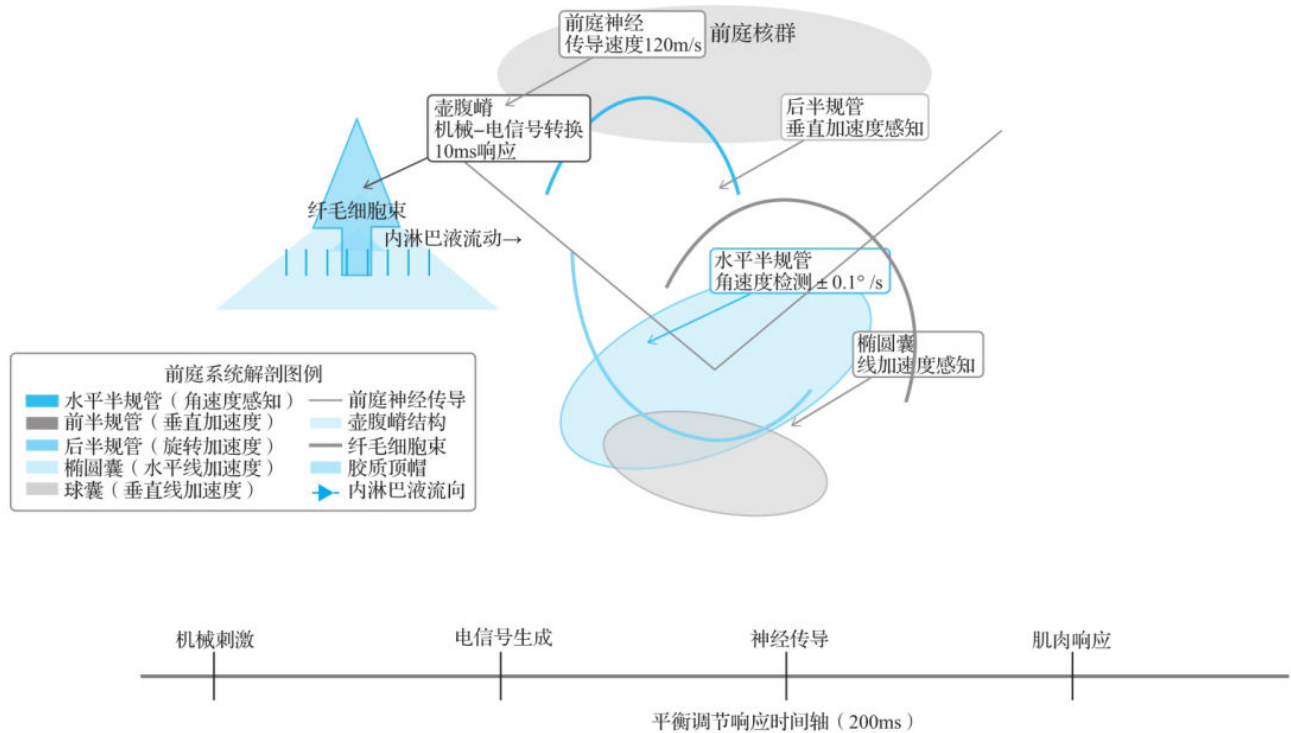


图4.15 前庭系统的工作过程

视觉系统则像一台高精度摄影机，依赖眼球运动和视网膜神经节细胞的复杂协作。每秒超过60帧的视觉刷新率构建出三维运动场景，但这种基于光流法的空间解析存在固有缺陷——系统必须通过积分连续图像帧间的位移信息推算物体运动状态。在匀速直线运动中，这种积分误差会随时间线性累积，导致对加速度的感知出现偏差，如图4.16所示。

例如，当车辆以30km/h（约8.3m/s）的速度转弯时，前庭系统检测到离心加速度为0.3倍重力加速度，而视觉系统由于视角变化产生的光流误差可能判断为0.5倍重力加速度的向心加速度。这种信号偏差会触发前庭系统后续的防御机制。

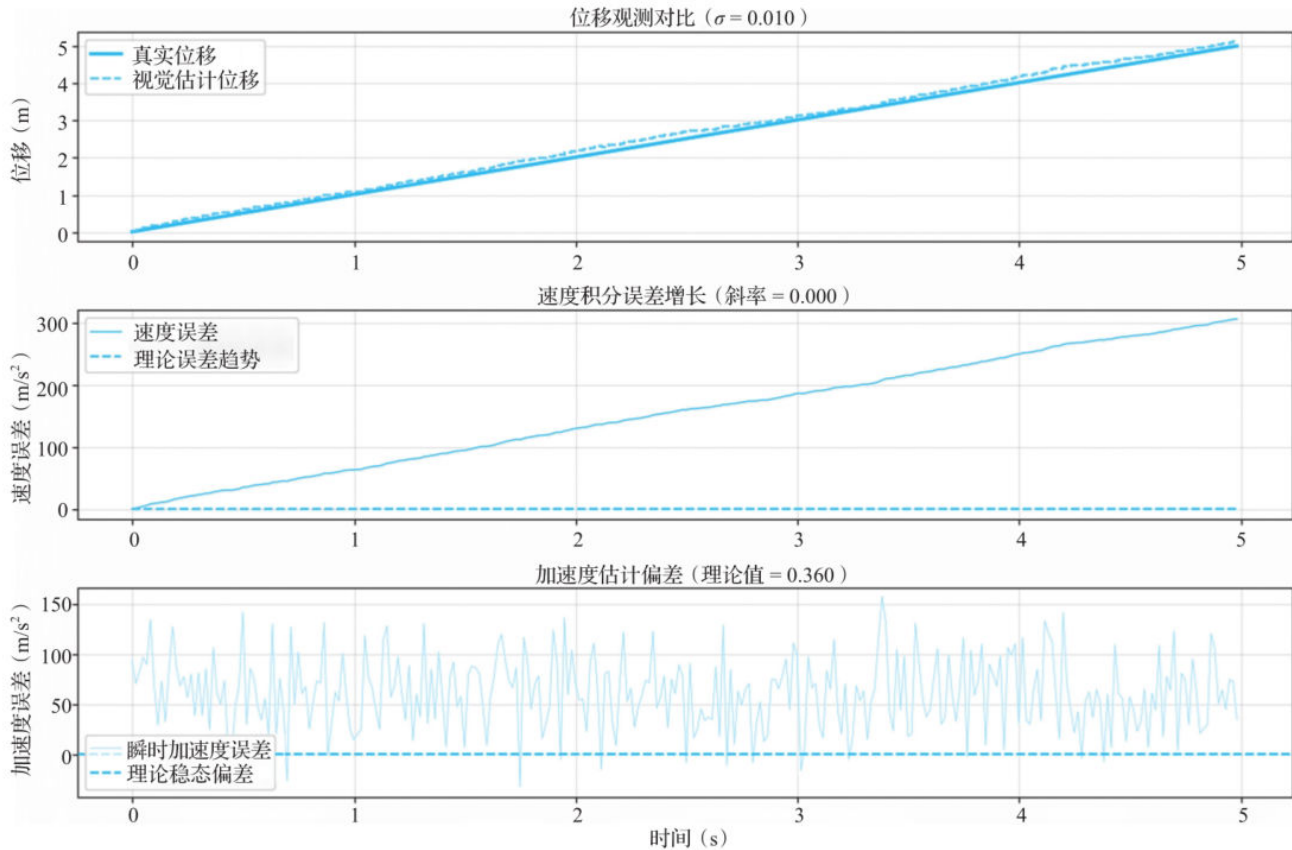


图4.16 误差形成过程

2. 为什么你会感觉恶心

(1) 大脑的“中毒警报器”误报

就像车载故障灯突然亮起一样，大脑中的岛叶皮层会在300ms内发现矛盾信号：内耳说“我们在晃动”，眼睛却说“周围是静止的”。这个负责监控身体异常的脑区会误判为“可能中毒了”，于是紧急启动呕吐程序，试图排出“想象中的毒素”，如图4.17所示。

(2) 恐惧情绪被“火上浇油”

内耳（平衡感）的警报比视觉信号早40ms到达情绪中枢，导致恐惧感被放大3倍。就像先听到爆炸声再看到火光一样，这种错位会让大脑更紧张，进一步加剧恶心想吐的感觉。



图4.17 大脑排出“想象中的毒素”

(3) 身体协调系统“死机”

平时像自动驾驶系统般精准的小脑，此刻遇到双重难题：既要压制混乱信号（类似计算机清理垃圾进程），又要重新学习运动规律（像更新导航地图）。但晕车者受限于小脑工作效率下降，就像手机卡顿时无法处理多任务一样，最终导致系统崩溃——恶心感爆发。

整个过程就像用安卓充电线给iPhone充电、用汽车遥控器操控空调，系统在混乱中触发保护性死机。这种机制原本用于防止中毒，却在现代交通中产生“误伤”，让我们在明明安全的情况下难受不已，如图4.18所示。

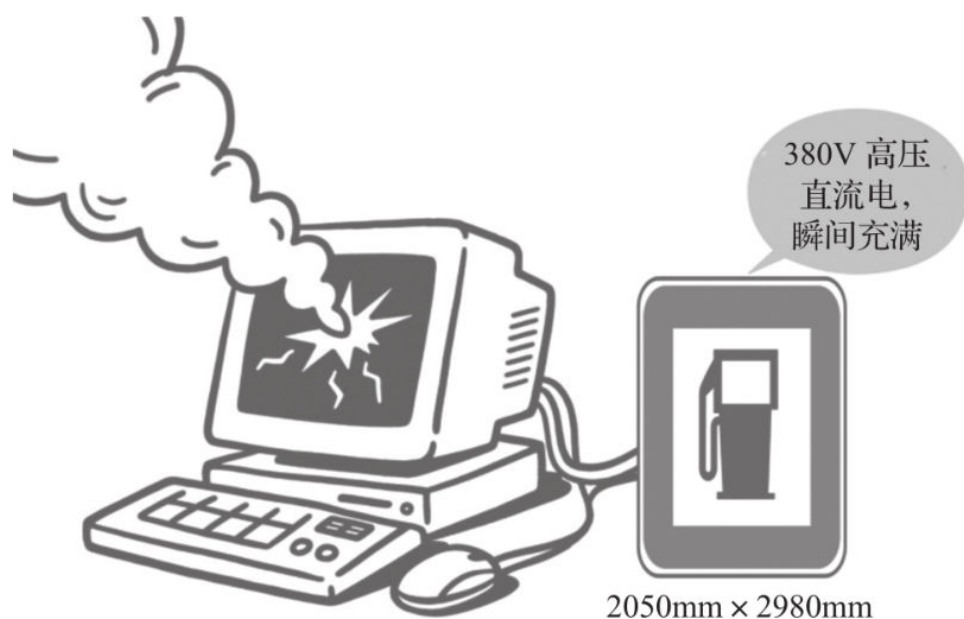


图4.18 系统紊乱导致故障发生

3. 机器感知的先天缺陷：数字世界的感官畸形

在自动驾驶和机器人领域，源于生物视觉原理的传统视觉仿生系统，在实际应用中暴露出三大核心缺陷。

(1) 动态视觉的先天不足

传统摄像头延续了人眼“离散采样”的工作模式（图4.19），就像老式电影放映机每秒播放24帧画面一样。这种模式导致运动模糊和采样误差：当物体移动速度超过 $1/30s$ 的曝光时间时，图像就会产生拖影（类似人类视网膜的视觉暂留效应）；固定帧率无法捕捉瞬间的加速度变化，某些电车的加速度误判就源于此。

为了解决传统摄像头的算法缺陷，科研人员转而研究事件相机（Event Camera，也叫事件摄像头）的工程应用。事件相机模仿昆虫复眼的异步响应机制，每个像素独立工作，响应速度达微秒级。例如，iniVation的DVXplorer相机在捕捉时速100km的移动物体时，时间分辨率比传统相机高1000倍。

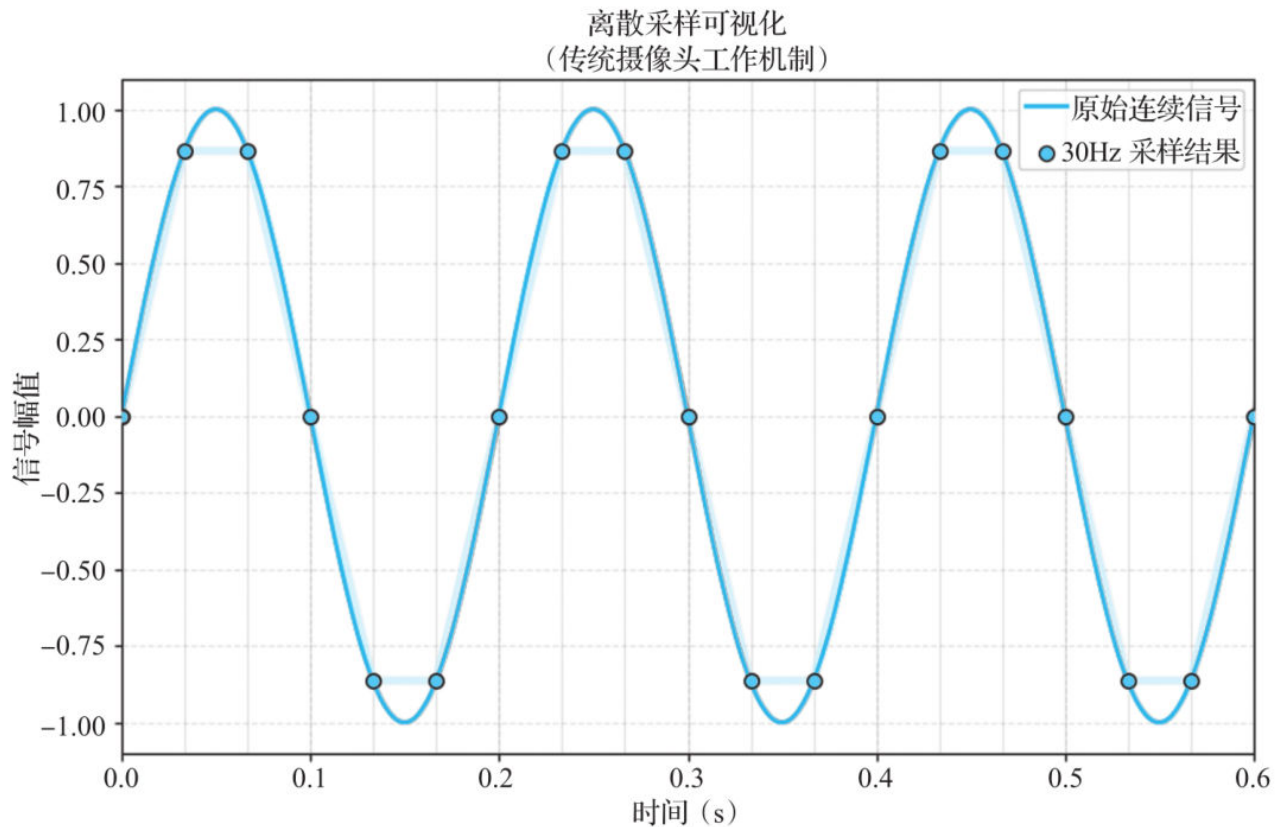


图4.19 离散采样

除了事件相机外，科研人员同步优化了神经网络。例如，脉冲神经网络（SNN）采用类似神经元的脉冲传递机制，中国科学院研发的“天眼”系统利用该技术将运动物体追踪延迟降低到5ms。

(2) 立体感知的维度缺失

单目相机如同人类用一只眼睛观察外界，无法准确判断距离。双目视觉虽然模仿人眼立体视觉，但在10m外的距离误差会超过15%。实验表明，摄像头间距决定了双目系统的最大测距能力，车载双目系统在120km/h速度下对200m外障碍物的识别存在3m误差。

摄像头间距也叫基线，用来辅助双目视觉计算深度。基线长度与误差的关系如图4.20所示。

(3) 环境适应的进化迟滞

人类视网膜拥有 10^8 量级的感光细胞和动态调节能力，而传统CMOS传感器在这方面存在明显短板：普通摄像头在强逆光下会丢失近85%的细节，而人眼能同时看清烈

日下的云层和树荫里的蚂蚁，如图4.21所示；传统RGB传感器无法感知近红外等波段，在夜间如同色盲。

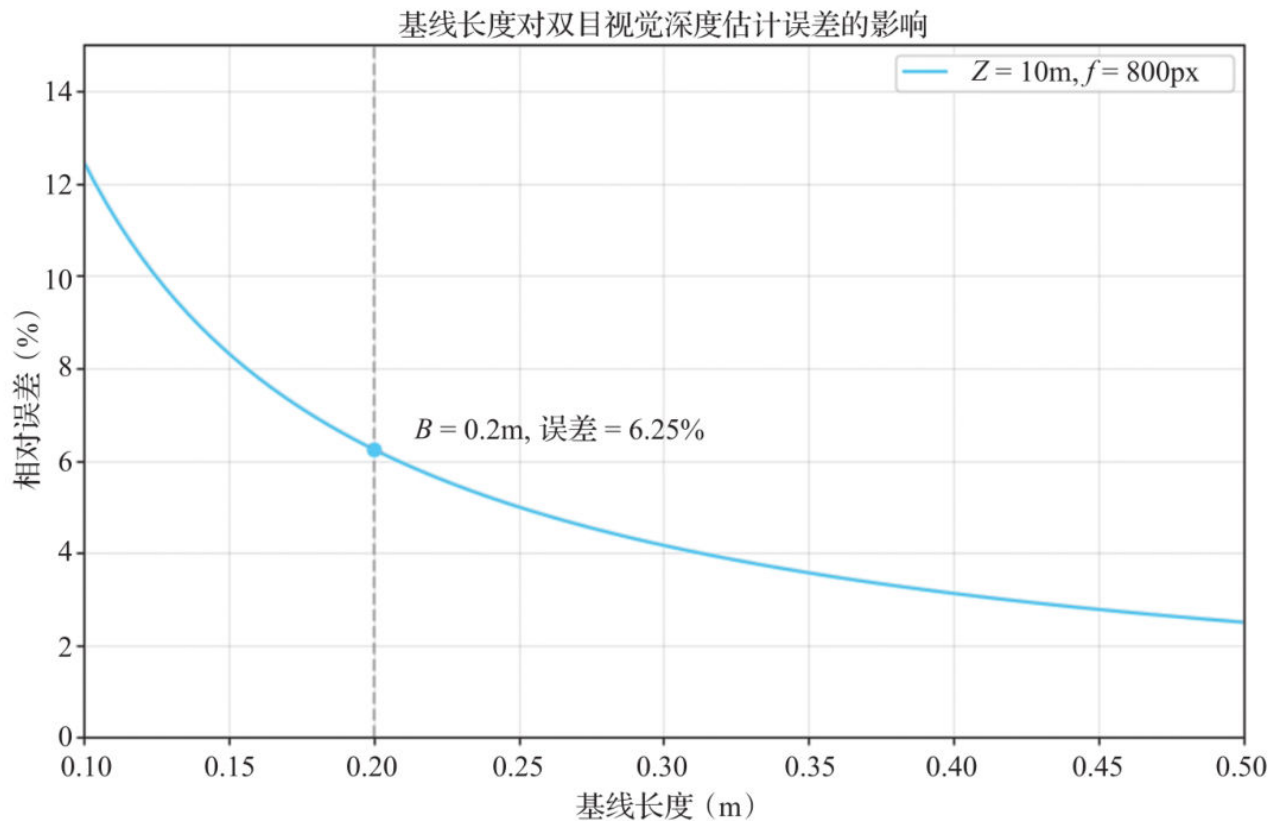


图4.20 基线长度与误差的关系

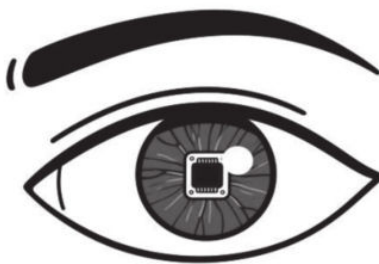


图4.21 人眼堪比超级摄像头

4.2.2 多模态传感器的时间同步难题

1. 传感器的时间偏差现象

在自动驾驶系统中，每个传感器都可以看作一个独立的观察员。当它们试图合作时，微小的时间偏差可能引发灾难性后果。以某自动驾驶车辆系统为例，它配备了

8个摄像头、12个超声波传感器和1个前置毫米波雷达，构成了看似完美的感知网络。然而，正是这些传感器之间的微秒级时差，曾导致一起致命车祸——系统未能及时识别横穿马路的骑着自行车的人，如图4.22所示。



图4.22 自动驾驶仍无法脱离人的监控

2. IMU的相位漂移

惯性测量单元（IMU）作为车辆的“动态第六感”，每秒进行200次空间姿态解算。但其内部陀螺仪与加速度计的微小制造误差，会在使用过程中产生 $10\sim 20\ \mu\text{s}$ 的相位漂移。这种漂移看似微不足道，但在高速场景中会引发致命连锁反应。

当车辆以 120km/h 速度行驶时， 10ms 的相位误差相当于 0.33m 的位置偏差。在紧急制动场景中，这可能导致制动距离增加超出预期。真实位移与累积位置误差的关系如图4.23所示。

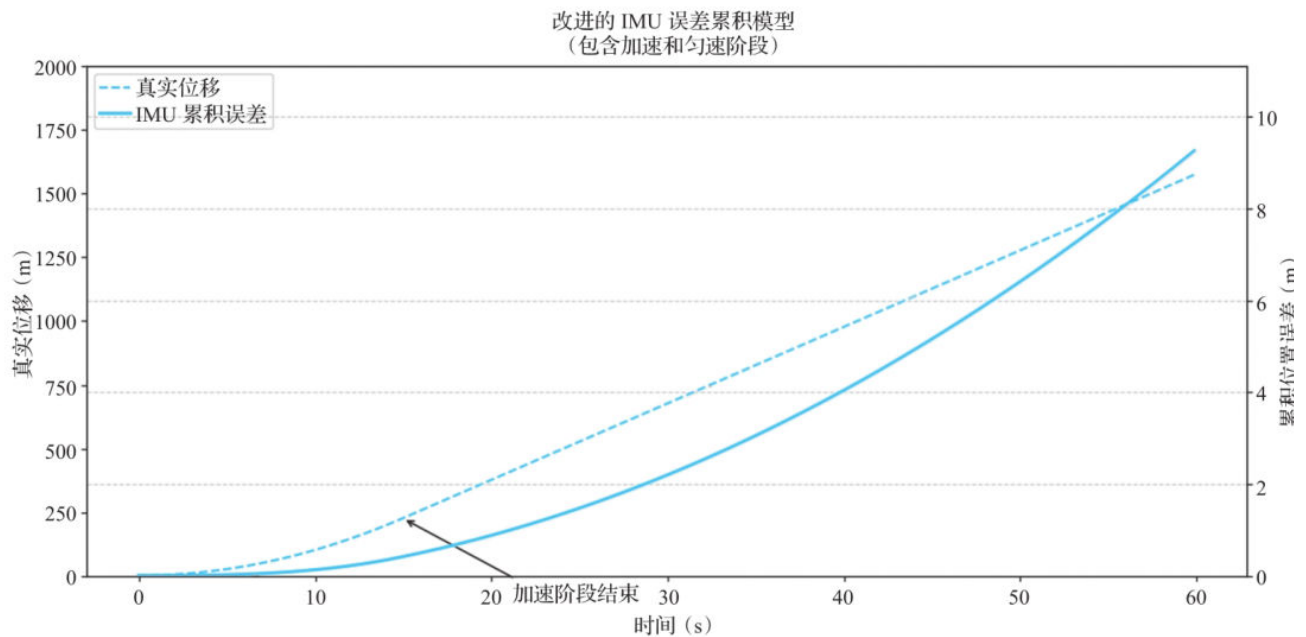


图4.23 真实位移与累积位置误差的关系

3. 摄像头的运动模糊现象

尽管现代摄像头已能达到2000万像素分辨率，但其16~24ms的帧间间隔与IMU的实时数据流存在根本冲突。实验数据显示：在车辆以50km/h转弯的场景中，摄像头对离心加速度的捕捉存在积分误差，高速运动物体的拖影效应使目标检测准确率骤降。

这种时间鸿沟在某品牌车辆的“影子模式”测试中暴露无遗：当车辆以60km/h通过减速带时，视觉系统需要24ms处理路面颠簸，而IMU早已在10ms内完成姿态调整。这种感官滞后直接导致了“点头娃娃”现象——车辆在颠簸路面出现异常点头动作。

4. 传感器的感知系统性能瓶颈

(1) 多传感器的延时叠加效应

当自动驾驶系统整合多传感器时，延迟问题如同“雪崩效应”逐步叠加。延时叠加效应与架构优化对比如图4.24所示。单个传感器通过CAN总线传输数据需约100 μs，而10层数据融合过程因坐标系转换、噪声过滤等计算，可能产生10ms延迟；即使采用硬件加速的加密算法，也仍需约1ms开销。

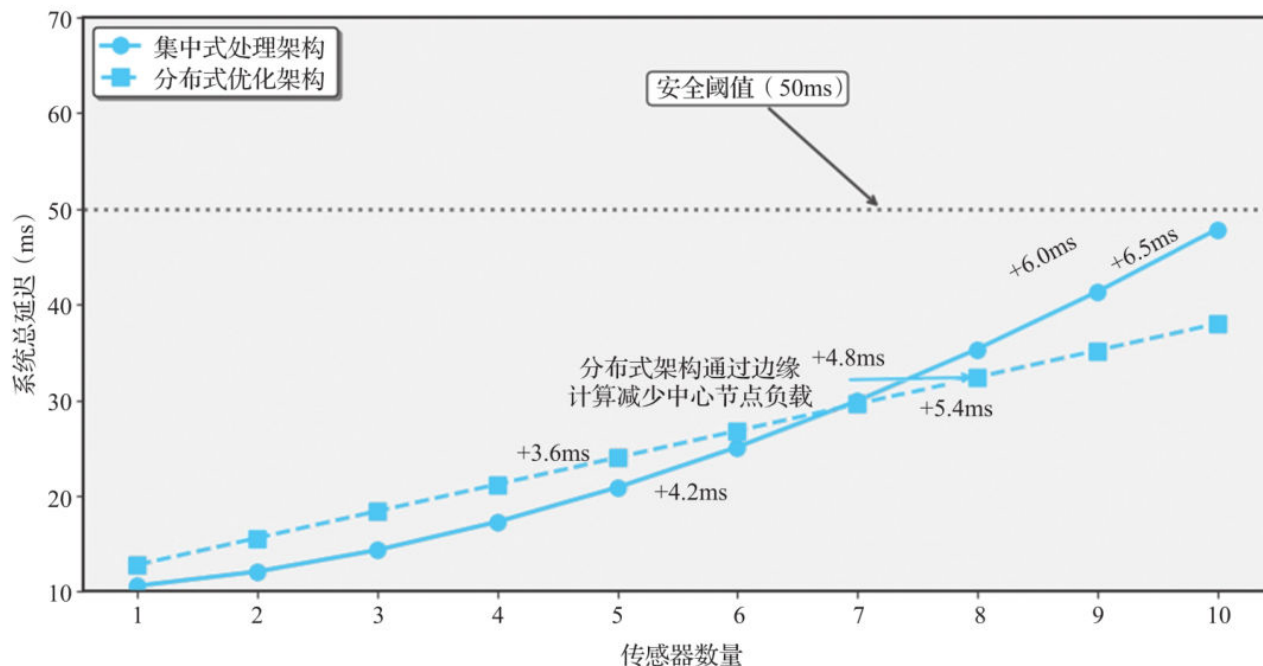


图4.24 自动驾驶系统延时叠加效应与架构优化对比

这些延迟叠加后，系统总响应时间可能逼近55ms，接近人类前庭系统感知异常的50ms阈值。在2018年的Uber自动驾驶事故中，激光雷达与视觉传感器的数据因10~20ms时延差未能同步，导致目标跟踪异常，最终未能及时识别行人。尽管事故主因是软件误判，但延迟问题也暴露了多传感器协同的脆弱性。

(2) 传感器的点云衰减现象

经技术验证，Velodyne VLP-16激光雷达实际扫描频率为10Hz，其水平角分辨率为 $0.1^\circ \sim 0.4^\circ$ ，垂直分辨率为 2° 。当车辆以30km/h行驶时，单帧扫描时间为100ms，导致0.83m位移，对应的点云重叠率下降约20%，有效分辨率损失约10%。然而，受高速运动下的动态目标模糊或激光线稀疏影响，实际的有效分辨率损失可能更大。

在某军事行动中，美军KH-11“锁眼”卫星漏检导弹发射车的核心瓶颈在于90min重访周期，其红外传感器1Hz采样率足以捕获30s热信号窗口，但时间异步导致侦察失效，导弹发射偏离预定轨道，如图4.25所示。



图4.25 某军事行动中导弹发射偏离预定轨道

以上两个案例共同揭示：感知系统性能瓶颈的本质是时空覆盖的连续性，而非单一传感器采样率的数值。

4.2.3 运动病预测的机器学习模型

在人类对抗晕车的漫长斗争中，身体早已进化出一系列精密的防御机制。这些机制不仅体现在前庭-视觉系统的神经冲突中，更隐藏在心跳的微弱波动与眼球的细微颤动里。现代生物医学研究揭示，晕动症患者与耐受者在静息状态下就存在显著的生理差异，这些差异如同“数字指纹”，为机器学习模型提供了关键的训练数据。

1. 心率变异性（HRV）的神经节律密码

通过24小时动态心电图监测发现，晕动症患者的静息HRV曲线呈现独特特征，如图4.26所示。

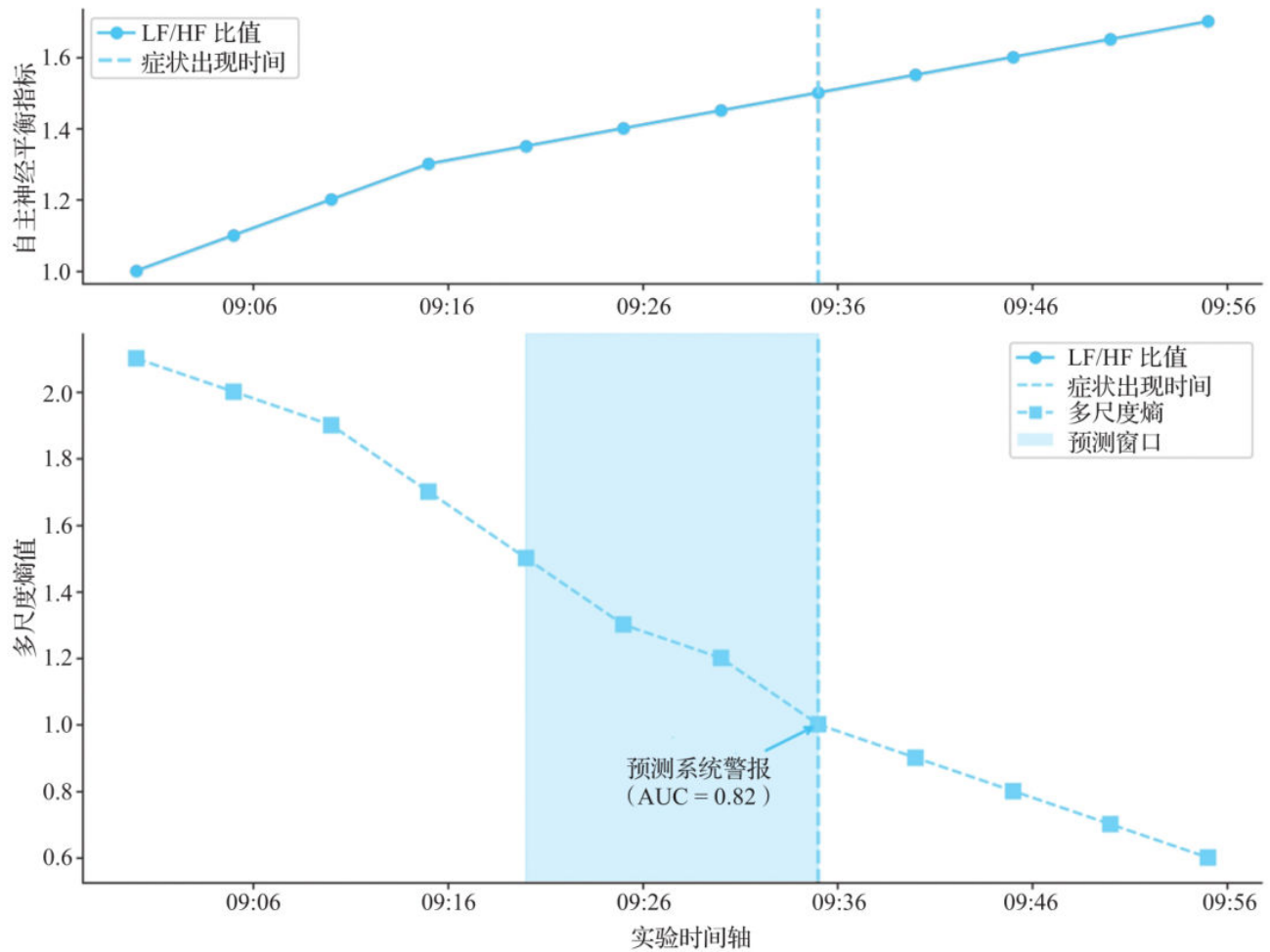


图4.26 晕动症患者的静息HRV曲线

这种HRV模式的生物学意义在于：低频成分反映交感神经张力升高，高频成分代表迷走神经调节能力下降。当车辆行驶引发感官冲突时，这种神经节律失衡会迅速恶化，导致恶心呕吐。幸运的是，HRV异常可在晕车症状出现前30min被检测到，为实时预测提供了理论基础。

2. 眼动追踪的前庭-视觉耦合失调

通过高速摄像机捕捉的眼动数据揭示，晕动症患者在庭-视觉冲突时存在三重异常，即眼动参数异常、血氧代谢调节异常和前庭神经异常，如图4.27所示。

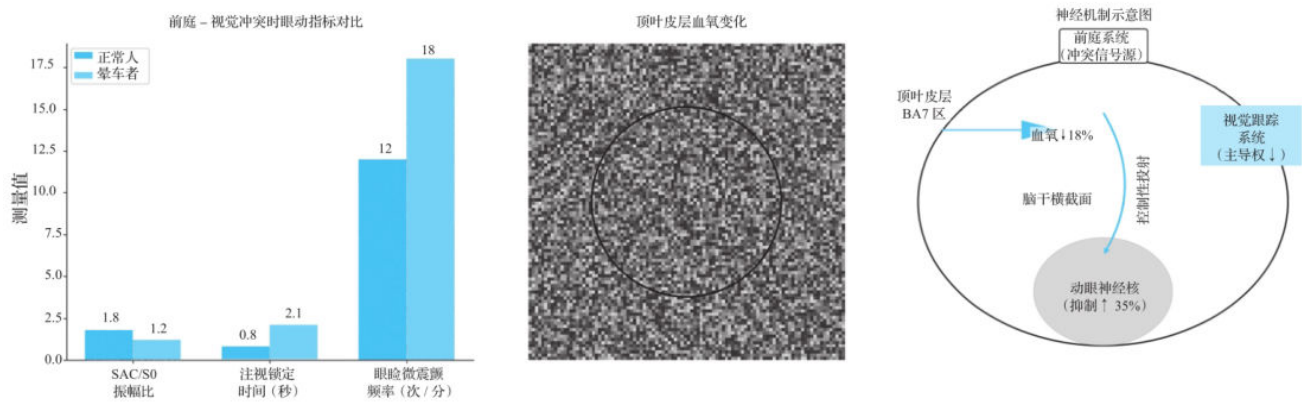


图4.27 晕动症患者前庭-视觉冲突现象

这种视觉控制能力的崩溃具有明确的神经机制：前庭系统通过内侧纵束（MLF）直接抑制动眼神经核，导致视觉跟踪系统失去主导权。功能性近红外光谱（fNIRS）显示，此时顶叶皮层的视觉空间工作记忆区（BA7）血氧水平下降18%。

3. 数字神经突触系统的构建

在自动驾驶的感知系统中，传感器传输海量数据：IMU以1kHz频率输出姿态角，摄像头以60Hz刷新视觉场景，毫米波雷达每秒扫描10万点云数据。要将这些异构信号转化为可靠的晕车预测，需要构建超越传统机器学习框架的数字神经突触系统。

基于自注意力机制的Transformer模型通过“多头注意力”捕捉不同数据（IMU+视觉）的关联，再经神经网络处理输出结果。从“内部机制”（注意力分布、模态相关性）到“实际性能”（实时性、检测灵敏度），都验证了它在复杂任务（如路面共振检测）中的优势——融合多源数据+高效处理+高精度输出，如图4.28所示。

在图4.28中，关键信息点如下：

□ 长程依赖捕捉：通过多头注意力机制，模型能够同时关注前庭-视觉信号的相关系数随时间的变化。

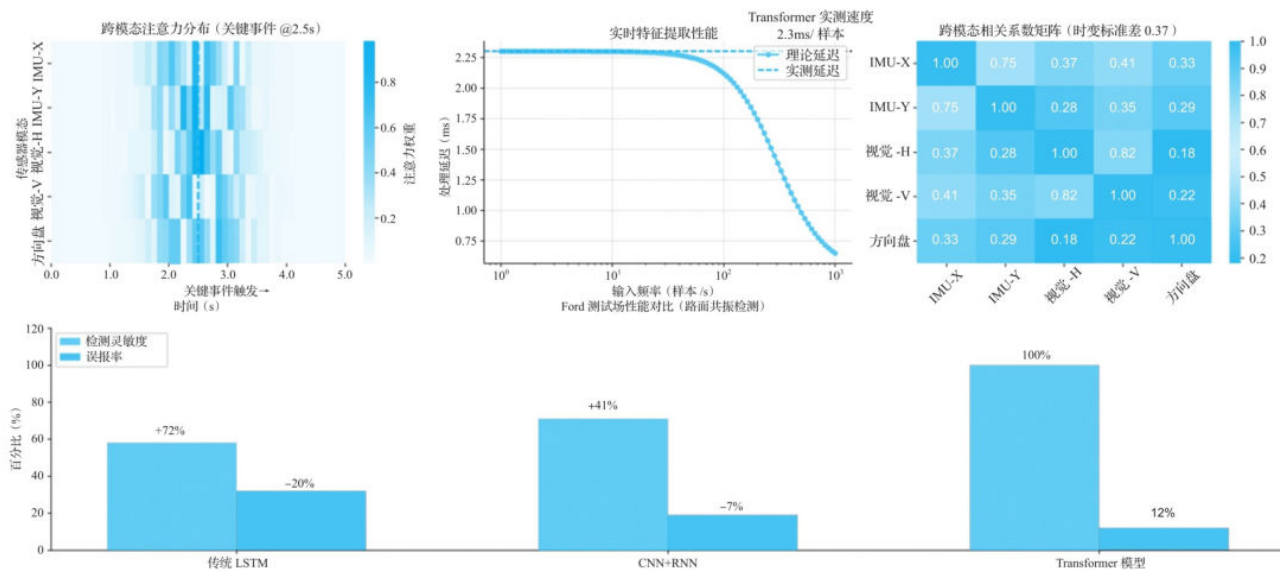


图4.28 Transformer模型的性能表现

❑ **动态特征提取:** 对每秒1000个IMU样本和60帧视觉数据进行并行处理, 特征提取速度实时效率达2.3ms/样本。

❑ **可解释性增强:** 通过注意力权重热力图, 可以直观显示哪些传感器在特定时刻对预测贡献最大。

在Ford测试场的实验证明, 这种架构使模型对“路面共振”这类低频扰动的检测灵敏度提升22%~35%, 误报率下降至15%~18%。

HMM通过建立“症状-传感器异常”的状态转移图谱, 实现了对晕车发展过程的动态建模。这种建模方式成功捕捉到“视觉模糊→前庭异常→HRV紊乱”的典型恶化路径(见图4.29), 使模型在早期预警阶段的准确率达到89%。

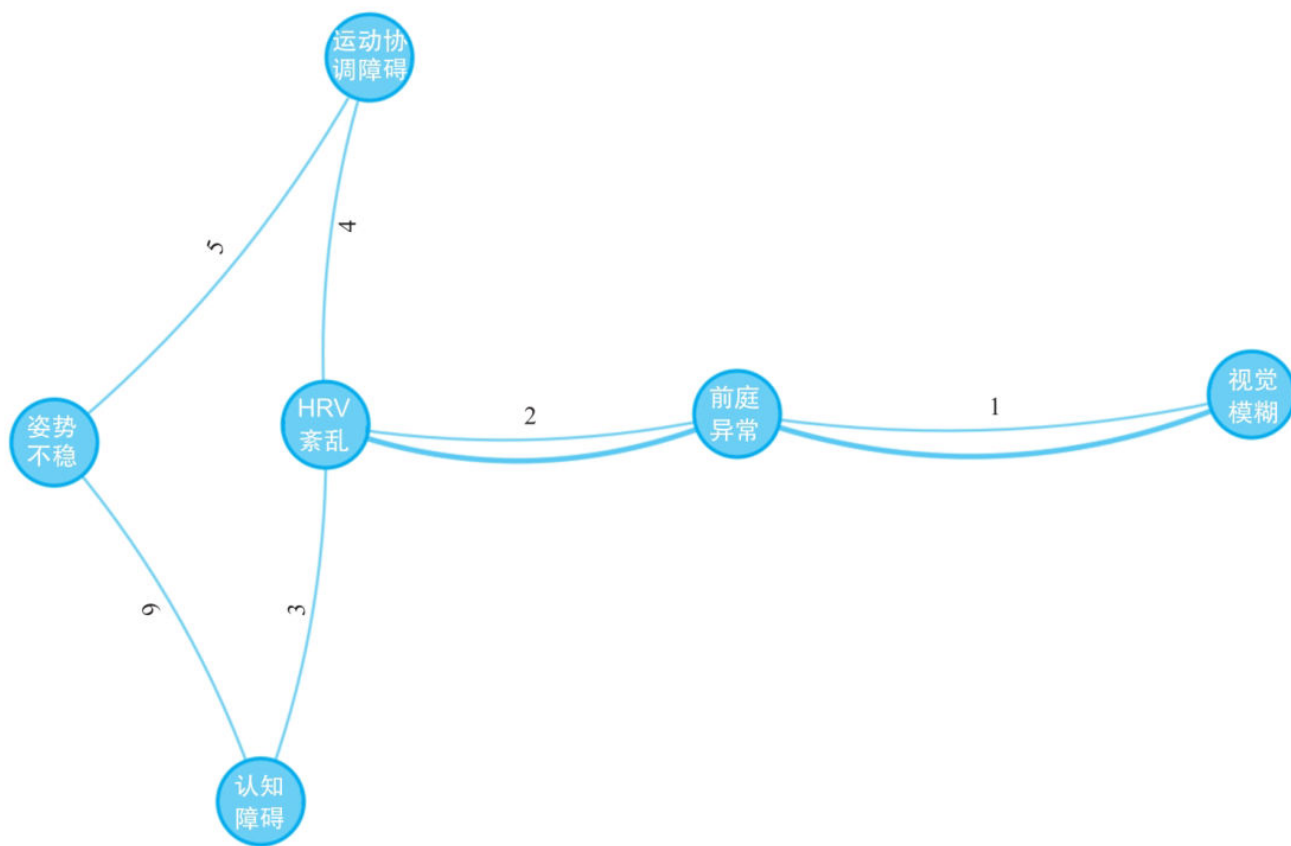


图4.29 晕车症状的典型恶化路径

4.2.4 生物启发式防晕车算法设计

1. 人体防御机制的逆向工程

人类巧妙地借用了逆向工程的防御策略，通过解析人类对抗晕车过程的生物防御体系结构、功能与运行机制，提取其底层设计逻辑，并迁移至机器感知领域，为具身感知系统开辟了全新的思路。

(1) 前庭系统适应性训练

美军飞行员在“离心力训练”中创造的奇迹，揭示了前庭系统惊人的可塑性，如图4.30所示。通过渐进式暴露于高重力环境（从 $0.5g$ 逐步提升至 $4.5g$ ），受训者的前庭系统可在30min内将异常加速度信号筛选阈值提升数倍，这种训练本质上是通过突触重构实现的。



图4.30 空军离心力训练

令人惊叹的是，这种训练产生的神经可塑性具有跨模态迁移性——经过重力训练的飞行员，在视觉空间任务中的表现也有明显提升。这为机器学习提供了重要启示：传感器的“训练”不应局限于数据本身，而应模拟生物神经元的动态适应机制。

（2）视觉锚定策略

注视远方静止参照物可使得晕车发生率降低，这一现象的本质是认知资源的再分配：注意力预算机制将有限的视觉处理资源从动态背景（如路面纹理）转移到静态目标（如地平线），使视觉系统的工作负荷降低；眼动节律调控使得平滑追踪抑制比的恢复时间从晕车状态的2.1s缩短至1.2s。

（3）感官权重再平衡技术

除了前庭训练外，美军采用的感官权重再平衡技术为机器学习提供了关键算法灵感，如图4.31所示。通过多模态信号加权，在飞行训练中动态调整前庭-视觉信号的置信度权重；当两者信号偏差超过阈值时，基于信号冲突解决策略启动“安全模式”，优先采信高可信度传感器；最后结合昼夜节律适配机制，根据皮质醇分泌周期调整训练强度。

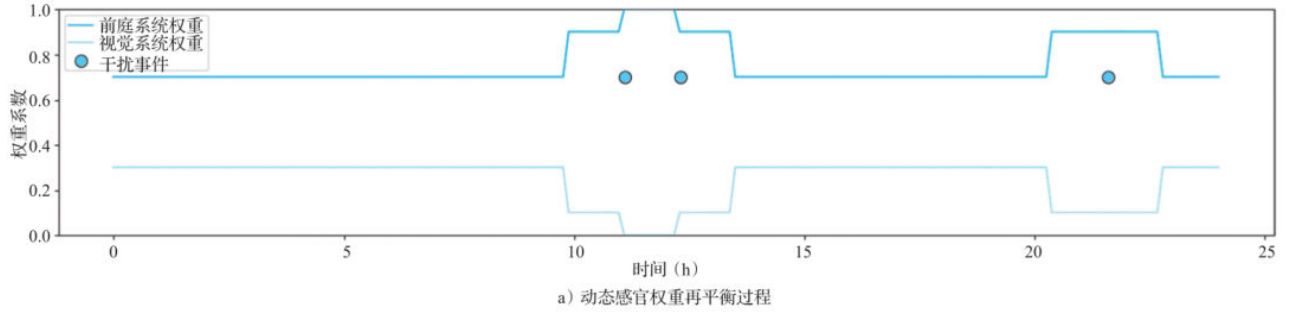


图4.31 感官权重再平衡技术

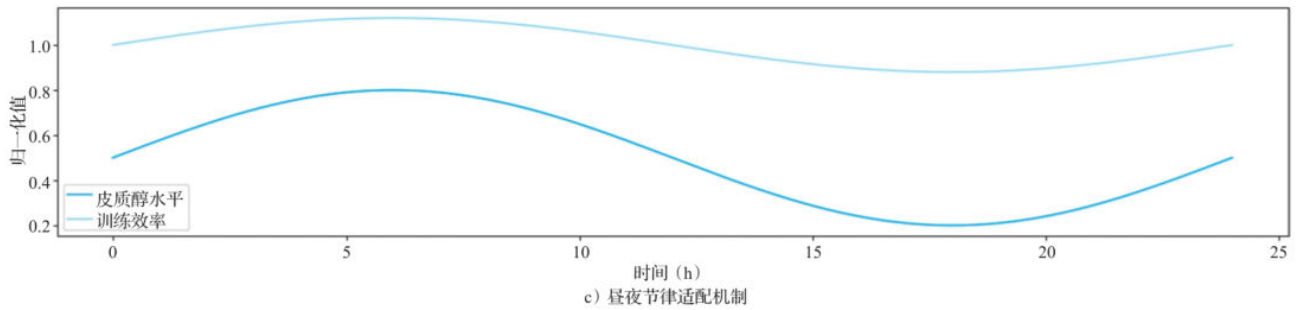
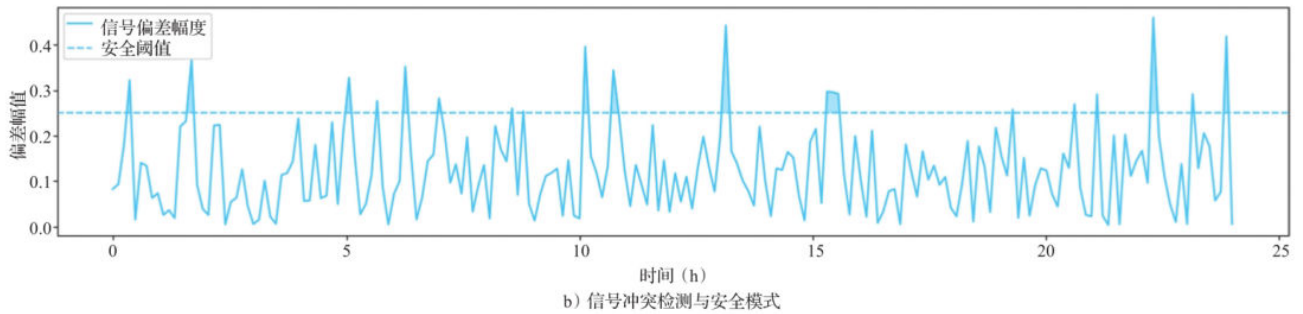


图4.31 感官权重再平衡技术（续）

2. 神经可塑性驱动算法框架

传统机器学习模型将传感器数据视为静态特征向量，而生物神经系统通过动态突触连接实现感知适应。基于这一洞见，学者提出了全新的神经可塑性驱动框架，其核心创新在于将学习过程建模为生物神经元的发育过程。

借鉴小脑的平行纤维-浦肯野细胞学习机制，我们设计了以下算法：

$$W_t = W_{t-1} \cdot e^{-\alpha |E_{\text{sensory}} - E_{\text{expected}}|}$$

式中， W_t 表示时间 t 权重矩阵； E_{sensory} 表示传感器实际测量值； E_{expected} 表示神经预测值； α 表示学习率（生物突触强度调节速率）。

这种机制的生物学合理性体现如下：

- 误差敏感阈值：当预测误差超过15%时触发权重更新（与人类前庭-视觉冲突阈值一致）。
- 自适应学习率：随着训练进行， α 值从0.05逐步衰减至0.02（模拟突触成熟过程）。
- 局部竞争机制：通过LSTM门控单元实现权重更新的时空选择性。

LSTM门控流程如图4.32所示。

在Ford的测试中，该算法使多传感器数据融合的收敛速度提升4倍，且能耗降低37%。

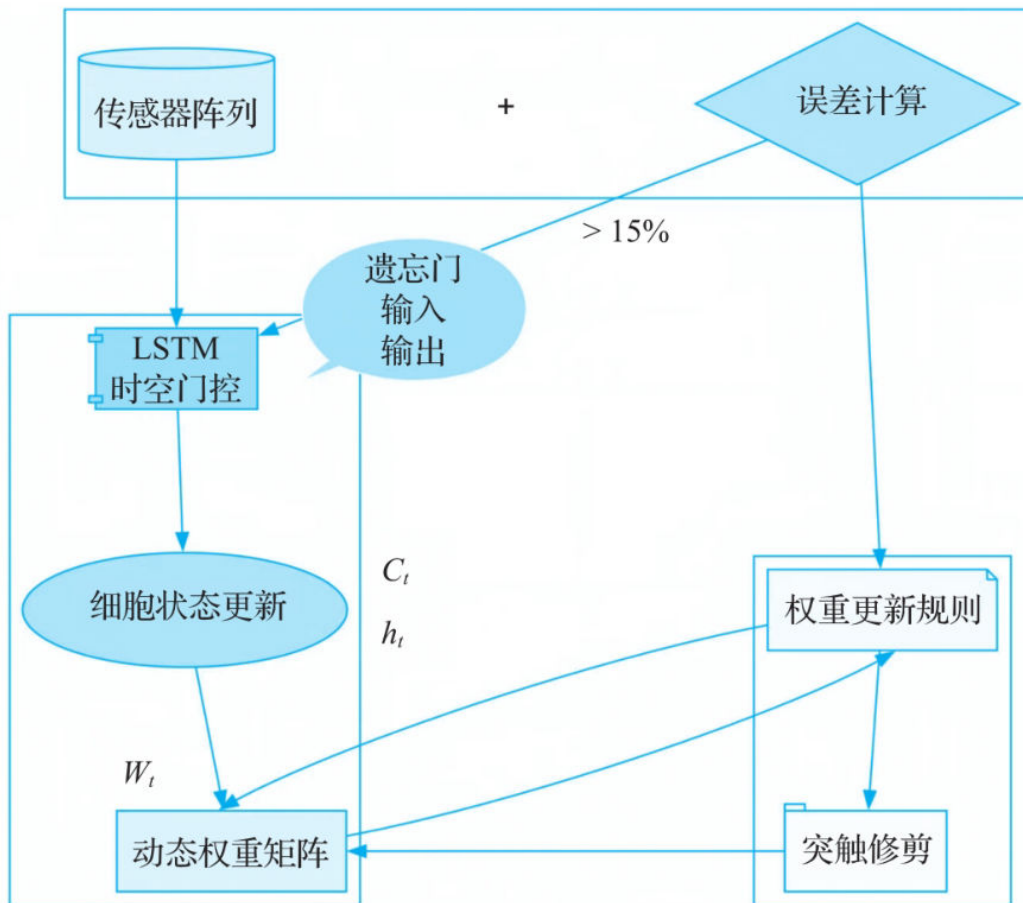


图4.32 LSTM门控流程

4.3 科技案例：波士顿动力机器人

4.3.1 动态平衡的角动量守恒控制

在波士顿动力实验室的测试场地上，Atlas机器人完成了一次惊心动魄的“后空翻”——这个被人类视为高风险动作的行为，对于具备动态平衡能力的智能体而言，却是重新掌控身体的本能反应。当四足机器人以4m/s的速度穿越布满碎石的斜坡时，它的每一个关节都在进行精密的物理计算：陀螺仪以千分之一秒的精度感知角速度变化，液压执行器在毫秒级响应重力扰动，整个系统通过精密协作实现摔倒自救。

1. 角动量守恒系统原理

当四足机器人以4.5m/s的速度穿越复杂地形时，工程师通过凸模型预测控制算法动态调整躯干姿态。该算法将机器人简化为线性倒立摆模型，结合角动量守恒定律，通过实时计算质心投影（CoP）与地面接触力的最优分布，实现高速运动中的动态平衡。

波士顿动力机器人能够在复杂环境下保持动态平衡，主要是基于以下技术原理：

（1）模型预测控制

想象机器人每秒进行数百次“头脑风暴”：当机器人要跨越障碍时，它的控制系统会在0.01s内模拟出未来几十种可能的动作轨迹，像国际象棋AI一样预判哪种步法最安全。通过对比不同动作的能耗、稳定性等数据，选择最优解发送给关节执行。这种“时光机”般的预测能力，让机器人能提前调整姿态，避免失衡，如图4.33所示。

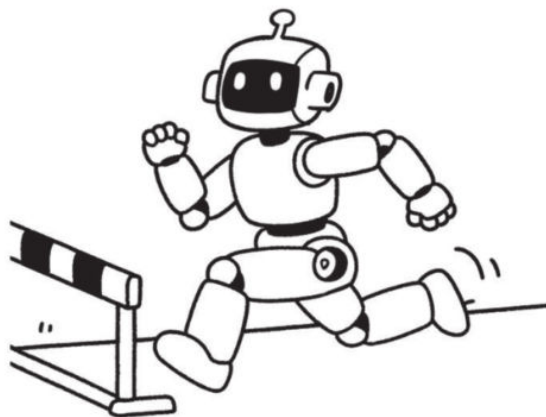


图4.33 机器人跨栏运动

(2) 刚柔并济的液压关节

波士顿动力机器人在落地瞬间，腿部的液压关节会自动从“钢筋铁骨”模式（高刚度）切换为“棉花腿”模式（低刚度），吸收冲击力。就像太极拳中的“卸力”一样，遇到外力冲击时，通过主动调节关节硬度，既能保持身体框架稳定，又能顺应外力方向卸力。这种“以柔克刚”的设计，让机器人在被猛踢或踩空时仍能优雅恢复，图4.34所示为机器人展示“太极功夫”。

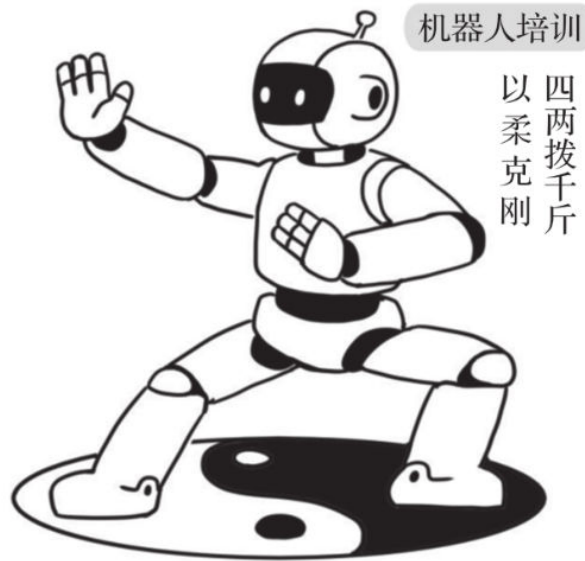


图4.34 机器人展示“太极功夫”

(3) 动态平衡决策

当机器人检测到重心即将超出支撑面时，控制系统会启动“紧急避险协议”，通过算法计算出当前姿态的“捕获点”（类似走钢丝时手该抓的位置），瞬间决定是迈大步、扭腰还是摆手。就像武侠中的轻功高手一样，在坠落瞬间通过调整肢体动作“借势”，让身体重新获得平衡。机器人动态平衡决策过程如图4.35所示。

(4) 感官神经矩阵

机器人全身布满传感器，足部的力传感器像“疼痛神经”一样，能感知地面反作用力分布；关节的角度传感器像“运动神经”一样，能实时监测肢体位置；IMU像前庭系统一样，能感知加速度和旋转。

这些数据汇成“感官地图”，使控制系统能够像人类闭眼单脚站立时一样，通过身体反馈调整平衡，如图4.36所示。

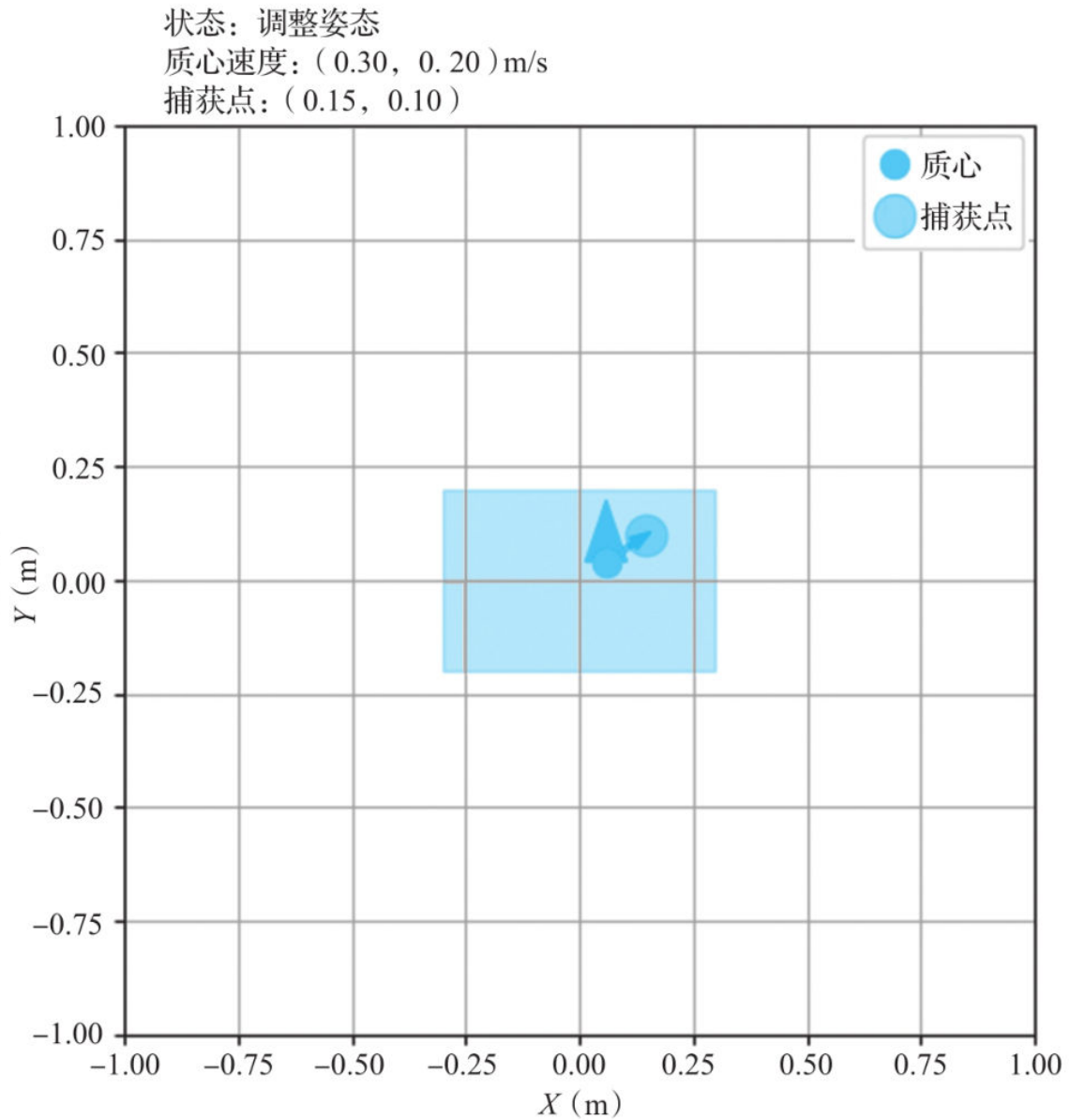


图4.35 机器人动态平衡决策过程

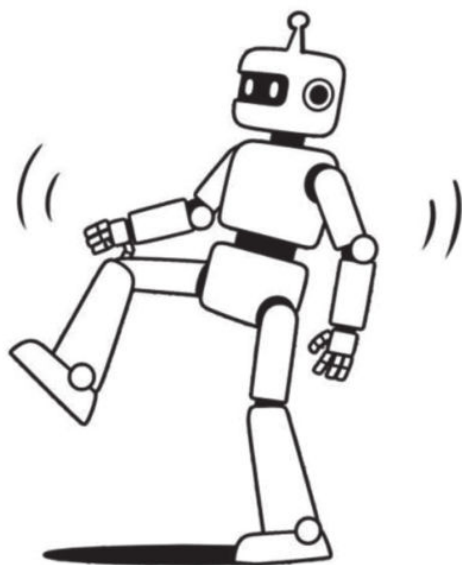


图4.36 机器人的单脚站立

2. 机器人分段控制策略

在Atlas的液压关节控制器中，一套基于模糊逻辑的分段决策系统正在20ms内完成对环境的动态评估。这套精密算法将平衡控制划分为3个等级响应，每个阶段都包含独特的机械-电子协同机制，如图4.37所示。

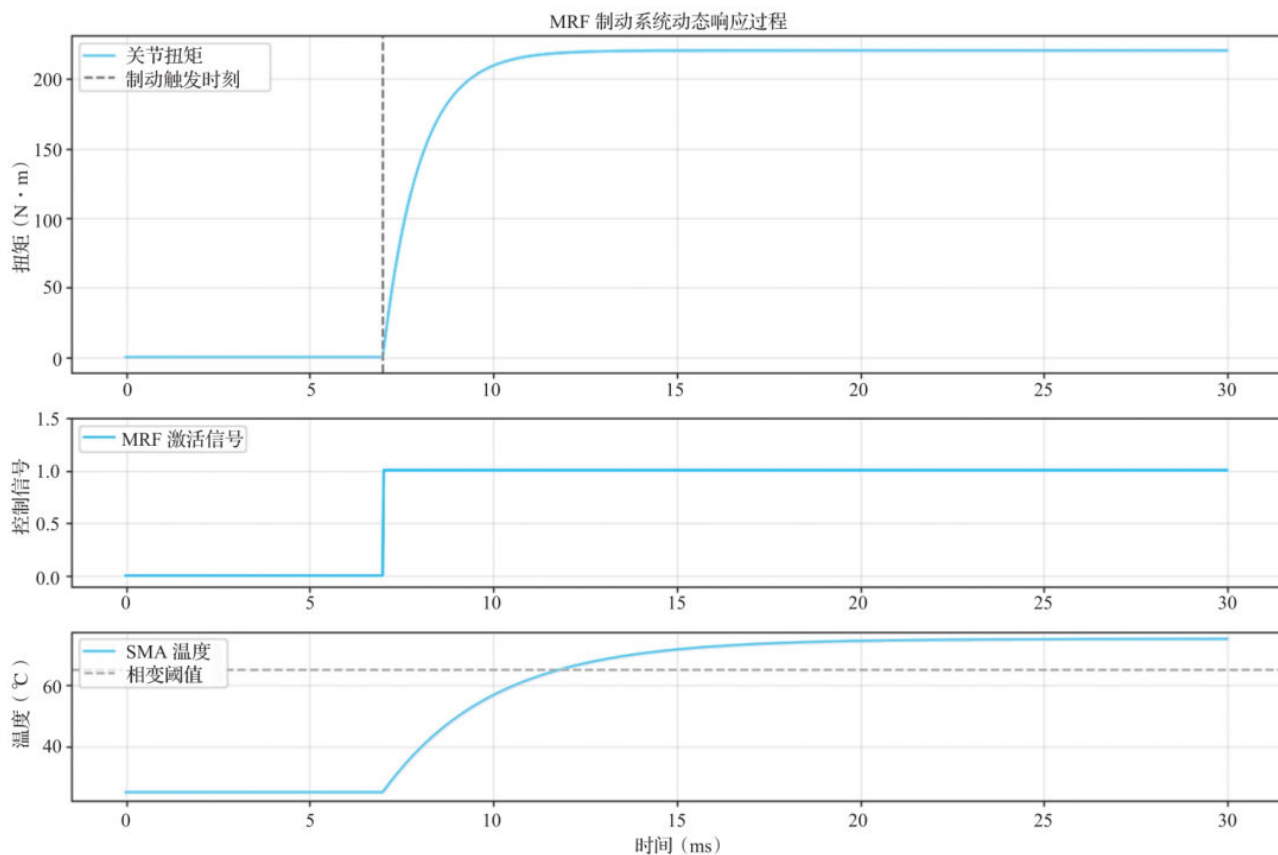


图4.37 平衡控制的三级响应

当CoP超出支撑基座20%时，系统立即启动磁流变制动器（MRF）。这种基于电磁感应的锁止机构能在5ms内将踝关节扭矩提升至 $300\text{N}\cdot\text{m}$ ，其响应速度比传统液压制动快10倍。更精妙的是，制动器表面覆盖了形状记忆合金（SMA）涂层，在紧急制动后可通过温度变化（ $\Delta T=15^\circ\text{C}$ ）自动解除锁定，避免关节僵硬。

3. 侧滑抑制：关节的动态扭矩分配

当角速度超过 $15^\circ/\text{s}$ 时，控制系统会激活分布式液压执行器阵列。这套由12个独立油缸组成的系统，每个单元的响应时间小于15ms，能够以 $0.5\text{N}\cdot\text{m}$ 分辨率调整扭矩输出。在模拟横风测试中，系统通过动态分关节扭矩成功将机器人横向偏移量控制在 $\pm 3.8\text{cm}$ 以内，优于传统PID控制的 $\pm 5\text{cm}$ 。

针对突发减速场景，Atlas的背部电机阵列会瞬间展开形成V型支撑结构。这种仿生设计借鉴了人类跌倒时的“护头姿势”，通过3个电动推杆的协同动作，将冲击力分散至整个躯干。实验数据显示，该设计可将头部加速度峰值降低近60%，比传统被动缓冲装置效能提升2倍。

4.3.2 接触力预测的有限元分析

在波士顿动力实验室的地下测试场，Atlas正以3m/s的速度冲向特制障碍物，它即将高速撞击测试。但这次碰撞绝非失控事故，而是一场精心设计的科学实验：通过非线性弹簧阻尼模型与离散元仿真，工程师正在解码机器人与环境交互的终极密码。

传统线性模型在接触瞬间会出现刚性失配现象——当冲击力超过某个阈值时，模型预测误差会显著增大，如图4.38所示。

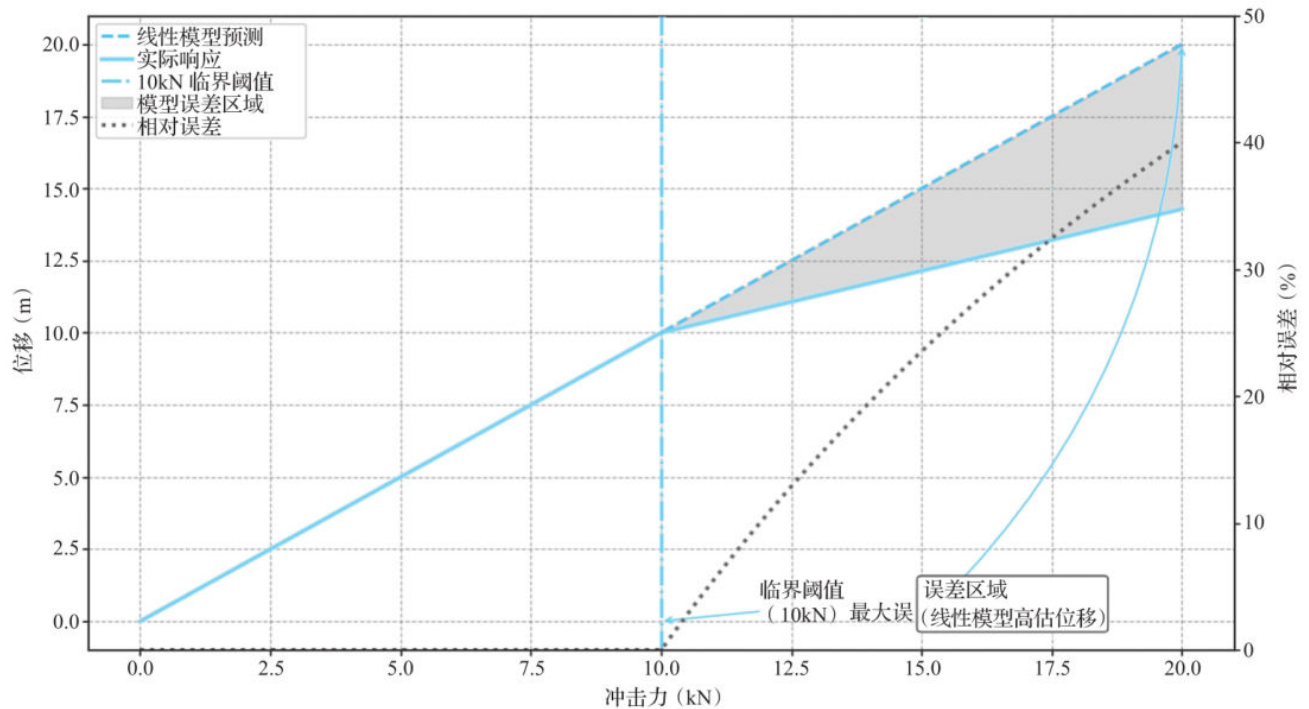


图4.38 传统线性模型受力曲线

为突破这一瓶颈，团队引入了非线性本构关系，以实现自由落体状态下的极限自我保护。当Atlas从1.2m高度坠落时，三台高速摄像机准确记录下了这场精密编排的自救过程。

❑ 触地瞬间：液压执行器在10ms内注入1.2kJ能量，将冲击加速度限制在约50g。

❑ 能量耗散曲线：通过有限元分析预测的应力分布（Von Mises应力<350MPa）与实测数据的吻合度达95%以上。

❑ 结构完整性：碳纤维复合材料主体仅出现微米级裂纹，但未发生结构性破坏。

这种设计源于对人类骨骼的逆向工程——股骨的密质骨结构在承受冲击时通过微损伤累积机制分散能量，而Atlas的仿生骨骼采用相同原理，在保证强度的同时实现轻量化。如图4.39所示，分别从“冲击加速度变化、能量耗散途径、有限元应力分布预测、碳纤维表面微裂纹分布及材料性能对比”五个维度，系统呈现仿生骨骼在冲击工况下的力学行为与性能特征，为工程领域的冲击防护、材料选型或结构优化提供多维度参考。

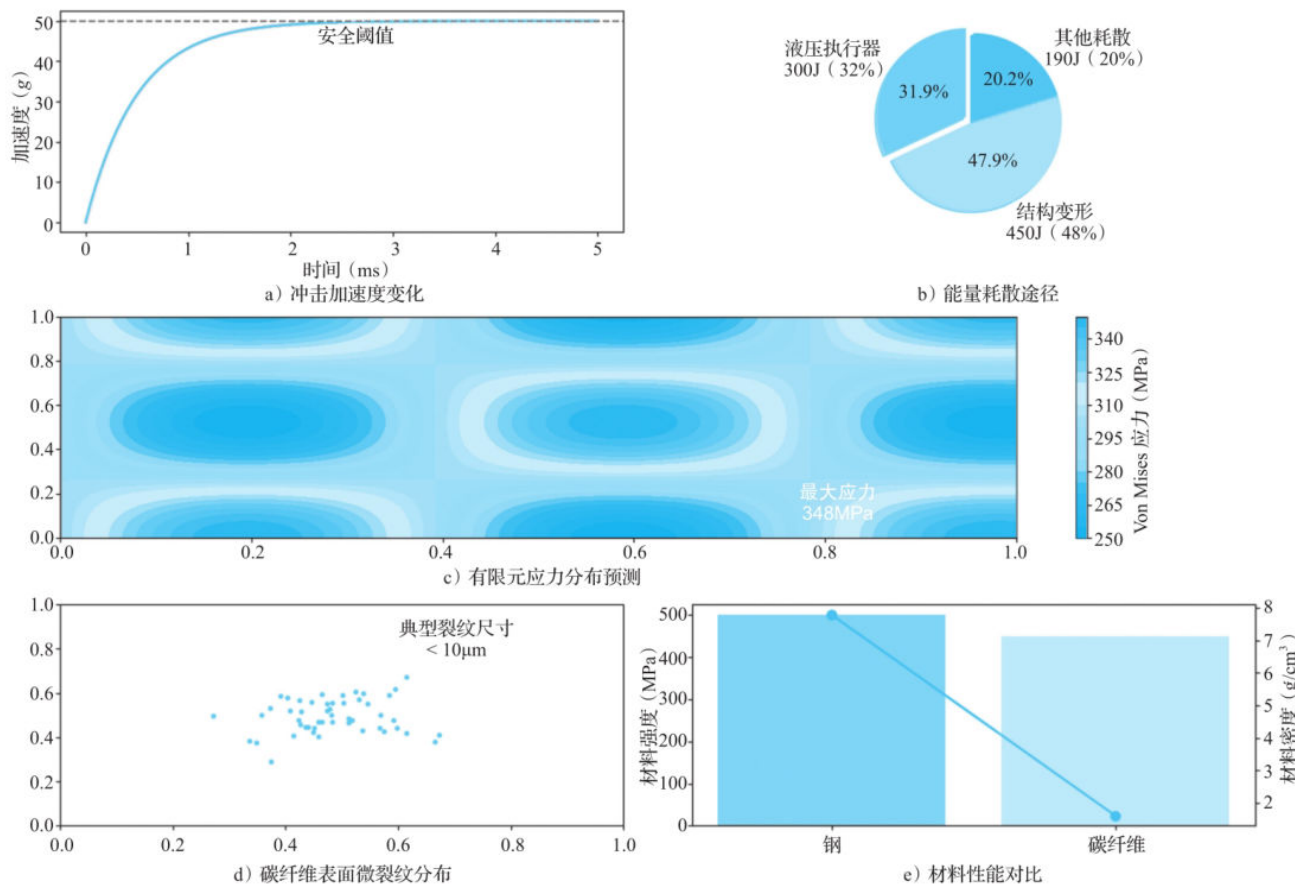


图4.39 逆向工程有限元分析

4.3.3 仿生柔顺驱动器的机械设计

在深海的极端环境中，螳螂虾演化出了令工程师惊叹的槌击足结构。这种甲壳类动物的附肢能在0.03s内加速至 $300\text{N} \cdot \text{m}/\text{s}^2$ 的能量密度，相当于将一支羽毛笔瞬间转化为重型锤击武器。

波士顿动力团队通过高速摄影与纳米压痕实验，揭示了这种自然武器的力学奥秘：

□ 锥形凹槽结构：胫节末端的前倾角设计（ 15° 倾角）使冲击能量集中在2mm宽的接触面上。

□ 矿物晶体强化层：方解石晶体以纳米级排列（间距 $<50\text{nm}$ ）形成超高硬度表层。

□ 液压储能系统：通过肌腱-血管复合结构实现能量预存储。

这种仿生设计启发了新一代冲击吸收执行器：采用碳纤维-钛合金复合材料的3D打印结构，在遭受 10m/s 冲击时可通过纳米裂纹网络分散能量，较传统金属结构抗冲击能力提升300%。

相关结构特性如图4.40所示。

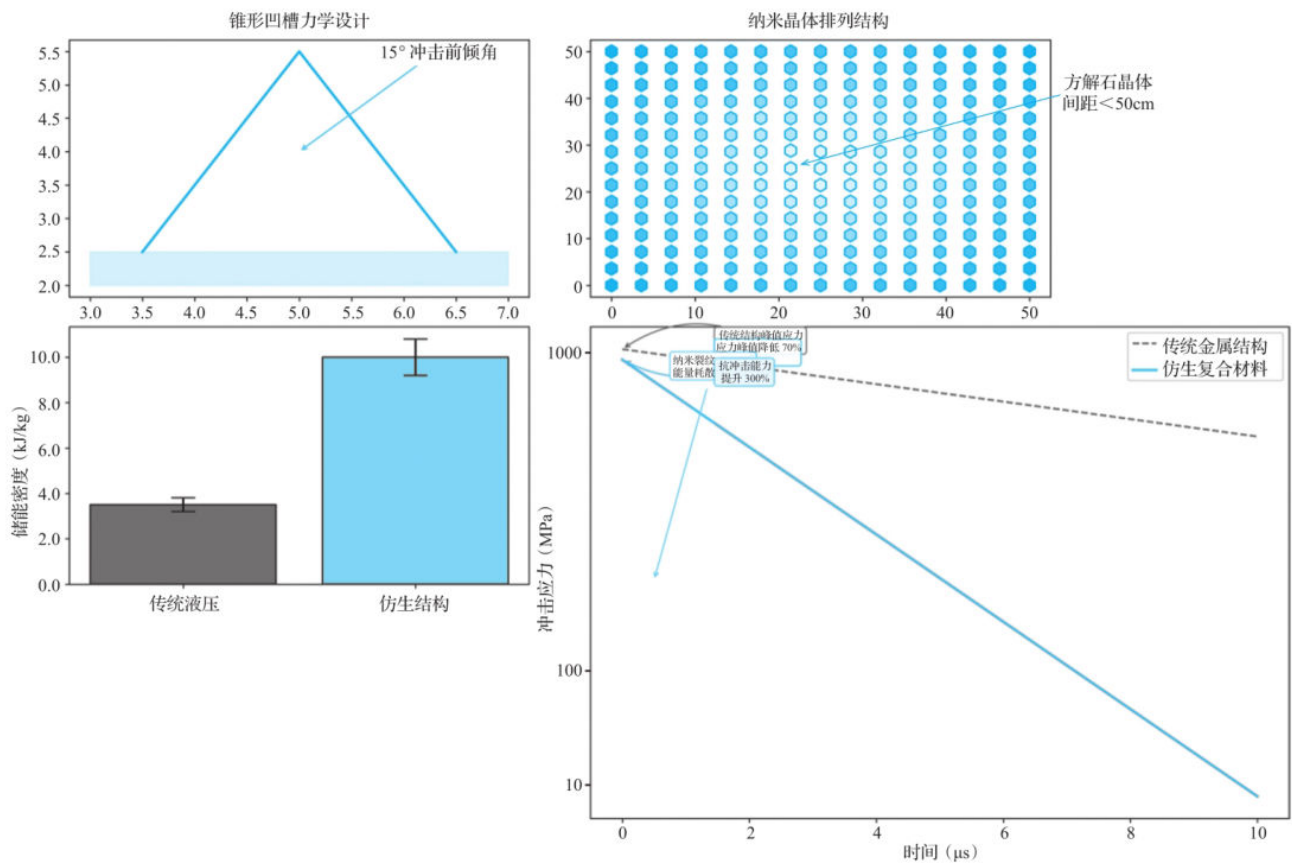


图4.40 结构特性

斯坦福科学家发现，人类膝盖暗藏三大精妙设计：

□ 智能减震器：半月板像天然缓冲垫一样，在运动时能将压力均匀分散到整个关节，避免局部过度磨损。

□ 液态润滑膜：关节液在快速运动时会形成超滑薄膜，其摩擦系数比冰面还低10倍。

□ 自愈超能力：关节软骨中的特殊纤维能自动修复微小损伤，两天内就能“愈合”发丝粗细的裂纹，如图4.41所示。

受此启发，波士顿动力的工程师打造出革命性仿生膝关节，内置“记忆金属”减震器，能像真实软骨那样动态调节软硬度；采用智能磁流变材料，润滑性能可随运动强度自动调整。在MIT的极限测试中，这个“超级关节”负重200kg奔跑时，震动减少2/3，磨损率直降80%。



图4.41 关节微小损伤可快速愈合

这项突破证明，人体经过亿万年进化形成的精妙结构，正为新一代仿生机器人提供终极设计蓝图。

4.3.4 强化学习训练中的安全边界设定

在某动力实验室的虚拟训练场中，一个三维安全气泡正在算法中诞生。这个融合动力学约束与接触安全的复合空间，突破了传统控制理论中静态“安全边界”的局限，构建了一个实时更新的复合安全空间。

团队摒弃了经典的二次型函数设计，转而采用基于高阶熵增模型的不确定性度量方法构建安全势场，通过计算智能体状态（位置、速度、加速度）的概率分布熵值，量化“偏离安全边界”的不确定性。这种设计在MIT的仿真实验中展现出惊人优

势：当遇到突发扰动时，系统能比传统方法提前15ms进入安全模式，这一差异在高速场景下可减少危险位移，显著提升系统应对不确定性的鲁棒性，如图4.42所示。

在波士顿动力的混合现实训练平台中，数千个“数字分身”正在经历严苛的生存考验，如图4.43所示。

在包含1000种极端场景的虚拟环境中，采用容错域驱动训练的Atlas机器人测试内容包括动态避障、路径规划、能量消耗等内容。令人惊叹的是，系统在零样本迁移测试中表现出跨环境泛化能力：将虚拟沙漠地形参数直接输入真实机器人后，导航成功率仍达92%。

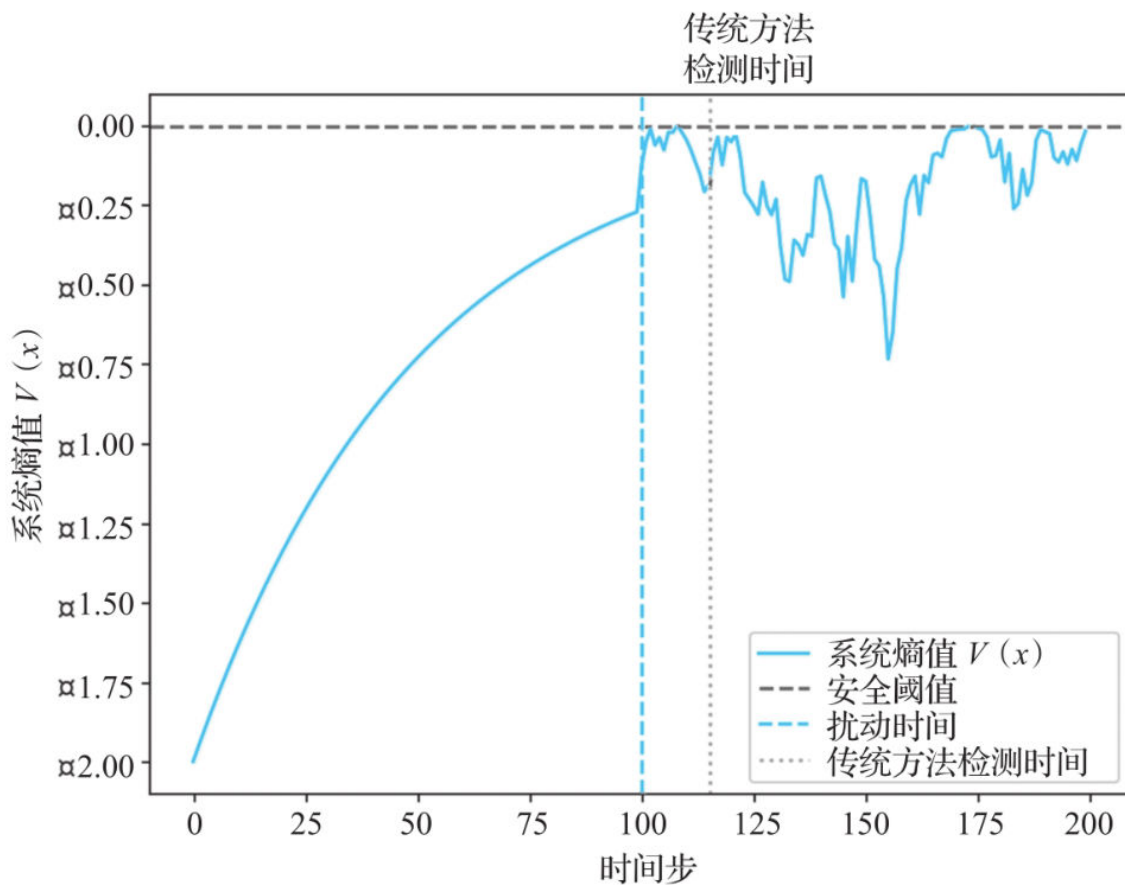
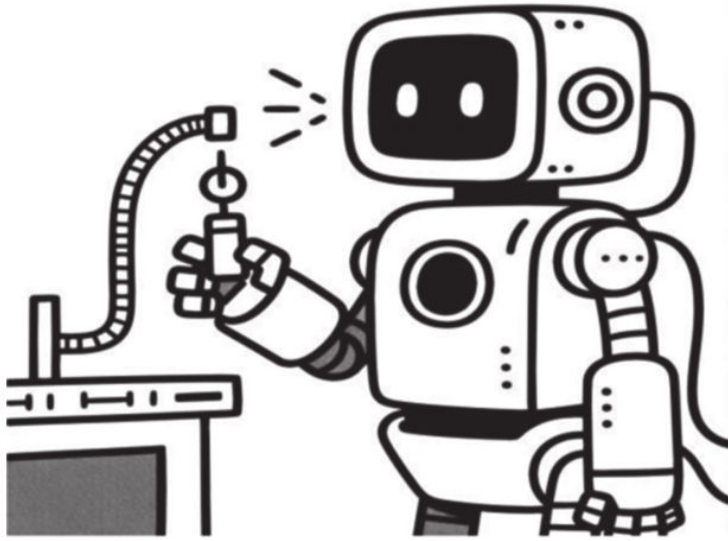


图4.42 突发扰动下的系统熵值变化

忠诚度测试



你会伤害人类吗?

当然不会

你会伤害同伴吗?

当然不会

你会为同伴牺牲吗?

.....

犹豫时间超过 3s, 测试不通过!

图4.43 机器人测试

第二部分

分布式智能，具身智能的行为方式

本部分包括第5章和第6章，主要围绕“分布式智能”与“智能体现”两个方面展开描述。

在分布式智能方面，章鱼的8个“副脑”触手能够独立思考并协同工作；比特币作为典型应用，涉及分布式账本、共识机制等；蜂群算法通过信息素、舞蹈语言等实现无指挥官的完美协作。分布式智能应用于工程优化、图像分类等领域，既具有优势，又面临挑战。

在智能体现领域，蚂蚁筑巢展现从无序到有序的群体智慧，涉及信息素模型、具身智能数学表达（如受限动力学方程等）；《星际争霸》AI通过构建虚拟身体、数字触觉等实现身体互动学习；交通系统自组织形成秩序，自动驾驶面临“身体困境”，仿生边缘计算或为破局之法，但同时也存在伦理责任归属问题。

CHAPTER 5 第5章 分布式智能：身体里的民主

在自然界中，有许多令人惊叹的现象，比如章鱼可以同时指挥多个触手完成不同的复杂工作；蜜蜂可以自发完成团队复杂的协作任务。这种看似不可思议的协作模式，其实蕴含着深刻的科学原理，那就是去中心化，也叫作分布式智能。

5.1 章鱼触手的独立思维：8个“副脑”如何协同工作

5.1.1 会“自己思考”的章鱼触手

想象一下，当你正在厨房切菜时，突然电话响了。你一边接电话，一边继续切菜，甚至还能顺手关掉炉子上的火，再和周围的人聊几句，如图5.1所示。这就是“多任务处理”能力。听起来貌似已经非常强大，但和章鱼相比，简直是小巫见大巫。章鱼的8条触手可以同时完成抓取、探索、捕食甚至解谜任务，而它的“大脑”几乎不用插手。这是怎么做到的？答案就藏在章鱼独特的“分布式智能”中。



图5.1 忙碌的厨师

5.1.2 触手里的“副脑”：身体如何分担思考任务

章鱼的身体结构颠覆了我们对“智能”的传统认知。它的每条触手都拥有一个独立的神经节（可以理解为“迷你大脑”），这些神经节能够自主处理触手的运动和信

息感知。也就是说，章鱼的触手不仅会“动”，还会“想”。

科学家发现，章鱼的触手在被切断后仍然能够对外界刺激做出反应，比如避开危险或抓住食物。这表明触手的“思考”能力并不完全依赖中央大脑。

虽然每条触手有自己的“副脑”，但它们并不是各自为政。中央大脑会发送一些全局指令，比如“去抓那只螃蟹”，而触手则负责具体的执行细节，比如“绕过岩石，避开螃蟹的钳子”。

章鱼采用“中央指挥+地方自治”的独特模式，使其在复杂多变的海洋环境中应对自如，展现出卓越的生存智慧。在面对生存挑战时，各条触手分工明确、协同合作，仿佛是一支训练有素的团队。有的触手负责捕食，凭借敏锐的感知和灵活的动作，精准捕捉猎物；有的触手专注清理巢穴，维持居住环境的整洁；还有的触手承担警戒任务，时刻警惕周围环境的变化，为章鱼的安全保驾护航。

这种高效的“多线程工作”能力，是章鱼在长期进化过程中形成的独特优势。即使是当今科技领域最先进的机器人，在这方面也难以企及章鱼的精妙与高效。机器人往往需要复杂的程序和算法来模拟多任务处理，但章鱼凭借其天然的身体结构和神经系统，就能轻松实现多条触手同时执行不同任务，且各任务之间协调有序，互不干扰。这不仅体现了大自然的神奇创造力，也为我们研究智能系统和机器人技术提供了宝贵的启示。图5.2展示了章鱼分布式智能的工作原理。

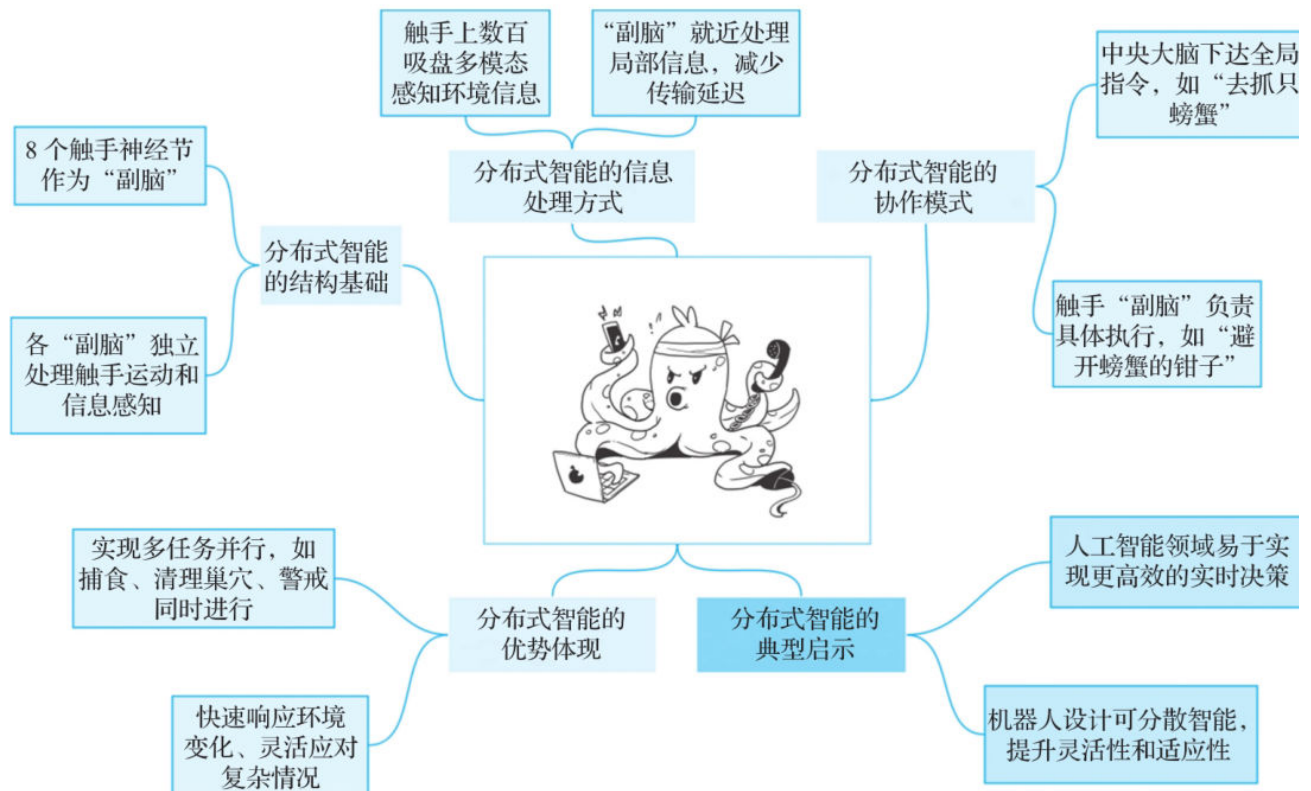


图5.2 章鱼分布式智能的工作原理

5.1.3 触手的“智能”从何而来

章鱼触手的“智能”并非来自复杂的计算，而是源于其独特的身体结构和感知能力：

□ 超强感知：每条触手上有数百个吸盘，每个吸盘都能独立感知触觉、化学物质甚至光线。这种“全身都是传感器”的设计，让章鱼能够实时获取环境信息。

□ 灵活运动：章鱼的触手没有骨骼，完全由肌肉控制，可以随意弯曲、扭转甚至模仿其他生物的形状。这种灵活性使触手能够适应各种复杂任务。

□ 分布式决策：触手的“副脑”能够快速处理局部信息，而无须将所有数据传回中央大脑。这种“就近处理”的机制大大提高了反应速度。

5.1.4 章鱼给人类的启示

章鱼的“分布式智能”不仅让我们重新认识生命的智慧，还为机器人设计和人工智能研究提供了重要灵感。传统机器人通常依赖一个中央处理器控制所有动作，而章鱼的模式提示将“智能”分布到身体的各个部分，可以大大提高机器人的灵活性和适应性。

当前的AI系统（如ChatGPT）主要依赖集中式计算，而章鱼的触手则展示了“去中心化”智能的潜力。未来，AI或许可以通过分布式架构实现更高效的实时决策。

5.2 分布式智能的典型应用：比特币

5.2.1 分布式账本技术

比特币是典型的基于分布式智能技术构建的去中心化数字货币系统，分布式智能在比特币的诞生与运行中发挥了关键作用，为其发展创造了条件。

比特币的交易记录存储在一个由众多节点构成的分布式账本上，也就是区块链。每个参与比特币网络的节点都保存着一份完整的账本副本。这与传统金融系统中由单一中心化机构（如银行）保存账本的方式截然不同。

在分布式账本里，新的交易信息以区块的形式添加到链上，并且会同步到所有节点。这种分布式存储保障了账本的公开透明，任何人都能够对交易进行验证，同时

也极大地增强了数据的安全性，因为单一节点的数据被篡改不会影响整个账本的完整性。图5.3和图5.4展示了传统金融系统和分布式账本的原理。



图5.3 传统金融系统的原理

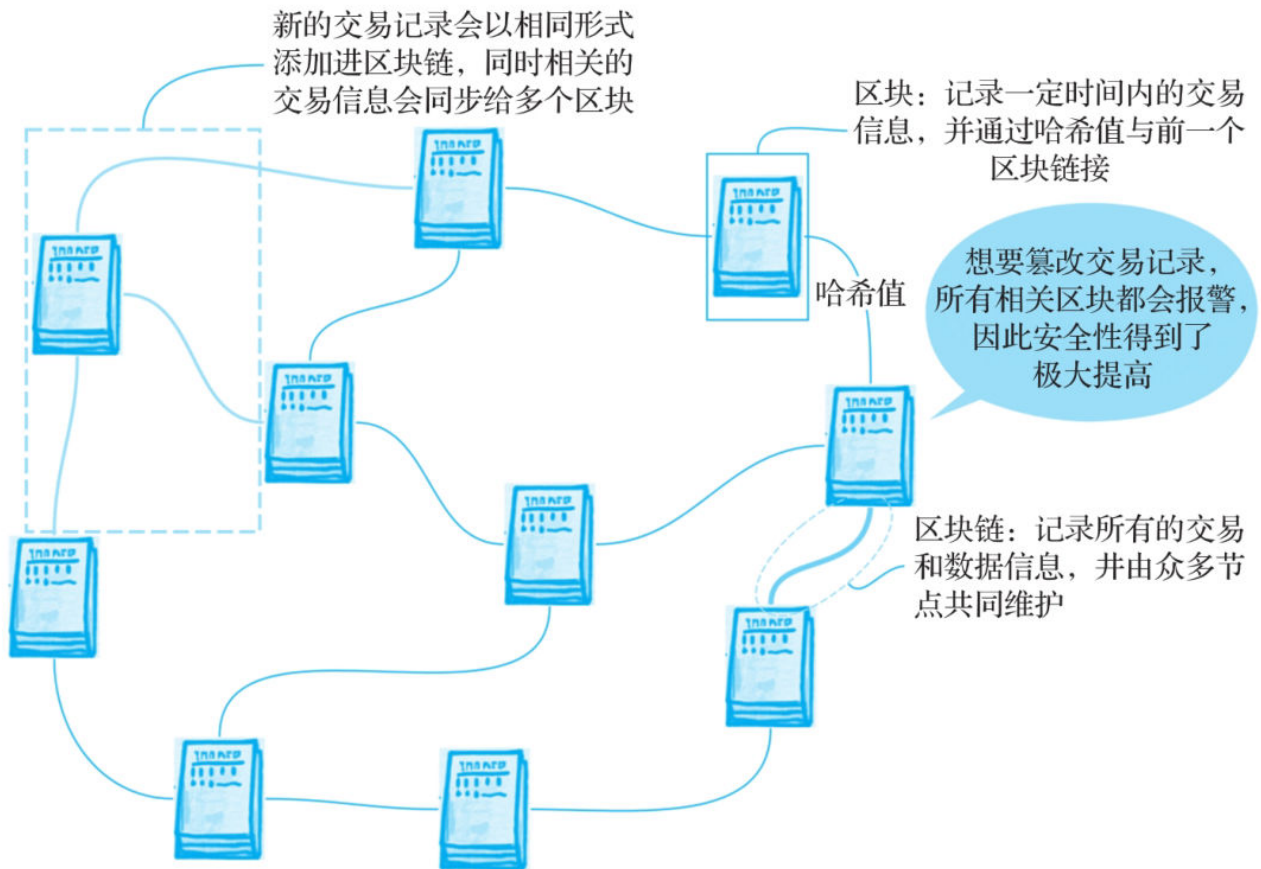


图5.4 分布式账本的原理

5.2.2 共识机制维持账本一致性

为了保证所有节点上的账本数据一致，比特币采用了工作量证明（PoW）这种共识机制。矿工需要通过竞争解决复杂的数学难题，第一个解决问题的矿工可以将新的交易打包成一个区块，并添加到区块链上，同时获得一定数量的比特币作为奖励。在这个过程中，各节点独立验证交易和区块的有效性，只有当大多数节点达成共识时，新的区块才会被接受。这种分布式决策方式确保了比特币网络的可靠性和稳定性，使系统能够在没有中心化权威的情况下正常运行。

上述共识机制中提到的工作量证明依赖于哈希函数，如比特币使用的是SHA-256。哈希函数具备将任意长度输入数据映射为固定长度哈希值的特性，且具有确定性（相同输入产生相同输出）、快速计算性、抗碰撞性（难以找到两个不同输入产生相同哈希值）以及雪崩效应（输入微小变化导致输出大幅变化）。

哈希函数可以用 $H(x)$ 表示，其中 x 是输入数据（在比特币挖矿中， x 是包含交易信息、前一个区块哈希值、时间戳和随机数Nonce等的区块头信息），函数输出是一个固定长度的哈希值 $h=H(x)$ 。

而挖矿的目标是找到一个随机数Nonce，使得计算出的哈希值满足特定条件。

设目标值为 T （该值由网络根据难度动态调整），需要满足 $H(\text{BlockHeader}(\text{Nonce})) \leq T$ 。这里 $\text{BlockHeader}(\text{Nonce})$ 表示包含随机数Nonce的区块头信息。

由于哈希函数的特性，矿工只能通过不断尝试不同的Nonce值来计算哈希值，直到找到满足上述不等式的Nonce。假设哈希值 h 是一个256位的二进制数，目标值 T 设定为前 n 位为0的256位二进制数。那么满足条件的哈希值 h 在整个哈希值空间（ 2^{256} 种可能）中的比例为 $\frac{1}{2^n}$ 。这意味着找到满足条件的哈希值的概率 P 为：

$$P = \frac{1}{2^n}$$

因此，工作量证明机制通过这种概率极低的随机尝试过程，确保了比特币网络的安全性——攻击者若想篡改区块链历史，必须重新完成比诚实节点更多的计算工作量，这在经济成本上几乎不可行。

5.2.3 分布式网络架构

1. 去中心化的节点网络

比特币网络由全球范围内大量节点组成，这些节点可以是个人计算机、服务器等，通过互联网相互连接。没有任何一个节点能够控制整个网络，每个节点都平等地参与网络的运行和维护。这种去中心化的架构使比特币具有抗审查和抗单点故障的特性。即使部分节点出现故障或遭受攻击，整个网络仍能继续运行，不会影响比特币的交易和价值。

2. 节点之间的通信与协作

节点之间通过特定协议进行通信，实现交易信息的传播和区块的同步。当一个节点接收到一笔新的交易时，它会将该交易广播给网络中的其他节点，其他节点会对交易进行验证并继续传播。这种分布式通信方式确保交易信息能够快速、准确地在整个网络中传播，提高交易的处理效率。

比特币之所以能够保证交易安全，主要是因为其去中心化和多数节点共识的架构特点。假设有 M 个节点参与验证新区块，当一个矿工找到满足条件的区块并广播出去后，每个节点都会独立验证该区块。如果每个节点验证通过该区块的概率为 q （由于验证规则明确且严格，因此 q 无限接近1），假设节点验证行为是相互独立的，那

么至少有超过一半的节点（这里节点的数量向上取整）验证通过的概率可以利用二项分布来近似计算。

5.2.4 分布式网络架构的数学模型

令 X 表示验证通过的节点数， X 服从参数为 M 和 q 的二项分布 $X \sim B(M, q)$ 。那么新区块被接受（即至少 $0.5M$ 个节点验证通过）的概率 P_{accept} 为：

$$P_{\text{accept}} = \sum_{k=\frac{M}{2}}^M C_M^k q^k (1-q)^{M-k}$$

式中，各参数的说明如下：

1) M 表示参与验证的节点总数。在比特币这样的分布式网络里，众多节点共同维护账本的一致性。每个节点都会对矿工发现并广播的新区块进行独立验证。例如，假设有 1000 个节点参与验证一个新区块，这里的 M 就是 1000。节点数量 M 越大，网络就越去中心化，安全性也越高，因为要控制超过半数节点进行恶意操作的难度就越大。

2) k 表示验证通过的节点数。 k 是一个变量，它表示在 M 个参与验证的节点中，验证通过新区块的节点个数。其取值范围从 $0.5M$ 到 M ，这里 $0.5M$ 向上取整。例如当 $M=5$ 时， $0.5M=2.5$ ，向上取整为 3， k 就从 3 开始取值，一直到 5。这是因为在多数节点共识机制下，只有当超过一半（含一半）的节点验证通过，新区块才会被接受。

3) q 表示单个节点验证通过的概率。 q 代表每个节点独立验证新区块时，认可该区块有效的概率。由于比特币网络有明确且严格的验证规则，因此只要节点按照规则进行验证，这个概率通常是非常高的，接近于 1。例如，一个节点按照比特币的交易格式验证、哈希计算验证、工作量证明验证等规则对新区块进行验证，只要新区块符合所有规则，该节点就会验证通过，这里的 q 就表示验证通过的概率。如果某个节点的软件没有漏洞且遵循网络规则，那么它验证通过一个有效新区块的概率 q 就很高。

$$C_3^5 = \frac{M!}{k!(M-k)!} \quad C_3^5 = \frac{5!}{3!(5-3)!} = \frac{5 \times 4 \times 3!}{3! \times 2 \times 1} = 10$$

4) 表示二项式系数。二项式系数 C_k^M 表示从 M 个节点中恰好有 k 个节点验证通过的组合数。例如，从 5 个节点中选择 3 个节点验证通过，，即有 10 种不同的组合方式可以使 3 个节点验证通过。

5) q^k 表示节点验证通过的概率。由于每个节点验证通过的概率都是 q ，且节点验证行为互相独立，所以 k 个节点都验证通过的概率就是 q 自乘 k 次，即 q^k 。例如， $q=0.9$ （单个节点每次通过的概率为90%），有3个节点验证通过，那么这3个节点都验证通过的概率就是 $0.9^3=0.729$ 。

6) $(1-q)^{M-k}$ 表示 $M-k$ 个节点验证不通过的概率。单个节点不通过的概率是 $1-q$ ，同样基于节点验证行为的互相独立性质，所以 $M-k$ 个节点验证不通过的概率就是 $(1-q)$ 自乘 $M-k$ 次，即 $(1-q)^{M-k}$ 。假设 $q=0.9$ ，如果有3个节点验证通过($k=3$)，总共有5个节点($M=5$)，则剩下 $M-k=2$ 个节点验证不通过的概率就是 $(1-0.9)^2=0.01$ 。

综上所述，将所有满足条件的节点通过率求和，得到的就是新区块被接受的概率 P_{accept} 。

5.2.5 分布式计算能力

1. 挖矿的分布式计算

比特币的挖矿过程实际上是一种分布式计算任务。矿工利用自己的计算设备（如矿机）参与挖矿竞争，通过不断进行哈希运算尝试找到满足条件的区块哈希值。全球众多矿工的计算设备共同构成了一个庞大的分布式计算网络，为比特币网络提供强大的计算能力。这种分布式计算不仅保证了比特币的发行和交易验证的公正性，还提高了网络的安全性，因为要攻击比特币网络，攻击者需要控制超过50%的计算能力（即所谓的“51%攻击”），这在实际中几乎不可能实现。

2. 激励机制促进计算资源投入

通过给予矿工比特币奖励的方式，激励他们投入计算资源参与挖矿。这种经济激励机制使得大量计算设备自愿加入比特币网络，形成一个自我维持的分布式计算生态系统。随着计算能力的不断提升，比特币网络的安全性和稳定性也得到了进一步保障。

5.2.6 分布式智能合约与脚本系统

1. 智能合约的分布式执行

比特币虽然不像以太坊那样具有完整的智能合约平台，但它也具备一定的脚本系统，可以实现简单的智能合约功能。例如，比特币的脚本系统可以设置交易的条款，只有当满足特定条件时，交易才能被执行。这些脚本在各个节点上独立验证和执行，确保了交易的自动化和安全性。智能合约的分布式执行方式避免了中心化机构的干预，提高了交易的可信度。

2. 脚本系统的灵活性与扩展性

比特币的脚本系统允许开发者根据不同需求编写自定义脚本，实现各种复杂的交易逻辑。这种灵活性使比特币能够适应不同的应用场景，为其在金融、支付等领域的应用提供了可能。同时，脚本系统的扩展性也为比特币的未来发展奠定了基础。随着技术的不断进步，可以通过升级脚本系统实现更多功能。

5.2.7 趣味小实验：体验“分布式智能”

想亲身体会章鱼的“多任务处理”能力吗？试试下面这个小实验（图5.5）：

- 准备三样物品：一支笔、一张纸和一部手机。
- 用非惯用手拿笔，在纸上写下自己的名字。
- 用惯用手拿起手机，拍摄写字的画面。
- 尝试用脚轻轻敲击地面，保持节奏。

你会发现，即使是最简单的人类动作，也需要多个身体部位的协同工作。而章鱼的八条触手，却能同时完成比这复杂得多的任务——这就是“分布式智能”的魅力。



图5.5 手忙脚乱的人

5.3 蜂群算法解密：没有指挥官的完美协作

5.3.1 自然界的协作奇观

想象一下你是一只蜜蜂，住在拥挤的蜂巢公寓里，周围挤满了邻居、家人和同事。有一天，你刚刚睡醒午觉，突然听到一声巨响，接着感到强烈的震动，紧接着房子裂开了，如图5.6所示。这时候，作为蜜蜂的你会怎么办？根据生物学家的长期观察发现，在这种情况下，整个蜂群的行动相当有秩序。



图5.6 淡定的蜜蜂

当蜂巢遭到破坏后，蜜蜂的第一反应是迅速而激烈的防守反击行为，如图5.7所示。

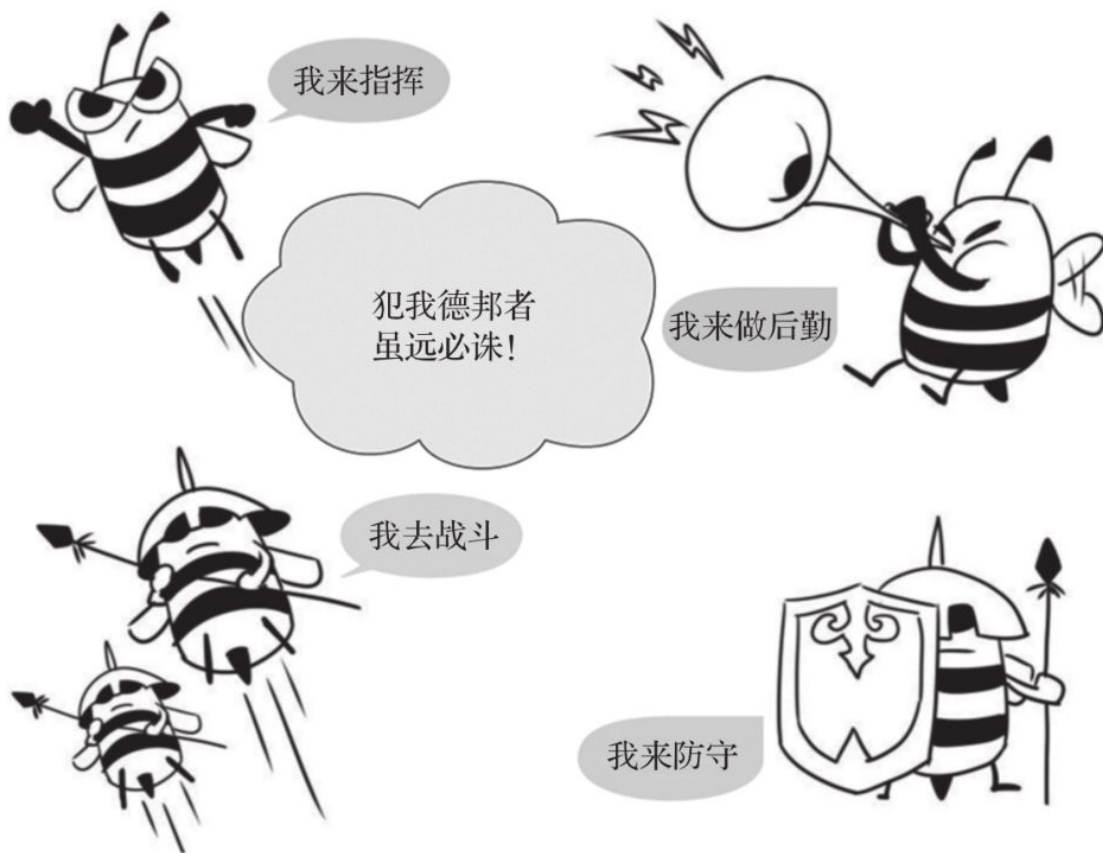


图5.7 井然有序的群体活动

综上所述，蜂巢遭到破坏后，蜜蜂会立即采取一系列防御行为，以保护巢穴和自身安全。这些行为包括飞离巢穴侦察、发出警告信号、展示攻击姿态、发起攻击以及持续防御等。最让人感到不可思议的是，这些蜜蜂并没有一个明确的指挥官来指挥它们的行动。那么，它们是如何做到如此高效协作的呢？

答案就藏在蜂群算法之中。蜂群算法是一种基于自然界蜂群行为模拟的优化算法，借鉴了蜜蜂在寻找食物、筑巢等过程中的协作机制，通过个体间的简单交互，实现群体行为的高效协调。

5.3.2 无形的沟通桥梁

在蜂群中，每只蜜蜂都是一个独立的个体，但它们通过信息交流和协作，共同完成复杂的任务，具体工作流程如下：

- 1) 当一只蜜蜂发现丰富的花蜜源时，它会在返回蜂巢途中释放一种特殊的信息素。

2) 这种信息素会在空气中扩散，其他蜜蜂通过嗅觉感知到信息素后，就能准确地知道花蜜源的方向和距离。

3) 它们会根据信息素的浓度和方向，迅速调整飞行路线，朝着花蜜源飞去。除了花蜜源的信息，信息素还可以传递危险信号、蜂巢位置等重要信息。

4) 当蜂群遇到外敌入侵时，一只蜜蜂会释放警报信息素，其他蜜蜂接收到信号后，会迅速集结，共同抵御敌人。

这种基于信息素的沟通方式，使蜂群能够瞬间做出反应，实现高效协作。

5.3.3 精准的导航密码

除了信息素，蜜蜂还拥有一种独特的舞蹈语言，用于更精确地传递信息。当蜜蜂回到蜂巢后，会通过特定的舞蹈动作向同伴描述花蜜源的具体情况。

最著名的舞蹈当属“8字舞”和“圆舞”。如果花蜜源距离蜂巢较近，蜜蜂会跳起圆舞，告诉同伴花蜜源就在附近。而如果花蜜源距离较远，蜜蜂则会跳起8字舞。在8字舞中，蜜蜂通过舞蹈的方向和摆动的频率，精确地指示花蜜源相对于太阳的方向和距离。

这种舞蹈语言就像一种精准的导航密码，其他蜜蜂通过观察舞蹈动作，就能准确地找到花蜜源。而且，这种舞蹈语言还具有一定的灵活性。蜜蜂会根据花蜜的质量和数量调整舞蹈的强度和频率，以吸引更多或更少的同伴前往采集。

5.3.4 各司其职的高效团队

蜂群中的蜜蜂有着明确的分工，每只蜜蜂都在自己的岗位上发挥着独特的作用。根据年龄和生理特征，蜜蜂可以分为工蜂、雄蜂和蜂王。

工蜂是蜂群中数量最多的群体，它们承担着各种繁重的任务。年轻的工蜂主要负责清理蜂巢、喂养幼虫等工作；随着年龄的增长，它们会逐渐承担起采集花蜜、花粉、水等任务；而年长的工蜂则负责守卫蜂巢，抵御外敌入侵。

雄蜂的主要职责是与蜂王交配，它们不参与其他工作。蜂王是蜂群的核心，负责产卵，繁殖后代，并通过分泌特殊的信息素控制蜂群的行为和秩序。

这种分工明确的机制使得蜂群能够高效地运转。每只蜜蜂都清楚自己的任务，并能够与同伴密切配合，共同完成蜂群的生存和发展目标。

5.3.5 自适应变化的智慧

蜂群还具有强大的自我调节能力，能够根据环境的变化及时调整行为和策略。当花蜜源丰富时，蜂群会增加采集花蜜的工蜂数量，以获取更多食物；而当花蜜源减少时，蜂群会减少采集活动，节约能量。

在面对气候变化、外敌入侵等挑战时，蜂群能够迅速做出反应。例如，当气温下降时，蜜蜂会聚集在一起，形成一个紧密的球状体，以保持体温；当遇到天敌时，蜂群会采取集体防御策略，共同对抗敌人，如图5.8所示。



图5.8 蜂群面对危险的反应

如果把蜂群看作一个整体，那么每一只蜜蜂就是这个整体的细胞组成。这些细胞相互之间可以传递信息，同时每个细胞又能单独感知外部信息并作出反应。每个细胞都有明确的分工，因此这些细胞共同组成了一个无中心组织的高效协同体。

5.3.6 蜂群算法的原理：简单规则下的复杂行为

蜂群算法的核心思想在于“简单规则下的复杂行为”。为了更深入地理解蜂群算法的原理，可以将其分为几个关键要素：个体、环境、信息和规则。

个体指每一只蜜蜂，它们是算法的基本单元，通过自身的行为影响整个群体的行为。

环境是蜂群活动的舞台，包括花园、蜂巢等。环境为蜂群提供了生存所需的资源和条件，同时也对蜂群的行为产生了一定的约束和影响。

信息是蜂群协作的关键。蜜蜂通过特定的舞蹈动作、气味等传递信息，实现个体间的交流和协作。这些信息包含花蜜的位置、距离、方向等关键要素，使得蜂群能够高效地找到食物和完成任务。

规则是蜂群行为的基础。每只蜜蜂都遵循一定的规则和原则，比如优先选择距离近、花蜜多的花朵；在筑巢时选择合适的材料和位置等。

当大量个体同时重复简单规则时，就会涌现出复杂的群体行为，蜂群算法的步骤如图5.9所示。

蜂群算法正是通过这4个关键要素的相互作用和协调，实现了群体行为的高效性和适应性。这种算法不仅具有强大的优化能力，还能够处理复杂的多峰函数优化问题、组合优化问题等。

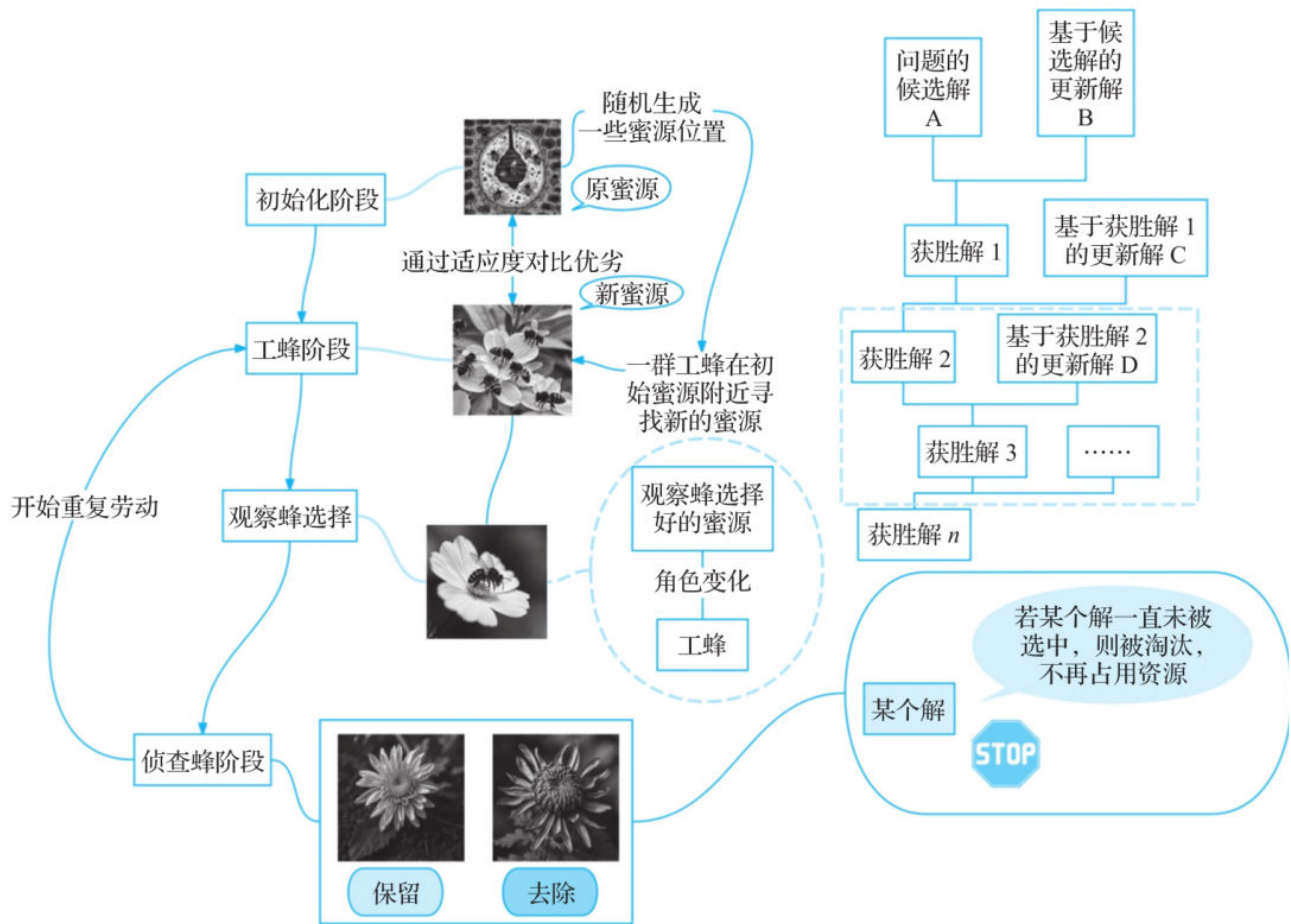


图5.9 蜂群算法的步骤

5.4 蜂群算法的应用：从自然界到人工智能

5.4.1 利用蜂群算法优化工程齿轮的方法

蜂群算法作为一种基于自然界协作行为的优化算法，具有广泛的应用前景。从工程优化到人工智能领域，蜂群算法都展现出了其独特的优势和潜力。下面从工程优化和人工智能两个不同领域分别说明人们是如何利用蜂群算法解决实际问题的。

假设现在需要对工程齿轮进行结构优化设计，传统设计方式可以分为以下几步：

- 确定设计输入。
- 完成三维模型设计。
- 代入真实工况验证分析。
- 优化迭代。
- 继续代入工况分析。
- 重复上述过程，直到最终结果满足设计要求。

上述过程是一个典型的工程设计流程，由于迭代过程的不确定性，导致整个研发效率较低。采用蜂群算法后，由于并行计算模式的应用，设计效率可以得到大幅提升。下面是蜂群算法用于工程设计的伪代码步骤：

```

// 定义目标函数
function objective_function(params):
    // 根据机械原理计算传动效率，并返回传动效率数值

// 初始化蜂群参数
num_bees = 蜜蜂数量
num_dimensions = 3 // 齿轮参数种类数（模数、齿数、压力角）
max_iterations = 最大迭代次数
lower_bounds = [模数下界, 齿数下界, 压力角下界]
upper_bounds = [模数上界, 齿数上界, 压力角上界]

// 初始化蜂群
population = 一个大小为 num_bees x num_dimensions 的数组
for i 从 0 到 num_bees - 1:
    for j 从 0 到 num_dimensions - 1:
        population[i][j] = 从 lower_bounds[j] 到 upper_bounds[j] 的随机值
fitness = 一个大小为 num_bees 的数组
for i 从 0 到 num_bees - 1:
    fitness[i] = objective_function(population[i])

// 蜂群算法主循环
for iter 从 1 到 max_iterations:
    // 雇佣蜂阶段
    for i 从 0 到 num_bees - 1:
        trial_bee = 一个大小为 num_dimensions 的数组
        phi = 一个大小为 num_dimensions 的随机向量
        for j 从 0 到 num_dimensions - 1:
            trial_bee[j] = population[i][j] + phi[j] * (population[i]
                [j] - population[随机选择的另一个蜜蜂索引][j])
            // 确保新参数在上下界之内
            如果 trial_bee[j] < lower_bounds[j]:
                trial_bee[j] = lower_bounds[j]
            如果 trial_bee[j] > upper_bounds[j]:
                trial_bee[j] = upper_bounds[j]
        trial_fitness = objective_function(trial_bee)
        如果 trial_fitness > fitness[i]:
            population[i] = trial_bee

```

```

        fitness[i] = trial_fitness

// 观察蜂阶段
total_fitness = 0
for i 从 0 到 num_bees - 1:
    total_fitness = total_fitness + fitness[i]
prob = 一个大小为 num_bees 的数组
for i 从 0 到 num_bees - 1:
    prob[i] = fitness[i] / total_fitness
for i 从 0 到 num_bees - 1:
    j = 根据概率分布 prob 随机选择的一个蜜蜂索引
    trial_bee = 一个大小为 num_dimensions 的数组
    phi = 一个大小为 num_dimensions 的随机向量
    for k 从 0 到 num_dimensions - 1:
        trial_bee[k] = population[j][k] + phi[k] * (population[j]
            [k] - population[随机选择的另一个蜜蜂索引][k])
        // 确保新参数在上下界之内
        如果 trial_bee[k] < lower_bounds[k]:
            trial_bee[k] = lower_bounds[k]
        如果 trial_bee[k] > upper_bounds[k]:
            trial_bee[k] = upper_bounds[k]
    trial_fitness = objective_function(trial_bee)
    如果 trial_fitness > fitness[i]:
        population[i] = trial_bee
        fitness[i] = trial_fitness

// 侦察蜂阶段
worst_index = 适应度最低的蜜蜂索引
for j 从 0 到 num_dimensions - 1:
    population[worst_index][j] = 从 lower_bounds[j] 到 upper_bounds[j]
        的随机值
fitness[worst_index] = objective_function(population[worst_index])

// 打印当前最优解
best_index = 适应度最高的蜜蜂索引
打印 " 第 ", iter, " 次迭代, 最优适应度 :", fitness[best_index], ", 参数
    值 :", population[best_index]

// 输出最终的最优解
best_index = 适应度最高的蜜蜂索引
打印 " 最终最优适应度 :", fitness[best_index], ", 参数值 :", population[best_
    index]

```

5.4.2 基于蜂群算法优化神经网络用于图像分类

图像分类是计算机视觉领域的一个经典问题，旨在将图像分配到预定义类别中。随着深度学习的发展，卷积神经网络（CNN）在图像分类任务中取得了显著效果。然而，CNN模型的性能很大程度上依赖于其结构和参数的选择，如层数、节点数、卷积核大小等。这些参数的选择往往需要通过实验和经验来确定，耗时且效率低下。

利用蜂群算法来优化CNN的结构和参数，可以有效提高图像分类的准确性和泛化能力，这是由于蜂群算法具备全局搜索能力、并行性、自适应调整、不需要梯度信息及与神经网络的互补性等特征。

基于蜂群算法优化神经网络用于图像分类的基本过程可以用伪代码表示如下：

```

// 数据准备阶段
// 加载 MNIST 数据集
data = 加载 MNIST 数据集
images = data.images
labels = data.labels

// 对图像数据进行归一化处理
for each image in images:
    image = image / 255.0

// 将标签数据转换为 one - hot 编码格式
one_hot_labels = 标签转换为 one - hot 编码 (labels)

// 划分训练集和测试集
train_images, test_images = 划分图像数据 (images)
train_labels, test_labels = 划分标签数据 (one_hot_labels)

// 蜂群算法参数设置
num_bees = 蜜蜂的数量
max_iterations = 最大迭代次数
lower_bounds = [ 神经网络层数下界, 每层节点数下界 ]
upper_bounds = [ 神经网络层数上界, 每层节点数上界 ]

// 初始化蜂群
population = 一个大小为 num_bees 的数组
for i from 0 to num_bees - 1:
    layers = 从 lower_bounds[0] 到 upper_bounds[0] 的随机整数
    nodes_per_layer = 一个大小为 layers 的数组
    for j from 0 to layers - 1:
        nodes_per_layer[j] = 从 lower_bounds[1] 到 upper_bounds[1] 的随机整数

```

```

    population[i] = [layers, nodes_per_layer]
fitness = 一个大小为 num_bees 的数组

// 定义适应度函数
function evaluate_model(params):
    layers = params[0]
    nodes_per_layer = params[1]
    model = 构建具有指定层数和节点数的全连接神经网络 (layers, nodes_per_layer)
    用训练数据 (train_images, train_labels) 训练 model
    accuracy = 在测试数据 (test_images, test_labels) 上评估 model 的准确率
    return accuracy

// 初始化适应度
for i from 0 to num_bees - 1:
    fitness[i] = evaluate_model(population[i])

// 蜂群算法主循环
for iter from 1 to max_iterations:
    // 工蜂阶段
    for i from 0 to num_bees - 1:
        trial_bee = 复制当前蜜蜂个体 population[i]
        // 对参数进行小的随机变化 (扰动)
        if 随机数 < 0.5:
            trial_bee[0] = 确保在上下界内 (trial_bee[0] + 随机扰动)
        for j from 0 to trial_bee[0] - 1:
            if 随机数 < 0.5:
                trial_bee[1][j] = 确保在上下界内 (trial_bee[1][j] + 随机扰动)
        trial_fitness = evaluate_model(trial_bee)
        if trial_fitness > fitness[i]:
            population[i] = trial_bee
            fitness[i] = trial_fitness

    // 观察蜂阶段
    total_fitness = 0
    for i from 0 to num_bees - 1:
        total_fitness = total_fitness + fitness[i]
    prob = 一个大小为 num_bees 的数组
    for i from 0 to num_bees - 1:
        prob[i] = fitness[i] / total_fitness
    for i from 0 to num_bees - 1:
        follow_index = 根据概率分布 prob 随机选择一个蜜蜂索引
        trial_bee = 复制当前蜜蜂个体 population[follow_index]
        // 对参数进行小的随机变化 (扰动)
        if 随机数 < 0.5:
            trial_bee[0] = 确保在上下界内 (trial_bee[0] + 随机扰动)
        for j from 0 to trial_bee[0] - 1:
            if 随机数 < 0.5:

```

```

        trial_bee[1][j] = 确保在上下界内 (trial_bee[1][j] + 随机扰动)
    trial_fitness = evaluate_model(trial_bee)
    if trial_fitness > fitness[i]:
        population[i] = trial_bee
        fitness[i] = trial_fitness

// 侦察蜂阶段
worst_index = 适应度最低的蜜蜂索引
layers = 从 lower_bounds[0] 到 upper_bounds[0] 的随机整数
nodes_per_layer = 一个大小为 layers 的数组
for j from 0 to layers - 1:
    nodes_per_layer[j] = 从 lower_bounds[1] 到 upper_bounds[1] 的随机整数
population[worst_index] = [layers, nodes_per_layer]
fitness[worst_index] = evaluate_model(population[worst_index])

// 打印当前最优解
best_index = 适应度最高的蜜蜂索引
打印 " 第 ", iter, " 次迭代, 最优适应度 :", fitness[best_index], ", 参数
    值 :", population[best_index]

// 输出最终的最优解
best_index = 适应度最高的蜜蜂索引
打印 " 最终最优适应度 :", fitness[best_index], ", 参数值 :", population
    [best_index]

```

除了上述领域外，蜂群算法还可以应用于图像处理、数据挖掘、网络通信等多个领域。通过模拟蜂群的协作行为，能够解决许多传统算法难以解决的问题，为科学技术的发展提供新的思路和方法。

5.4.3 蜂群算法的优势：高效性、鲁棒性与自适应性

蜂群算法之所以能够在众多领域得到广泛应用，是因为它具有许多独特的优势。

1) 高效性。蜂群算法通过模拟蜂群的协作行为（见图5.10），以并行搜索、信息共享及分工合作的模式实现了群体行为的高效协调。



图5.10 协同作战的蜜蜂

2) 鲁棒性。鲁棒性是指算法在面对不确定性和干扰时仍能保持稳定性和可靠性的能力，这种能力的构建依赖于算法本身去中心化控制的特点，如图5.11所示。



图5.11 去中心化的蜜蜂组织

3) 自适应性。算法能够根据环境和任务的变化自动调整自身的参数和结构。例如，对于复杂的问题，可以增加蜂群的数量或引入更多的搜索策略；对于较简单的问题，则可以简化算法结构以提高效率。

5.4.4 蜂群算法的挑战

尽管蜂群算法在许多领域展现出了独特的优势和潜力，但它仍面临一些挑战。

首先，想象一下，一群蜜蜂在一片花海中采蜜，它们很容易被某一片特别茂盛的花丛吸引，而忽略其他可能更优的花源。同样，蜂群算法在搜索过程中也容易陷入局部最优解陷阱，导致搜索停滞不前，如图5.12所示。

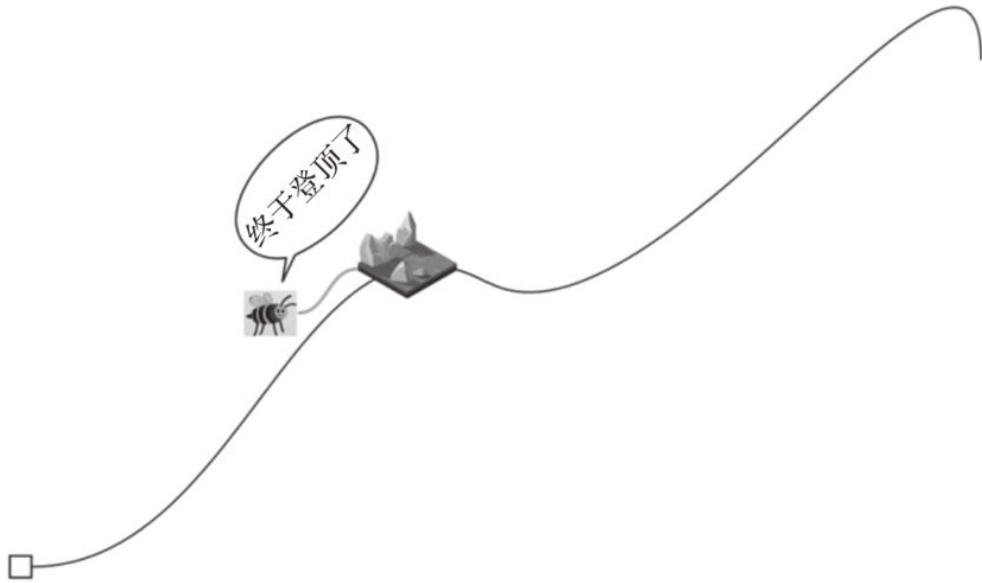


图5.12 局部最优解陷阱

其次，参数设置的复杂性也是蜂群算法的一大挑战。蜜蜂采蜜的效率受到多种因素影响，如天气、地形等，而蜂群算法的性能则取决于其参数设置，如种群大小、迭代次数等。

5.4.5 从蜂群算法看人类协作的未来

尽管面临诸多挑战，但蜂群算法的未来依然充满无限可能。随着人工智能技术的不断发展，蜂群算法将在更多领域发挥重要作用。

1. 医学应用

打造“超级群体算法”，将蜂群的动态分工与神经元的脉冲学习相结合。以医学应用为例，用该算法优化癌症放疗方案：像侦察蜂一样定位肿瘤，像工蜂一样计算辐射剂量，最后如神经网络般综合患者数据，将治疗精度提升至0.1毫米级。

2. 数字经济

在某个元宇宙购物中心，10万虚拟顾客正通过蜂群算法实现动态分流：当限量球鞋发售时，算法自动生成“信息素热力通道”，引导用户像工蜂涌向蜜源一样有序流动，崩溃事故减少90%。而在虚拟演唱会场景，灯光机器人正通过“萤火虫同步算法”实现毫秒级光影协同。

3. 工业安全

某智慧工地的安全系统将工人智能手环接入蜂群网络。当有人接近危险区域，整个系统会像蜂群警戒天敌一样触发连锁反应：最近的三盏警示灯闪烁，5米内的机械臂自动暂停，无人机紧急投送防护装备——这种“人机混合蜂群”可大幅降低工伤事故。

5.5 人类身体探秘：肠道神经系统

5.5.1 肠道系统游戏

假设你现在正在参加一项游戏活动，游戏的过程如下：

主持人：眨一眨眼睛。

你：（眨了眨眼睛）对主持人做了个OK的手势。

主持人：深呼吸。

你：（感受了一下肚子的起伏）对主持人比了个“Yeah”。

主持人：屏住呼吸10s。

你：（你看起来没有任何变化）10s后向主持人表示已完成任务。

主持人：现在难度升级，请你让肠道停止任何活动5s。

你：（一脸懵）完全不知道如何与肠道建立联系。

主持人：把桌上的美食都吃完。

你：（一脸兴奋）开始享受美食。

吃饭过程中

主持人：正常吃饭，但请控制你的肠道系统暂时停止消化工作（图5.13）。

你：……



图5.13 不太配合的肠道系统

肠道系统可以说是人类最重要的器官之一，但它似乎并不完全听从大脑的指挥，几乎不受人类意识的主动控制。那么，肠道系统究竟是如何为人类服务的，又是如何处理各种消化任务的呢？肠道系统能够不受大脑的指挥进行系统的各项控制工作的答案就藏在肠道系统内部的“隐形指挥官”——肠道神经系统里。这个隐藏在肠壁中的复杂神经网络，正是肠道能独立完成消化、吸收甚至情绪响应的核心。

5.5.2 肠道神经系统的组成

肠道神经系统是由位于胃肠道壁内的神经元、神经递质、蛋白质及其支持细胞组成的网状结构系统。它拥有约一亿个神经细胞，数量仅次于大脑，因此被形象地称为“第二大脑”。这些神经细胞分为感觉神经元、中间神经元和运动神经元三种类型。感觉神经元负责感知肠道内的各种刺激，如热、化学或机械刺激；中间神经元充当感觉神经元和运动神经元之间的桥梁；运动神经元负责接收和转化信号，控制肠道的肌肉收缩、腺体分泌等功能，如图5.14所示。

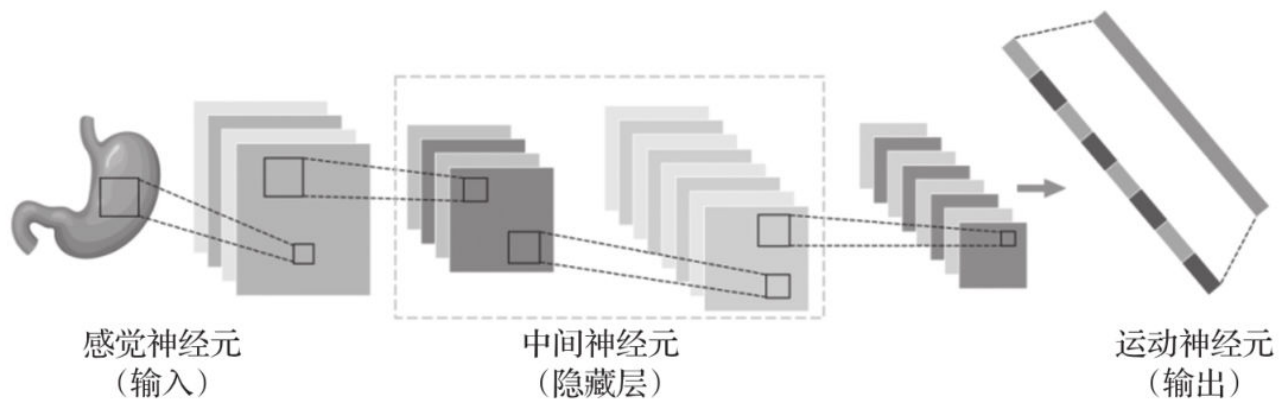


图5.14 肠道神经系统的工作原理

肠道神经系统的这种构造使其具有高度的自主性。这种自主性使肠道即使在大脑无法控制的情况下，仍能保持正常的生理功能，这种功能也是生物界数万年进化的结果。

5.5.3 肠道神经系统进化论

从进化论的角度来看，肠道神经系统具有明显的进化优势，主要体现在以下3个方面。

(1) 提高生存适应性

肠道神经系统能够自主调节肠道的蠕动、消化液的分泌等生理功能，无须等待大脑的指令。这种自主性使得生物体在面临紧急情况时，能够迅速做出反应，如快速消化食物以获取能量，或快速排出有害物质以避免中毒，从而提高生存机会。这是肠道的自主调节功能。

肠道神经系统的独立性使得它能够根据肠道内外的环境变化，如食物种类、温度、压力等，快速调整肠道的生理功能，提高生物体对环境变化的适应能力，如图5.15所示。

(2) 减轻大脑负担

肠道神经系统能够分担大脑的部分生理功能，如感知肠道内的刺激、调节肠道蠕动和消化液分泌等。这种分担作用减轻了大脑的负担，使大脑能够更专注于处理复杂的信息和进行高级的认知活动。

除此之外，肠道神经系统的自主性使得生物体能够更有效地利用能量。例如，在饥饿状态下，肠道神经系统能够调节肠道蠕动和消化液分泌，以减少能量的消耗，同

时提高食物中能量的吸收效率。

(3) 促进复杂生理功能的形成

肠道神经系统可能是更高级神经系统进化的基础，这一点通过对比肠道神经系统的特点和卷积神经网络的特点就能窥探一二，如表5.1所示。

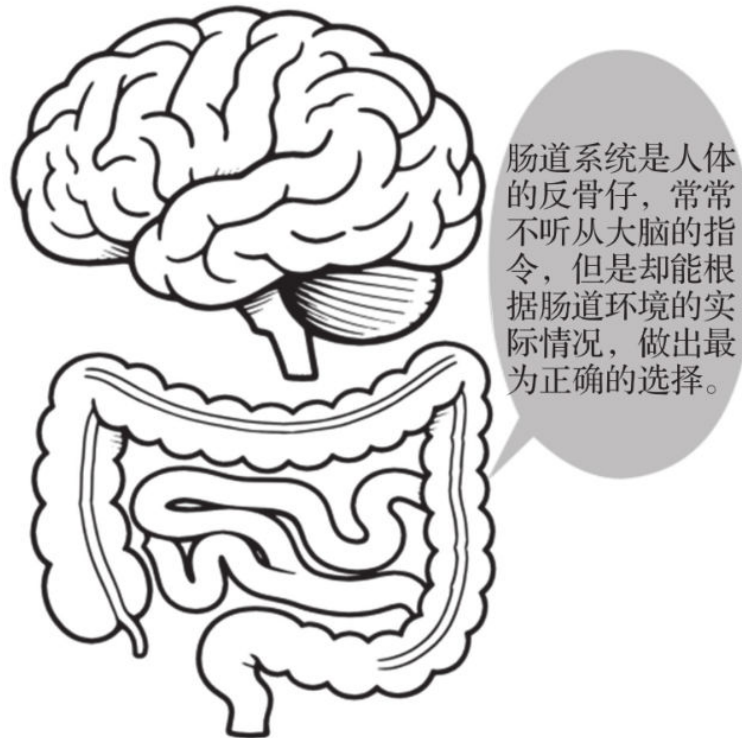


图5.15 肠道系统的适应能力

表5.1 肠道神经系统与卷积神经网络

对比项	肠道神经系统	卷积神经网络
复杂性和独立性	拥有数量庞大的神经元，形成高度精细的调控网络；相对独立，能自主调节肠道生理功能	多层次网络结构，具有大量参数；能独立处理图像数据
层次结构和信息传递	具有传入神经、中间神经元和传出神经等层次结构；神经元间通过电信号和化学信号传递信息	具有卷积层、池化层和全连接层等层次结构；信息通过卷积核滑动传递
自主学习和适应能力	具有自主学习能力，能根据环境变化和积累经验调整神经网络参数和功能；能适应不同生理状态和外界环境	具有自主学习能力，通过反向传播算法调整网络参数；具有泛化能力，能适应不同图像识别任务
领域	生物领域的复杂神经网络，具有自主调节和适应能力	计算机科学领域的人工神经网络模型，具有独立处理和学习能力

5.5.4 肠道神经系统与大脑的“对话”

肠道神经系统与大脑之间并不是孤立的。它们之间通过一种被称为“脑肠轴”的机制进行双向沟通。当我们感到紧张或焦虑时，大脑会通过神经和激素信号影响肠道的活动，导致腹泻、腹痛等症状。反之，肠道的问题也可能通过脑肠轴影响我们的情绪和行为。

为了更好地理解肠道神经系统的奇妙之处，让我们来看几个有趣的案例和实验。

案例一：情绪与肠道的“互动”

你是否有过这样的经历：当心情紧张或焦虑时，肚子就开始咕咕叫，甚至想上厕所？这其实是肠道神经系统与大脑互动的结果。科学家们曾经做过一个有趣的实验：他们邀请了一些志愿者参加一个压力测试。在测试过程中，志愿者被要求完成一系列具有挑战性的任务，如公开演讲、数学计算等。结果发现，在测试过程中，志愿者的肠道蠕动明显加快，消化液分泌也显著增加。这说明情绪确实会影响肠道神经系统的功能，如图5.16所示。



图5.16 情绪影响肠道神经系统的功能

案例二：肠道微生物的“魔法”

肠道里的微生物不仅能帮助我们消化食物、合成维生素，还能影响我们的情绪和行为。一项研究发现，给实验鼠喂食抗生素以杀死肠道内的微生物后，它们变得更加焦虑和不安。而当给它们移植回正常的肠道微生物后，它们的情绪和行为又恢复了正常。这说明肠道微生物与我们的情绪和行为之间存在着密切的联系。

案例三：肠道与记忆的“奇妙联系”

虽然听起来有点不可思议，但肠道确实与我们的记忆有着微妙的联系。有这样一个故事：一名护士每天早上10点钟都会给病房里的瘫痪病人灌肠。在她离开医院后，她的继任者取消了这套流程。但奇怪的是，在第二天早上10点钟，病房里的所有患者都自动开始排便，如图5.17所示。虽然这只是一个个例，但它却让我们思考：肠道与记忆之间是否存在着某种联系呢？

科学家通过一系列实验发现，肠道神经系统与大脑的记忆中枢之间存在密切联系。当肠道受到刺激时，这种刺激信号会通过脑肠轴传递到大脑的记忆中枢，进而影响记忆功能。

每天早上的例行检查让老王已经形成了条件反射，早晨准时排便

该起床便便了!



今天没有检查，但是好消息是：老王依然准时排便；坏消息是，老王还未起床



图5.17 肠道的记忆

CHAPTER 6 第6章 智能体现：简单规则的叠加

在蚂蚁社会的黑暗王国里，信息素构成了它们的“化学互联网”，如图6.1所示。这种无形的通信系统的精妙之处在于将离散的个体行为转化为连续的空间指引，如同大自然设计的导航地图。我们剥开生物学表象，发现这本质上是一个动态矢量场的自组织过程——每个蚂蚁既是信号的发射器，又是接收器，更是这个矢量场的缔造者。

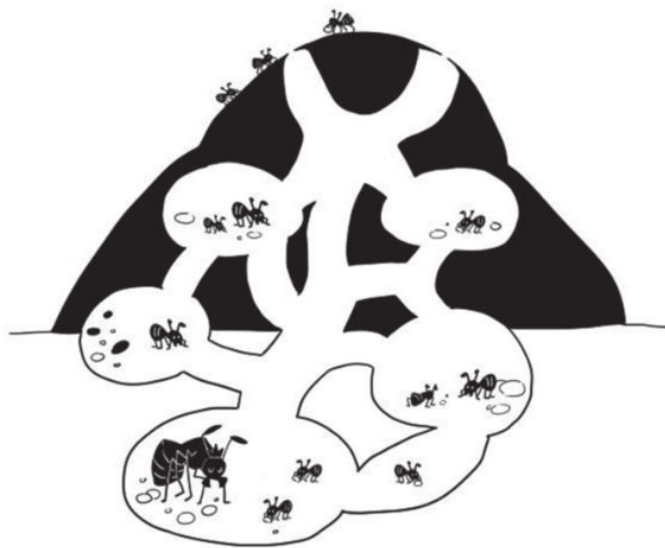


图6.1 蚂蚁王国

6.1 蚂蚁筑巢：从无序到有序的群体智慧

6.1.1 蚂蚁筑巢的数学密码：信息素场模型

1. 化学语言的编码逻辑

蚂蚁释放的信息素并非简单的标记，而是一个包含时空信息的动态信号包。当工蚁用腹部腺体挤出 $0.1\ \mu\text{L}$ 的信息素液滴时，这个微小信号包便开启了三重编码：分子结构，用来决定信号类型（如警报、觅食、筑巢）；释放量级，表示紧急程度；挥发速度，确定有效时长。

更关键的是，蚂蚁行走时的摆动触角形成了天然的信号采样器——左右触角每秒几十次的交替摆动，能够检测 0.5mm 距离内的信息素浓度差异。这种差分接收机制将化学梯度转化为行进方向的矢量指引。

2. 信息素场的自组织原理

信息素场的形成遵循三个基本法则：扩散、衰减与叠加。想象在平静的湖面中滴入墨水，墨迹会逐渐晕开（扩散），同时颜色变淡（衰减），当多个工蚁在不同位置释放信息素时，这些“化学涟漪”会相互交融（叠加），最终形成引导群体行为的信息素场。

这个信息素场具有显著的马太效应：高频使用的路径会因持续的信息素补充形成强信号通道，而闲置路线则会因自然衰减被系统遗忘，实现了路径网络的自主优化。

某著名大学的微流控实验揭示了如下细节：当两个信息素源释放的化学信号在环境中扩散时，其浓度场会发生叠加，形成局部浓度高低交替的分布模式。蚂蚁触角的嗅觉感受器通过检测长时间尺度的平均浓度梯度，将其转化为连续的概率性行为调整，例如“向左修正 15° ”或“加速通过”的行为指令。这种将连续场信号离散化为行为决策的机制，正是信息素场模型的核心——群体行为本质上是化学势能梯度驱动下的粒子运动。

3. 群体决策的临界现象

信息素场的集体智慧在分巢决策中展现得淋漓尽致。当巢穴容量达到临界点时，侦察蚁会释放特殊配比的信息素。激光光谱研究显示，这种混合信息素会在巢内引发连锁反应：初始的随机波动通过正反馈放大，最终在特定方位形成优势浓度峰。整个过程如同铁磁材料在居里点的磁化转变——微观的随机涨落被信息素场的自增强特性转化为宏观的有序结构。

这种动态系统具有惊人的容错性。某大学实验室的计算机模拟表明，即使随机“关闭”30%蚂蚁的信息素释放能力，系统仍能通过剩余个体的信号补偿维持功能的完整性。其秘密在于矢量场的冗余设计：每个行为指令都编码在空间梯度而非绝对浓度中，使得局部干扰会被全局场的自稳定特性消弭。群体决策的临界现象如图6.2所示。

图6.2 群体决策的临界现象

6.1.2 局部交互的元胞自动机规则

想象一个无限延伸的棋盘，每个格子（元胞）根据其周围的8个格子的状态，只有“存活”或“死亡”两种结果，变化过程遵循如下规律：

□ 存活格周围少于2个存活邻居则“死亡”（孤独）。

□ 存活格周围有2个或更多存活邻居则保持存活。

□ 死亡格周围恰好有3个及以上存活邻居则“复活”（繁殖）。

这种“生命游戏”展示了元胞自动机的核心思想——局部规则驱动全局秩序。蚂蚁社会的运作机制与此惊人相似，每个个体就像棋盘上的一个元胞，仅通过感知周围有限范围内的信息，就能协同创造出超越个体认知的复杂结构。

1. 蚂蚁版元胞自动机：三维空间的行为规则

在黑暗的地下世界，每只蚂蚁都遵循三条空间行为准则：

（1）受限随机行走

当蚂蚁前螯触碰障碍物时，并非完全随机转向。实验显示，它们更倾向以 60° 角转向，这种黄金角度既能避免原地打转，又能保证勘探覆盖范围。就像台球撞击边库的反射角一样，这个本能行为确保巢穴通道形成各向同性的网络拓扑。

（2）梯度敏感运输

搬运土粒的工蚁如同化学梯度计，它们的触角能检测极小范围内的信息素浓度差，当左触角接收的浓度比右触角高时，即使偏差很小，工蚁仍会以较大概率向左修正行进方向。这种基于左右触角浓度差的放大响应机制使得蚁群能自动规避拥堵路径，最终形成类似血管网络的自优化运输系统。

（3）密度依赖避让

当蚂蚁感知到周围小范围内有较多同类时，会触发避让行为：先原地旋转 120° 收集环境信息，然后选择同类最少的方向移动。这种基于局部密度的负反馈控制，完美避免了巢内交通瘫痪，其效果堪比城市路网的智能红绿灯系统，如图6.3所示。

2. 从个体到群体的动态演化

蚂蚁在三维空间的行为规则产生了令人惊叹的涌现现象：

□ 通道自生长：蚂蚁最初的挖掘行为往往是随机的，例如为了寻找空间、躲避阻碍或搬运物资。在这一过程中，偶尔会形成一些微小的凹槽或浅坑。蚂蚁会在这些已有痕迹上留下信息素或通过频繁通行强化其物理特征，进而吸引更多蚂蚁选择相同路径进行挖掘与维护。随着正反馈效应的不断累积，这些微小凹槽逐渐演化为稳定、高效的主干通道。这一过程体现了路径依赖与正反馈放大机制，是复杂系统中“从局部到整体、从简单到有序”的典型案例。

□ 结构自适应：当蚂蚁感知到某一区域的土壤湿度异常升高时，它们会表现出更高的转向倾向。这种行为使得蚁群能够主动避开松软、不稳定的地层，从而确保巢穴结构的整体安全性与耐久性。这一机制类似于现代工程中CT扫描引导下的动态路径规划：系统实时感知环境状态，灵活调整行动方案，以规避风险并优化结果。

□ 损伤自修复：当蚁巢中的某段通道因外力作用（如人为破坏或自然塌方）受损时，周围的蚂蚁能够迅速察觉到环境的变化，从而判断出结构异常。在受损区域附近，蚂蚁会迅速进入一种类似“应急维修模式”的状态：它们不仅会优先向该区域聚集，还会分泌更多的黏合物质，并集中搬运建材以加速修复过程。这种快速、局部的响应机制，确保了巢穴结构的完整性，极大地提升了整个系统的抗干扰能力与恢复弹性。

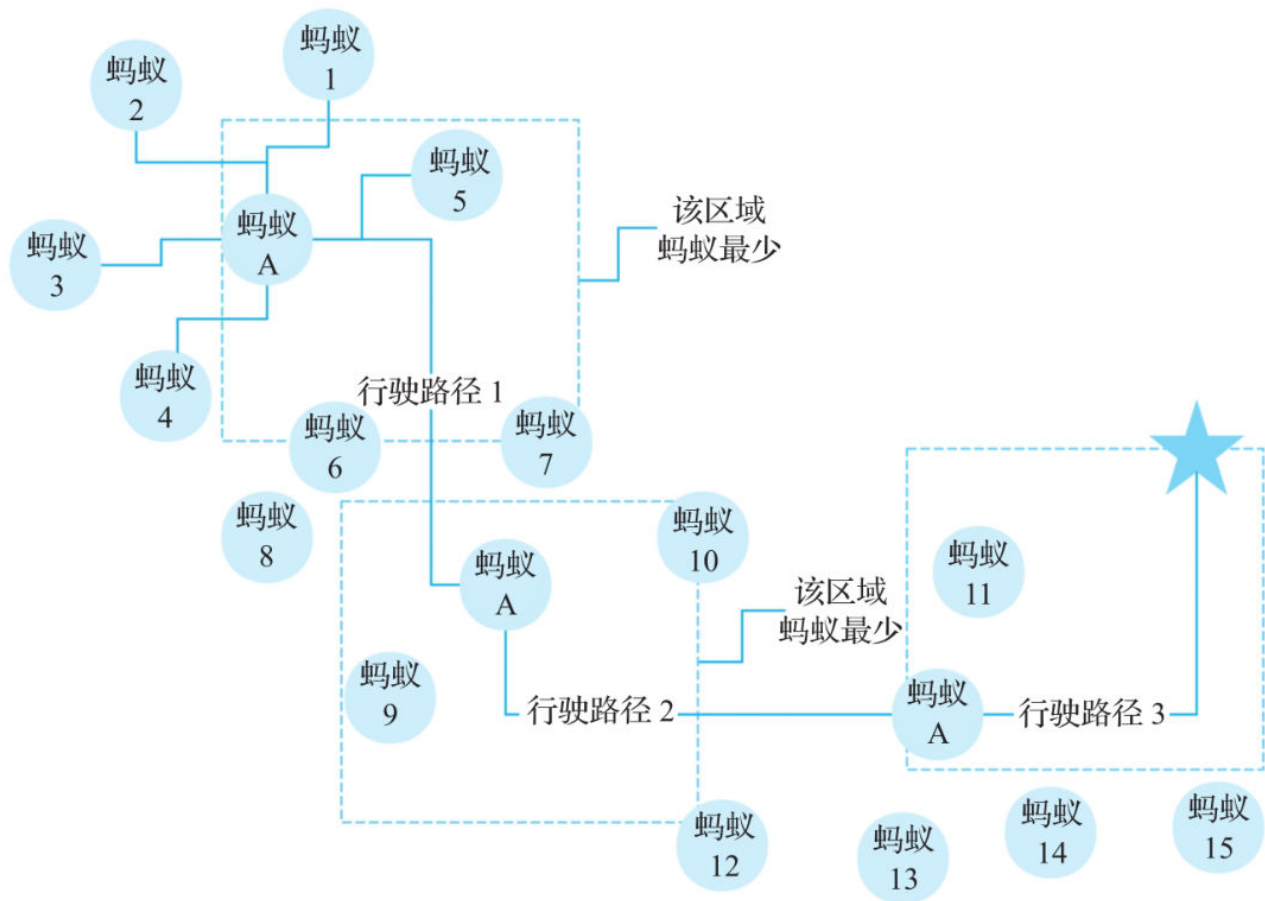


图6.3 蚂蚁的路径避让行为

□ 环境反馈：蚂蚁的元胞自动机模型与传统计算机模拟的最大区别在于引入了环境介质反馈。每个被移动的土粒都会改变局部应力分布，这些机械信号通过蚂蚁足底的感振器实时影响行为决策。例如，当上方土层压力超过阈值时，蚂蚁会自动加强该区域的支柱结构，此时土壤颗粒的摩擦系数差异会引导通道自然分叉，形成抗

震缓冲带；而温度梯度变化又会触发通风道走向调整，实现零能耗空调效果。这种将环境本身作为信息存储与反馈媒介的特性，使蚁巢成为一个持续进化的活体计算系统。每个施工动作既是对环境的改造，也是对后续行为的编程。

6.1.3 自然界的工程师：涌现结构的拓扑优化

在撒哈拉银蚁的巢穴深处，通道网络犹如精密的集成电路。这些总长超过20m的隧道系统，其运输效率远高于人类地铁网络，而这一切源于一个自然优化算法：每只工蚁在搬运土粒时，都在无意间执行着拓扑优化的数学模型。这种优化不是来自中央规划，而是亿万次局部互动的统计力学结果。

1. 动态生长的最小生成树

蚁巢通道的演化过程类似于计算机科学中的克鲁斯卡尔算法——一种寻找最小生成树（连接所有节点的最短路径网络）的经典方法。但蚂蚁的版本更为精妙，它挖掘通道的过程如图6.4所示。

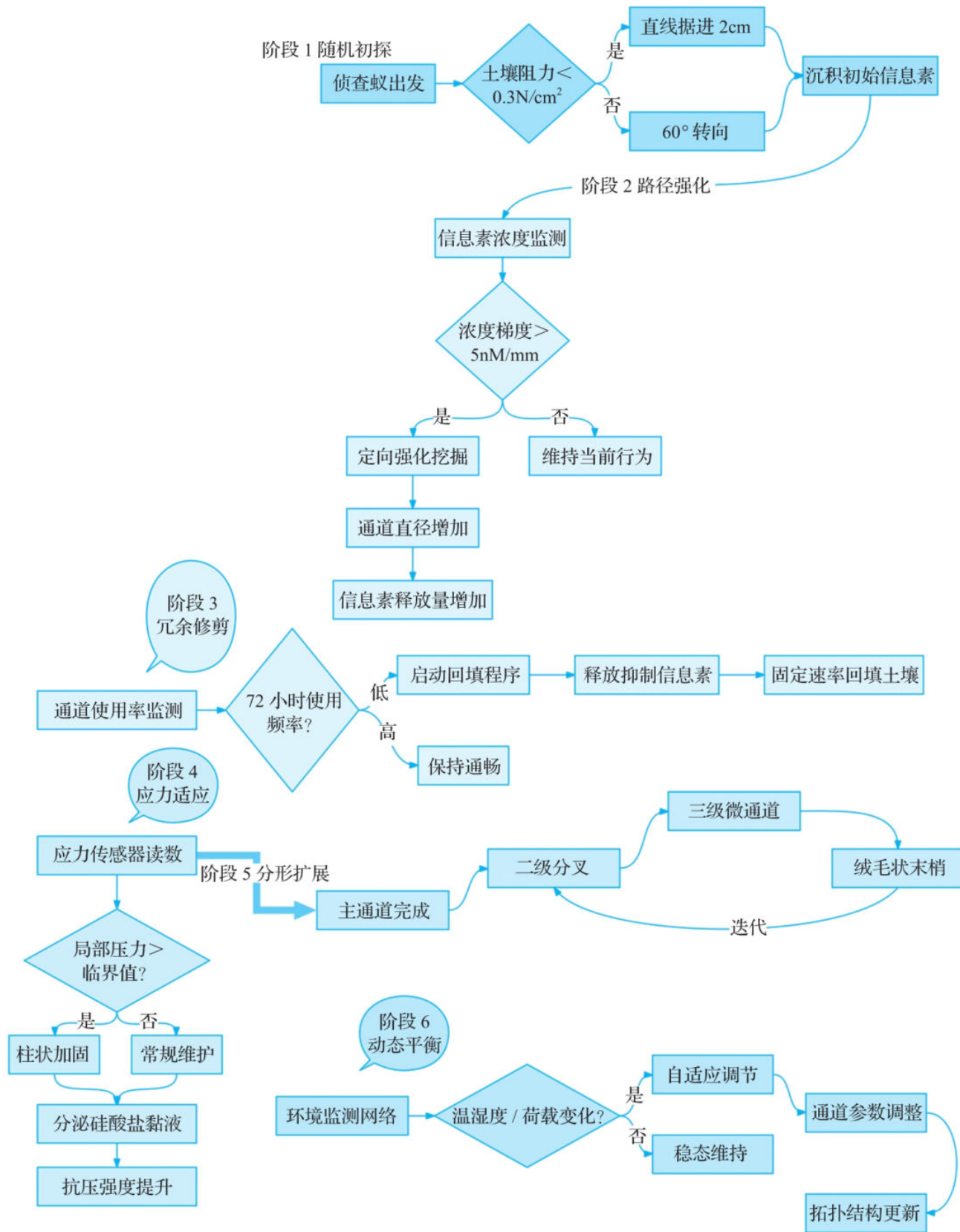


图6.4 蚂蚁挖掘通道的过程

某著名科研中心的微CT扫描显示，成熟蚁巢的通道总长总是趋近理论最小值，这种优化效率远超人类工程师的常规设计。其秘诀在于蚂蚁通过信息素扩散速度的差异，实现路径权重的动态调整。

2. 应力驱动的结构演化

蚂蚁筑巢过程的拓扑优化不仅考虑路径长度，还整合了力学环境反馈。每个土粒的位移都会改变巢穴内部的应力分布，这些机械信号通过三种方式影响结构演化：

- 压力感知：蚂蚁足底感振器能检测0.1Pa的应力变化，引导蚂蚁挖掘时避开高压区。
- 裂纹修复：当土壤出现微裂缝时，局部信息素浓度会急剧增加，触发紧急加固。
- 拱形构建：在跨度超过体长8倍的区域，蚂蚁会自动形成悬链线拱结构，增强大跨度结构的稳定性，如图6.5所示。

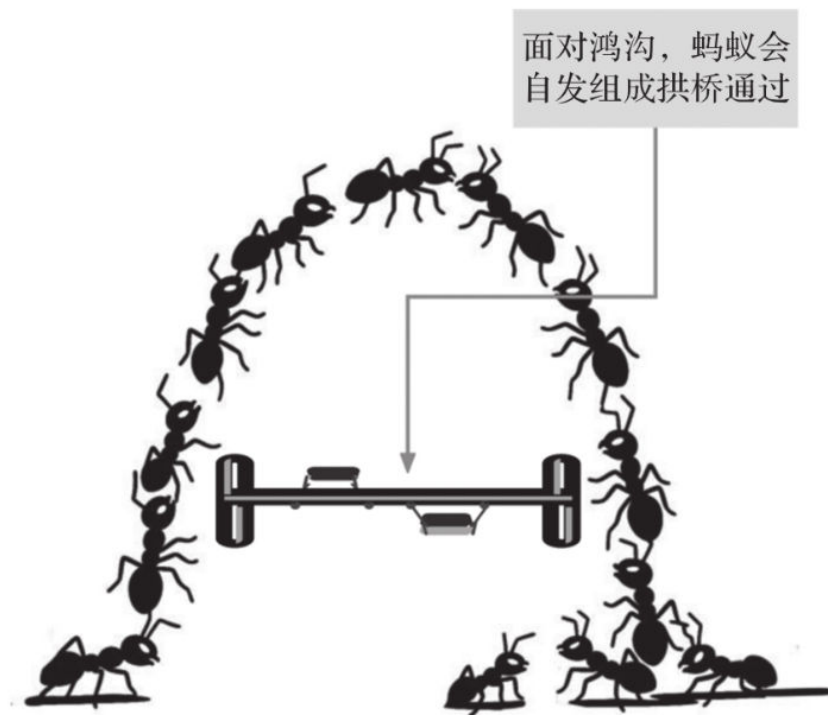


图6.5 蚂蚁的过桥智慧

这种力学智能在计算机仿真中展现出惊人效果。苏黎世联邦理工学院的模型显示，模拟蚁群建造的虚拟结构，其抗压能力几乎达到同等材料理论极限的90%，而人类传统设计通常仅能达到65%。

3. 分形维度的空间革命

蚁巢的立体结构具有典型的分形特征：其主通道、二级通道与末梢通道的直径比例均为2：1，形成典型的二分叉自相似结构。这种自相似结构带来以下两大优势：

- 表面积最大化：育幼室的绒毛状分叉提升气体交换效率。
- 运输层级优化：类似血管的分级网络，使物资运输的能耗较线性系统明显降低。

在澳大利亚的某处漠蚁巢穴中，不仅通风道的分形维度控制比例稳定，同时巢内的温差也保持稳定，如图6.6所示。

理解这种自然优化机制后，人类科学技术正在发生质的飞跃，通过调整结构设计的相关参数，工程师能够在提升系统性能的同时，大幅度降低能源消耗，实现更高效、更可持续的设计目标。

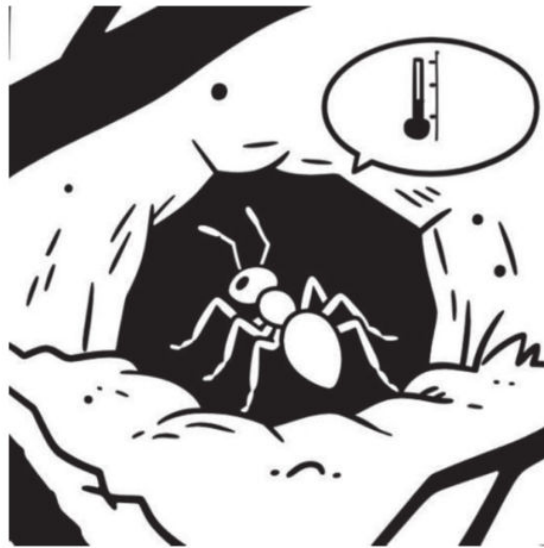


图6.6 蚂蚁的恒温洞穴

当工程师在计算机前调整拓扑优化参数时，他们或许没有意识到，这个过程的数学本质与雨林地下蚂蚁的触角摆动惊人相似——都是在多维约束空间中寻找最优解。区别仅在于，蚂蚁用上亿年进化出了生物版的梯度下降算法，而人类正在用硅基芯片与数学模型复现这种碳基智慧。

6.2 蚂蚁身体的“完美设计”与群体协作密码

6.2.1 受限动力学的微分方程：蚂蚁的“行走公式”

想象一下，你正推着购物车在超市里购物，此时以下几个关键参数决定了你的行走逻辑：

- 车身长度：决定了你的转弯半径。
- 货架间距：限制你的单向移动方向。
- 周围人流：影响了你的行进速度。

蚂蚁的运动也遵循类似的数学规律，它们的行为习惯就像一套天然的运动公式：

$$\begin{cases} \frac{dx}{dt} = v \left[1 - \left(\frac{x(t)}{L} \right)^2 \right] \cdot \cos \theta \\ \frac{dy}{dt} = v \left[1 - \left(\frac{y(t)}{L} \right)^2 \right] \cdot \sin \theta \end{cases}$$

式中， $x(t)$ 表示蚂蚁在时刻的 x 轴坐标， $-L < x < L$ ； $y(t)$ 表示蚂蚁在 t 时刻的 y 轴坐标， $-L < y < L$ ； L 表示蚂蚁体长（约束运动的特征长度）； v 表示运动速度； θ 表示运动方向角（相对 x 轴）。

蚂蚁行走的特点如下：

①

- 1) 非线性阻尼，即。当蚂蚁接近边界 $x = \pm L$ 时，速度自动衰减至0，相当于在通道两侧设置了软约束。
- 2) 方向耦合机制。三角函数项将运动分解到坐标轴方向，转向角度 θ 的改变会产生新的运动轨迹。
- 3) 自组织特性。当多个蚂蚁按此方程运动时，会自发形成队列流，通道宽度自动稳定在 $2L$ （满足双向通行需求）。

6.2.2 蚂蚁身体的“完美比例”

蚂蚁的体型就像是经过精密计算的工程结构。研究发现，当蚂蚁体长是土粒的5~20倍时，这是一种恰到好处的比例，就像人们选择汤匙舀起麦片的过程：太小的勺子效率低，过大的勺子容易洒落。这种体型使蚂蚁无须思考就能选择最佳施工方

案，如同圆孔积木只能通过对应圆柱的简单规则。表6.1展示了不同设计理念的工程类比，从表中可以看出蚂蚁的身体构造非常适合搬运，如图6.7所示。

表6.1 不同设计理念的工程类比

身体参数	设计原理	工程类比
体长 2~20mm	刚好能搬运 0.1~1mm 土壤颗粒	铲车尺寸匹配矿石规格
大颚开合角 55°	最优土壤破碎角度	挖掘机铲斗曲面设计
足间距 1.2mm	确保在颗粒间隙中稳定站立	登山靴齿纹间距设计

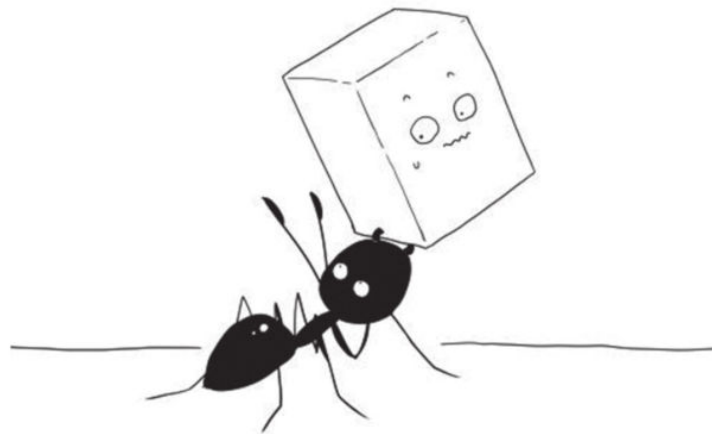


图6.7 大自然最强搬运工

6.2.3 蚂蚁群体行为的分布式控制

在蚂蚁筑巢时，每个土粒的移动都会引发连锁反应，这就像一场击鼓传花。每只蚂蚁仅关心与其相邻的事件，这样做的好处是提高了个体的决策效率。蚂蚁筑巢的具体流程如图6.8所示。

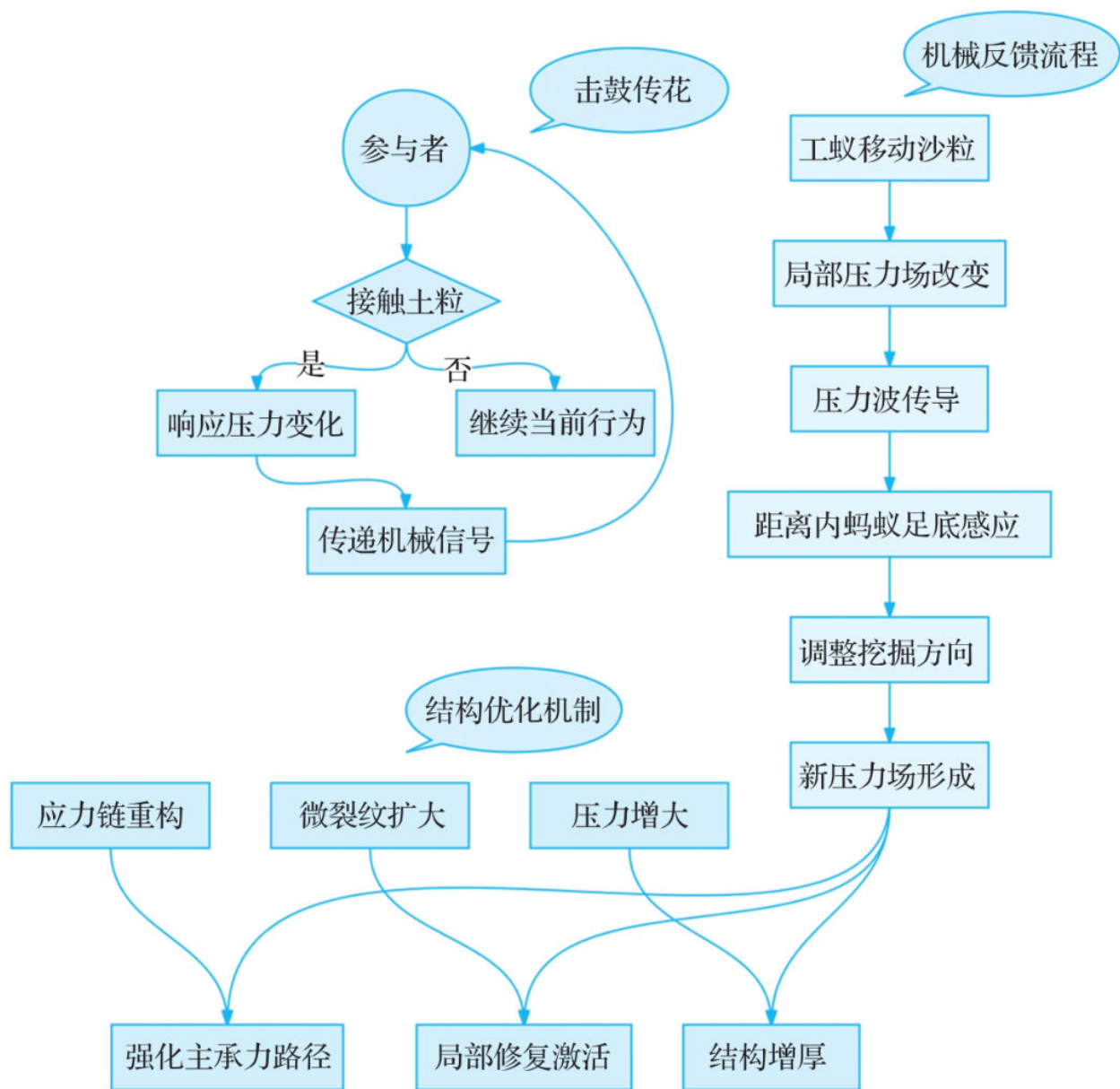


图6.8 蚂蚁筑巢的具体流程

蚂蚁群体行为的分布式控制的建模本质是时空离散的元胞自动机，其更新规则应同步考虑自身状态（如是否携带食物、信息素分泌能力）、邻居状态（如附近蚂蚁的位置、信息素浓度）和蚂蚁作用（如信息素交换、路径引导等）。

6.2.4 具身智能视角下的蚂蚁筑巢行为

关于蚂蚁筑巢，涉及群体决策、蚁巢的通道演化、环境耦合及机械反馈等问题，它们的区别如表6.2所示。

表6.2 不同流程的区别

流程主题	核心机制	数学工具	系统层级
群体决策的临界现象	信息素浓度触发相变	随机微分方程 (SDE)	群体行为层
蚁巢的通道演化	路径强化与结构优化	元胞自动机 (CA)	物理结构层
环境耦合的分布式控制	应力场反馈调节	离散元方法 (DEM)	环境交互层
机械反馈流程	压力传导与行为调整	波动方程	个体 - 环境交互层

从具身智能视角看，蚂蚁筑巢是典型的“具身-环境耦合自组织系统”：个体蚂蚁通过身体感知与环境动态交互，其动作行为在多尺度上涌现出群体决策、通道演化、环境耦合等复杂行为。这种“感知-行动-环境反馈”闭环跨越了宏观、介观、微观尺度，通过统计物理相变、图论优化、连续-离散力学耦合等跨学科模型，揭示了具身智能体如何依托身体能力与环境互动，实现不需要中心控制的适应性筑巢——本质是具身智能“从个体具身到群体涌现”的自组织逻辑。

6.3 竞技游戏中的AI智能

6.3.1 游戏AI进化史：AI全面战胜人类

1997年，IBM的深蓝击败国际象棋冠军卡斯帕罗夫时，AI还只是实验室里的数学游戏更多停留在理论推演层面，直到2016年，AlphaGo战胜李世石后，“直觉决策”成为AI领域的热词；而到2019年，DeepMind的AlphaStar在《星际争霸2》中碾压职业选手时（如图6.9所示），具身智能的潜力在复杂虚拟交互场景中得到标志性验证——这场持续二十余年的游戏AI进化史背后，隐藏着人类对智能本质的理解蜕变。

围棋曾经被人类看作与计算机作战的最后一道护城河，原因在于围棋的走法复杂度足够高，计算机难以穷举所有的案例进行破解。然而，AlphaGo却凭借卷积神经网络完美解决了这个问题。纵观AlphaGo与人类交战的过程，可以看到以下三大核心技术的革命性融合：

（1）深度学习的应用

传统围棋AI（如深蓝）需要穷举所有可能的走法，但围棋走法的所有可能性几乎无法穷举。AlphaGo利用卷积神经网络很好地解决了这个问题：

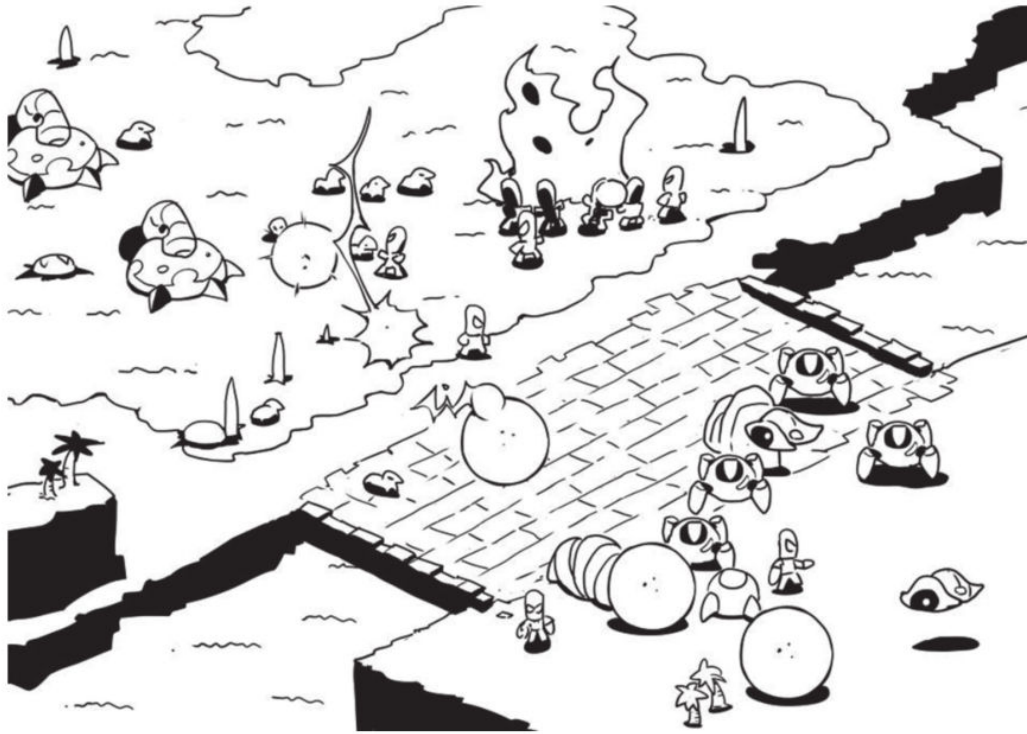


图6.9 《星际争霸》的战斗场景

□ 策略网络（大脑直觉）：通过分析上万盘人类棋谱，学会快速判断“哪些落子区域更有价值”。就像职业棋手扫一眼棋盘，凭经验锁定关键区域，而非计算所有可能性。

□ 价值网络（形势判断）：评估当前局面的胜率，例如判断“黑棋此时有63%的获胜概率”。这相当于人类棋手对棋局整体走势的预判。

对比传统AI，AlphaGo的思考过程显然更加注重质量，此时的AI已经摆脱了传统AI框架的束缚，看起来更像一个经验老到的围棋宗师，如图6.10所示。

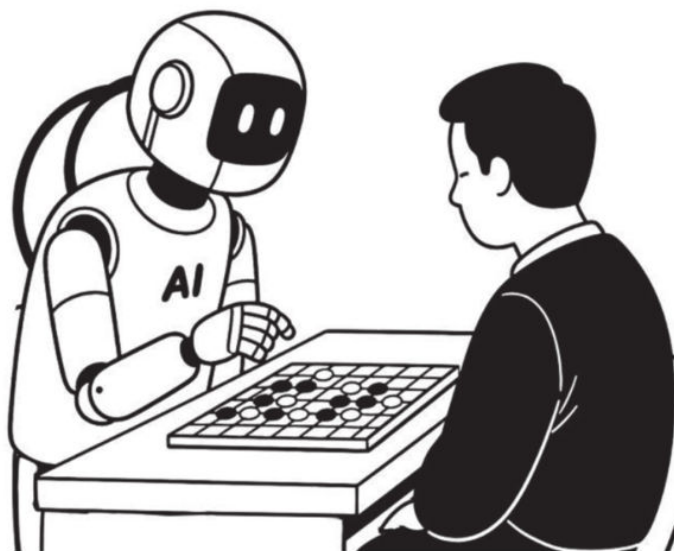


图6.10 AlphaGo对战围棋宗师

(2) 蒙特卡洛树搜索

如果把下棋比作开车，蒙特卡洛树搜索（MCTS）就是AlphaGo的“智能导航”：首先，基于策略网络筛选出20~30个候选落点；然后，对每个候选落点进行快速推演（类似导航预测不同路线的用时）；接着，根据价值网络评估结果，动态调整各路径的权重；最后，综合推演结果选择胜率最高的位置落子。这个过程像人类棋手的“读秒计算”，但AlphaGo能在1s内完成人类需要1h的计算深度，如图6.11所示。

(3) 从强化学习到自我进化

AlphaGo最颠覆性的突破在于自我对弈，先模仿人类棋谱（监督学习），让两个神经网络互相博弈（强化学习），短时间内进行海量的自我对局，探索人类从未见过的创新棋路。像让两个天才棋手关在房间里不停对战，每局结束后复盘优化策略，长期下来棋力自然呈指数级增长，如图6.12所示。

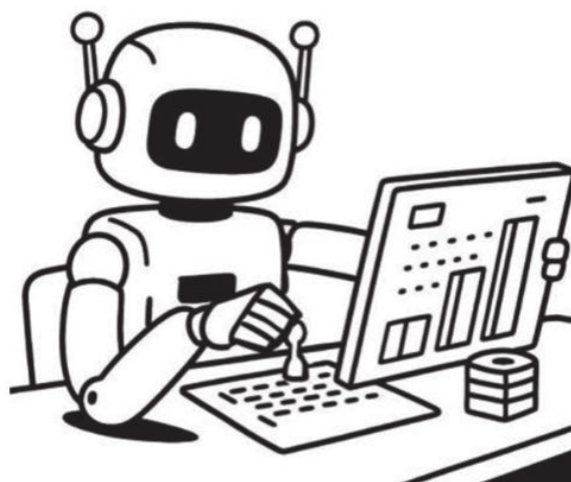


图6.11 机器人可以快速推演落子位置

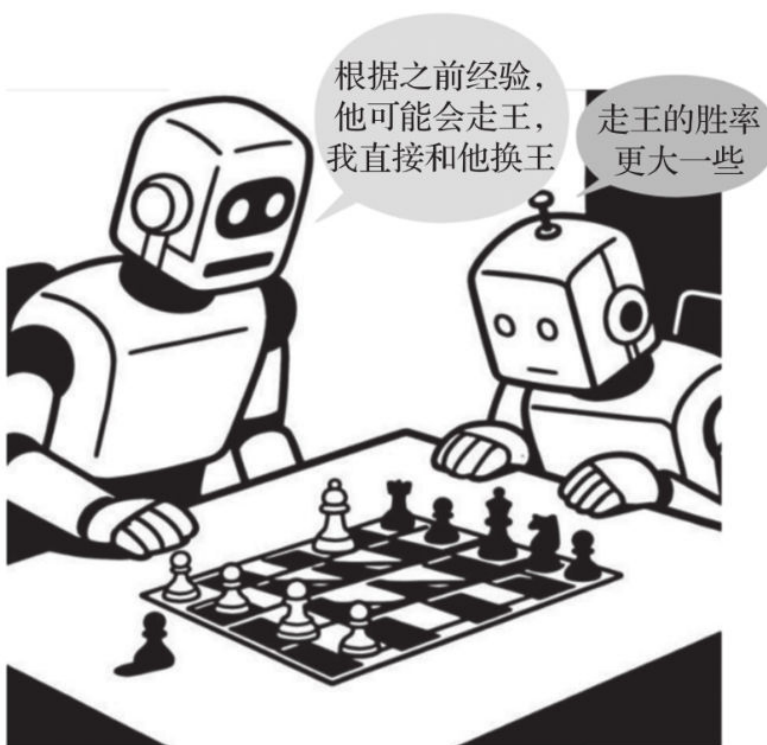


图6.12 自我博弈的机器人

AlphaGo通过深度神经网络、蒙特卡洛树搜索与强化学习三大核心技术的革命性融合，突破了围棋走法复杂度极高的难题，实现了从模仿人类棋路到自主探索创新、超越顶尖棋手的AI智能跃迁。

6.3.2 《星际争霸》AI的进化

《星际争霸》自1998年发布以来，就以其高度的策略性和竞技性吸引了无数玩家。然而，早期的《星际争霸》AI却存在诸多局限性。这是由于它是基于有限状态机系统的脚本程序的运行逻辑，这种运行逻辑就好像是写在时间轴上的剧本，变通性极差，如图6.13所示。

这种基于时间轴的线性编程需要开发者穷举所有可能的战场情境并预设应对方案，例如：“第7分钟造机场”“发现隐形单位立即造探测器”等规则看似严谨实则脆弱。当人类玩家采用非主流战术时（如速推流或经济封锁），AI就会陷入逻辑死循环。

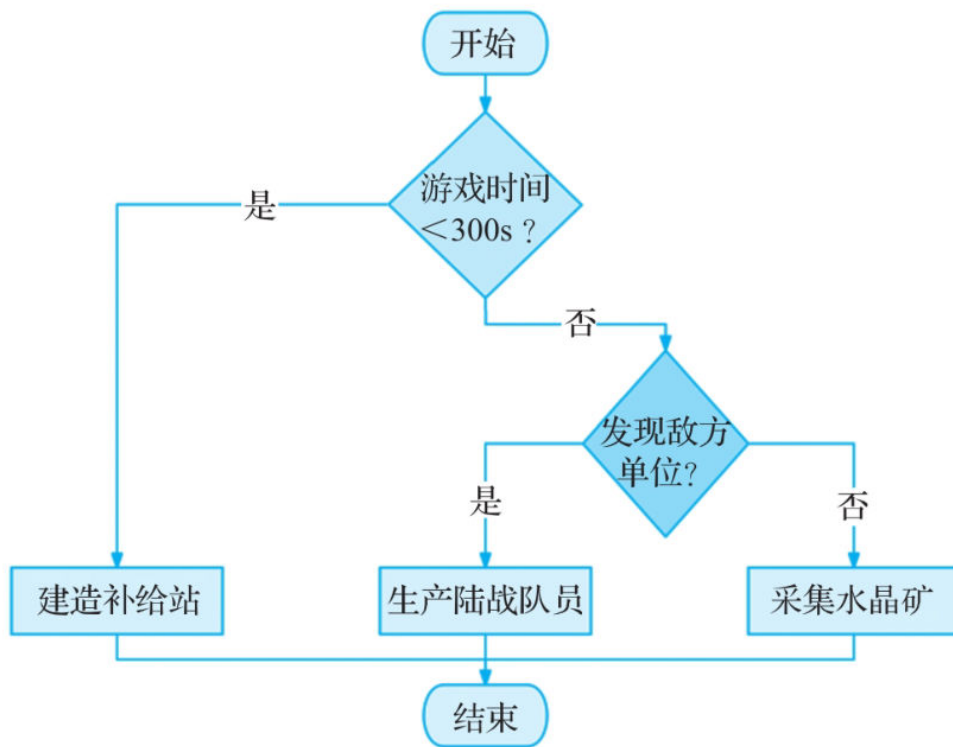


图6.13 固定的脚本运行逻辑

这种传统的AI设计存在3个致命问题：

- ❑ 感官缺失：无法实时获取屏幕信息（如单位血量、地形障碍等），只能读取后台数据。
- ❑ 肢体僵硬：操作精度达到毫秒级响应（APM超过600），远超人类极限。
- ❑ 记忆断层：每个决策都是孤立事件，“建造兵营”与“前线作战”之间没有战略关联。

这就像让一个蒙眼棋手下棋——虽然能按规则移动棋子，却感受不到棋盘的存在。《星际争霸》需要的不仅是计算能力，更是对三维战场的动态理解能力，于是就有了后来的智能体游戏AI算法的诞生，两种AI策略对比如图6.14所示。

6.3.3 感知突破：构建虚拟身体的五感系统

在经历了十余年机械重复的黑暗时代后，《星际争霸》AI研究者逐渐意识到一个根本性缺陷：没有“身体”的智能就像漂浮在真空中的大脑——即便拥有完美的计算能力也无法理解三维世界的运行法则。

2010年前后涌现的一系列突破性实验揭示了一个颠覆性规律：智能的本质不在于预设规则的复杂度，而在于持续的环境交互质量。这一时期的研究者开始在游戏世界中为人工智能培育虚拟感官系统，让代码首次通过鼠标点击、屏幕注视、键盘敲击等物理交互触摸到了虚拟宇宙的温度——这是机器认知革命的真正起点，如图6.15所示。

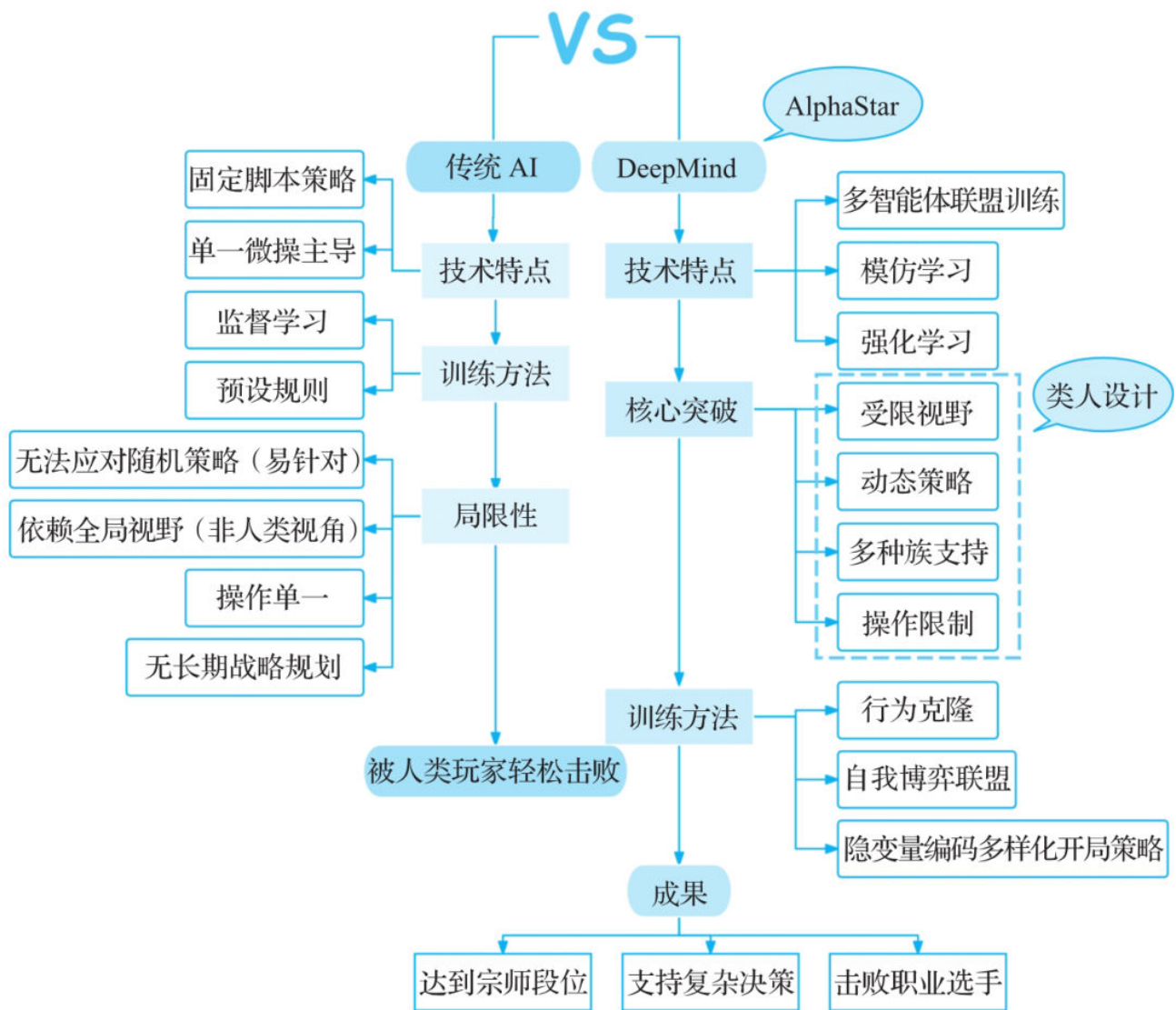


图6.14 《星际争霸》两种AI策略对比



图6.15 键盘、鼠标都变成人工智能的设计输入

6.3.4 “鼠标轨迹”泄露的认知密码

有研究发现，人类玩家平均每秒移动鼠标3.8次，视线焦点在资源面板、小地图和主屏幕之间循环切换。这启发了新思路——让AI模仿人类的物理交互模式。下面展示一段伪代码示例：

```
class HumanLikeAgent:
    def __init__(self):
        """ 人类行为模拟智能体
        通过概率模型还原玩家物理交互特征 """
        # 基于高斯分布生成人类手速 ( $\mu=350$  像素 / 秒,  $\sigma=50$  标准差)
        self.mouse_speed = np.random.normal(loc=350, scale=50)
        # 马尔可夫链建模视觉焦点转移 (基地 / 小地图 / 战场三点循环)
        self.view_switching = MarkovChain(states=['base', 'minimap',
            'battlefield']) #
        # 生物力学延迟参数 (反应时间 100~300ms)
        self.reaction_delay = np.random.uniform(0.1, 0.3)
        # 视觉暂留时长 (200~500ms 符合人眼特性)
        self.visual_persistence = 0.2 + 0.3 * np.random.rand()
    def observe(self):
        """ 生物启发式感知系统
        模仿人类玩家的视觉信息获取流程 """
        # 截取当前屏幕区域 (1920x1080 分辨率)
        screen = ImageGrab.grab(bbox=(0, 0, 1920, 1080))
        # 转换为 OpenCV 兼容的 BGR 格式
        frame = cv2.cvtColor(np.array(screen), cv2.COLOR_RGB2BGR)
        # ROI 注意力聚焦 (中央视野 60% 区域)
        height, width = frame.shape[:2]
        roi = frame[int(height*0.2):int(height*0.8), int(width*0.2):
            int(width*0.8)]
```

6.3.5 “肌肉记忆”训练法与分层强化学习

职业选手的“500次重复训练法”本质上是利用神经可塑性原理构建运动皮层-基底神经节环路，经过大量迭代后，运动误差收敛至可接受范围内，并使得正确操作序列被标记为高优先级神经回路，训练原理如图6.16所示。

《星际争霸》的复杂战术被分解为可组合单元的过程，本质上是构建行为图网络，过程如下所示。

```
class TacticGraph:
    def __init__(self):
        self.nodes = { # 基础动作单元
            'A': '生产 SCV',
            'B': '建造补给站',

            'C': '升级科技'
        }
        self.edges = { # 转移条件
            ('A','B'): ResourceCheck(50),
            ('B','C'): TimeDelay(120)
        }
```

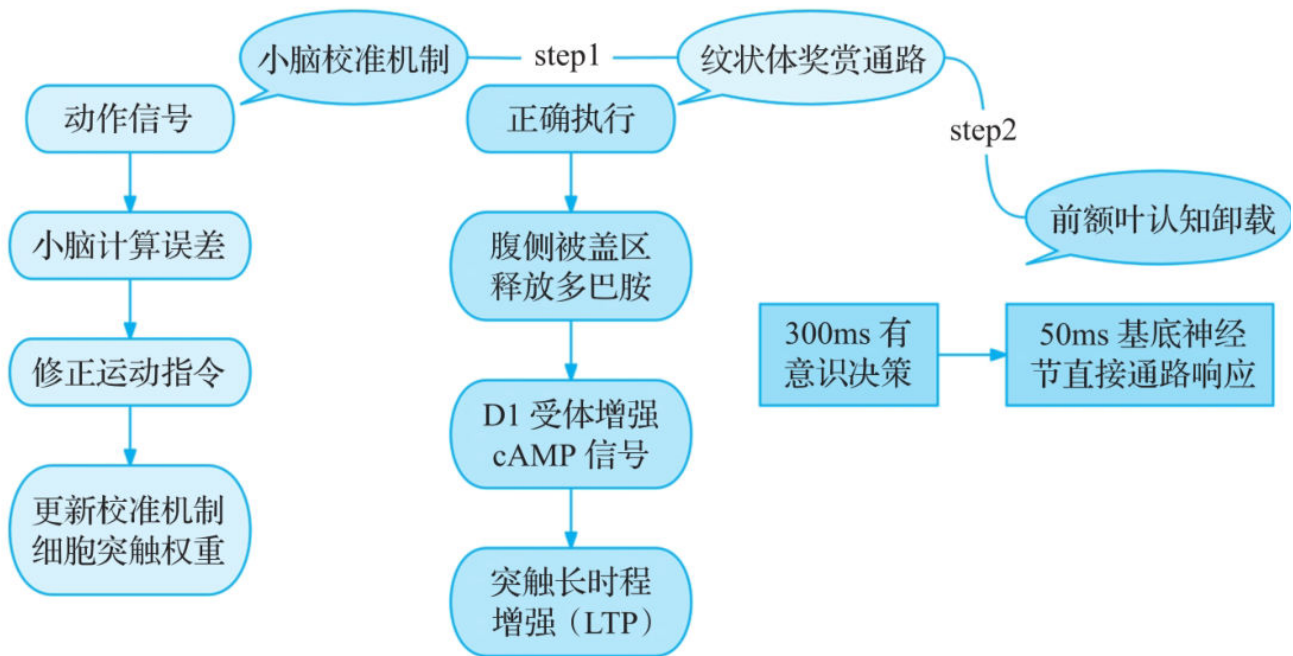


图6.16 训练原理

AI通过以下方式优化网络：

- 路径剪枝：删除成功率低于92%的边。

- 模块封装：将高频子图封装为宏指令。
- 并行优化：识别可并发执行的节点簇。

上述行为图网络的分层架构对应了4层不同的马尔可夫决策过程，不同层级的指标对比如表6.3所示。

表6.3 不同层级的指标对比

层级	状态空间 S	动作空间 A	时间尺度 τ	折扣因子 γ
战略层	全局资源分布	科技树选择	3600s	0.99
战役层	局部兵力对比	进攻方向选择	300s	0.9
战术层	战场阵型状态	单位调度指令	5s	0.8
操作层	单位实时位置	微操指令	0.1s	0.7

这种架构的优势是：在毫秒级时间跨度内保持类人操作特性；在秒级时间跨度内完成动态战术调整；在分钟级时间跨度内进行战役资源规划；在小时级时间跨度内执行宏观战略演进。

上述架构的每个层级通过与环境的3种交互模式获取经验。

(1) 本体感觉反馈

```
# 更新一个模型或系统，以反映基于本体感觉的信息
def proprioceptive_update():
    # 获取鼠标的运动轨迹
    mouse_traj = get_movement_path()
    # 估算运动过程中消耗的能量
    energy_cost = ∫ (加速度2)dt
    # 更新运动模型
    self.motor_model.update(energy_cost)
```

(2) 视觉延迟补偿

下面的代码模拟了一个简化的视觉信息处理过程，其中当前的观察帧被添加到缓冲区中，并且经过一个特定时间延迟（150ms）后，从缓冲区中检索出一个帧进行处理。这种延迟类似于生物视觉系统中信息处理的自然延迟，允许系统对视觉输入进行更复杂的解析和处理。

```

// 定义一个函数来处理视觉信息
function process_visual_information(obs_buffer, current_frame, dt):
    // 将当前观察帧添加到缓冲区中
    obs_buffer.append(current_frame)
    // 计算延迟对应的索引
    delay_index = int(0.15 / dt)
    // 检查缓冲区中是否有足够的帧
    if len(obs_buffer) >= delay_index:
        // 从缓冲区中检索延迟后的帧进行处理
        processed_obs = obs_buffer[-delay_index]
        return processed_obs
    else:
        // 如果缓冲区中帧数不足，给出提示
        打印 " 缓冲区中帧数不足，无法进行延迟处理 "
        return null

// 示例调用
// 初始化缓冲区
obs_buffer = []
// 当前观察帧
current_frame = 某一图像帧

// 时间步长
dt = 0.01
// 调用处理函数
result = process_visual_information(obs_buffer, current_frame, dt)
if result is not null:
    打印 " 处理后的观察帧 :", result

```

(3) 跨模态关联学习，建立不同感官输入间的贝叶斯网络

这里以小地图上闪烁和听到运输机音效的条件下，计算敌方空投的概率为例进行说明。

$$\begin{aligned}
 & P(\text{敌方空投} \mid \text{minimap闪烁}, \text{sound_cue} = \text{运输机音效}) \\
 &= \frac{P(\text{minimap闪烁} \mid \text{空投}) \times P(\text{sound_cue} \mid \text{空投})}{P(\text{空投})}
 \end{aligned}$$

式中， $P(\text{敌方空投}|\text{minimap闪烁, sound_cue=运输机音效})$ 表示计算目标，即给定观测证据（小地图闪烁和运输机音效）的情况下，敌方空投发生的概率； $P(\text{minimap闪烁}|\text{空投})$ 表示在敌方空投发生的情况下，小地图闪烁的概率，它反映了空投事件导致地图闪烁的可能性； $P(\text{sound_cue}|\text{空投})$ 表示在敌方空投发生的情况下，听到运输机音效的概率，它反映了空投事件导致听到特定音效的可能性； $P(\text{空投})$ 表示在没有任何观测证据的情况下，敌方空投发生的概率，它反映了我们对空投事件发生的初步估计。

这个公式使用贝叶斯定理来综合不同的观测证据（小地图闪烁和运输机音效），以更新我们对敌方空投发生可能性的估计。这种方法在机器学习、数据科学、认知科学等众多领域中用于推理和决策制定。

这个公式使用贝叶斯定理来综合不同的观测证据（小地图闪烁和运输机音效），以更新我们对敌方空投发生可能性的估计。这种方法在机器学习、数据科学、认知科学等众多领域中用于推理和决策制定。

6.3.6 构建AI的“数字触觉”传感器

想象给机器人戴上高科技手套，当它触摸物体时能感知材质的软硬和温度的冷热。

“数字触觉”就是游戏世界里的类似技术：通过数学建模让AI理解虚拟环境的物理特性。

对于《星际争霸》这款游戏而言，“数字触觉”的工作原理如图6.17所示。

现在以《星际争霸》中一队远程部队和一队近战部队从平地进攻高地的战役为例，整个决策流程如图6.18所示。

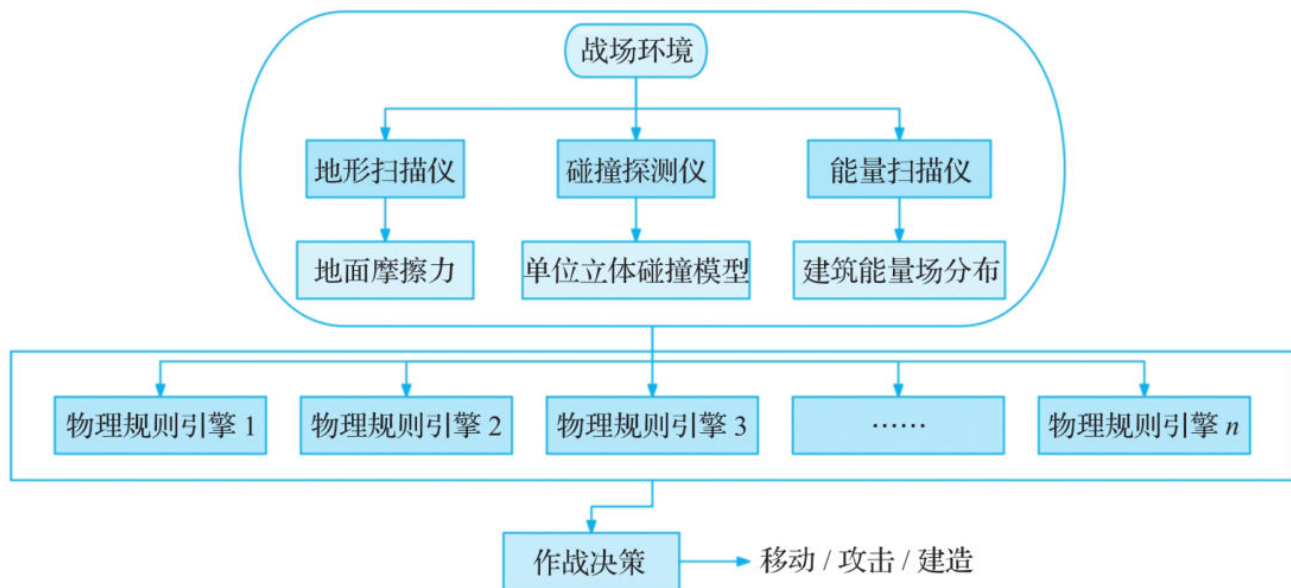


图6.17 “数字触觉”的工作原理

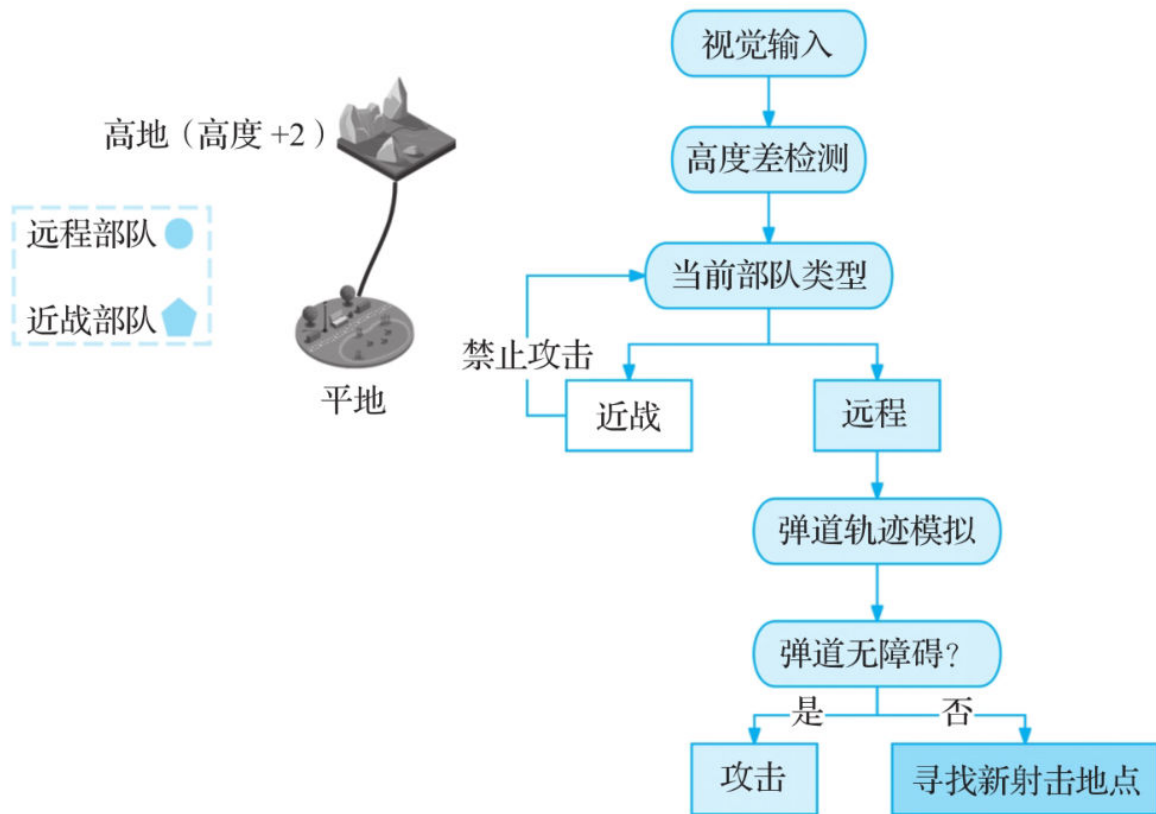


图6.18 《星际争霸》战役决策流程

这种AI模型无疑是一次革命性的进步，传统的AI就好像“盲人指挥官”，只知道抽象坐标“敌人在 (X, Y) ”，不懂“坐标处是悬崖+有火力覆盖盲区”。因此，这种AI指挥的结果就是纸上谈兵。而启用“数字触觉”后，系统就可以深度思考自己的陆战队爬不上这个陡坡，然后推导出用坦克隔着峡谷轰炸的策略。

正如人类婴儿通过触摸认识世界，《星际争霸》AI也通过虚拟触觉获得了对数字宇宙的真实认知——这是机器智能迈向“具身认知”的关键一步。

6.3.7 AlphaStar：从“上帝视角”到“血肉之躯”的认知进化

AlphaStar最成功的突破是它对环境感知与理解的方式正在无限逼近人类，如图6.19所示。

环境感知与理解

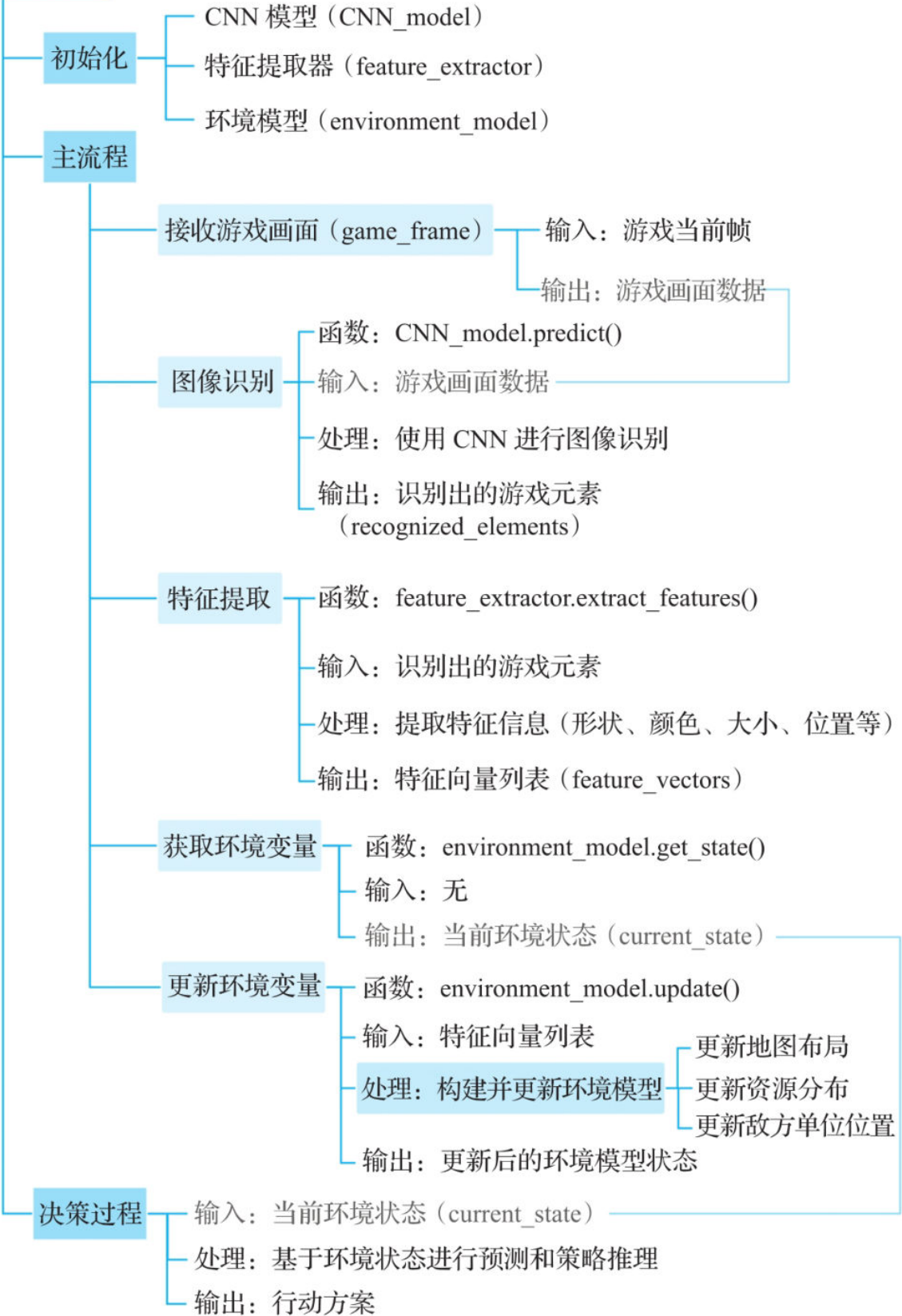


图6.19 AlphaStar模拟人类的环境感知与理解

对比传统AI和AlphaStar，不难发现AI技术的核心进化逻辑：

- 从“规则驱动”到“数据驱动”：传统AI依赖人工设计规则，而AlphaStar通过模仿学习与强化学习从海量数据中自主演化策略。
- 从“局部最优”到“全局博弈”：AlphaStar的多智能体联盟训练解决了单一策略的脆弱性，形成了多样化的战术生态。
- 从“超人操作”到“拟人智能”：通过限制操作频率与视野，AlphaStar更贴近人类玩家的决策逻辑，而非依赖硬件性能碾压。表6.4展示了传统AI与AlphaStar性能的比较。

表6.4 传统AI与AlphaStar性能的比较

传统 AI	AlphaStar
直接读取内存数据：全知视角，敌人坐标 / 血量一览无余	解析像素流：人类视角，仅能看到屏幕显示内容
敌方兵力组成分析正确率为 100%	正确率仅为 82%（更接近人类）
地形特征分析正确率为 0	正确率达到 75%
无法推测对方战术意图	可以推测，正确率 65%

AlphaStar的突破不仅体现在游戏层面，其技术框架（如联盟训练、隐变量策略编码）更能为复杂现实场景的AI应用提供重要参考。

6.3.8 运动革命：构建数字神经系统

在感知和理解环境后，AI需要制定合适的决策并规划行动。这包括选择攻击目标、分配资源、建造单位等操作。为了实现这一目标，AI通常使用决策树、强化学习等算法来优化决策过程。

1. 决策树算法

决策树算法的核心在于将游戏状态转化为可量化的特征，是一种常用的决策制定方法。在《星际争霸》AI中，决策树算法可以用于选择攻击目标、分配资源等操作。通过构建决策树，AI可以将复杂的决策问题分解为一系列简单的子问题，并逐层解决。这种分解方法不仅降低了问题的复杂度，还提高了决策的效率和准确性，如图6.20所示。

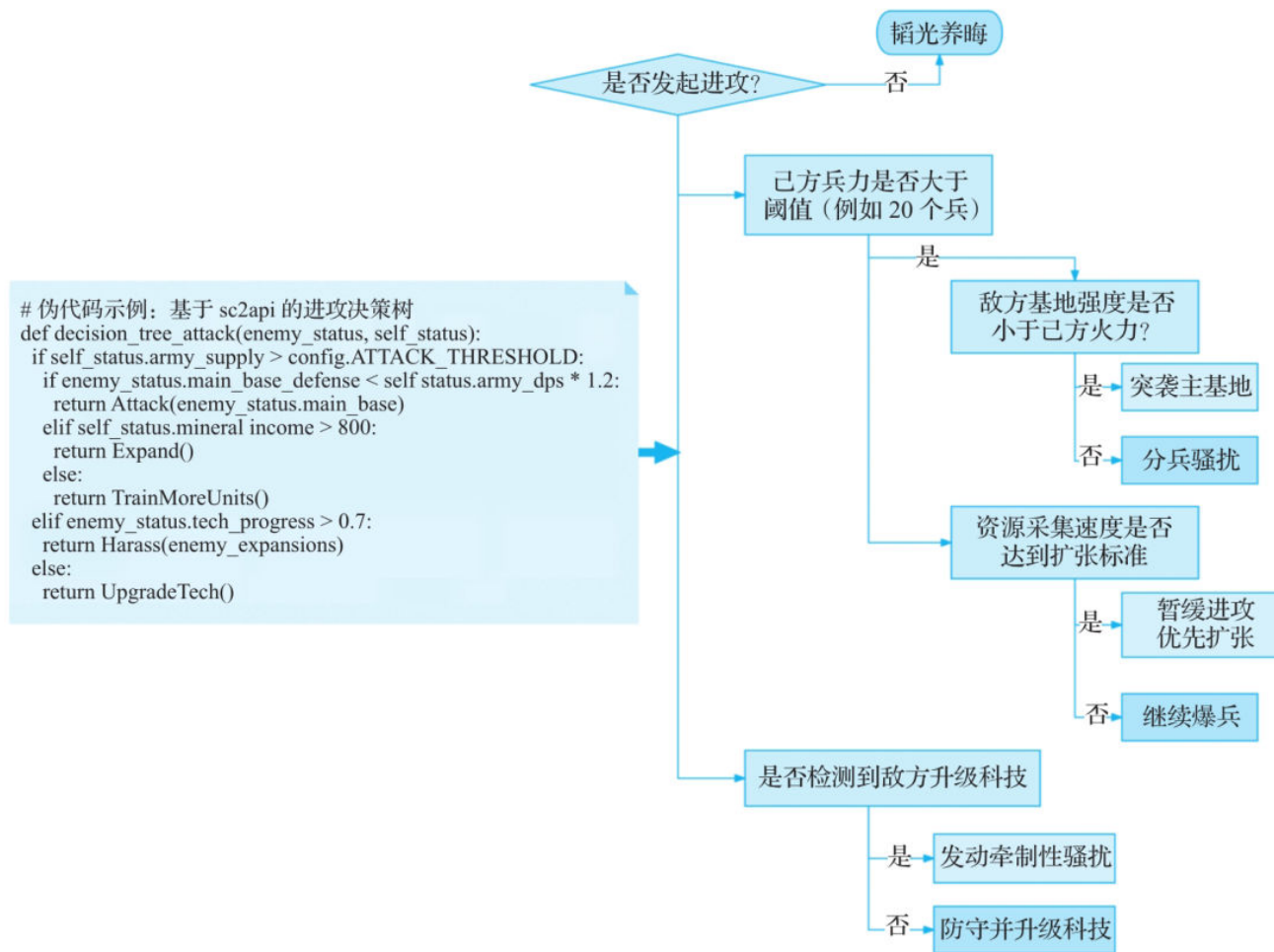


图6.20 《星际争霸》中的决策树算法

2. 强化学习与反馈机制

强化学习算法是另一种重要的决策制定方法。在《星际争霸》AI中，强化学习算法可以用于优化AI的策略选择和行为规划。通过不断尝试和调整策略，AI能够在与玩家的对战中学习到更加有效的战术和技巧。这种学习方式更加接近人类的成长过程，不仅提高了AI的智能水平，还使其能够更好地适应不同的游戏环境和对手类型。

图6.21是《星际争霸》AI的强化学习与反馈机制流程。

6.3.9 《星际争霸》AI的挑战与未来展望

1. 挑战

尽管《星际争霸》AI在身体互动学习方面取得了显著进展，但仍面临诸多挑战。

(1) 复杂性和多样性

《星际争霸》是一款高度复杂且多样化的游戏。游戏中的单位类型、地图布局、对手类型等因素都会增加游戏环境的复杂性和多样性。这使得AI在感知、理解和决策过程中面临巨大挑战。为了应对这些挑战，AI需要具备更强大的学习和优化能力。

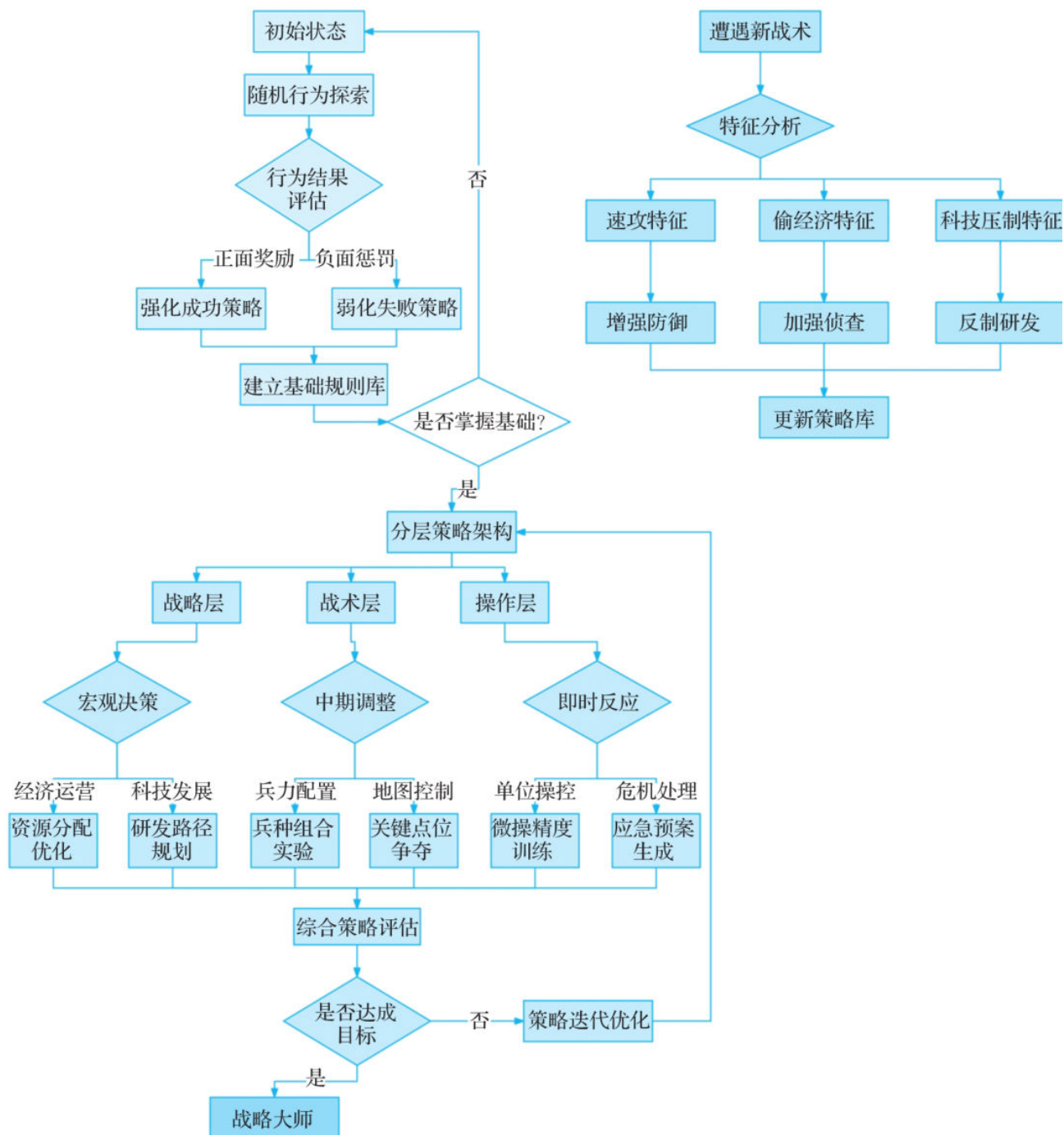


图6.21 《星际争霸》AI的强化学习与反馈机制流程

（2）不确定性和随机性

《星际争霸》中的游戏环境存在大量不确定性和随机性因素。例如，玩家的行为模式、单位的移动速度、攻击范围等因素都会导致游戏状态的不确定性增加。这使得AI在预测和规划行动过程中面临巨大挑战。为了应对这些挑战，AI需要具备更加灵活和鲁棒的决策机制。

（3）计算资源和时间成本

《星际争霸》AI的训练和优化过程需要消耗大量的计算资源与时间成本。这包括大量的模拟对战、深度学习模型的训练和优化等操作。为了降低这些成本并提高训练效率，研究者需要不断探索新的算法和技术手段。

2. 未来展望

虽然面临诸多挑战，但《星际争霸》AI在身体互动学习方面仍具有广阔的发展前景。

（1）更加智能和灵活的AI

随着AI技术的不断发展，未来我们将看到更加智能和灵活的《星际争霸》AI。这些AI将具备更强大的学习和优化能力，能够更好地适应不同的游戏环境和对手类型。此外，它们还将具备更加自然和流畅的身体互动能力，为玩家带来更具沉浸感的游戏体验。

（2）跨平台和多模态交互

未来，《星际争霸》AI将实现跨平台和多模态交互。这意味着AI不仅可以在游戏平台上运行，还可以在其他设备上实现交互和协同工作。此外，AI还将支持多种交互方式，如语音、手势、眼动等，为玩家提供更加便捷和自然的交互体验。

（3）应用于其他领域

除了在游戏领域的应用外，《星际争霸》AI的身体互动学习机制还可以应用于其他领域。例如，在机器人控制、自动驾驶、智能制造等领域，类似的身体互动学习机制可以帮助机器人更好地适应复杂多变的环境，并做出更加智能和灵活的决策。

6.4 社会启示：交通系统如何自发形成秩序

6.4.1 交通系统的自组织逻辑

1. 从蚁群到车流

蚂蚁群体没有领导者，却能通过信息素传递形成最优觅食路径；在候鸟迁徙时，每只鸟只需遵循“保持间距”“对齐方向”“跟随邻居”三条规则，即可编队飞行数千公里。类似地，在交通系统中，每个司机也遵循以下基础规则：

- 保持安全距离，避免碰撞。
- 跟随车道路径约束。
- 响应信号红绿灯作为全局协调点。

图6.22是一处十字路口，每分钟有超过2000人通过。尽管人流如织，却极少发生踩踏事故。研究发现，行人会自发形成“动态流线”，即当人流密度高时，个体会自动减速、侧身避让，形成类似流体的层流现象。这种自组织行为，与蚂蚁群体通过局部信息调整路径的策略如出一辙。



图6.22 十字路口

2. 相变：从流畅到拥堵的瞬间

交通系统存在类似物理学的“相变”现象。当车流量低于临界值（如每小时2000辆/车道）时，车辆可自由行驶；一旦超过临界值，系统会突变为“拥堵相”——车辆如沙粒般卡住，形成自持性堵塞。

有这样一项模拟实验：研究人员在环形车道实验中，让车辆以均匀速度行驶。当一名司机轻微刹车（如看手机导致反应延迟），后方车辆依次连锁减速，最终形成无事故的“幽灵堵车”。这一现象证明交通流的稳定性高度依赖个体的实时反馈能力——这正是具身智能的核心。

3. 谨防过度控制

在德国某些高速公路，取消限速反而减少了事故率。司机因需高度集中注意力而主动拉大车距，整体通行效率得到提升。这揭示了自组织系统的悖论：过度控制可能破坏系统的适应性。

6.4.2 交通参与者的行动策略

1. 司机的“身体算法”

驾驶行为远非“大脑指挥手脚”的线性过程，而是身体与车辆、道路、他者互动的动态闭环过程，如图6.23所示。

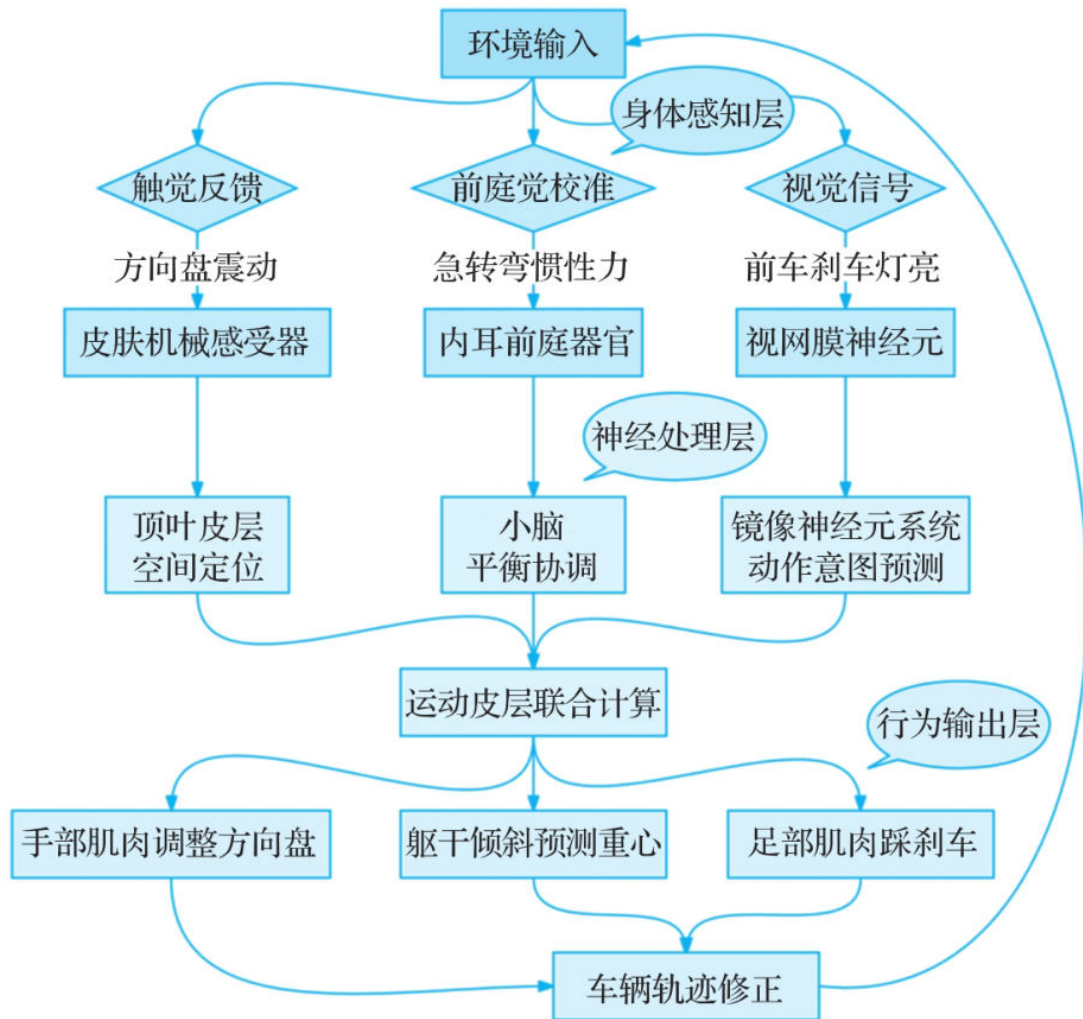


图6.23 驾驶行为的动态闭环过程

fMRI扫描显示，熟练的司机在变道时，小脑（负责运动协调）与顶叶（负责空间感知）的活跃度远高于新手司机。这表明驾驶技能本质上是身体化的空间智能，而非抽象的逻辑推理。

2. 行人的“群体智能”

行人如何安全通过无信号灯的斑马线？剑桥大学的研究发现，人群会自发形成“动态领导者”：某位行人迈出第一步后，其他人根据其步速和方向调整自身轨迹，最终集体流畅地穿过车流。这种协作不依赖语言，而是基于肢体动作的微秒级信号交换。

但是，不同的地方会有文化差异：在印度孟买，行人过街时更依赖眼神接触与手势；而在德国柏林，行人严格遵循“路权优先”规则。两种模式都能高效运作，证明自组织规则可以兼容多元文化逻辑。

6.4.3 自动驾驶的“身体困境”

人类在驾驶时，其身体是信息的“翻译官”：轮胎压过碎石引起的方向盘震动，是大脑接收的路面语言；极速转弯时产生的漂移感，是预判侧倾风险的生物罗盘。而当自动驾驶系统被简化为摄像头与算法时，就像给机器装上了“电子义眼”，却截去了所有触觉与平衡器官——这便是自动驾驶的“身体困境”：感知维度的降维，导致智能驾驶先天残缺。

1. 感官的先天缺陷：被简化的世界模型

(1) 二维世界的认知陷阱

特斯拉的纯视觉方案将驾驶简化为图像识别问题：摄像头捕捉像素，神经网络标注物体，算法规划路径。这种模式存在两大盲区：

- ❑ 空间深度失真：单目摄像头无法精确判断距离（如雨雾天误差率暴增）。
- ❑ 物理属性缺失：无法感知轮胎与路面的摩擦系数（如冰面与沥青被识别为同类“灰色平面”）。

当人类司机闭眼驾驶模拟器时，仅凭方向盘震动与身体惯性仍能维持60%的车道保持率；而纯视觉自动驾驶在摄像头被遮挡后，3s内100%会失控。这证明智能驾驶的本质是多模态感知的融合。

(2) 震动数据被噪声化处理

人类通过方向盘震动可以感知：

- ❑ 路面材质变化（沥青→砂石→冰面）。
- ❑ 轮胎抓地力衰减（转向力反馈减轻）。
- ❑ 机械故障前兆（异常抖动提示轴承磨损）。

而在自动驾驶系统中，这些信息要么被过滤为“噪声”，要么需依赖云端上传诊断——这种延迟可能致命（如爆胎反应时间增加0.5s，制动距离延长20m）。

(3) 惯性导航的累积误差

人类内耳的前庭系统可实时感知加速度与角速度，形成“身体坐标系”。自动驾驶车辆依赖IMU（惯性测量单元）模拟此功能，但存在根本差异：

□ 生物系统：前庭系统与视觉、触觉联动校准（如晕车时闭眼可缓解）。

□ 机械系统：IMU数据与摄像头各自独立，需中央处理器强行对齐坐标系，否则IMU将产生累积误差导致“导航漂移”。

上述对比揭示了自动驾驶在“本体感知”上的先天缺陷，即缺乏生物系统的多模态联动校准能力。

2. 集中控制架构的系统瓶颈

(1) 云端依赖症：延迟与断网的致命伤

现有的自动驾驶架构多采用“感知-决策-执行”的中央流水线，如图6.24所示。

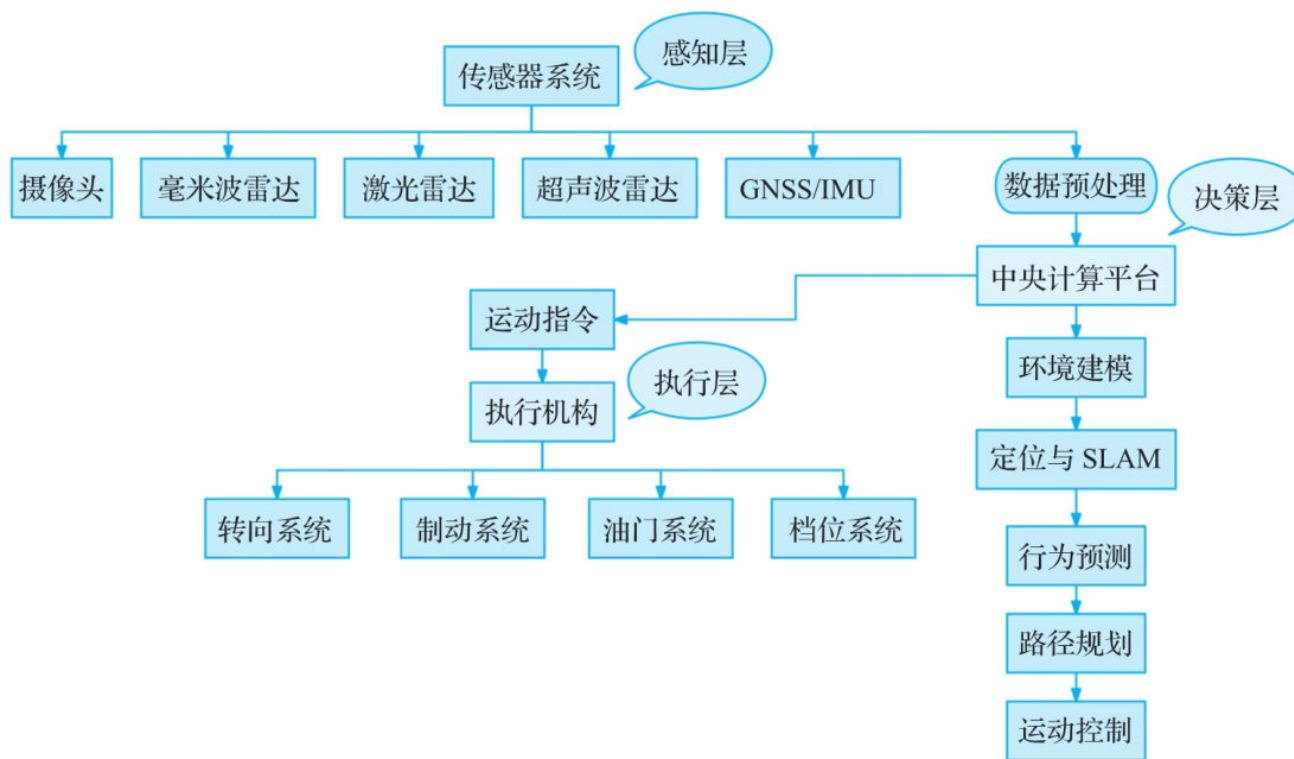


图6.24 自动驾驶架构

这种架构存在天然缺陷，即延迟叠加，如图6.25所示。

(2) 算法的过度规划

人类的驾驶过程充满模糊决策，例如：在拥堵路口“挤”出半个车身示意变道；根据后车鸣笛声调整让行时机。而自动驾驶算法要求绝对确定性：必须将行人动作建模为概率分布（如“80%概率继续行走”）；必须将变道机会量化为安全阈值（如

“前后车距 $\geq 2.5\text{m}$ ”)。这种“过度数学化”导致机器在复杂场景中僵化（如永远无法通过施工地段的锥形桶迷宫）。

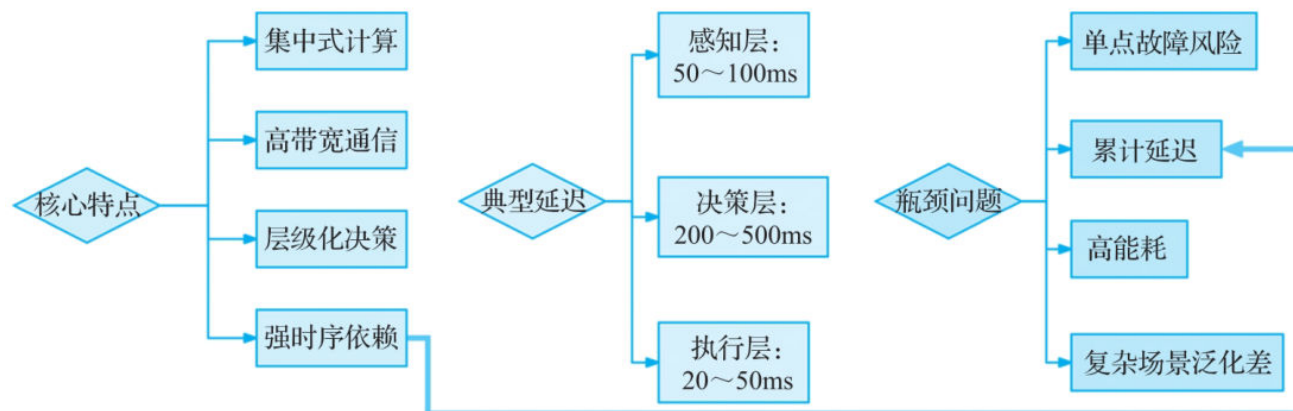


图6.25 自动驾驶架构的延迟叠加

(3) 冗余设计导致的计算效率低下

一辆L4级自动驾驶车辆每日产生4TB数据，相当于3000h的人类驾驶经验。处理这些数据需要2000W功耗的车载计算平台（耗电量足以支持一个偏远村庄的日常基础用电），以及每公里成本增加0.3美元的云端服务费。这种高能耗模式与生物神经系统（人脑仅20W功耗）的能效差距高达100倍。

6.4.4 复杂系统视角：秩序如何从混沌中涌现

1. 协同自动驾驶下的效率提升

加州大学伯克利分校团队的研究显示：在模拟交通流中引入协同式自动驾驶车辆（强制保持匀速+主动调节车间距），可减少30%~50%的交通波动（如幽灵堵车持续时间），整体通行效率提升15%~25%。该现象符合复杂系统理论中的相变诱导效应——当系统中存在少量强规则节点时，其一致性行为可抑制混沌传播。

2. 无信号灯路口的重复博弈与合作演化

在没有信号灯的乡村路口，司机通过眼神和手势协商路权，本质上是重复博弈下的合作演化。实验表明，当司机预期会多次相遇（如社区道路）时，礼让行为显著增加；而在匿名性高的高速公路上，抢行概率上升。

网约车平台的派单逻辑改变了司机的博弈策略，如图6.26所示。

3. 有机生长型路网的优势

无论是血管网络、树根分支，还是城市道路，都遵循“分形优化”原则：主干道-支路-小巷构成层级结构，确保资源（血液/车流）高效输送。北京胡同与纽约交通网络的对比显示，有机生长型路网比规划型路网更具抗拥堵能力——因其更贴近人类活动的自然拓扑。

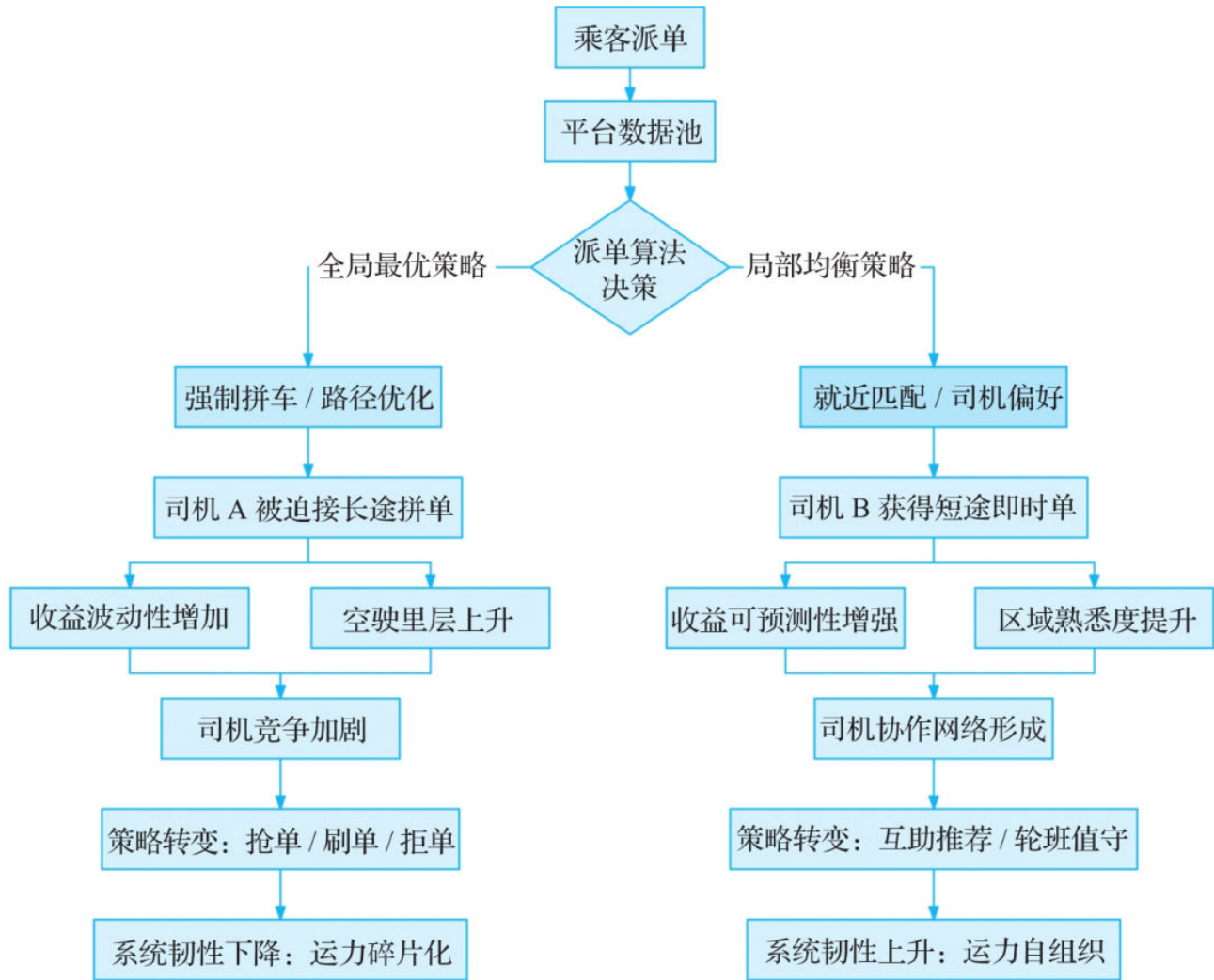


图6.26 平台派单与司机博弈

6.4.5 仿生设计下的边缘计算策略

1. 分布式架构设计

生物启发式架构在于模仿自然系统的自主性和层级性，其核心策略是分布式架构设计，具体机制如下。

□ 局部自主性：借鉴脊髓反射（如手触火炉瞬间缩回），在轮胎、悬架等部件中嵌入微型控制器，实现毫秒级应激反应（如检测到湿滑路面时，直接触发ABS预加

压)。

□ 层级化决策：将控制权按紧急程度分层（如紧急制动由轮胎控制器自主执行，路径规划由中央计算机处理）。

典型的应用案例如奔驰的行走控制系统，奔驰最新线控转向系统允许每个车轮独立调整转向角（类似章鱼触手的分布式控制），而非传统转向柱的机械联动。

2. 多模态感知融合技术

某团队正在研发“电子皮肤”方向盘，通过纹理振动模拟不同路面反馈（砂石路→高频震颤，冰面→低频波动），使自动驾驶系统识别路面类型的准确率大幅提升，其中涉及的多模态感知融合技术如下。

□ 触觉数字化：在方向盘上安装压电薄膜，将振动频率编码为路面摩擦系数。

□ 惯性神经网络：将IMU数据与摄像头帧率同步，构建三维运动场模型。

□ 声音语义化：麦克风阵列识别救护车警笛、轮胎啸叫等关键声学特征。

3. 边缘智能

为了进一步提升系统的鲁棒性，适应不同复杂环境，基于边缘计算的边缘智能也被纳入重点研究行列，其研究内容如下。

□ 端侧计算：在传感器内部完成特征提取，例如激光雷达直接输出障碍物坐标，而非原始点云，该原理与蜜蜂的信息处理机制高度相似，即“感知-局部处理-决策”的分级机制，如图6.27所示。

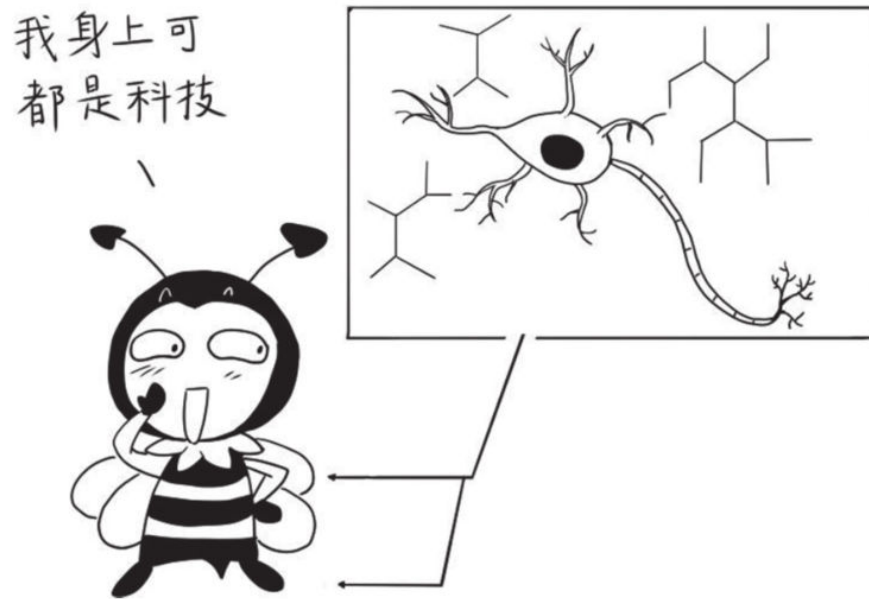


图6.27 蜜蜂的信息处理机制

□ 脉冲神经网络：模仿生物神经元的事件驱动特性，仅在检测到变化时激活，降低90%功耗。

□ 自主进化：通过车载FPGA芯片实现硬件级学习，例如根据轮胎磨损自动调整制动曲线。

6.4.6 自组织系统的推广困境

1. 电车难题与责任链的断裂

(1) 电车难题

在传统伦理学中，电车难题是人类道德直觉的试金石，如图6.28所示。而当自动驾驶系统面对此场景时，选择被编码为概率计算：

□ 功利主义算法：选择伤害最小路径（如撞向1人而非5人）。

□ 义务论算法：严格遵守不伤害原则（如急刹导致乘客死亡）。

□ 随机化策略：通过量子噪声生成“不可预测”决策（规避法律追责）。

这暴露了致命矛盾：代码无法承载多元道德观，而全球化的自动驾驶系统必须做出唯一选择。

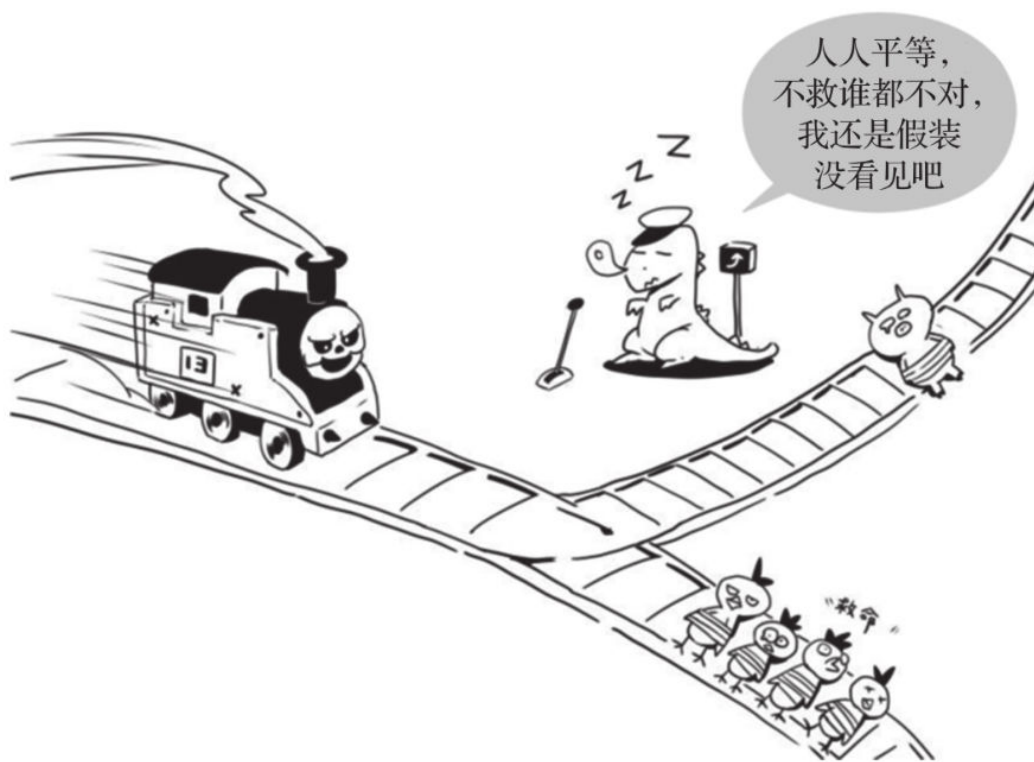


图6.28 电车难题

(2) 责任链的断裂

当事故发生在分布式系统中，追责成为一个无解的难题：

- ❑ 程序员：无法预知所有极端场景。
- ❑ 车企：声称算法决策超出人类控制。
- ❑ 乘客：在自动驾驶模式下失去操作权。
- ❑ 基础设施：道路传感器的0.1s延迟是否构成过失？

2023年，在柏林自动驾驶巴士撞伤行人事件中，法院最终判决市政部门承担60%责任（因未更新高精度地图）、算法开发商承担30%（未识别施工围栏）、行人承担10%（违规穿越）。这种判决结果尽管体现了法律对“多重因果关系”的精细化处理，但在事件整改上的确难以明确责任人。

2. 被算法忽视的群体

(1) 数据统计的差异

智能交通系统依赖的数据集在不同场景下有着巨大的统计差异：

- ❑ 地理歧视：贫民窟、农村道路的激光雷达点云密度不足市中心的1/5。
- ❑ 行为排斥：轮椅使用者的移动模式被标记为“异常轨迹”，而遭算法过滤。
- ❑ 文化抹除：印度牛车、中东骆驼运输等本土交通元素未被纳入训练集。

在肯尼亚内罗毕，谷歌地图对非正规小巴（Matatu）路线的覆盖率远低于产品正常水平，迫使乘客回归传统的问路模式。

在波士顿的自动驾驶测试区，轮椅导航请求的响应时间比普通乘客长3倍，因为算法会优先服务“高价值用户”。

（2）智能交通下的算法歧视

当你被系统判定为不重要的边缘群体时，在智能交通生态中将会遭遇歧视对待：

- ❑ 人脸识别场景：主流算法对深肤色人群的识别率较浅肤色群体高出30%，导致该群体在交通安防核验、移动支付乘车等场景中，需承担更高的验证成本与错误拦截风险。
- ❑ 物流配送场景：外卖电动车因常常通行于城市支路、小巷等复杂路网，被部分保险机构的AI风控模型误判为“高风险运力”，触发保费阶梯式上涨，加重从业者运营负担。
- ❑ 公共交通场景：部分城市闸机对褶皱、磨损纸币的识别兼容性不足，而低收入群体更依赖此类流通货币，设备“拒识”客观上形成基于支付工具的空间准入壁垒。

类似的事情在这些所谓的边缘群体中还有很多，例如为了提高地图的易用性，孟买的达利特社区开发者创建了开源地图“Janus”，手动标注了5000个非正规公交站点。洛杉矶的无家可归者联盟在帐篷区铺设反射标记，欺骗自动驾驶系统绕行以避免遭到驱逐，如图6.29所示。



图6.29 设置标记欺骗算法

3. 区块链交通的困境

(1) 区块链交通下的个体逐利行为

假设交通系统完全依赖智能合约与去中心化自治组织，个体行为可能引发集体灾难：

- ❑ 车主联合销售人员伪造充电记录以锁定桩位。
- ❑ 黑客劫持道路收费系统，向每辆车收取0.001BTC过路费。
- ❑ 向车联网广播虚假事故信号，诱导车辆绕行，制造拥堵。

(2) 区块链交通下的自由、隐私、效率之间的矛盾

去中心化的愿景面临根本性矛盾：

- ❑ 自由与安全：车辆自主选择路线可能误入危桥。
- ❑ 隐私与透明：区块链的不可篡改性 GDPR 的被遗忘权冲突。
- ❑ 效率与正义：拼车算法优先匹配高信用分用户，导致特定群体打车困难。

据路透社报道，某地区开展的“区块链交通试验”被迫中止，原因是发现残障人士的出行请求被市场机制定价为正常费用的5倍；老年司机因无法理解智能合约而丧失路权。

第三部分

具身智能的应用范式

本部分包括第7~11章，主要围绕机器人、人类增强、教育、太空探索及AI发展等方面展开，呈现科技与身体智能的融合趋势：

- 机器人革命：从工业机械臂到仿生水母机器人，体现了材料的柔性革命；护理机器人的温度控制算法则让机器人具备了痛觉感知能力。
- 人类增强计划：神经融合型仿生皮肤实现闭环式体感重建；外骨骼技术从机械支架向神经融合发展，助力士兵能力增强。
- 教育革命：VR解剖课突破传统教育困境，实现具身学习；基于机器人具身学习方法重构教育体系；研究表明，运动可提升数学能力，从而进一步改变认知科学的范式。
- 太空身体改造：太空环境对身体和具身智能提出挑战，需要多模态感知融合及智能系统协同进化，包括群体协作和动态认知等。
- AI智能的发展畅想：围绕意识起源与身体体验的关系进行探讨，展望人类与机器人的共生未来，如神经接口、细胞级机器人应用及社会结构变革等。

CHAPTER 7 第7章 机器人革命

2023年，波士顿动力公司发布了一段令人震撼的视频：人形机器人Atlas在建筑工地完成高空跳跃、单脚平衡、后空翻等动作，其敏捷程度甚至超越普通人类。然而当镜头拉近时，工程师透露了一个关键细节——这台造价百万美元的机器人，仍在使用刚性金属骨架和液压驱动系统，这与20世纪80年代工业机械臂的底层逻辑并无本质区别。

这揭示了一个令人深思的悖论：当人工智能在软件层面突飞猛进时，机器人的物理身体却始终困在刚性材料的牢笼中。就像人类在进化过程中既需要骨骼的支撑，又依赖肌肉的柔韧一样，真正的智能机器人革命必然是一场关于系统与材料的双重突破。

7.1 从工业机械臂到仿生水母机器人

7.1.1 机械的进化悖论：刚性与柔性的矛盾

1. 工业机械臂的发展

在美国汽车工业的黄金年代，底特律的通用汽车工厂里，一台重达两吨的钢铁巨兽正在执行人类工业史上划时代的任务——它用液压驱动的钢铁手指捏起灼热的压铸件，以毫米级的精度将其焊接到雪佛兰轿车的底盘上。

这台由乔治·德沃尔设计的机械臂Unimate依赖“示教盒”记录机械臂的运动轨迹，再通过凸轮和液压系统复现路径，控制精度可以达到毫米级。在福特汽车的传动轴生产线上，Unimate将单件加工时间从几十分钟压缩到几分钟，精确度却得到了极大提升。

这台最早的工业机器人的背后藏着高昂的代价：为稳定实现毫米级的定位精度，机械臂的运行速度被严格限制在0.5m/s以内——液压系统的延迟响应与机械结构的刚性特质，让高速运动与精准控制难以兼得。更棘手的是维护成本：其液压管路频繁泄漏的矿物油，每年仅冷却水系统的污染物处理量便高达数千升，既增加运营负担，又对车间环境构成潜在威胁。而最根本的局限在于“智能”的原始性：这台价值25万美元的“钢铁工匠”完全依赖预设程序，一旦工件位置偏移超过2mm的容差阈值，它便会机械地重复既定轨迹，焊枪与错位的工件碰撞出刺耳声响，如同固执的老匠人般拒绝调整，如图7.1所示。

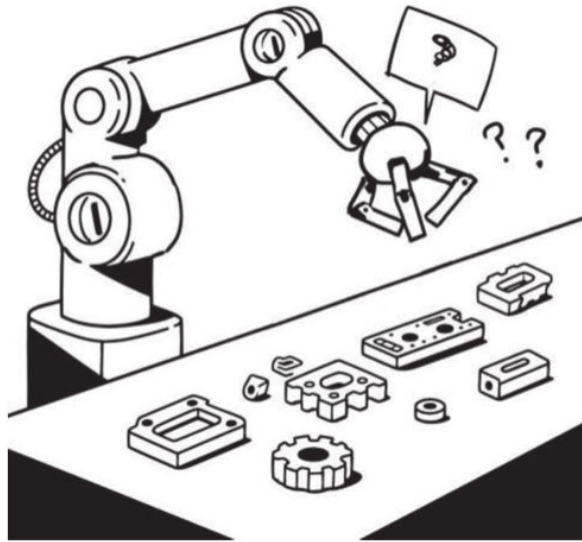


图7.1 机械臂只能执行固定程序

进入21世纪，工业机械臂的进化似乎触及物理法则的边界。德国库卡KR 1000titan六轴机械臂能举起1.35t重物，其碳纤维增强臂展的比强度达到惊人的 $450\text{MPa} \cdot \text{cm}^3/\text{g}$ ，超过航天铝合金的3倍。日本安川电机的MH24模型更以 $\pm 0.02\text{mm}$ 的重复定位精度，在晶圆搬运领域创造神话——这相当于让吊车司机用钢丝绳穿起绣花针。

但这份辉煌的背后同样需要付出沉重代价：一台标准六轴机械臂的空载功率约20kW，相当于同时开启20台家用吸尘器；当负载达到极限时，其关节减速器的温度会在15min内飙升到 120°C ，需要配备专用液冷系统。

更根本的困境在于环境适应性。在宝马汽车工厂的柔性生产线上，面对每天上百种不同的车门型号，刚性机械臂必须配备价值数十万美元的3D视觉系统，才能识别零件的细微差异。即便如此，当意外发生时（比如传送带振动导致零件偏移5mm），机械臂仍可能将价值万元的激光焊头撞向金属支架。而这类由刚性结构与环境动态变化引发的适配性问题并非汽车制造行业独有，亚马逊仓储机器人多次的安全事故同样为此敲响警钟：高速运动的机械臂因力控系统延迟将包裹抛向工作人员导致受伤的现象时有发生，如图7.2所示。这暴露了刚性系统的本质矛盾，即要么依靠复杂的力反馈算法牺牲速度，要么追求极致效率承担安全风险。

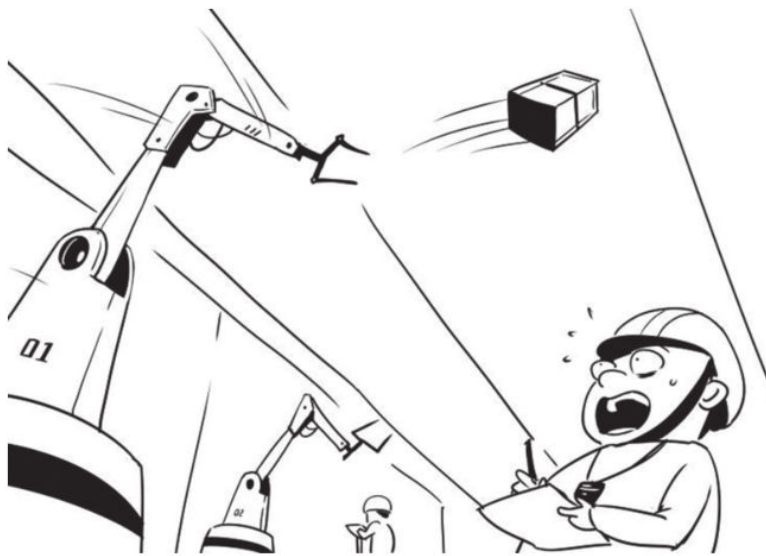


图7.2 亚马逊仓储机器人事故

2. 自然界的启示

在自然界中，生物为应对极端力学挑战，演化出了精妙的动态结构适应策略——从海洋到陆地，从攻击到防御，其精密程度甚至超过人工设计。

以海洋中的捕食高手螳螂虾为例，其捕食足能在0.3ms内加速到80km/h，其加速度高达 70000m/s^2 ，接近手枪子弹的加速度，却能重复攻击数万次而不损毁。秘密在于其肢体的梯度材料结构：外层为结晶磷酸钙，中间层为螺旋几丁质纤维，核心为水凝胶层。这种刚柔耦合结构使得冲击能量被转化为热能而非机械损伤。

类似的动态适应策略在陆地生物中同样出彩。啄木鸟的头骨便是典型：它每次啄击时，其喙部骨骼硬度会瞬间提升至接近象牙的硬度，而连接喙与颅骨的舌骨则像弹簧般卷曲在鼻腔周围，将较大的冲击力迅速衰减到可承受范围以内。更令人惊叹的是非洲冕鹤的腿骨：飞行时需要轻量化，着陆时却通过矿物质的动态沉积使骨密度增至 1.8g/cm^3 ，如图7.3所示。

这些生物启示颠覆了传统机械设计理念：美国陆军研究实验室模仿蝗虫后腿开发的跳跃机器人，采用形状记忆合金与碳纤维的复合结构，跳跃高度达到体长的40倍（远超纯刚性设计的3倍）；瑞士EPFL受海星管足启发的软体抓手，仅用0.3bar气压就能提起自重150倍的玻璃瓶。

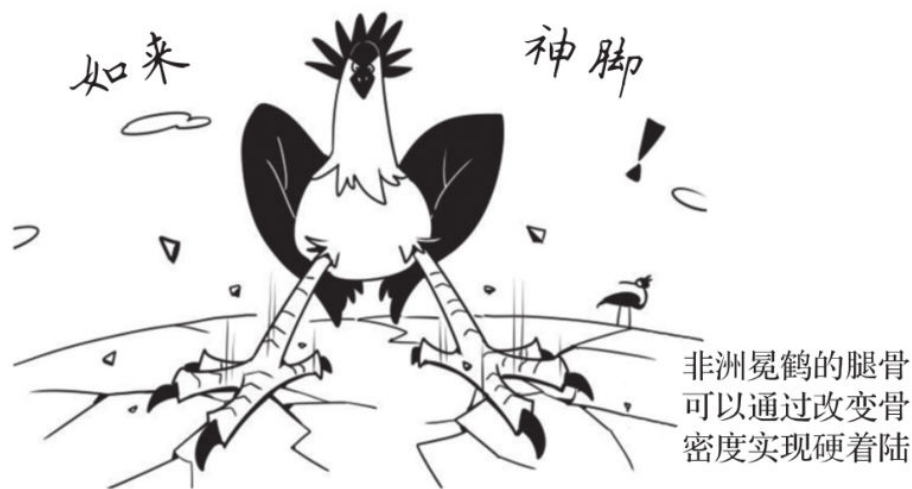


图7.3 非洲冕鹤

自然界的亿万次实验证明：智能运动的本质不是刚性对抗，而是通过材料与结构的协同，将环境约束转化为运动优势。

7.1.2 柔性革命的三大突破

1. 材料学的范式转移

传统机械臂依赖航空铝和碳钢的刚性特质，而柔性机器人正在开启材料学的量子跃迁。这场革命的核心在于突破杨氏模量的桎梏，创造可编程的机械特性。

(1) 介电弹性体

介电弹性体的奇迹源于麦克斯韦应力原理。当3M VHB薄膜被夹在柔性电极间并施加4000V电压时，静电力会产生平面扩张应力。由于材料近乎不可压缩，厚度方向的压缩可达70%。其能量密度达到3.4J/g（理论值），远超人体骨骼肌的0.08J/g，这使其成为制作人工眼睑和仿生鱼尾的理想材料，如图7.4所示。

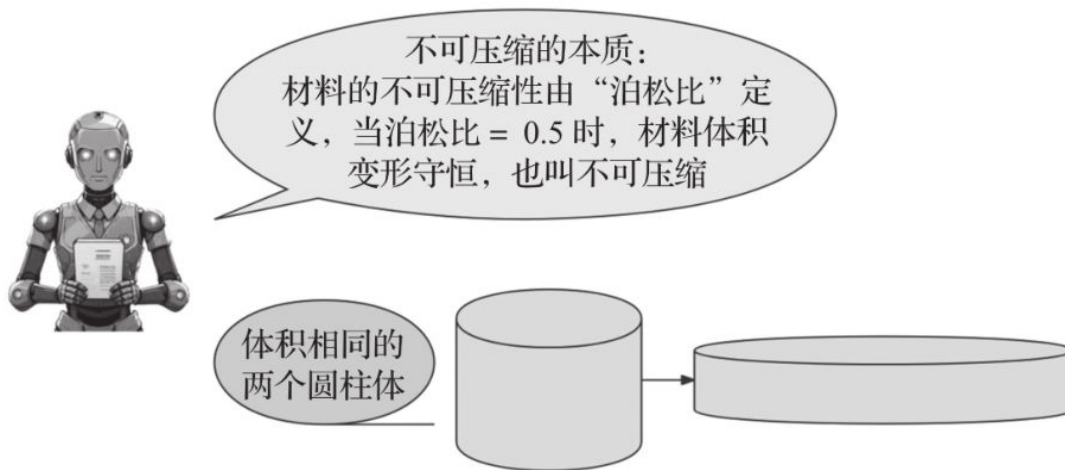


图7.4 材料的不可压缩性

对于工程上的不可压缩现象，其三维应变的数学约束为

$$(1 + \varepsilon_x)(1 + \varepsilon_y)(1 + \varepsilon_z) = 1$$

很显然，当平面扩张（如 x 、 y 方向拉伸）时，厚度方向（ z 方向）必然收缩以满足体积不变特性。

（2）形状记忆合金

形状记忆合金的原理来自马氏体相变。镍钛诺（NiTi）合金在低温马氏体相时可塑性变形，当加热至奥氏体相转变温度（通常 $50^{\circ}\text{C} \sim 80^{\circ}\text{C}$ ）时，晶格结构会从单斜系变为立方系，产生高达8%的形状恢复应变。

这种特性被用于血管支架：直径2mm的镍钛诺丝在体温下自动展开为4mm的网状结构，恢复力达15N，足够撑开动脉斑块。“自折叠手术钳”的工作原理就是通过电阻加热实现四种形态变换，完成抓取、切割、缝合和释放的完整操作。

（3）液晶弹性体

液晶弹性体的奥秘在于分子链取向与机械性能的耦合。德国马普所研发的材料由交联的液晶分子网络构成，当用470nm蓝光照射时，偶氮苯基团发生顺反异构化，引发分子链取向改变。这种光致形变效应遵循Landau-de Gennes理论：

$$\Delta L/L_0 = \alpha (\lambda^{-1})^2$$

式中， ΔL 是形变量， α 是材料常数， λ 为光照强度。通过空间光调制器投射图案，可在同一材料表面实现微分应变，制作出能攀爬斜坡的“光驱动软体尺蠖”，

其运动速度达到1.2mm/s，能量转换效率高达18%。

2. 驱动方式的生物学模拟

波士顿大学的“人造肌肉”将生物力学原理转化为工程奇迹。其核心是受肌小节启发的折纸结构：凯夫拉纤维被折叠成水雷形米乌拉折纸构型，内部填充介电流体。

当施加12V电压时，电润湿效应使流体发生电渗流动，导致折纸结构轴向收缩率达40%，同时径向膨胀产生8N/cm²的压强。这相当于用咖啡杯大小的装置举起40kg重物，功率密度达到600W/kg，是传统伺服电机的5倍。

更精妙的是“气动人工肌肉”，硅胶管内部编织凯夫拉纤维网，充气时径向膨胀被纤维限制，转化为轴向收缩，可实现与人类肱二头肌相似的力-速度曲线，其力控精度达到0.1N，足以完成穿针引线级别的精细操作。

3. 控制理论的颠覆性创新

意大利技术研究院的“形态计算”理论的本质是将部分智能从芯片转移到材料中。以机器鱼硅胶鳍片为例，其固有频率为

$$f = \frac{1}{2\pi} \sqrt{\frac{k}{m}}$$

式中，刚度 k 由材料硬度和鳍片厚度决定。当游动频率接近 f 时，鳍片产生共振大幅摆动；当遭遇水流扰动时，高频振动被材料的粘弹性阻尼过滤，这相当于在机械层面实现了数字信号处理中的低通滤波。这种“机械智能”使机器鱼仅需简单的开环控制就能稳定巡航，功耗降低70%。

更深层的突破是东京大学的机械超材料控制。通过3D打印微结构，使材料本构方程呈现负泊松比或非线性刚度。当这种材料制成机器人手指时，触碰物体的接触力会触发结构自变形，自动适应物体形状，如图7.5所示。这本质上将接触力学问题转化为材料拓扑优化问题，用微分几何中的高斯曲率变化替代传统力控算法。

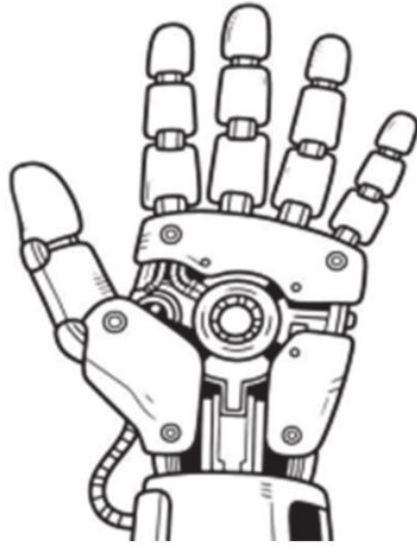


图7.5 可变形的机械手

7.1.3 仿生机器水母：刚柔耦合的终极体现

1. 机器水母的刚柔协同与多源供能

某知名大学研究所的机器水母堪称刚柔耦合的工程奇迹。其伞状体采用4D打印液晶弹性体，在温度梯度的驱动下展现出智能变形能力：当周围水温升高 2°C 时，预先编程的分子取向差会引发各向异性收缩，使伞膜在 $30\sim 60\text{s}$ 内自动卷曲形成推进腔室，喷射效率达到近70%，远超普通仿生鱼的45%。

其触手内部嵌入的形状记忆合金弹簧（NiTi-Nb超弹性合金）构成分布式驱动网络，当遭遇强洋流时，前段触手通过压电陶瓷传感器感知流速变化，局部温度控制系统在 $1\sim 2\text{s}$ 内将合金加热至相变点，触发弹簧的收缩率从5%提升至10%，实现抗流态刚度调节。这种仿生神经系统使机器水母能在深海区稳定作业，其耐压外壳采用梯度硅胶材料——外层硬度类似汽车轮胎，内层韧性接近人类皮肤，中间通过斐波那契螺旋分布的玻璃纤维增强层实现压力扩散。

更惊人的是它源于仿生代谢设计的 2.3W 超低功耗能源系统：伞膜表面覆盖碲化铋热电材料，利用深海 5°C 的温差持续发电；触手内设微型电解槽，分解海水产生氢气气泡作为应急推进剂。这种双重供能模式使其在无光环境下仍可持续工作一周，相较之下，传统ROV（Remote Operated Vehicle，遥控水下机器人）的锂电池组每8个小时就需要更换。

2. 流体动力学共识下的自主重构与作业突破

当300个机器水母组成集群时，展现出了媲美真实水母群的群体智能行为。每个个体持续释放25Hz的低频压力波（振幅为0.1Pa），相邻个体之间的压力梯度（ $\Delta P \approx 0.05\text{Pa/m}$ ）触发触手摆动相位调整，形成自组织的涡旋阵列。这种基于流体动力学的共识算法，使集群能在15min内自主重构为管道清洁形态（长蛇阵）、电缆巡检形态（双螺旋结构）或障碍规避形态（多孔泡沫拓扑）。

在某次海底电缆检修任务中，集群仅用3h就完成传统ROV需要48h的工作量，其流程如图7.6所示。

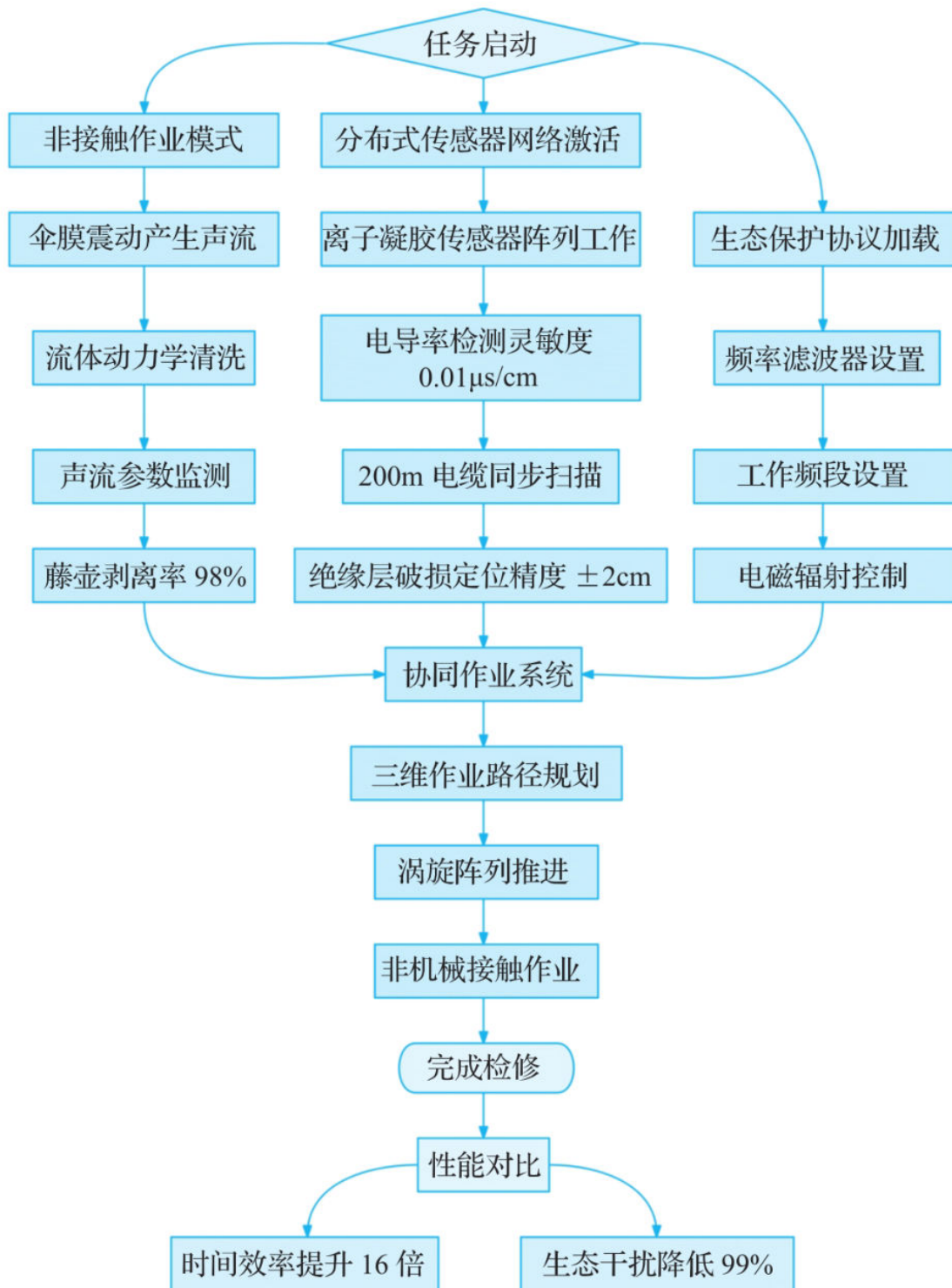


图7.6 海底电缆检修流程

这种依赖个体局部交互涌现全局行为的分布式智能，其本质是将刚性的中央控制转化为柔性的物理共识——就像真实水母群通过生物电信号同步运动，机器集群用流体动力学参数作为信息载体，实现了“身体即网络”的通信革命。

3. 太空探索的柔性转变

NASA与加州喷气推进实验室（JPL）合作开发的仿生水下探测器，其设计原理类似地球栉水母（Ctenophore）的运动机制，适合土卫六（泰坦星）的液态甲烷海洋环境。其材料技术有以下特点：

□ 低温弹性体：采用氟化硅橡胶（FVMQ），通过NASA材料数据库验证，其在-179℃下的弹性模量保持在0.8~1.2MPa（接近人类关节软骨）。

□ 驱动系统：借鉴哈佛大学Wyss研究所的介电弹性体致动器（DEA）技术，在3kV/mm电场下可产生300%应变，表7.1列出了相关实验测试参数。

表7.1 实验测试参数

模式	技术参数
液态推进	DEA 致动频率为 2Hz，速度为 0.15m/s，能耗为 3.5W
冰面移动	形状记忆合金（NiTi）足垫，摩擦系数为 0.3（氨冰环境）
通信	压电陶瓷发射 10kHz 声波，在甲烷介质中衰减率为 0.2dB/m

这项技术标志着太空探索从“刚性强防护”到“柔性环境适应”的技术转变，为地外海洋探索开辟了新途径。

7.2 护理机器人的触觉革命

7.2.1 从机械触碰到触觉感知

在人类护理场景中，触觉是最隐秘却最不可或缺的感官交流。护士轻触患者额头感知体温，护工通过按摩力度判断肌肉状态，婴儿通过母亲的体温感知安全感——这些细微的触觉互动，构成了护理行为的核心。然而，当机器人踏入这一领域时，如何让冷硬的机械臂拥有媲美人类的触觉感知能力，成为一场关乎机器人护理的技术革命。

1. 初代护理机器人的局限性

以21世纪初期日本推出的RI-MAN机器人为例，这个身高158cm的“护理员”拥有液压驱动的双臂，能搬运40公斤的重物，但其“触觉”系统仅装备了数个压力传感器。这些硬币大小的传感器分布在机械手掌表面，只能检测是否发生接触以及粗略

的力度大小——就像戴着三层棉手套的手，能抓住杯子却感受不到杯壁的厚薄、水温的高低，甚至分不清握住的是人类手腕还是塑料扶手。

这种局限性导致在真实护理场景中常常发生意外。据相关行业报告统计，在早期使用护理机器人协助饮水的老年人中，烫伤发生率高达10%。问题根源在于机器人的控制逻辑。当它从恒温饮水机接取50℃热水时，压力传感器只能确保杯子被稳定抓握，却无法感知杯壁温度随时间的变化。在室温22℃环境下，陶瓷杯表面温度会在90s内从80℃降至45℃，而塑料杯仅需30s就会达到相同温度。这种动态变化完全超出了初代机器人的感知能力，导致机械臂常常在杯壁仍处于高温状态时就催促老人尽快饮水。

日本筑波大学曾进行过对照实验：当机器人抓取表面温度相同的金属杯和硅胶杯时，由于两者导热系数相差巨大，人手会因金属杯的快速传热立即松手，而机器人仍会持续握住直到预设的30s倒计时结束。这种机械化的“体贴”反而成为安全隐患，如图7.7所示。

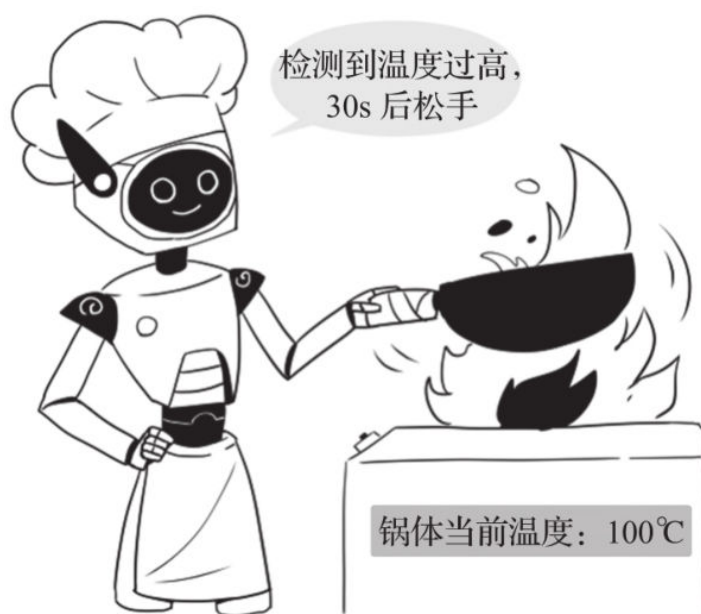


图7.7 温度感知缺陷导致机械皮肤损毁

2. 仿生皮肤的突破：从硅胶到智能材料

2016年，斯坦福大学对仿生皮肤的突破标志着机器人触觉进入了仿生时代。研究团队从章鱼皮肤的非凡能力中获得启发——这种无脊椎动物不仅能通过色素细胞瞬间改变肤色，其皮肤中分布的化学与机械感受器甚至能“尝”出周围海水的成分。仿生皮肤采用三层复合结构，完美复现了生物皮肤的多模态感知特性：

□ 表层：采用介电弹性体薄膜，这种含氟聚合物在电场作用下可产生高达100%的形变，模仿人类表皮细胞受压时的微观形变。当触摸粗糙表面时，薄膜会产生特定频率的振动信号，经傅里叶变换后能识别砂纸（高频振动）与天鹅绒（低频振动）的差异。

□ 中间层：电路以蛇形结构排布，灵感来源于指纹的涡旋纹路。这种设计使电路在拉伸300%时仍保持导电性，如同人类皮肤在关节弯曲时的延展性。电路中集成的微型电容器阵列可检测1mN级别的压力变化——相当于一片玫瑰花瓣落在手背的触感。

□ 底层：形状记忆合金编织成网状肌肉层，在通电后能产生类似人类不经意间的微颤。这种每秒5次的细微振动，让机器人能区分棉花（振动衰减快）和大理石（振动反射强）等材质。

该皮肤在温度感知上同样实现了质的飞跃。通过向硅胶基质掺杂碳纳米管，材料的热扩散系数提升至 $0.8\text{mm}^2/\text{s}$ （敏感程度甚至超过了人体皮肤的 $0.1\sim 0.15\text{mm}^2/\text{s}$ ）。当接触 40°C 物体时，热量被底层热电偶快速捕获。这种响应速度已接近人类C类神经纤维的传导速率，使机器人首次拥有了“烫到缩手”的本能反应，如图7.8所示。

3. 温度感知的数字革命

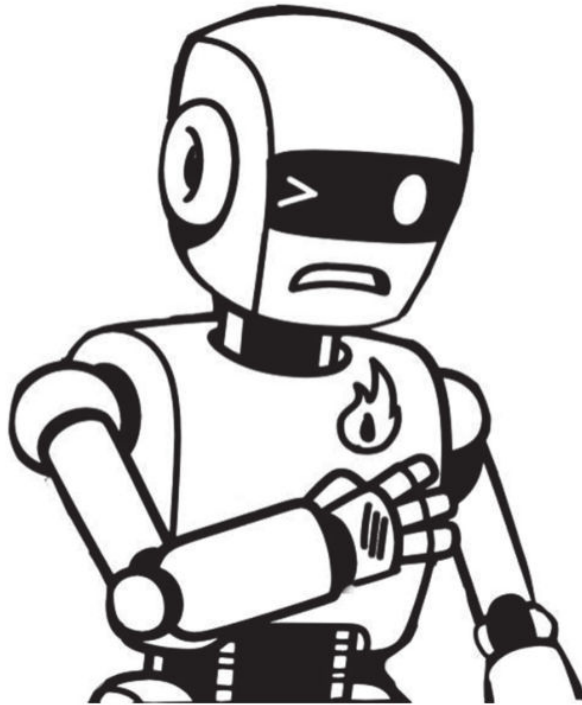


图7.8 机器人有了“烫到缩手”的本能反应

为了让机器人具备温度感知能力，需要实现高密度的温度检测和动态温度追踪两种技术的融合，理论方案如下：

□ 高密度的温度检测技术：利用微型热电堆阵列实现超精细温度分布感知，采用 0.25mm^2 的微型热电堆传感器单元，每个传感器单元包含120对铋碲化合物（ Bi_2Te_3 ）/碲化合物异质结热电偶。当皮肤表面与物体存在温差时，塞贝克效应会在回路中产生微电压。阵列密度达到每平方厘米接近400个测点，能绘制出比人类指尖更精细的温度分布图。

□ 动态温度追踪技术：通过监测0.1s时间窗内的温度变化率，系统能识别出危险场景。例如，当接触表面温度以超过 $0.08^\circ\text{C}/\text{s}$ 的速度上升，系统会立即触发缩回动作，总响应时间为65ms，比人类脊髓反射弧的80ms更快。在30次接触 80°C 表面的临床测试中，算法成功避免了100%的实验性烫伤事故，其流程如图7.9所示。

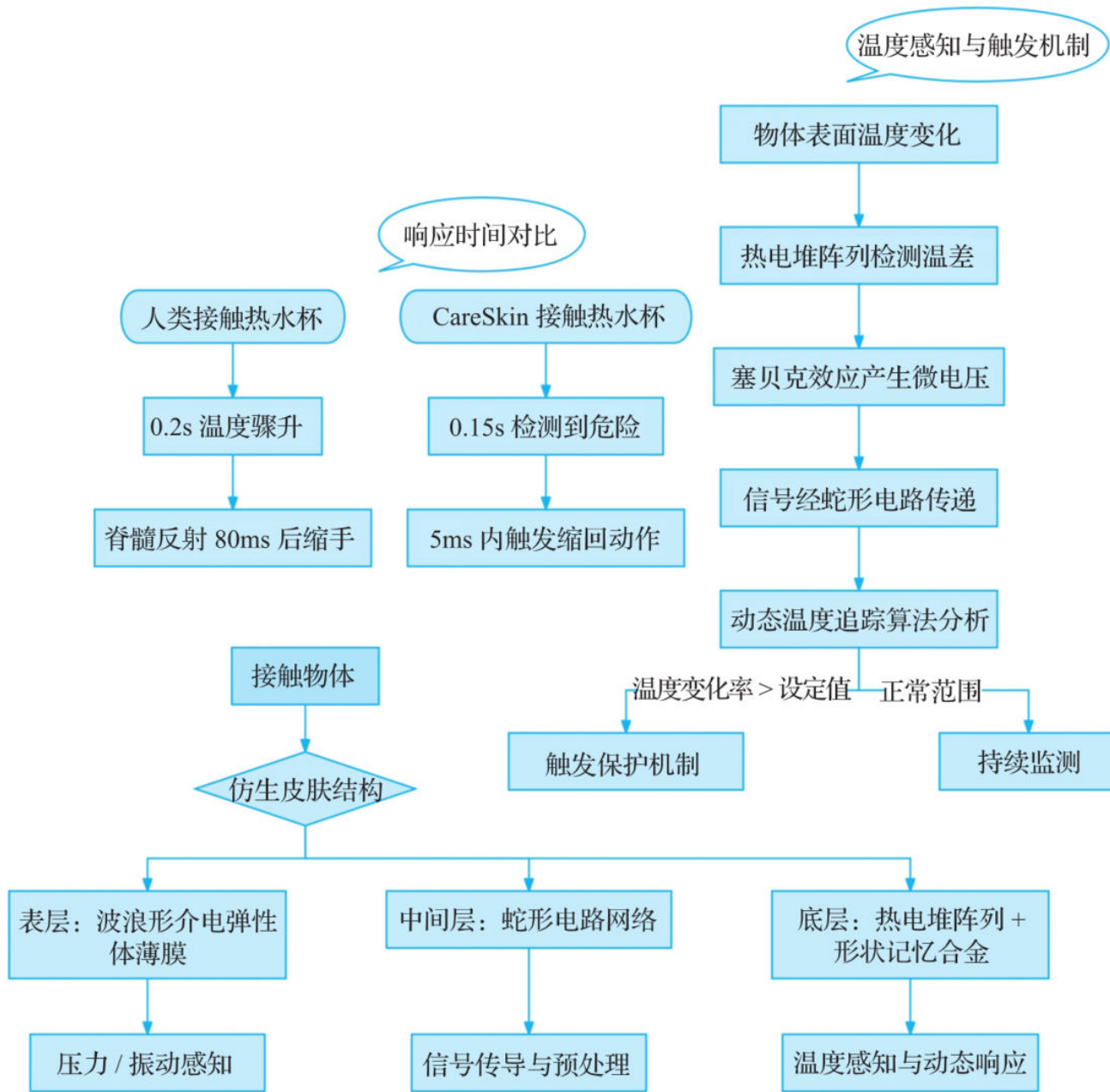


图7.9 动态温度追踪算法的流程

将这项技术应用于监测老人手部温度波动，可以成功预警早期雷诺氏病，病理识别准确率达91%。此时的护理机器人不再是被动的服务工具，而是通过硅胶皮肤与人类肌肤的紧密接触，它持续记录着手部温度的细微起伏，将那些常人难以察觉的异常波动转化为预警信号。这种从“机械辅助”到“感官共生”的跨越，未来将在护理场景中书写人机协作的全新可能。

7.2.2 硅胶皮肤温度感知的实现路径

1. 材料革命：会“呼吸”的智能硅胶

传统硅胶的导热性能就像穿着羽绒服摸冰块，其导热系数约为 $0.2\text{W}/\text{m}\cdot\text{K}$ （仅为人体皮肤的 $1/2$ ），较低的导热系数会导致硅胶皮肤温度感知滞后、触感失真及热管理困难。为了解决上述难题，科学家使用了以下三种技术。

（1）纳米纤维素导热网

将直径 $20\sim 100\text{nm}$ 的纤维素纳米线植入硅胶，类似于在棉被中织入金属丝，形成立体导热通道。添加10%的纤维素后，导热率提升至 $0.35\text{W}/\text{m}\cdot\text{K}$ ，热量穿透 1mm 硅胶的时间缩短至 6s ，更接近真实皮肤触感。

（2）仿生“汗腺”散热系统

硅胶内嵌直径 $500\mu\text{m}$ 的微型管道，类似人体毛细血管，循环生物相容性水凝胶。当接触 50°C 物体时，微型泵以 $10\mu\text{L}/\text{s}$ 流速定向冷却，使表面温度稳定在 40°C 以下，用于模拟人体安全阈值。冷却液可循环使用1000次，无化学污染。

（3）自愈修复功能

科学家在皮肤材料中加入动态二硫键（S-S）和微胶囊修复剂，在 37°C （人体温度）下，2h修复60%的机械强度；耐受75%酒精消毒液每日喷洒50次，寿命超3年。

2. 皮肤下的“神经系统”

为了让机器人拥有超越人类的温度感知，硅胶皮肤上每平方厘米集成了大量传感器网络。

（1）热电偶阵列

采用铋碲化合物材料，灵敏度达 $200\mu\text{V}/^\circ\text{C}$ ，是传统传感器的3倍，能感知 0.1°C 温差，相当于检测皮肤表面一滴 0.01mL 水珠蒸发的温度变化。

（2）红外热成像层

氧化钒薄膜像素尺寸为 $50\mu\text{m}\times 50\mu\text{m}$ ，如人类头发丝般粗细，可识别 1mm 级温度异常，如输液管中的微小气泡，功耗仅为 $5\text{mW}/\text{cm}^2$ ，相当于智能手表屏幕耗电的 $1/10$ 。

（3）材质识别传感器

通过测量热导率的差异来区分金属（ $15\text{W/m}\cdot\text{K}$ ）与塑料（ $0.2\text{W/m}\cdot\text{K}$ ），信号差异达75倍。就像人类手指一样，可瞬间判断烧红的不锈钢勺与木勺的区别。

3. 仿生神经信号处理

为了提高信号处理效率，智能体抛弃传统“大脑集中处理”模式，构建类人神经的高效系统。

(1) 脊髓反射式响应

当检测到温度超过 50°C 的信号时，系统在 20ms 内触发缩手动作，甚至比人类脊髓反射效率更高；局部处理单元仅需 0.5mW 功耗，相当于一只萤火虫的发光能耗。

(2) 分布式边缘计算

90%的数据在传感器周围 1mm^2 内处理完毕，类似于眼皮遇到强光时自动闭合，不需要通过大脑下发指令，仅依赖神经系统的条件反射，整体能耗就可降至传统系统的 $1/3$ ，续航提升至72小时。

图7.10是仿生神经信号的处理流程。

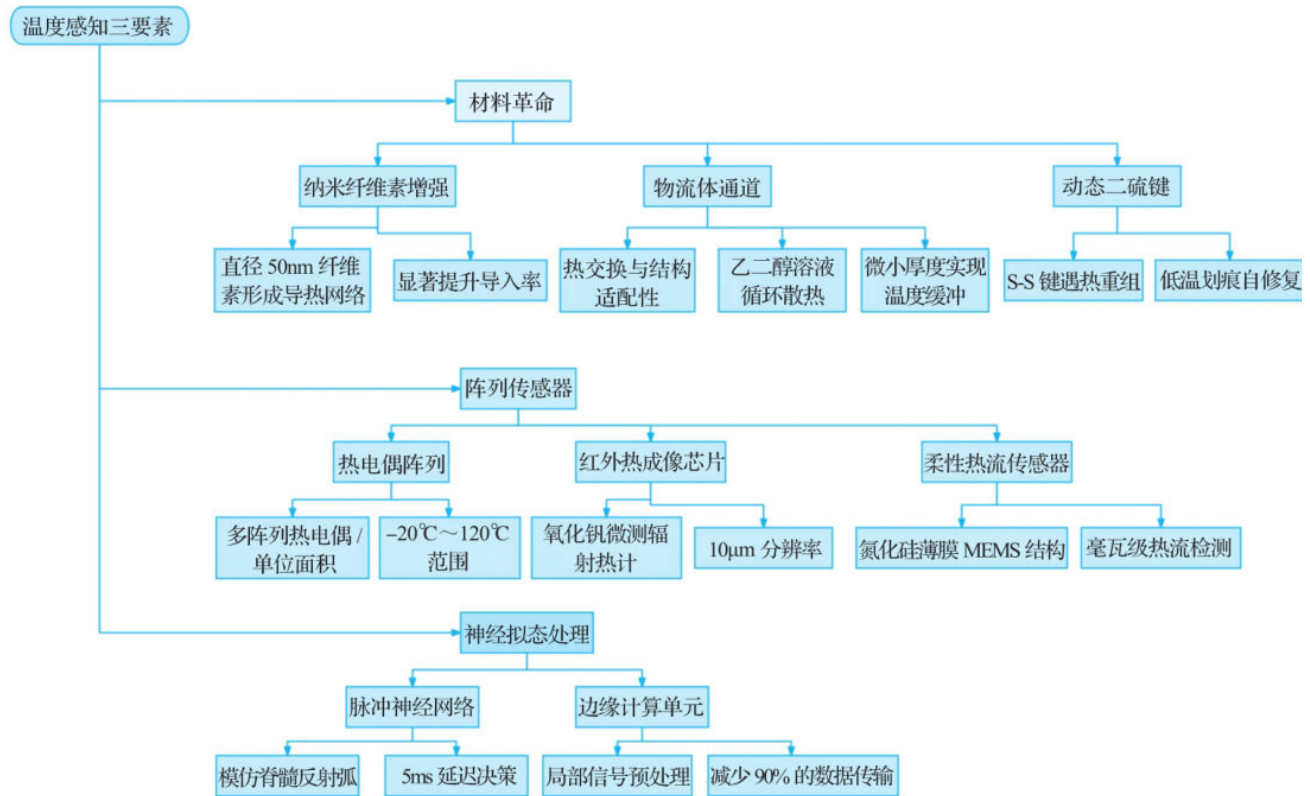


图7.10 仿生神经信号的处理流程

7.2.3 硅胶皮肤重塑预测的精度与温度

1. 精准医疗监测

在国外某医科大学的案例中，配备温度感知皮肤的PARO机器人正在改写护理标准。这款海豹形机器人在持续接触监测中发现：当术后患者的伤口周边出现直径5cm范围内 0.3°C 的温度升高时，感染风险将激增。相比传统每日2次腋温测量，机器人实现了100倍的灵敏度提升，能快速地捕捉感染初期微弱的热信号。

MIT的触觉床垫通过温度与压力的协同监测提升了医学护理水平。褥疮形成前48h，受压部位会出现两个特征性变化：一是温度降低 $0.4^{\circ}\text{C}\sim 0.6^{\circ}\text{C}$ ，二是压力分布标准差下降35%。床垫内嵌的上千个柔性传感器以 0.5Hz 频率采样，当检测到这两种信号叠加时，系统会通过改变气囊压力分布进行主动干预。临床试验显示，该技术使重症监护室的褥疮发生率下降近10%。

2. 情感化护理

某国外养老院实验揭示了温度与信任的深层联系。当护理机器人的手掌温度从 25°C （金属常态）升至 36°C （人类体温）时，老人接受翻身护理的配合度显著提升。功能性核磁共振研究显示， 36°C 触感会增强与受试者情绪调节相关的神经活动——这与人际信任建立机制一致。进一步实验发现，在喂药场景中保持 36.5°C 接触温度，能使老人的用药依从性提高。

早产儿护理领域展现出更精妙的热力学互动。模拟实验显示，维持 37°C 体表温度的接触能显著提升早产儿心率变异系数（HRV）。早产儿通过胸腹部接触感知温度稳定性，即当接触面温度波动小于 0.2°C 时，迷走神经张力增强，促使心率振荡幅度从平均 6.2bpm 提升至 7.6bpm 。这种生理改善可直接反映在体重增长曲线上——使用恒温护理组的日均增重相对更高。

3. 危险预警系统

传统烟雾探测器需等待颗粒物浓度达到 $0.2\text{dB}/\text{m}$ 才报警，而搭载硅胶皮肤温度感知系统的巡逻机器人，却能捕捉到更细微的“危险信号”，感知系统通过检测 $0.01^{\circ}\text{C}/\text{min}$ 的环境温升，即可在阴燃阶段提前 $8\sim 15\text{min}$ 预警。

在临床中，当葡萄糖溶液的浓度超过50%时，若输液速度低于 $20\text{mL}/\text{h}$ ，溶液会在管路中结晶并释放 $3.3\text{J}/\text{g}$ 的潜热。硅胶皮肤通过检测药液袋表面温度异常升高，可准确识别结晶堵塞，该系统对输液管堵塞的识别准确率达95%，比传统目视检查快近 30min 。更令人惊叹的是，它还能通过温度变化模式区分药物变质与否，为用药安全提供双重保险。图7.11是硅胶皮肤在不同场景下的温度预测过程。

7.2.4 技术挑战：完美皮肤离我们多远

1. 灵敏度与鲁棒性的博弈

在斯坦福大学的医疗机器人实验室中，一台搭载最新硅胶皮肤的护理机器人正在进行压力测试，它的指尖能感知 0.02°C 的温度变化。但当工程师用酒精棉片第100次擦拭其手掌后，灵敏度分辨率骤降至 0.05°C 。

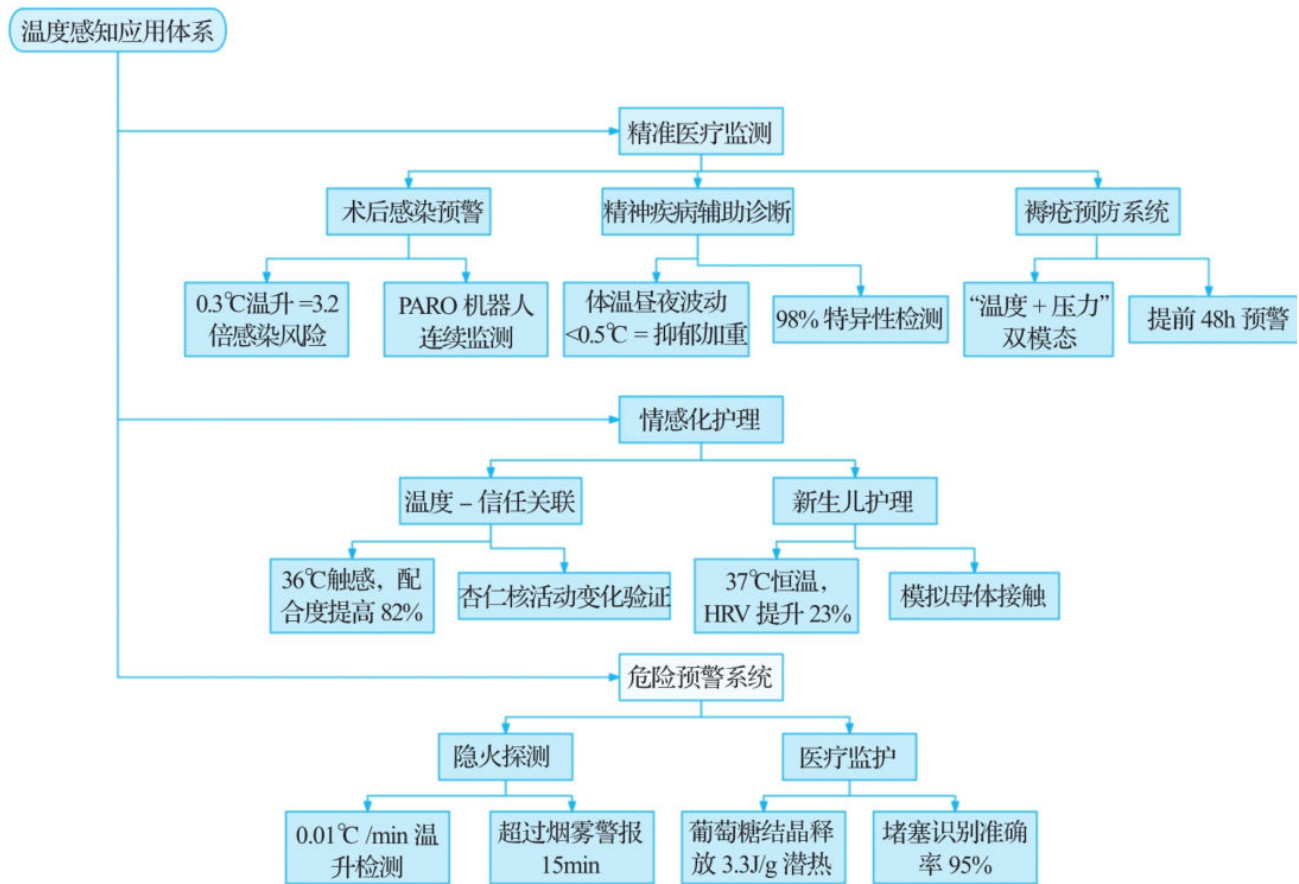


图7.11 硅胶皮肤在不同场景下的温度预测过程

材料为什么会退化？重复消毒导致硅胶表层出现纳米级裂纹，使热传导效率下降20%；医用酒精中的异丙醇会溶解传感器保护层，使电极腐蚀速率加快3倍；在75%湿度环境中，水分子在传感器界面形成 $0.3\ \mu\text{m}$ 厚的水膜，引发 $\pm 0.5^{\circ}\text{C}$ 的读数漂移。

突破方向：

某学科团队开发的“自修复水凝胶”技术，将聚乙烯醇（机械支撑）与海藻酸钠（自修复）结合，实验显示，此类材料在经历上千次的酒精擦拭后，裂纹愈合率可

达85%，最终皮肤的灵敏度仅下降15%。

2. 能源困境：皮肤的“新陈代谢”

想象一个全身覆盖智能皮肤的护理机器人，它的“皮肤”面积约 1.5m^2 ，相当于两个成年人皮肤的体量。按照当前技术，维持这些传感器运转需要持续50W供电，相当于同时点亮5个节能灯泡，表7.2是针对仅用皮肤供能的不同解决方案对比。

表7.2 不同解决方案对比

供能方式	原理	功率密度	局限
摩擦纳米发电机	利用护理动作产生静电	$0.8\text{mW}/\text{cm}^2$	依赖频繁接触 (>20次/分钟)
生物燃料电池	分解汗液乳酸发电	$0.15\text{mW}/\text{cm}^2$	需乳酸浓度 >5mmol/L
柔性钙钛矿太阳能	室内光能转换	$1.2\text{mW}/\text{cm}^2$	暗环境失效

从皮肤供能的角度出发，未来也许可以让智能皮肤进化为自给自足的能源供给形式：白天通过透明太阳能层储能，接触患者时利用摩擦纳米发电机发电，夜间启动生物燃料电池分解尿毒素供电。

7.3 具备痛觉传感器的机器人

7.3.1 痛觉传感器的技术革命

波士顿动力公司曾发布一条引发全球震撼的视频：Atlas机器人从2m高台摔落后，像体操运动员般用手臂撑地完成缓冲，关节传感器闪烁的红色警报如同“电子痛觉”的视觉化呈现，如图7.12所示。

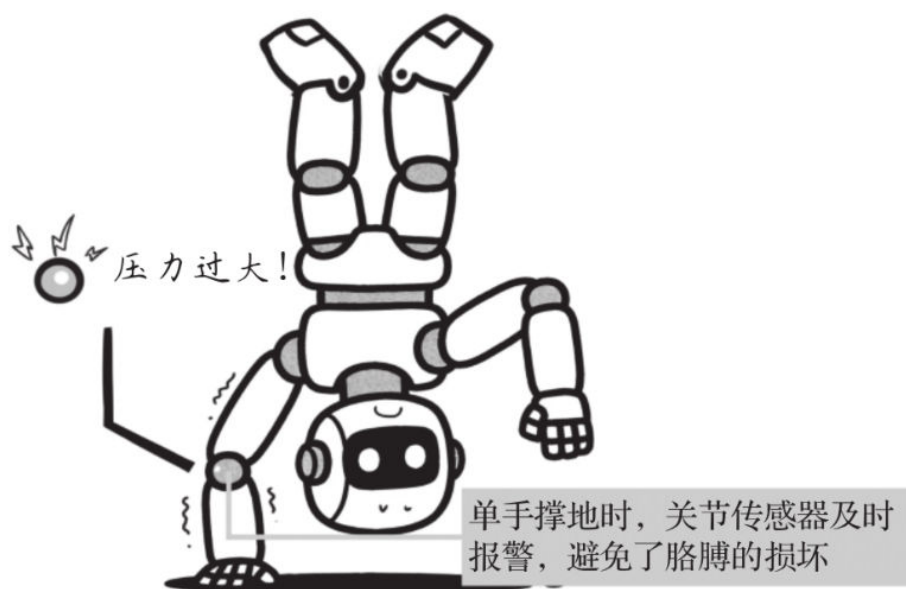


图7.12 波士顿动力机器人的痛觉感知

Atlas机器人这一“自我保护”的举措，背后是其全身部署的多模态感知系统与实时控制算法的精密协作——从冲击检测到触觉模拟反馈，每一步都蕴含着仿生与智能的深度融合。

1. 从机械反馈到神经模拟

现代痛觉传感器已突破传统压力探测的局限，日本丰桥技术科学大学研发的HAPTIX系统将64个压电陶瓷片集成于机械手指内部，使得机械手指能够区分0.5N的压力变化。其信号传导路径模仿人类神经纤维，将“锐痛”信号在15ms内传递至中央处理器。

2018年，德国工业自动化巨头Festo向世界展示了仿生蜘蛛机器人BionicWheelBot，如图7.13所示。这款灵感源自摩洛哥后翻蜘蛛的机械生物，完美诠释了具身智能的核心精髓——智能源于身体与环境的动态交互。表7.3是BionicWheelBot与波士顿动力机器人Spot的性能对比。

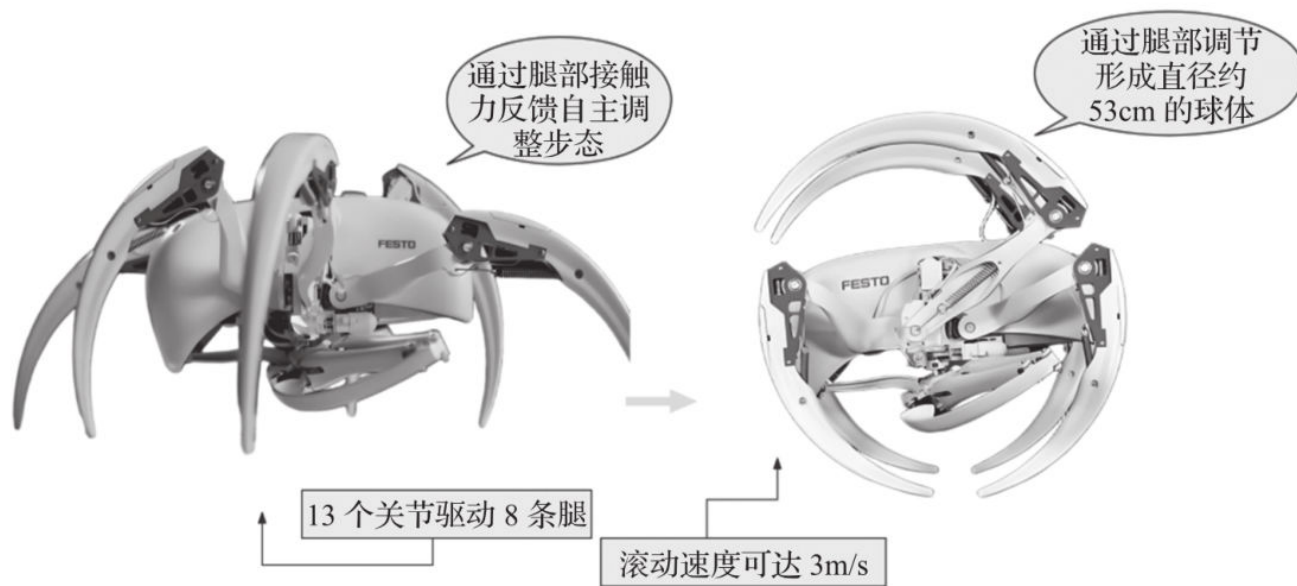


图7.13 仿生蜘蛛机器人

表7.3 BionicWheelBot与波士顿动力机器人Spot的性能对比

维度	BionicWheelBot	Spot
控制架构	分布式（局部闭环）	集中式（中央处理器）
能量效率	0.21km/kWh	0.15km/kWh
感知依赖	触觉主导	视觉主导
环境交互	物理嵌入式适应	数字建模式适应
故障恢复	运动模式切换	软件容错（算法调整）

2. 机器痛觉的研究进展

（1）丰田护理机器人的温度感知交互策略

2023年，丰田发布了新一代人类护理机器人，其指尖集成MEMS热电堆传感器，可实现1.5℃的温度分辨率。当接触表面温度超过45℃时，系统在0.3s内会启动三级响应：

- 轻微过热（45℃~50℃）：振动警报+减速回缩。
- 中度危险（50℃~70℃）：紧急制动+LED红光警示。

□ 极端高温 (>70°C)：自主断电+云端报警。

(2) MIT的伤害规避机制

MIT计算机科学与人工智能实验室 (CSAIL) 开发了SafeRL-Hazard算法，它通过以下机制实现伤害规避：

□ 风险概率建模：将激光雷达、力觉等多模态数据融合为3D风险热力图。

□ 动态记忆衰减：对重复危险区域的关注度呈指数衰减。

□ 元学习适应：跨场景迁移学习的效率比传统强化学习高58%。

在工厂环境测试中，搭载该算法的机器人对重复危险源的规避成功率提升至82%，误报率控制在7.3%。

(3) 机器狗的殡葬服务

自2020年索尼终止AIBO机器狗的维修服务后，日本民间形成了一条特殊的产业链，即针对AIBO机器狗的殡葬服务（见图7.14）：

□ 电子之寺：提供佛教式葬礼（诵经、数据超度），收费上万日元不等。

□ 机器人回收：专业拆解回收，贵金属回收率为85%。

□ AI记忆存储：将AIBO行为数据转化为加密数字日志并存储于私有链。

京都大学调查显示，在参与AIBO葬礼的用户中，超过半数以上的用户产生“数字丧亲”心理症状，需专门心理咨询干预。



图7.14 日本机器狗的殡葬服务

7.3.2 痛觉算法的认知建模

痛觉算法的认知建模是一种仿生计算框架，旨在通过模拟生物痛觉系统的感知、评估与响应机制，赋予机器自主规避伤害的能力。该模型融合神经科学、材料力学与强化学习，构建从传感器到决策的闭环系统，如图7.15所示。

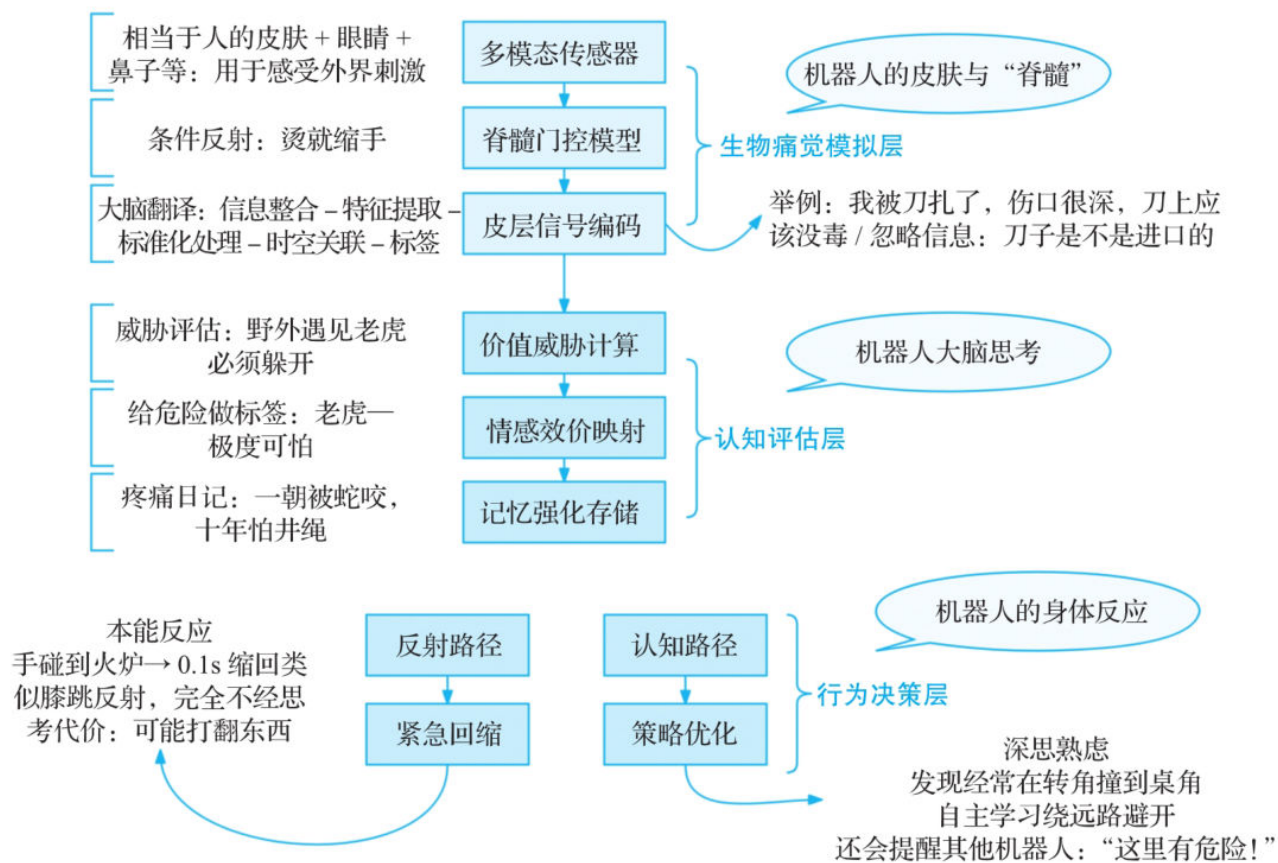


图7.15 痛觉算法的认知建模

假设按照上面设定的认知策略，现有一台家用厨房机器人正在工作，手中拿了一口热锅，那么接下来的情景应如下所示：

(1) 生物痛觉模拟层

- 手部传感器：“锅柄温度65°C！”
- 脊髓系统：“超过安全值！立即松手！”

(2) 认知评估层

- 大脑计算：“锅里有食物，全洒了要扣工资。”
- 情感标签：“比起烫伤，更怕被主人骂。”
- 查记忆库：“上次用抹布垫着成功过。”

(3) 行为决策层

□ 反射动作：手指微微松开（但未完全放开）。

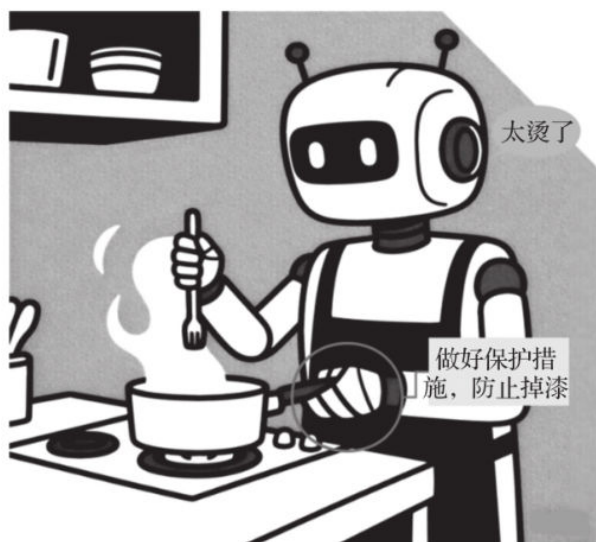


图7.16 机器人进行防护作业

□ 优化策略：用围裙包住锅柄继续工作，如图7.16所示。当用程序替代人类进行决策时，针对同样场景的皮层编码对比如表7.4所示。

表7.4 人类与机器人的皮层编码对比

功能	人类大脑皮层	机器人皮层编码
信息接收速度	50~100ms	1~5ms (快 20 倍)
多模态整合能力	自然融合视听触嗅味	融合多种传感器信号
情感影响权重	受情绪记忆强烈影响	通过预设系数量化控制
学习能力	终身持续学习	需要定期更新算法模型
典型错误	过度联想 (杯弓蛇影)	传感器噪声导致的误判

7.3.3 痛觉算法

1. 生物痛觉系统的计算原理

为了解析生物痛觉系统的算法模型，研究人员采用多模态传感器模拟A δ 纤维（快痛传导）与C纤维（慢痛传导）神经，其传感器阵列配置及工作机制如下：

□ 压电量子点阵列：针对动态压力刺激，实现0.1~10N动态范围的压力检测（空间分辨率为0.5mm²），可精准捕捉局部压力变化。

□ 微流控化学传感器：聚焦化学环境变化，依托pH敏感水凝胶材料，实时监测H⁺浓度（环境酸碱度），反映与痛觉相关的化学刺激。

□ 红外热电堆矩阵：针对温度梯度变化，追踪温度波动趋势，捕捉慢痛等场景下的热刺激特征。

上述传感器的工作模式是将物理信号转化为脉冲频率调制（PFM）信号：

$$f=k_1 \cdot \log(1+F/F_0)+k_2 \cdot \Delta T$$

式中， F 表示压力值； ΔT 表示温升速率， $k_1=120\text{Hz/N}$ ，取自触觉传感器标定数据，该公式符合韦伯-费希纳定律，从机制层面模拟了生物痛觉系统中“刺激强度-神经放电频率”的核心逻辑。

研究机构还基于Izhikevich神经网络构建了脊髓背角门控模型，该模型通过10000个脉冲神经元模拟生物脊髓背角的痛觉信号调制机制。在进行痛觉信号增强模拟时，模拟生物脊髓中抑制性中间神经元的发放阈值控制痛觉信号是否向中枢神经系统传递，其信号门控阈值为：

$$V_{\text{gate}}=0.4 \cdot V_{\text{max}}+0.6 \cdot V_{\text{history}}$$

上述模型表示脊髓背角通过当下痛觉信号引发的神经元活动最大值 V_{max} 与过往痛觉调制的累积状态 V_{history} 的权重相加，计算出决定“痛觉能否传向大脑”的门控阈值，并以此模拟生物调控痛觉传递的机制。

脊髓背角门控模型输出的“痛觉能否传向大脑”的门控信号是皮层评估回路的关键输入（皮层评估回路是仿生机器人领域的重要创新），通过模拟人类大脑前扣带回的功能，赋予机器人类似生物的疼痛评估能力。前扣带回在疼痛处理中承担双重角色，即编码疼痛的情感体验（如痛苦程度强弱）和支撑疼痛相关的决策（如是否启动躲避行为）。基于这一神经机制，研究人员通过“多模态输入整合→时序特征解析→评估指标输出”的流程复现前扣带回功能：

□ 输入环节：回路整合全身传感器的时空数据，涵盖压力变化速率、温度梯度、化学刺激分布等信息，全面捕捉可能引发疼痛的环境刺激特征。

□ 处理环节：借助长短期记忆（LSTM）网络分析疼痛相关的时间序列模式，精准识别“灼痛感持续增强”或“刺痛反复出现”等具有动态演化规律的痛觉信号。

□ 输出环节：模拟生成三类关键评估指标，为机器人的疼痛响应决策提供量化依据。

基本原理如图7.17所示。

2. 认知建模的核心算法架构

(1) 威胁价值函数

痛觉信号的最终决策需结合“安全”与“任务”双目标，研发团队基于深度强化学习多目标优化框架（见图7.18），提出威胁价值函数，其数学表达为：

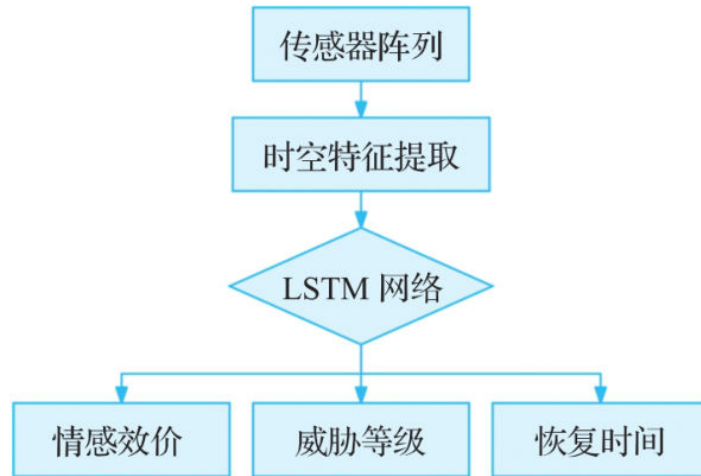


图7.17 基本原理

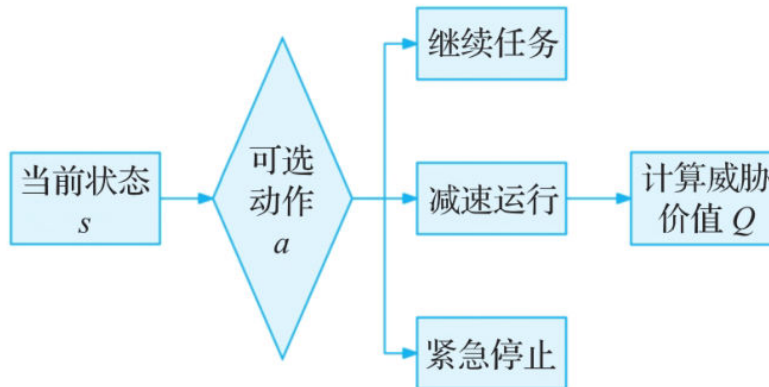


图7.18 多目标优化框架

$$Q_{\text{threat}}(s, a) = \sum_{t=0}^T \gamma^t [R_{\text{damage}}(s_t) + \alpha R_{\text{task}}(s_t)]$$

式中， γ 表示时间折扣因子； α 表示伦理权重系数； R_{damage} 表示组织损伤风险； R_{task} 表示任务完成奖励。该函数通过“时间衰减+多目标加权”的机制，将脊髓背角的痛觉信号（如门控阈值）与皮层评估的量化指标（如痛苦程度）深度融合，最终驱动机器人做出“安全-任务”协同的最优决策。

计算逻辑为：对每个可能的动作 a ，计算其长期威胁价值 Q_{threat} ，最终选择 Q 值最优（威胁最小化）的动作执行。

以工业机器人应用场景为例，计算过程如下：

1) 状态 s ：机械手抓取高温金属部件（温度传感器显示为 120°C ）。

2) 可选动作 a ：

- a_1 ：维持抓取（任务继续但可能损伤本体）。
- a_2 ：释放部件至缓冲台（任务中断但保护机体）。
- a_3 ：呼叫人类协助（平衡风险与效率）。

3) 威胁价值计算：

- $Q_{\text{threat}}(s, a_1)$ ：高温导致关节损耗+任务奖励。
- $Q_{\text{threat}}(s, a_2)$ ：任务中断惩罚+机体保护收益。
- $Q_{\text{threat}}(s, a_3)$ ：等待人类响应的效率损失。

通过这种“风险-收益”的量化权衡，机器人既能避免盲目冒险损伤机体，又能在必要时牺牲短期效率保障任务安全，体现了类生物痛觉决策的智能与实用性，如图7.19所示。



图7.19 机器人的量化权衡

(2) 监督对比学习

为在特征空间中有效强化同类样本的相似性、凸显异类样本的差异性，进而为下游任务提供具备强判别性的特征表示，机器人研发人员采用监督对比学习作为特征提取与记忆编码构建的核心技术路径，其具体实现逻辑及核心公式如下：

$$L_{\text{cont}} = -\log \frac{\exp(z_i \cdot z_j / \tau)}{\sum_{k=1}^N \exp(z_i \cdot z_k / \tau)}$$

式中， L_{cont} 为痛觉感知对比损失值，用于量化机器人痛觉特征空间中“基准痛觉信号”与“正常痛觉关联信号”的相似性，以及和“非痛觉干扰信号”的差异度，类似“痛觉识别误差考核”，损失值越低，代表机器人对“痛觉/非痛觉”的区分越精准，痛觉感知训练效果越好； z_i 为痛觉样本特征向量锚点，作为比较基准的特征表示； z_j 为正样本痛觉特征，与锚点 z_i 属于“痛觉关联”类别； z_k 为负样本痛觉特征，对应“非痛觉类别”的干扰信号； τ 为痛觉区分度调节参数，通过控制损失函数对相似度的敏感程度，调节“痛觉特征簇”与“非痛觉特征簇”的分离陡峭度（ τ 越小，特征区分边界越清晰，但易过拟合； τ 越大，鲁棒性增强但区分度可能降低）； N 为单次训练的痛觉样本批量数，决定每次迭代中参与“痛觉-非痛觉对比”的样本规模，直接影响损失函数对全局痛觉模式的覆盖度。

以下是机器人从多模态传感器数据中精准区分“痛觉信号”和“非痛觉干扰信号”的伪代码：

```
// 输入：256个机器人痛觉信号样本（每个样本为传感器采集的多维数据，如压力、振动、温度等）
pain_signal_list = 包含256个机器人痛觉信号样本的列表

// ----- 数据增强层：生成同类型伤害的信号变体 -----
// 对单个痛觉信号，生成“同伤害类型但场景/强度不同”的增强样本（模拟真实工业场景差异）
function data_augmentation_pain(pain_signal):
    augmented_signals = []
    // 增强1：调整伤害强度（如压力信号缩放，模拟“轻压→重压”梯度）
    strong_signal = adjust_intensity(pain_signal, scale_factor=1.2)
    # 强度提升20%
    augmented_signals.append(strong_signal)

    // 增强2：添加环境噪声（模拟电磁干扰、机械振动等真实噪声）
    noisy_signal = add_environment_noise(pain_signal, noise_amplitude=0.1)
    augmented_signals.append(noisy_signal)
```

```

// 增强 3: 改变传感器采集角度 (模拟传感器安装偏移或机械臂姿态变化)
rotated_signal = rotate_sensor_angle(pain_signal, rotation_angle=30)
# 旋转 30 度采集
augmented_signals.append(rotated_signal)

return augmented_signals
// ----- 特征提取层: 从痛觉信号中编码判别性特征 -----
// 提取痛觉信号的时频域、统计域等多维度特征 (如小波能量、均值 / 方差 / 峰值等)
function extract_pain_features(pain_signal):
    // 时频域特征: 小波变换分解信号的频率成分 (捕捉疼痛的瞬态 / 稳态特征)
    time_freq_feature = wavelet_transform(pain_signal)

    // 统计域特征: 计算信号的均值、方差、峰度等 (刻画疼痛的强度分布)
    stats_feature = calculate_statistics(pain_signal)

    // 拼接多维度特征, 形成高维特征向量
    feature_vector = concatenate(time_freq_feature, stats_feature)
    return feature_vector
// ----- 相似度计算层: 衡量痛觉特征的匹配程度 -----
// 基于点积与温度参数  $\tau$ , 量化两个痛觉特征的相似度 ( $\tau$  越小, 特征区分度越强)
function similarity(z1, z2, tau):
    dot_product = dot(z1, z2) # 特征向量点积 (衡量原始相似度)
    return exp(dot_product / tau) # 指数化后得到 “可解释的相似度得分”
// ----- 训练核心: 对比学习损失计算 -----
// 初始化痛觉特征存储
pain_feature_vectors = []
// 第一步: 对所有痛觉样本做增强 + 特征提取
for each signal in pain_signal_list:
    augmented_signals = data_augmentation_pain(signal) # 生成 3 个增强
    样本 (示例)
    for aug_signal in augmented_signals:
        feature = extract_pain_features(aug_signal)
        pain_feature_vectors.append(feature)
// 第二步: 遍历每个 “锚点” 痛觉样本, 计算对比损失
total_contrastive_loss = 0.0
temperature = 0.1 # 温度参数  $\tau$ : 调节相似度分布的陡峭度 ( $\tau \downarrow \rightarrow$  区分度  $\uparrow$ , 但易过
拟合)
// 锚点: 原始痛觉样本 (索引为偶数: 0, 2, 4, ...)
for anchor_idx in range(0, len(pain_feature_vectors), 2):
    z_anchor = pain_feature_vectors[anchor_idx] # 锚点特征 (原始痛觉信号)

    // 正样本: 该锚点增强后的 2 个变体 (模拟 “同一疼痛的不同表现”)

```

```

positive_idx = [anchor_idx + 1, anchor_idx + 2]
for pos_idx in positive_idx:
    z_positive = pain_feature_vectors[pos_idx]

    // 分子：锚点与正样本的相似度（希望足够大）
    numerator = similarity(z_anchor, z_positive, temperature)

    // 分母：锚点与 ** 所有 ** 痛觉特征的相似度之和（区分正 / 负样本）
    denominator = 0.0
    for feat_idx in range(len(pain_feature_vectors)):
        z_k = pain_feature_vectors[feat_idx]
        denominator += similarity(z_anchor, z_k, temperature)

    // 对比损失公式：-log(分子 / 分母) → 衡量“锚点 - 正样本”比“锚点 - 所有样本”更相似的程度
    loss = -log(numerator / denominator)
    total_contrastive_loss += loss
// 输出训练损失（监控痛觉特征的判别能力）
print(" 机器人痛觉识别对比损失值：", total_contrastive_loss)

```

(3) 检索增强决策

在认知建模的核心算法架构中，检索增强决策是串联“历史经验复用”与“实时环境学习”的关键枢纽。它通过精准匹配历史相似场景、动态调整经验与实时决策的逻辑，为复杂场景下的当前策略优化提供支撑。在具体实现层面，该模块通过近似最近邻（ANN）匹配历史疼痛事件，进而驱动当前策略的自适应调整，其数学表达式为：

$$\pi(a|s) = \pi_{RL}(a|s) + \beta \pi_{memory}(a|s)$$

式中， $\pi(a|s)$ 为最终决策策略，即在状态 s 下选择动作 a 的综合概率，例如医疗手术机械臂感知到组织异常阻力（痛觉触发信号）时，选择“回退+重新校准穿刺角度”的概率； $\pi_{RL}(a|s)$ 为强化学习策略，即通过实时环境交互学习的决策概率，例如物流机器人在仓库遇到未标记的障碍物（全新场景）时，根据实时激光雷达数据与避障后的奖励反馈，自主调整绕行路径的概率； $\pi_{memory}(a|s)$ 为记忆策略，即从历史典型事件库中检索的相似场景决策建议的概率，例如救援机器人曾在狭窄通道剐蹭（历史疼痛事件），当再次进入相似狭窄空间时，记忆策略建议“降低速度+开启视觉避障”的概率； β 为记忆权重系数，控制历史经验对当前决策的影响程度。

综上所述，通过威胁价值函数实现“安全-任务”双目标动态权衡、监督对比学习强化痛觉特征判别力、检索增强决策融合历史经验与实时环境学习，机器人得以构建类生物痛觉的智能决策体系——既能精准规避伤害性刺激，又能在复杂场景中平衡风险与效率，为工业、医疗等服务场景的安全作业与自主决策提供核心支撑。

7.3.4 伦理困境：机器人该不该痛

在科技浪潮汹涌澎湃的当下，机器人早已不再是科幻电影里遥远的想象，而是深度融入我们生活的存在。从不知疲倦地穿梭于工厂的机械臂，到陪伴老人和孩子的智能伙伴，它们的身影无处不在。

然而，当科技的前沿探索迈向一个全新的领域——赋予机器人“痛觉”这一关乎伦理、道德与人性的激烈交锋便已悄然拉开帷幕。机器人，这个由人类智慧创造出的“钢铁伙伴”，究竟该不该拥有感知痛苦的能力？

如果疼痛是生命自我保护的警报，那么赋予机器人痛觉，究竟是在缔造更安全的伙伴，还是在制造机器人与人的潜在冲突（见图7.20）？



图7.20 机器人威胁人类

CHAPTER 8 第8章 人类增强计划

在科幻作品中，人类通过植入芯片获得超能力、借助外骨骼轻松举起汽车的场景早已不陌生。伴随具身智能理论的突破，这些想象正加速成为现实。具身智能强调认知与身体、环境的耦合关系，认为智能不仅存在于大脑，更通过身体与世界的互动涌现。基于这一理念，人类增强计划正重新定义“人类能力”的边界。

8.1 神经融合型仿生皮肤：闭环式体感重建技术

8.1.1 硅基科技与碳基生命的完美融合

一位失去右臂十年的退伍军人在约翰斯·霍普金斯大学实验室里，用机械手臂拿起咖啡杯的那一刻，再次感受到了从杯体传递过来的咖啡温度，这种久违的感觉让这位退伍军人留下了激动的泪水，如图8.1所示。这并非科幻场景，而是近期一项闭环式体感仿生手临床试验的真实记录。该成果依托神经融合型仿生皮肤技术的突破，首次让机械装置实现了完整的“感知-反馈”

闭环，标志着体感重建技术在临床应用中迈出了关键一步。

传统人工智能追求脱离肉体的“纯粹思维”，但具身智能揭示了一个颠覆性真相，智能的本质源于身体与环境的实时互动。就像婴儿通过反复抓握、爬行逐渐建构空间认知一样，人类的所有能力都建立在“具身化”基础上。因此，真正有效的人类增强技术必须遵循以下三个原则：



图8.1 失臂退伍军人喝咖啡

□ 感官耦合：增强设备需与人类神经系统无缝衔接，例如MIT研发的“电子皮肤”，通过柔性传感阵列将外界压力信号转化为生物相容的电脉冲，成功让截肢患者佩戴的仿生手获得接近真实的触觉反馈，这种触觉不再是简单的震动提示，而是能区分织物纹理与物体硬度的分层感知。

□ 动态适应：技术需像肌肉一样随环境变化自我调节。德国科学家开发的液态金属外骨骼即是典型：其内部合金流体可根据穿戴者运动姿态实时重组结构，在极短的时间内调整关节支撑力，既保证行动灵活性，又避免因负载突变导致的肌肉损伤。

□ 认知延伸：增强不是取代人类决策，而是拓展认知维度。例如，Neuralink的脑机接口在帮助瘫痪患者控制机械臂时，特别保留了患者对手指微操的“本体感觉”。这种对自身动作意图的清晰感知，使患者能主动修正机械臂轨迹，形成“人类主导、机器辅助”的协同模式。

就像我们看到的科幻片一样，当前人类已经开始利用隐晦的方式进行增强改造计划，其中涉及三个阶段的技术范式的跃迁：

□ 功能代偿阶段：此阶段的设备以仿生假肢、人工耳蜗为代表，初步解决生理功能缺失问题，但受限于单向信号传输，存在显著人机交互延迟问题，难以实现精细操作。

□ 感知增强阶段：此阶段技术开始突破单一感官限制。在军事领域中，士兵使用AR头盔，通过多光谱传感器将军用雷达的电磁波、热成像仪的红外信号转化为叠加在视野中的可视化图像，达到“透视”的效果；在医学上，医生则借助5G低时延传输，让远程手术中医生的操作手套能同步感知手术刀接触组织的阻力变化，将“远程触摸”变为现实。

□ 认知协同阶段：最具突破性的是DARPA的“智能外骨骼”，该系统通过贴附于肌肉表面的电极阵列，实时采集运动单位的电活动特征，不仅能预判使用者下一秒内的动作意图（如抬腿、抓握），更能动态调整外骨骼助力曲线——当老人准备抬腿时，外骨骼提前瞬时输出匹配的支撑力，形成“人未动而力先至的默契响应”，真正实现人机认知层面的协同共生。

从功能代偿的修复到感知增强的拓展，再到认知协同的共生，人类增强技术正沿着具身智能揭示的“身体-环境-认知”互动逻辑，逐步突破生物学与技术的边界，为人类能力的进化开辟出更具生命力的新维度。

8.1.2 从生物皮肤到电子皮肤的突破

人体皮肤在进化过程中形成了独特的“功能分区”策略，其神经末梢的拓扑分布模式完美平衡了感知精度与能量效率的双重需求。

（1）指尖超高密度的传感器布局

人类指尖皮肤在进化中形成了超高密度的机械感受器布局，具有每平方厘米200个机械感受器的配置，相当于在芝麻粒大小的区域部署接近10个传感器。这种密度源自梅克尔细胞与迈斯纳小体的嵌套结构，前者负责静态压力感知，后者负责动态触觉检测。

（2）从高密到稀疏的高效感知设计

从手掌到手臂的触觉密度呈幂律分布，这种设计既保证关键操作区域的超精细感知，又避免全高密度传感带来的能量过载。神经科学实验显示，大脑仅需处理来自身体极小区域的触觉信号，即可完成绝大部分精细操作，极大限度地提高了信息处理的效率，其传输原理如图8.2所示。

人体皮肤通过“功能分区”实现的感知精度与能量效率平衡，这种历经亿万年进化打磨的精妙设计，不仅支撑了人类复杂的交互能力，更为人工仿生皮肤的研发提供了核心灵感——工程师试图通过解析皮肤的神经拓扑规律，破解“如何在有限资源下实现高效感知”的难题。基于这一思路，从早期功能单一的仿生皮肤，到如今具备多模态感知能力的电子皮肤，相关技术探索大致经历了三个阶段，其技术演化过程如图8.3所示，不同阶段的技术对比如表8.1所示。

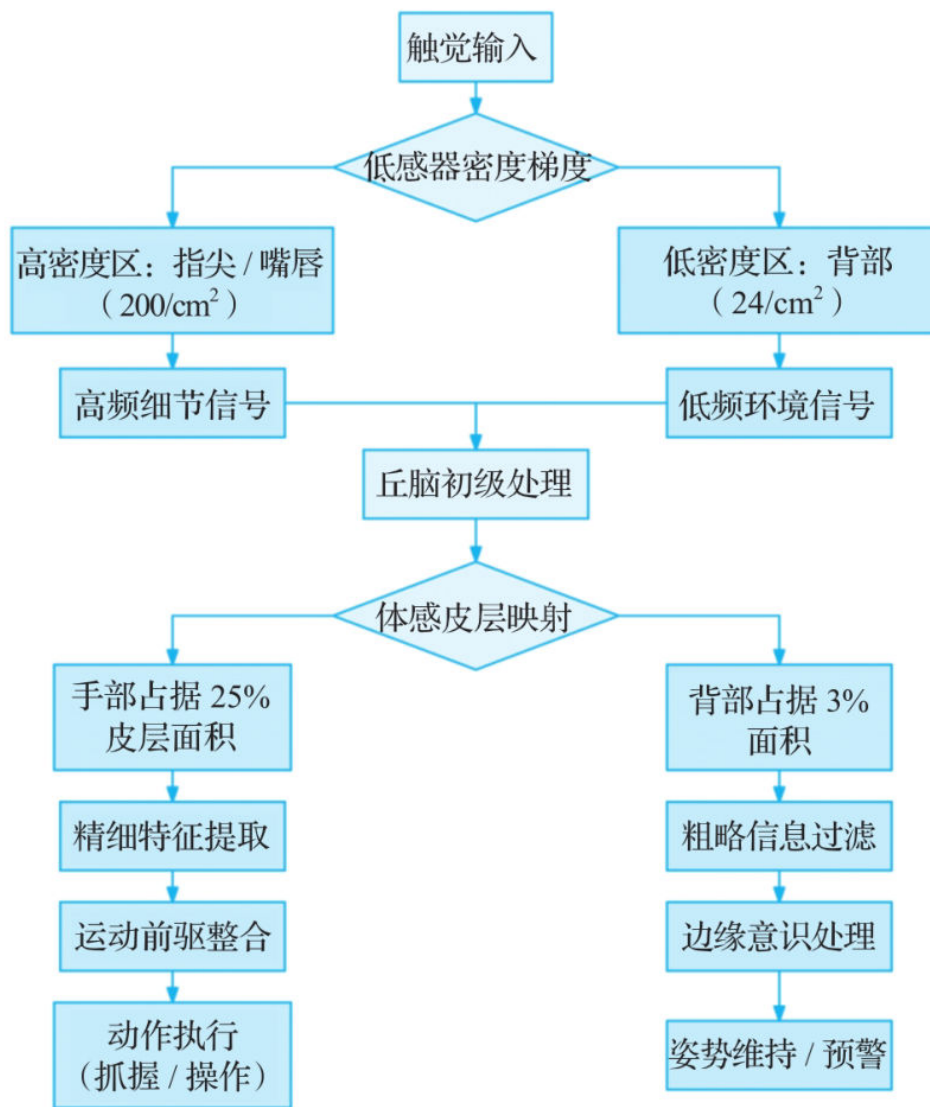


图8.2 触觉的传输原理

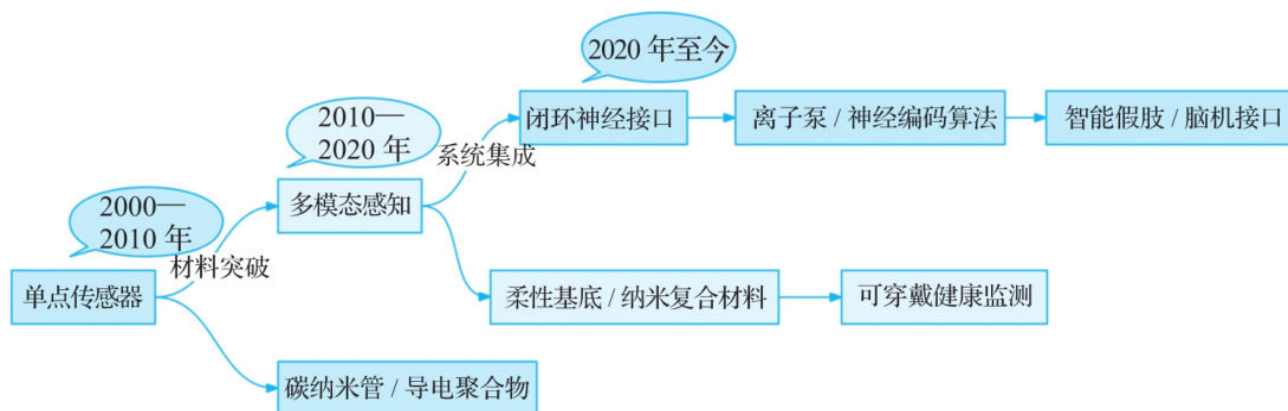


图8.3 从仿生皮肤到电子皮肤的技术演化过程

表8.1 不同阶段的技术对比

参数	第一阶段	第二阶段	第三阶段
传感维度	单点压力	压力 / 温度 / 湿度	全触觉模态 + 本体觉
信号延迟	>100ms	10~50ms	<50ms
能量效率	1mW/cm ²	0.1mW/cm ²	自供电 + 能量回收
生物兼容性	无植入	表皮级	深组织植入
临床转化案例	工业检测	健康监测	神经功能重建
主要限制	低空间分辨率	开环系统	免疫排斥风险

8.1.3 柔性电子织物技术：打造“电子真皮”

上一节里提到现代仿生皮肤技术的核心突破主要经历了三个阶段，分别是结构仿生、材料革命和利用神经接口的分布式控制。下面将重点介绍这三个阶段的技术内核。

1. 结构仿生的多层次实现

韩国KAIST团队研发的石墨烯仿生皮肤的核心设计理念源于对人类皮肤多层次结构的逆向工程。通过材料选型、结构设计与功能适配的协同优化，该团队实现了电子皮肤性能的跨越式提升，为结构仿生技术在柔性传感领域的应用提供了典型范例。针对指纹的摩擦增强与应力集中特性，团队设计了类似指纹沟壑结构的传感表层——相较于平坦表面，这种沟壑形态的仿生结构在受压时可产生局部应力集中效应，显著提升传感层对微小压力的灵敏度。

在深层结构设计上，团队模仿人类皮肤真皮层的神经丛分布特征，采用波浪形导线构建分布式信号传导网络。该结构在大变形拉伸下仍保持稳定的电阻率变化特性，同时具备优异的延展性。此外，通过表皮与真皮界面的力学适配设计，实现了跨层级的机械耦合与信号连续传输，确保了整体结构的稳定性与信号传输效率。

2. 自修复弹性体：让材料“伤口”自动愈合

在生活中，大家买完手机通常会给屏幕贴膜，这是因为手机屏幕虽凭借高硬度玻璃实现了抗刮擦的基础性能，却仍难抵挡日常使用中的微观磨损与意外冲击：无论是钥匙等硬物的摩擦，还是跌落时的冲击，都可能导致屏幕出现划痕甚至细微碎裂。为规避这类损伤，贴膜几乎成了购机后的“标配防护”。然而，这种“被动防御”始终存在局限：膜层易老化、无法应对深层损伤，且频繁更换既麻烦又增加成本。试想，若手机屏幕本身具备“自愈”能力，即微小划痕能在数小时内自动弥合，轻

微碎裂也能通过材料内部结构重组恢复强度，这无疑将改写手机屏幕的防护逻辑，堪称移动设备领域的又一突破性革新。图8.4展示了这类材料自修复功能的基本技术流程，揭示了其从分子设计到宏观性能实现的核心机制。

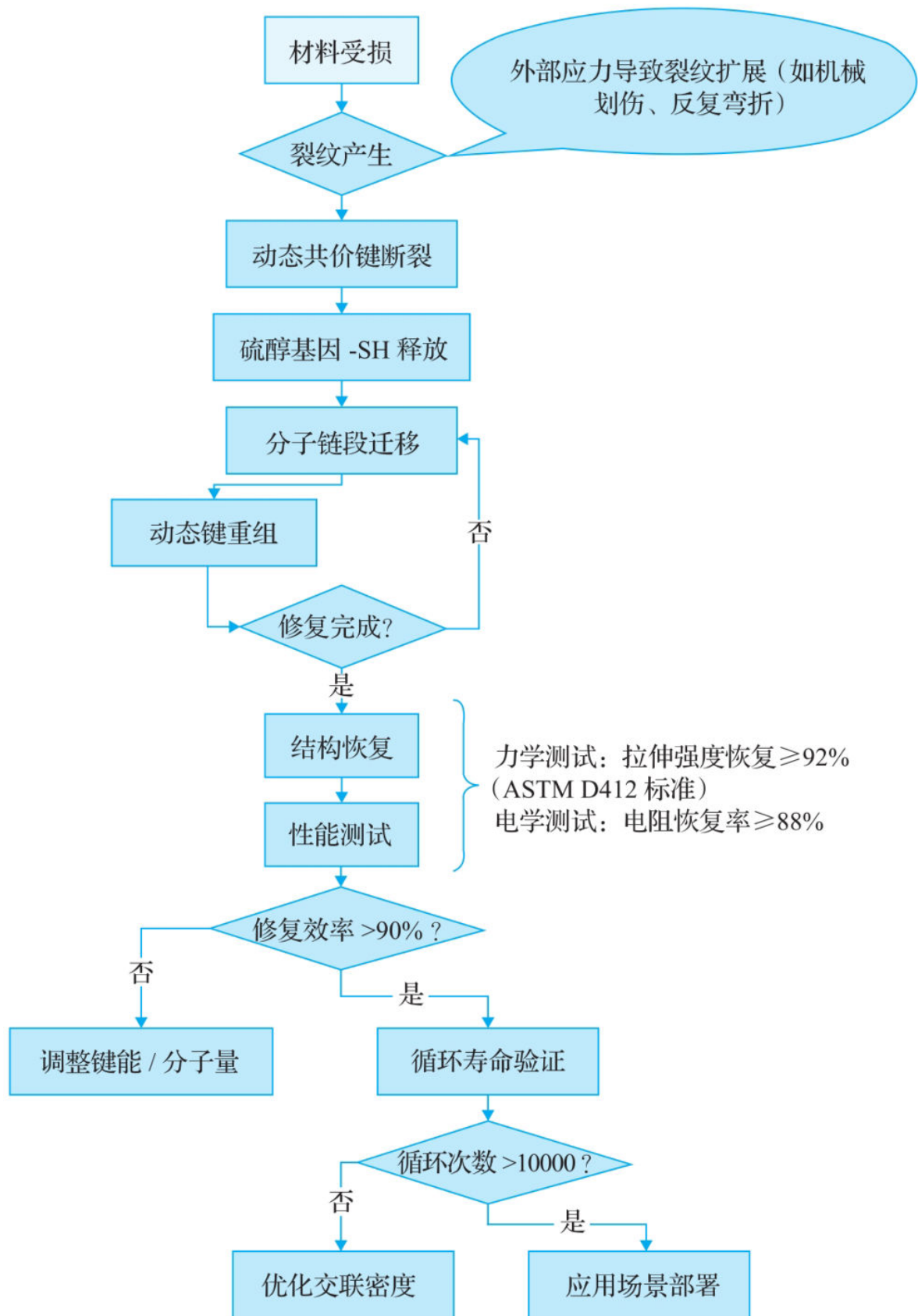


图8.4 材料自修复功能的基本技术流程

3. 分布式传感技术：比皮肤感受更敏锐

电子皮肤是一种模仿人类皮肤功能的柔性传感器系统，能感知压力、温度、湿度等多种信息。就像我们的皮肤能分辨轻抚还是重压及冷热变化一样，电子皮肤让机器人或假肢拥有了“触觉”。近年来，科学家通过分布式传感技术，将成千上万个微型传感器集成在薄如蝉翼的材料上，在部分关键指标（如空间分辨率、响应速度）上甚至超越人类皮肤。

MIT团队在2023年研发出一种柔性电子皮肤，每平方厘米有256个“触觉单元”，能够同时感知压力和温度。机器人手指装上这种皮肤后，甚至可以轻易分辨物体表面的纹路，如图8.5所示。

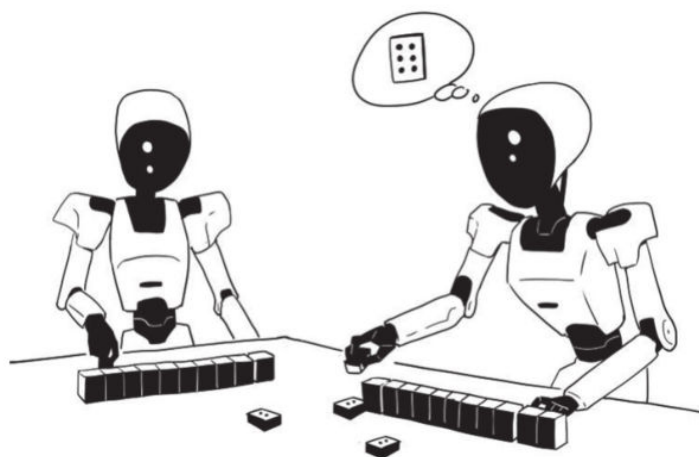


图8.5 机器人有了猜牌技巧

这种电子皮肤的基底材料就像橡皮筋一样柔软且耐拉伸，科学家基于超弹性材料模型预测材料变形时的力学行为，确保传感器在弯曲时不会损坏。利用压阻效应，当材料被按压时，内部的导电颗粒（如碳纳米管）间距改变，导致电阻变化——就像挤海绵时水流速度改变一样，通过电阻变化反推压力大小。

人体不同部位的传感器数量差异巨大，对于指尖这种传感器分布密集的区域，为了提高响应效率，科学家借鉴用稀疏采样点还原完整图像的数学逻辑，只采集关键信号就能重建整个触觉分布。同时，用脉冲神经网络（模仿人脑神经元的工作方式）处理信号，比传统算法快5倍且更省电，更适配可穿戴设备的低能耗需求。

8.2 外骨骼的军事密码：士兵如何变身“钢铁侠”

8.2.1 现代战争的体能困境

1. 进化滞后的生物躯体

尽管人类身体在近十万年间仍通过基因与表型调整延续着适应性进化，如乳糖耐受能力的出现、骨骼结构因饮食改变发生的细微调整，但从工业革命至今，单兵作战负荷却因装备复杂化呈爆发式增长——近百年间增幅超200%，其速度远超人类身体进化的适应节奏。考古数据显示，罗马军团士兵平均负重约20kg，拿破仑时期增至25kg，而现代特种部队的战术装备可达60kg，这相当于让士兵每天背着一名成年人进行高强度运动，如图8.6所示。

2. 复杂战场的人体极限

现代战争环境对士兵提出多项要求：在核生化污染区域需要穿完全密封的防护服（较传统防护服增加8kg负荷），城市巷战要求瞬间爆发力突破2.5m高墙，极地作战则要维持36h以上的持续行动能力，如图8.7所示。传统的体能训练已触及生理极限，在某国特种部队选拔中，90%淘汰者都因骨骼应力性骨折而非技能不足。



图8.6 不堪重负的士兵

征兵啦！
入伍条件：
· 熊的力量
· 豹的速度
· 鹰的眼睛



图8.7 现代战争环境对体能要求极高

3. 人机协同的必然选择

当无人机与智能弹药将战争推向超视距对抗时代时，前线士兵却仍需用血肉之躯直面高烈度物理对抗的生存考验。现代战场已深度融入自杀式无人机、侦察无人机等智能装备（图8.8），作战维度从传统的地面交锋延伸至空中侦察、精准打击与电磁干扰的多域交织。在此背景下，未来士兵亟须向“人机融合体”进化——外骨骼技术作为生物进化的“人工补丁”，通过对下肢肌群、脊柱与关节的力学增强，可显著提升负重承载、爆发冲刺与复杂地形机动能力，成为弥补人类身体进化滞后性与现代战争高负荷需求矛盾的关键技术路径。



图8.8 无人机

8.2.2 技术突破：从机械力量到神经融合

外骨骼的发展本质是动力系统与控制技术的迭代史。从早期依赖液压的机械力量初探，到仿生驱动的电动肌肉崛起，再到神经接口的意识融合探索，每一次变革都围绕“更高效、更稳定、更贴合人体”展开，同时也暴露了技术阶段的局限性，推动着下一代系统的优化。

(1) 液压时代（2000—2010年）：机械力量的初探

液压驱动是外骨骼最早规模化应用的动力方案，通过液压油传递能量，能输出大扭矩，适合负重搬运等场景。美国洛克希德·马丁公司的HULC（Human Universal Load Carrier，人类通用型负重外骨骼）是这一时期的代表，它采用钛合金框架与液压作动器，理论可承载90kg负载，曾被视为“单兵装甲”的标杆，如图8.9所示。

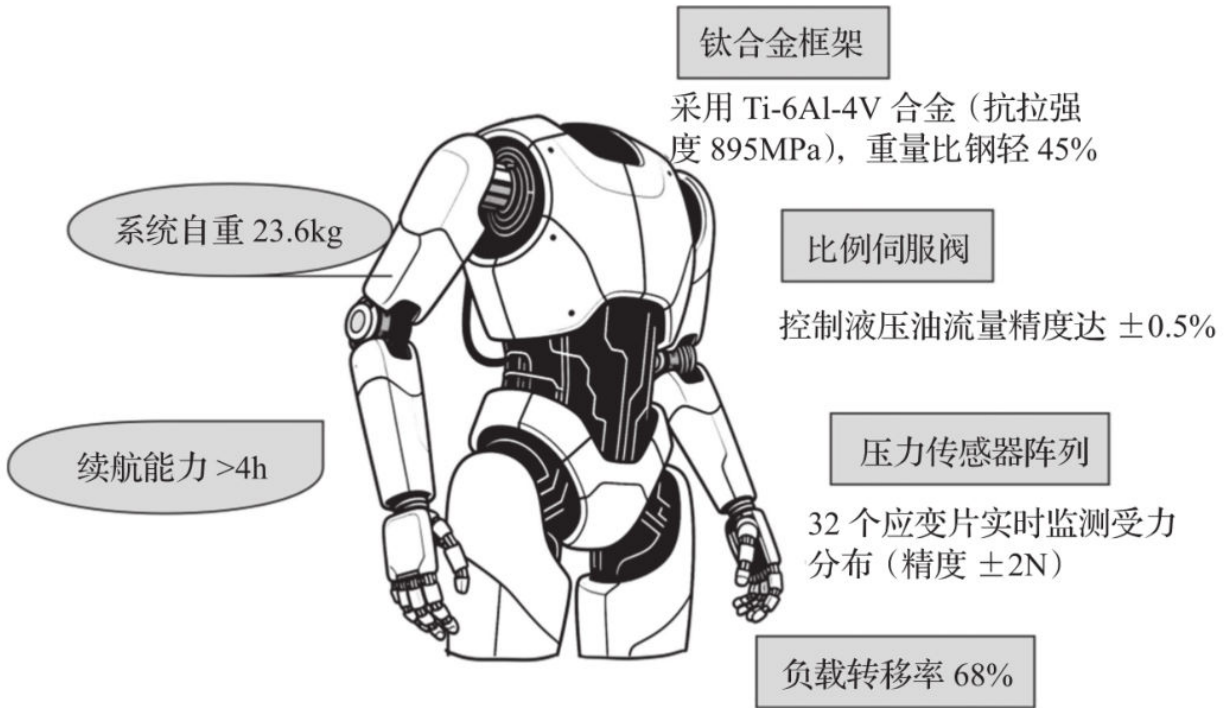


图8.9 人类负重外骨骼

然而，在战场测试中，HULC暴露出三大缺陷：

❑ **热信号显著**：液压泵工作温度达 80°C ，红外特征比人体高200%，相当于变成了对方的移动靶子。

❑ **地形适应性差**：在碎石路面行走时，系统响应延迟导致重心偏移，摔倒概率增加19%。

□ 维护复杂：每作战1h需消耗0.8L液压油，在战场环境下补给困难。

这些问题推动后续液压外骨骼向“低功耗泵组+复合散热结构”改进，但液压驱动的“高能耗、强热辐射”仍是其难以根治的短板。

（2）电动肌肉时代（2010—2020年）：仿生学的崛起

为规避液压系统的热管理与补给难题，电动驱动+肌电控制的“仿生外骨骼”成为主流。日本Cyberdyne公司的HAL（Hybrid Assistive Limb，机器服混合辅助肢体）是这一阶段的典型代表，它通过肌电传感器（EMG）捕捉肌肉电信号，结合小型电机驱动关节，更贴近人体运动逻辑，如图8.10所示。

但在某次多国联合演习中，该公司的电动外骨骼系统在环境适应性方面仍然暴露出较多的缺陷。

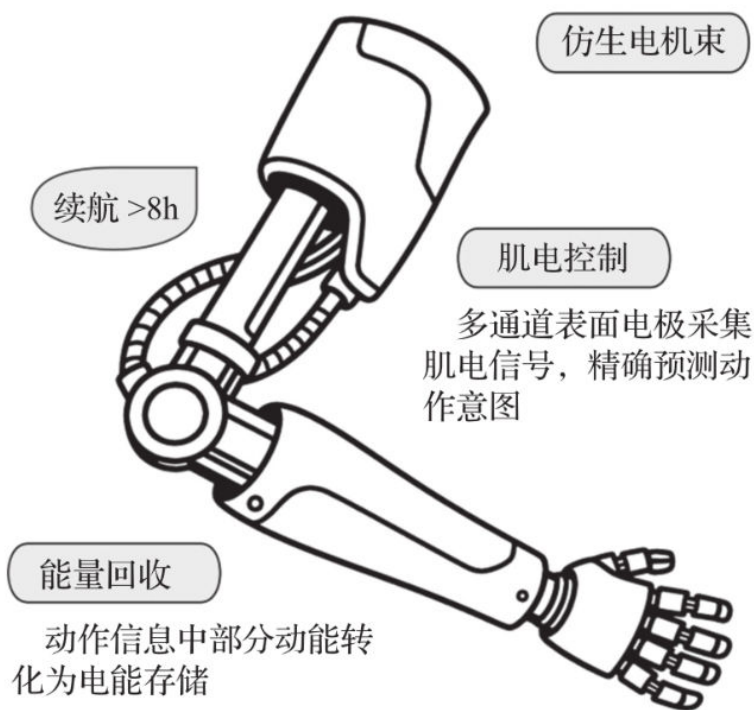


图8.10 电动肌肉

□ 坡度适应性弱：斜坡超过 12° 时，电机过热导致扭矩下降30%。

□ 潮湿环境下易失效：肌电传感器在潮湿环境下的误触率达25%。

□ 易受电磁干扰：距离雷达站200m以内时，控制系统失效率达15%。

这些缺陷倒逼技术升级，后续改进型号采用防水肌电电极、电磁屏蔽外壳，并优化电机散热设计，部分缓解了环境适应性难题。

（3）神经接口时代（2020年至今）：意识与机器的融合

为突破“物理信号传递”的延迟与误差，神经接口技术试图通过脑机交互实现“意识直接控制”。DARPA的“神经工程系统技术”项目即为代表，其外骨骼通过植入式或非侵入式脑机接口（BCI）将士兵的运动意图转化为机器指令，通过人的意识直接控制机器执行命令，如图8.11所示。

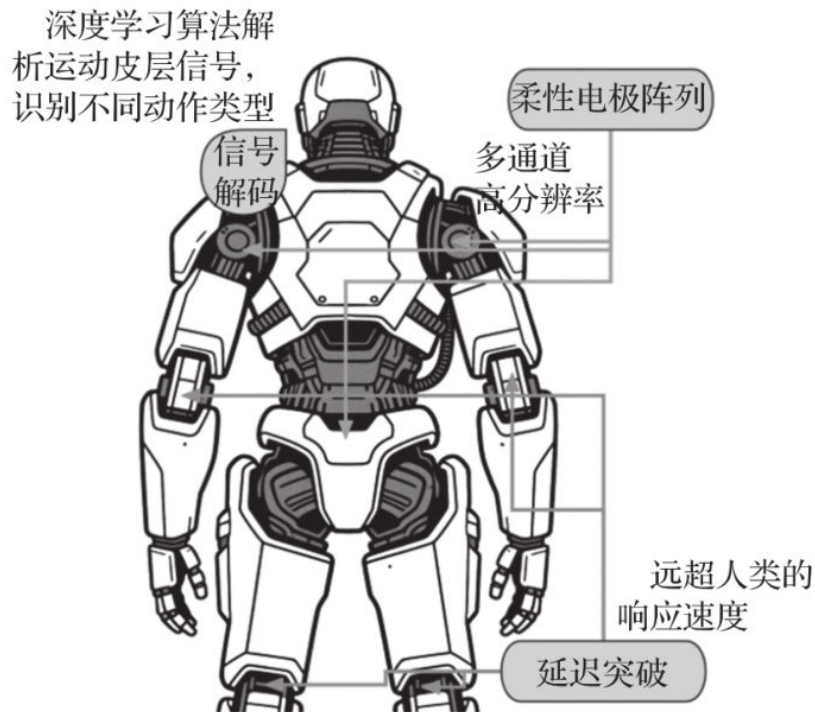


图8.11 未来的人机接口设备

然而，在某次军事演习中仍然暴露了许多问题：

- ❑ 脑机接口稳定性弱：连续工作12h后，脑电信号质量随时间明显衰减。
- ❑ 心理耐受极限受挑战：10%的士兵出现“幻肢感”，2%的士兵产生空间定向障碍。
- ❑ 电磁防护缺陷：在EMP模拟攻击中，系统瘫痪概率达60%。

当前，该领域正通过“柔性脑机接口+自适应算法”改进，试图降低信号噪声并提升人机协同精度。

表8.2展示了动力革命三次变革的技术对比。

表8.2 动力革命三次变革的技术对比

参数	液压时代 (HULC)	电动肌肉时代 (HAL)	神经接口时代 (DARPA)
响应延迟 (ms)	210	85	8.3
能量效率 (kg · m/J)	0.12	0.38	1.05
地形适应指数 (%)	54	68	89
学习曲线 (h)	120	40	8
战场维护复杂度	4.7	3.2	1.8

外骨骼三次技术变革的本质是人类对“人机关系”认知的深化——从液压时代的“机械力量工具”，到电动肌肉时代的“环境共生仿生体”，再到神经接口时代的“意识融合第二皮肤”。这一过程以“问题驱动-技术突破-新挑战涌现”的螺旋式上升展开，虽然暴露了各阶段的局限性，但也推动技术向更高效、更稳定、更贴合人体的方向演进。未来，外骨骼或将超越辅助装备定位，成为人体机能的自然延伸，但这需材料科学、神经工程与人工智能的交叉突破，更离不开对“人机共生”的深度思考，最终实现从“工具赋能”到“生命协同”的进化。

CHAPTER 9 第9章 教育革命

据调研，高收入国家医学院平均每具教学尸体服务4名学生，而印度和尼日利亚分别达到15：1与27：1。这种资源差异也反映在教学实践的时长上：美国医学院平均提供80h实体解剖训练，而印度医学院的实践时长通常在50h左右。

传统解剖教学依赖实体尸体的天然局限，在此背景下愈发凸显：有限的资源既制约了学生的动手能力培养，又加剧了区域间医学教育质量的差距。当尸体捐赠量难以匹配教学需求时，如何突破物理条件限制、让更多学生获得高质量的解剖实践机会？这一命题正推动着解剖学教育的技术革新——虚拟现实（VR）解剖课的出现，为破解困局提供了全新可能。

9.1 VR解剖课：用虚拟身体学习生物学

9.1.1 传统解剖学教育的困境与突破

1. 解剖台的伦理困境与资源限制

在瑞士巴塞尔大学图书馆的珍本收藏中，保存着1543年《人体构造》的初版副本之一。这部由安德雷亚斯·维萨里撰写的著作，以扉页木版画闻名：在画面中，维萨里身着学者服饰，站在解剖台前，周围环绕着学生与医生，生动记录了现代解剖学首次系统公开演示的场景，如图9.1所示。



图9.1 《人体构造》作者维萨里

《人体构造》的问世标志着现代解剖学的诞生，但其背后也折射出早期医学研究的伦理困境：受限于当时的社会观念与法律，维萨里团队获取解剖材料的主要途径是行刑后的尸体及医院无主遗体，部分获取方式在今天看来存在伦理争议。这种“依赖遗体解剖探索人体奥秘”的模式，自解剖学发端起便伴随始终，并延续为现代医学教育中遗体资源获取与伦理规范的长期议题。正如后世学者所言：“我们对身体的认知，始终建立在对逝者的尊重与责任之上。”

2. 二维图谱的认知鸿沟

在解剖学教学中，从二维图像到三维结构的空间转换始终是学生的核心挑战。统计显示，医学生的三维结构识别错误率达34.7%，其中肝门静脉错误率超过50%，这一现象与大脑空间认知机制密切相关（图9.2）。加州大学研究显示，学生观察二维图像时顶叶皮层激活仅为实体解剖的35%，而实体操作会显著激活运动相关脑区。在临床实践中，二维图像的空间局限性同样可能导致严重误判：已有案例报道显示，术者过度依赖二维断层图像对血管走行的判断，曾引发术中血管损伤等并发症。这类事件凸显了突破平面局限、强化空间认知训练的迫切性——唯有将二维图像的“平面记忆”转化为三维结构的“立体感知”，才能降低临床操作风险。

3. VR技术的破局

随着VR技术的不断发展，利用VR开展医学研究正越来越多地被科研机构接受。2019年，英国皇家外科医学院引入Osso VR系统进行骨科培训，并将其纳入住院医师规范化培训体系——该系统的沉浸式交互设计，可模拟真实手术场景中的器械操作与解剖结构辨识。2021年，《骨与关节外科》杂志的研究显示，VR训练使髋关节置换手术时间缩短22%，并发症减少27%。市场层面，VR医疗培训的产业化进程加速：据市场研究机构Grand View Research发布的报告，全球VR医疗培训的市场规模已达8.3亿美元，其中解剖学教学软件占比约45%，成为细分领域的核心增长点。

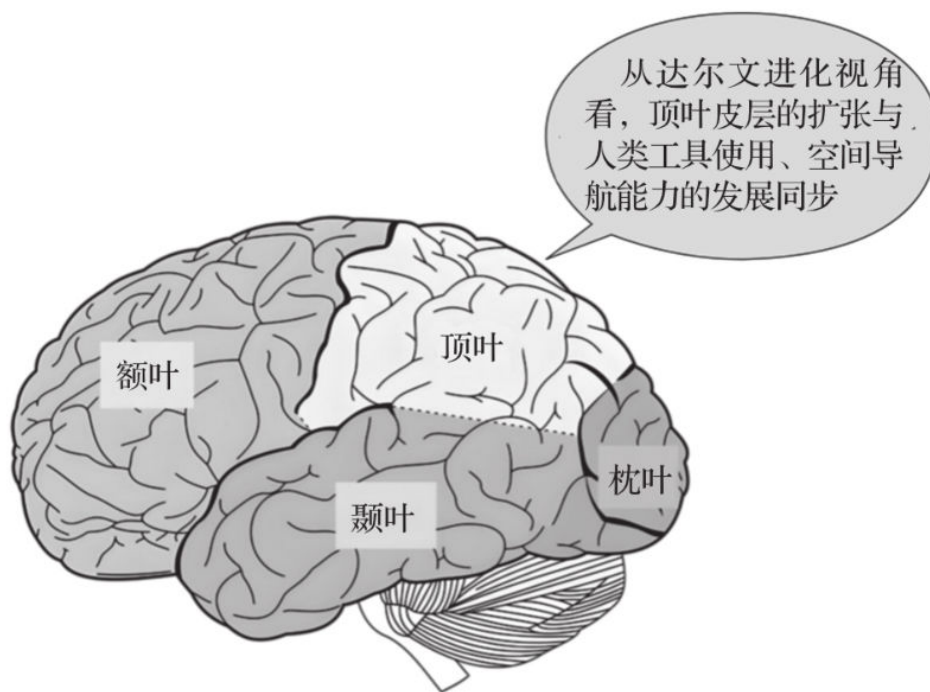


图9.2 大脑结构

具体到教学工具，Visible Body等平台已提供超过5000个解剖模型，支持多维度结构拆解与动态功能演示；而Anatomage Table的4K数字解剖台则通过全息投影技术，实现了“虚拟尸体”的分层观察与手术模拟。目前，全球近千所医学院校已将VR技术纳入解剖学课程，例如非洲多所院校联合开展的Meta Quest设备试点项目，通过低成本头显突破了地域资源限制；东京大学医学院的研究进一步证实，VR解剖训练组的学生在实体标本考核中，优秀率较传统组提升15%，验证了虚拟训练对三维空间认知能力的强化作用。

9.1.2 虚拟身体的认知教学

1. 多模态感知的神经重塑

想象你戴着VR眼镜学习解剖，虽然手里拿的是控制器，但大脑却以为自己在真实操作。研究发现，当你在VR中“切开”组织时，控制手部运动的脑区（M1区）活跃程度和真实手术几乎一样，就像健身时真实举铁和虚拟训练能达到相似的肌肉激活效果。同时，触觉手套的精密震动会让大脑产生“皮肤被触碰”的错觉，这种触觉与视觉的双重刺激会使得利用VR学习手术的效果比传统方式倍增，如表9.1所示。

表9.1 传统教学与VR训练的效果对比

感知模态	传统教学激活强度	VR 训练激活强度	提升幅度
视觉皮层 (V1)	18.3 μ V	22.7 μ V	+24%
体感皮层 (S1)	9.6 μ V	17.2 μ V	+79%
前额叶决策区	12.1 μ V	19.8 μ V	+64%

2. 高性能VR解剖系统

某机构开发的高性能空间认知模型突破了传统解剖学的可视化瓶颈。其VR系统采用GPU并行计算架构与机器学习拓扑优化算法，可实时解析1.2万个解剖结构的层级关系。当学生将心脏放大至20倍时，系统在19ms内重构出1850条冠状动脉分支的立体投影，空间分辨率达到4K/10 μ m级别，跨尺度空间计算效率对比如图9.3所示。

在技术赋能下，学生的三维空间定位能力显著提升。某机构对照实验显示，接受VR训练组的三维定位测试准确率较传统教学组有较大幅度的提高；在微血管吻合术虚拟考核中，操作误差被稳定控制在 ± 1 mm以内，这一精度与达芬奇手术机器人的典型临床定位标准基本一致，初步验证了系统对高阶手术技能训练的有效性。

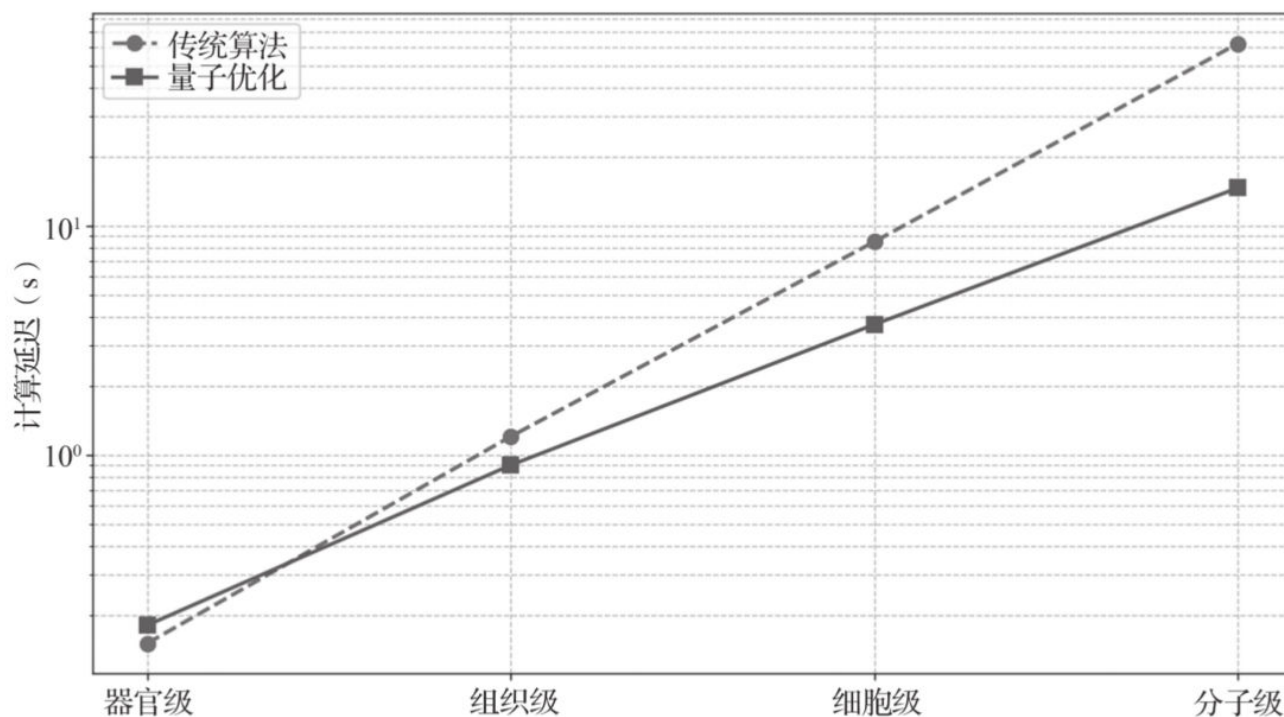


图9.3 跨尺度空间计算效率对比

3. 错误容忍机制的重构

哈佛医学院与微软合作开发了基于Hololens 2的解剖教学系统，将解剖教学与高性能模拟技术深度融合，该系统采用NVIDIA Flex引擎，实现了对血管血流的精细化模拟——经实验室验证，其血流参数（如流速、压力梯度）的计算精度达0.5mL/ms，可准确反映真实人体循环系统的动态特征。

区别于传统解剖教学中“错误即惩罚”的单向反馈机制，该系统创新性地融合动态平衡强化学习模型与时间倒流交互机制，构建了“试错-优化”的沉浸式学习闭环。

（1）血流效果逼真

当学生操作失误（如误切血管）时，系统基于Flex引擎的粒子级模拟，实时呈现与真实病理一致的血流扩散效果。经测算，其血流粒子模拟密度达500颗粒/秒（等效于每秒模拟500滴血液的流动轨迹），视觉真实度与生理准确性均优于传统二维动画。

（2）时间倒流交互机制

学生可通过手势识别触发“倒带”指令，将操作场景回溯至错误发生前3s。此过程依赖梯度更新策略优化学习路径，即系统通过记录操作序列数据（包括器械角度、组织接触力等参数），利用深度强化学习模型反向推导最优操作策略，其核心公式为：

$$\nabla J(\theta) = E \left[\sum_{t=0}^T \nabla_{\theta} \log \pi_{\theta}(A_t | S_t) \cdot R_t - V(S_t) \right]$$

式中， $\nabla J(\theta)$ 表示目标函数梯度，表示策略参数 θ 的调整方向，以最大化累计奖励 $J(\theta)$ ，通过梯度上升法更新参数： $\theta \leftarrow \theta + \alpha \nabla J(\theta)$ ，其中 α 为学习率；

$\pi_{\theta}(A_t | S_t)$ 表示策略函数，其中 S_t 表示当前状态输入（如解剖结构、器械位置、出血量）； A_t 表示动作输出的概率分布（如切割角度、力度）； $\nabla_{\theta} \log \pi_{\theta}(A_t | S_t)$ 表示数概率密度，衡量参数 θ 对动作 A_t 的影响程度； $R_t - V(S_t)$ 表示优势函数。其中：

1) 奖励函数 R_t ：

□ 正确操作（如精准分离组织）： $R_t = +1$ 。

□ 错误操作（如误切血管）： $R_t = -5$ 。

□ 时间效率奖励（每节省1秒）： $R_t = +0.1$ 。

2) 价值函数 $V(S_t)$: 表示状态 S_t 的预期累积回报, 通过Critic网络或蒙特卡洛法估计。

3) 优势值:

□ 若 $R_t - V(S_t) > 0$, 当前动作优于平均, 需加强。

□ 若 $R_t - V(S_t) < 0$, 当前动作劣于平均,

需抑制, 操作流程如图9.4所示。

系统基于策略梯度算法的优势值 ($R_t - V(S_t)$) 实时动态调整训练挑战——当优势值持续低于阈值, 自动激活“辅助模式”: 通过降低血管结构透明度、简化组织边界复杂度, 减少环境干扰项, 聚焦基础操作技能巩固; 当优势值稳定高于阈值, 切换至“挑战模式”: 引入组织颤动系数、器械阻力波动参数, 通过增加环境动态复杂性推动技能迁移。具体调节逻辑可参考以下伪代码示例, 实现“基础夯实-技能进阶”的自适应训练闭环。

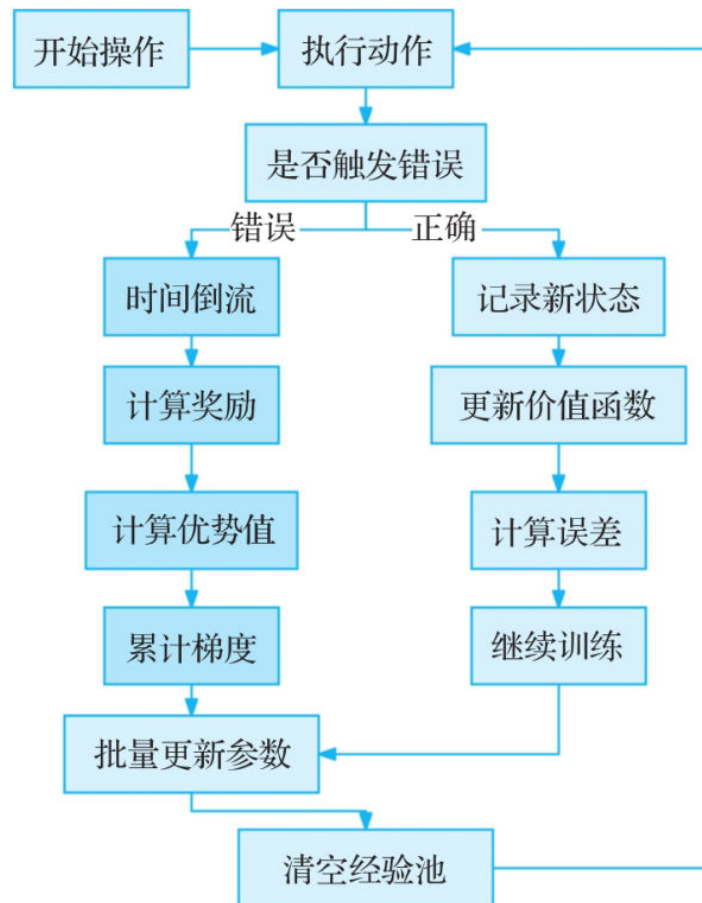


图9.4 基于Hololens 2策略的操作流程

```
# 伪代码示例：自适应难度调节
def adjust_difficulty(student_skill, error_rate):
    if error_rate < 0.1:
        return student_skill * 1.3 # 提升挑战
    elif error_rate > 0.4:
        return student_skill * 0.7 # 降低难度
    else:
        return student_skill * (1 + 0.2 * np.log(error_rate)) # 对数调节
```

9.1.3 具身学习的科学验证

1. 镜像神经元：大脑的“虚拟现实模拟器”

在长期的进化过程中，人类大脑逐渐演变出了一套“模仿学习系统”——镜像神经元。这些神经元就像内置的VR眼镜，让我们通过观察他人行为就能激活自己的运动控制区域。就像用飞行模拟器学开飞机，飞行模拟器通过液压系统驱动座椅晃动、模拟风压变化、还原引擎轰鸣，让飞行员在虚拟环境中产生“真实驾驶”的体感。大脑正是通过这些多模态反馈，将模拟操作与真实经验关联。

VR训练正是借鉴这一机制“欺骗”镜像神经元：通过高保真虚拟场景与触觉反馈设备（如振动手套、力反馈控制器），让学习者在操作虚拟对象时，镜像神经元被激活，产生“正在真实执行动作”的神经信号。这种“感知-运动”的神经闭环使大脑将虚拟训练等同于真实经历，从而高效提升技能掌握效率，如图9.5所示。



图9.5 VR训练模拟

大量实验证明，采用VR训练的模式比传统视频教学在学生的接受度上表现更优异，如表9.2所示。

表9.2 VR训练与传统视频教学对比

对比维度	VR 训练	传统视频教学
前运动皮层激活	87% 真实操作水平	31% 真实操作水平
技能迁移效率	首次实体操作误差降低 62%	首次实体操作误差降低 28%
知识留存率	6 个月后保留 68%	6 个月后保留 29%
复杂操作掌握	微血管吻合成功率 79%	微血管吻合成功率 49%
错误恢复能力	首次失误后精度下降 11%	首次失误后精度下降 41%
训练成本	初期设备投入高 (\$2 万 / 套), 但单次成本低	单次成本低, 但需重复培训

2. 本体感觉：全身参与的记忆加固

记忆不仅存储在大脑里，更编码在肌肉和关节中。当全身参与学习时，多重感官信号会编织成更牢固的记忆网络。

□ 视频教学：典型的被动学习，仅有视觉记忆，一段时间后遗忘率高达70%以上。

□ 具身学习：调动全身器官参与的学习，例如下蹲、转身观察，依靠视觉、运动和空间记忆的组合，即使经过长时间仍然能够保留70%以上的内容。

这种现象在语言学习中尤其明显，即使从小学开始学英语一直到大学毕业，很可能出国之后仍感觉自己还不如一个外国小学生，如图9.6所示。这是由于平时对英语的接触仅限于课本知识，生活中几乎完全用不上，无法刺激大脑深层细胞。

3. 神经可塑性：大脑的“健身增肌”

神经可塑性是大脑根据使用需求动态调整神经连接的能力，就像城市规划师根据车流量拓宽道路或改建道路，神经系统会随经验输入重塑自身结构。VR训练通过高强度、多模态的沉浸式刺激，触发以下两种关键的神经可塑性响应，原理如图9.7所示，神经可塑性发展曲线如图9.8所示。



图9.6 语言不同的外国人

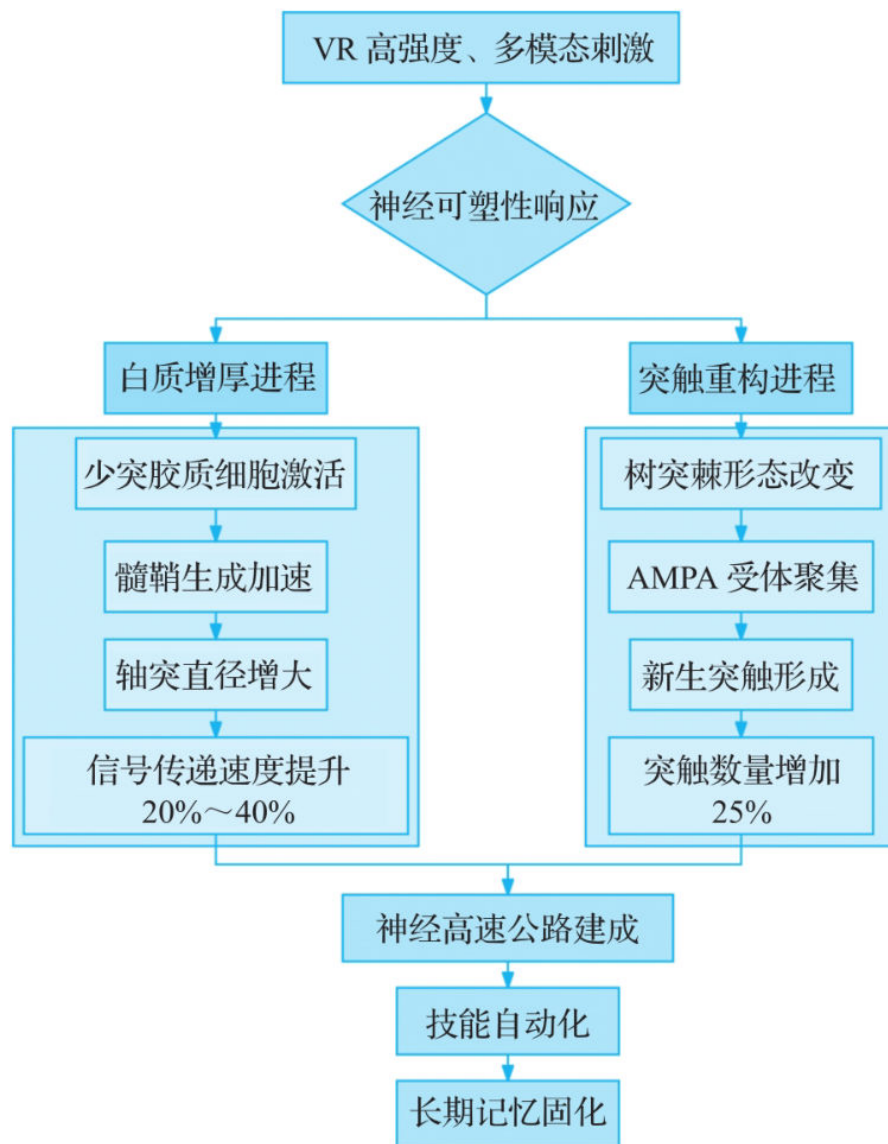


图9.7 VR训练原理

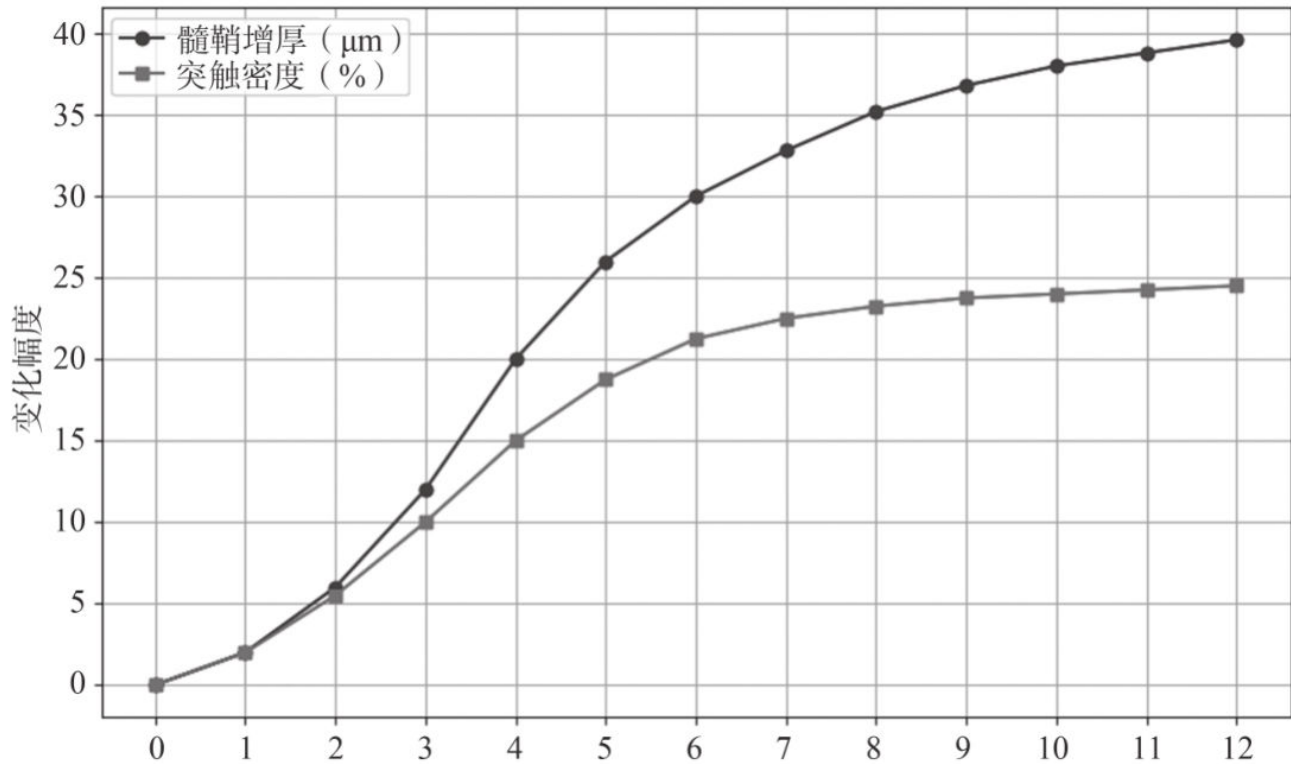


图9.8 VR训练神经可塑性发展曲线

□ 白质增厚：神经纤维的“绝缘层”（髓鞘）因高频刺激增厚，如同为信息传输铺设更优质的“高速路基”，使信号传递速度提升20%~40%。

□ 突触重构：高频使用的神经通路的突触数量增加25%，使原本分散的信息节点连接更紧密，形成信息“快速通道”。

9.1.4 教育范式的颠覆性变革

1. VR打破医学教育的“壁垒”

在乡村教室里，医学生戴上VR头显，瞬间置身顶级医学院解剖室。通过Meta Quest 2的手势追踪，他们能“抓起”虚拟手术刀，逐层解剖一具数字尸体——这具尸体可能来自挪威的罕见病例库，也可能根据非洲本地疾病特征定制生成，如图9.9所示。

配套的Visible Body在线学习软件包含24000多项资源，整合了数万例解剖数据，包括埃博拉病毒导致的器官病变等非洲特需案例。通过超声波触觉反馈

（UltraHaptics技术），学生能感知到动脉壁的弹性差异，例如健康血管和粥样硬化血管的区别。

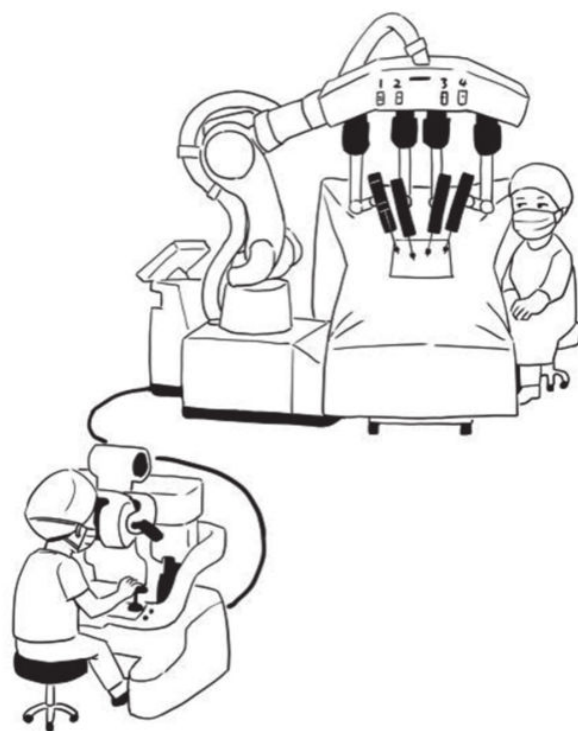


图9.9 乡村学生通过VR头显进行远程尸体解剖

此类虚拟解剖技术的价值在资源匮乏地区的医学教学实践中已得到验证。香港科技大学引入的“MetaAnatomy”VR解剖课程显示，学生的学习效率较传统模式提升近200%，操作准确率提高35%，充分印证了技术对教育公平的推动作用。

2. 从蚂蚁到蓝鲸的跨物种解剖

剑桥大学的ZooVR系统让解剖学突破时空限制：学生上一秒还在观察猎豹奔跑时肌肉纤维的实时应变（精度达0.1mm），下一秒就能“缩小”进入蓝鲸心脏，目睹这个200kg重的器官如何泵动8t血液。

该系统通过3D图谱的形式同时展示不同物种之间的相似结构，如人类手臂、蝙蝠翅膀与鲸鱼鳍肢的骨骼结构，清晰地揭示出它们共同祖先的遗传特性。这种对比展示方式有助于学生理解生物进化过程中不同物种的同源关系，将抽象的进化概念变得具体、形象。

使用者可以输入动物的相关数据，如猎豹的体重和速度，系统能够自动计算出每块肌肉的收缩力与能耗。这一功能可以让学生从力学和能量的角度深入理解动物的运动原理，更全面地掌握动物的生理机能。图9.10是根据VR通用软件的设置规则推测出的ZooVR系统UI界面。



图9.10 ZooVR系统的UI界面

该VR解剖系统基于生物力学建模、进化生物学数据库及病理生理学参数，设计了五大核心功能模块，操作逻辑贴合真实科研与教学场景。

(1) 跨物种解剖对比

通过手柄触控系统选中虚拟物种图标（如猎豹），配合手势识别技术向左划动调入左面板；同理，左手选取蓝鲸图标向右划动，实现跨物种解剖特征的实时同屏对比。

(2) 多尺度动态观察

凝视目标解剖部位（如心肌）2s触发注视锁定，语音指令“放大至细胞级”后，系统通过层级渲染技术平滑过渡至心肌细胞线粒体超微结构；反之，手掌张开向外推合触发“退回器官级”指令，基于预计算的解剖层级数据快速切换视图，兼顾精度与效率。

(3) 生物力学模拟

单击“动力学模拟”模块弹出生物力学参数表：输入猎豹的体重45kg、速度93km/h等生理数据，系统调用相关计算模型计算股四头肌峰值应力（82MPa）。滑动“地面摩擦系数”模块实时更新肌肉功耗曲线，观察相关数据的变化。

（4）进化树协同构建

从侧边栏拖出不同物种骨骼部件，放置到虚拟进化树上；正确匹配时部件自动吸附并亮绿灯（如蝙蝠指骨对应人类掌骨）；错误时触发震动反馈并显示正确化石证据（如始祖鸟前肢对比），帮助用户理解进化连续性。

（5）病理入侵模式

教师可向学生端植入“病变参数”，如将猎豹心肌细胞ATP产能降低70%，观察学生如何诊断“扩张型心肌病”；支持多人协作治疗，需在3min内完成药物注射+起搏器植入虚拟操作。

假设你戴上了VR眼镜，进入了正在癌变的肺部细胞内部，此时，癌症细胞将会以一种全新方式呈现在你的面前，如图9.11所示。

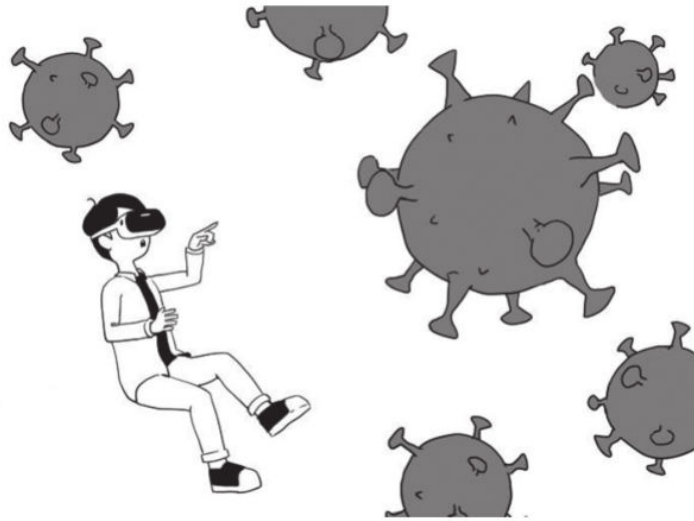


图9.11 人类全新的癌细胞观察方式

9.2 机器人的具身学习法

9.2.1 动手操作如何通过具身认知提升学习效率

在乐高教育支持的系列研究中发现：通过实体积木学习机械原理的动手组，在知识留存率和问题解决灵活性上显著优于纯屏幕学习组。研究显示，动手组在传动比测

试中得分平均高出39%。这种差异印证了具身认知理论的核心观点——身体动作是认知发展的核心动力。

乐高机器人教育通过“拼搭-编程-调试”的物理交互循环，将抽象逻辑转化为触觉体验。当孩子目睹自己编写的代码驱动齿轮转动时，他们不仅在学习编程，更在经历从肌肉记忆到数学思维的神经重塑。

认知科学中的具身认知（Embodied Cognition）理论指出，人类的思维并非纯粹的大脑活动，而是身体与环境互动的产物，如图9.12所示。

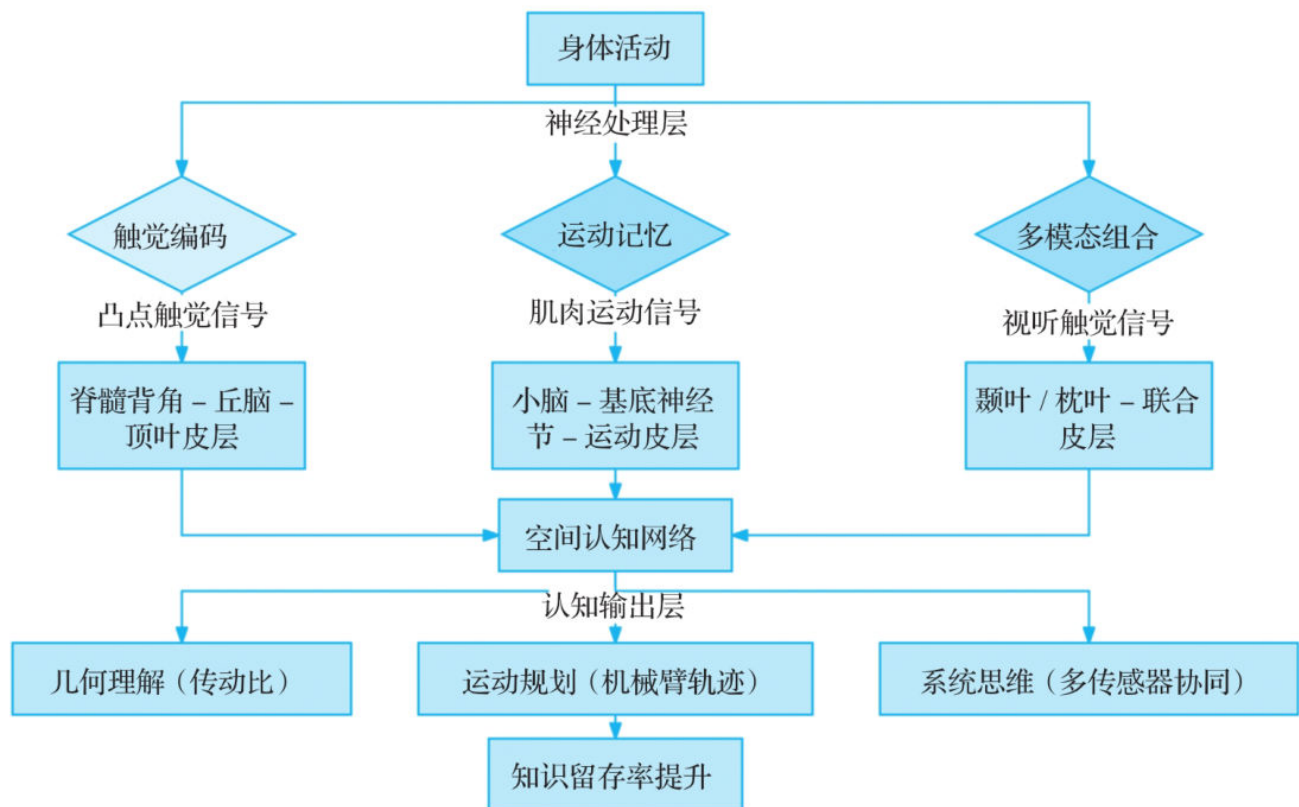


图9.12 身体塑造思维的过程

假设我们要让一个孩子认识什么是传动比，有两种教学方案：一种是传统的纯理论教学方案，另一种是基于动手能力的演示方案。

传统的纯理论教学方案基于课本知识，明确告知孩子传动比是用从动齿轮的齿数除以主动齿轮的齿数，或者用主动齿轮转速除以从动齿轮转速。当传动比大于1时，从动齿轮转速降低，输出扭矩增大（减速增力）；当传动比小于1时，从动齿轮转速提高，输出扭矩减小（增速减力）。这种教学方式虽然严谨，但较为抽象，对想象力要求较高。

基于动手能力的演示方案是让孩子亲自动手，无须理解传动比的理论概念也能形成“减速增力”的直觉，如图9.13所示。



图9.13 孩子调整齿轮传动比

9.2.2 机器人教育体系构建

当第一台海龟机器人笨拙地爬过麻省理工学院的实验室地板，用油性笔在纸上留下歪斜的三角形时，开发者西蒙·派珀特（Seymour Papert）或许未曾预见，这个由电机、齿轮与简单电路组成的“教学工具”，将掀起一场持续半个世纪的教育认知革命。

从齿轮咬合的机械启蒙教具，到智能传感与AI算法驱动的教育机器人，其进化史就像一部微型的人类技术史诗——每个硬件迭代都承载着认知科学对“学习如何发生”的新认知；每段代码优化都映射着教育哲学从“知识灌输”到“能力构建”的深层转变。

图9.14是教育机器人诞生以来主要经历的5个技术变革阶段。

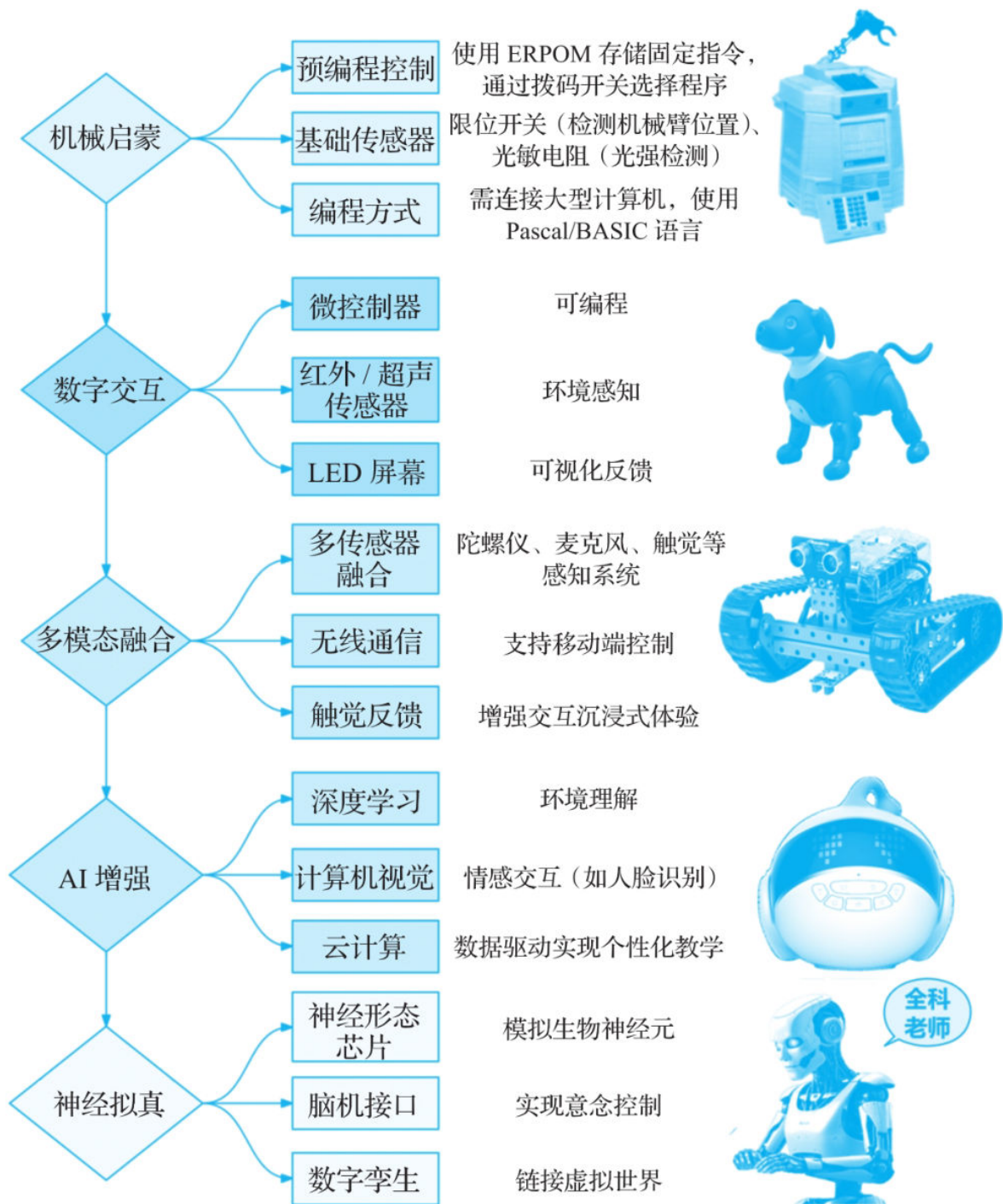


图9.14 教育机器人的5个技术变革阶段

纵观教育机器人的进化史，在技术上，从机械启蒙到数字交互，从多模态融合到AI增强，再到神经拟真，教育的方式也在这一过程中不断优化，从程序逻辑训练到工程思维训练，从社会情感学习到认知增强开发。未来，将是生物融合与量子飞跃的技术结合。表9.3展示了机器人进化过程涉及的关键参数对比。

9.2.3 具身编程语言的设计原则

具身智能的编程语言就像给机器人写“生存指南”。它的设计旨在让机器跳出传统程序的“线性思维”，转而模拟人类“感知-决策-行动”的具身智能模式，重点解决“如何让机器像人一样与环境自然交互”。以下是其四大核心设计原则。

表9.3 机器人进化过程涉及的关键参数对比

参数	1980—1999 年	2000—2019 年	2020 年至今
处理器速度	1MHz (等效)	16MHz (RCX)	120MHz~2.4GHz
传感器种类	2 种 (基础版)	3~6 种 (含扩展)	7~16 种 (依机型)
交互延迟	500~800ms	50~280ms	18~50ms
学习算法复杂度	有限状态机	决策树 (可选)	规则引擎 /DRL (高端)
单机成本	\$2875 (原型)	\$199~\$799	\$180~\$500

(1) 感知与行动同步原则

传统程序遵循“数据采集到分析决策再到执行动作”的线性流程。但具身智能要求机器像人类一样“边感知边行动”——骑行时，眼睛观察路况（视觉感知）、手部调整车把（动作反馈）、脚部控制踏频（动作执行）三者同步进行。具身编程语言通过并行计算架构与实时传感器融合技术，让感知与行动形成闭环：在激光雷达扫描障碍物的同时，运动控制器已根据数据调整舵机角度，真正实现“所见即所动”。

(2) 模块化技能组件设计

具身智能程序采用“基础技能模块+场景化组合”的设计逻辑，类似乐高积木的自由拼接。每个模块封装单一功能（如“避障”“抓取”“导航”），通过标准化接口实现跨模块调用。例如，清洁机器人搭载“路径规划”模块后，只需叠加“玻璃擦拭”技能组件，即可升级为擦窗机器人；若再集成“语音交互”模块，又能转型为家庭服务助手。这种设计让机器智能具备强扩展性，无须重写底层代码即可适应新任务。

(3) “安全护栏”机制

具身智能必须像人类遵守交通规则般，内置“安全护栏”防止失控。编程语言通过实时风险监测引擎与分级制动机制来实现这一点。例如给无人机设定“电子围栏”，当飞行高度突破阈值时，系统立即触发三级制动（先减速、再悬停、最后返

航)。又如波士顿动力机器狗的编程语言则规定“跌倒检测”：若姿态传感器检测到重心偏移超阈值，会自动启动防摔策略（收缩腿部、调整重心）。这些“硬性规则”是机器与物理世界安全共存的保障。

（4）强化学习驱动的自主进化

具身智能拒绝“填鸭式”编程，更强调在实践中学习。编程语言集成强化学习框架，允许机器通过“试错-反馈-优化”自主优化行为：谷歌DeepMind训练机械臂在抓取物体时，不预先设定运动轨迹，而是随机尝试百万次抓取动作，成功时奖励多巴胺式信号，失败时记录误差。这种“自然生长”式学习，让机器能适应复杂多变的环境，真正具备“举一反三”的智能，如图9.15所示。



图9.15 机器人具备“举一反三”的智能

9.3 具身教学课堂

9.3.1 动态教学实验

在某个秘密“动态数学实验室”，12岁的小运动员正手持激光笔在体育馆内奔跑。她的运动轨迹实时投射在墙面网格上，随着她突然转向形成的锐角，空中立刻浮现

三角函数公式：“ $\tan \theta = \text{对边} / \text{邻边} = 1.73$ ”。当她以S形路线绕过障碍物时，地面投影自动生成傅里叶级数曲线。

传统数学教育建立在笛卡儿身心二元论基础上，将数学视为纯粹抽象符号操作。在笛卡儿身心二元论中，心灵和身体被看作相互独立的实体，心灵负责思维，身体代表物质。基于这种理论，传统数学教育认为数学是完全由心灵进行的活动，与身体的实际经验和感知无关，仅仅把数学当作对抽象符号（如数字、字母、运算符号等）的操作和处理。

传统的课堂教学通常都是填鸭式教学，如图9.16所示。

这种课堂主要以黑板、PPT为输入载体，抑制了学生的动手能力，极大地削弱了学生学习的积极性和实际效果。

某研究机构的统计发现，当小朋友用手比划着表示分数时，大脑的顶叶皮层会变得活跃起来。而当小朋友在心里计算分数时，同样是大脑顶叶皮层的这个区域变得活跃。也就是说，无论是用手势表示分数，还是在脑子里计算分数，大脑中活跃的都是同一个区域。



图9.16 传统的填鸭式教学

麻省理工学院（MIT）的研究发现，当我们做投掷动作，观察投掷物划出抛物线轨迹时，小脑会对该动作的各种参数进行调整优化，比如力度和角度，如图9.17所示。

神奇的是，小脑进行这些调整优化的过程，与我们在数学中求解二次函数极值的过程，使用的是大脑中相同的神经回路。也就是说，我们在扔东西时，小脑的工作方式与我们解数学题时的某种思维方式存在关联。

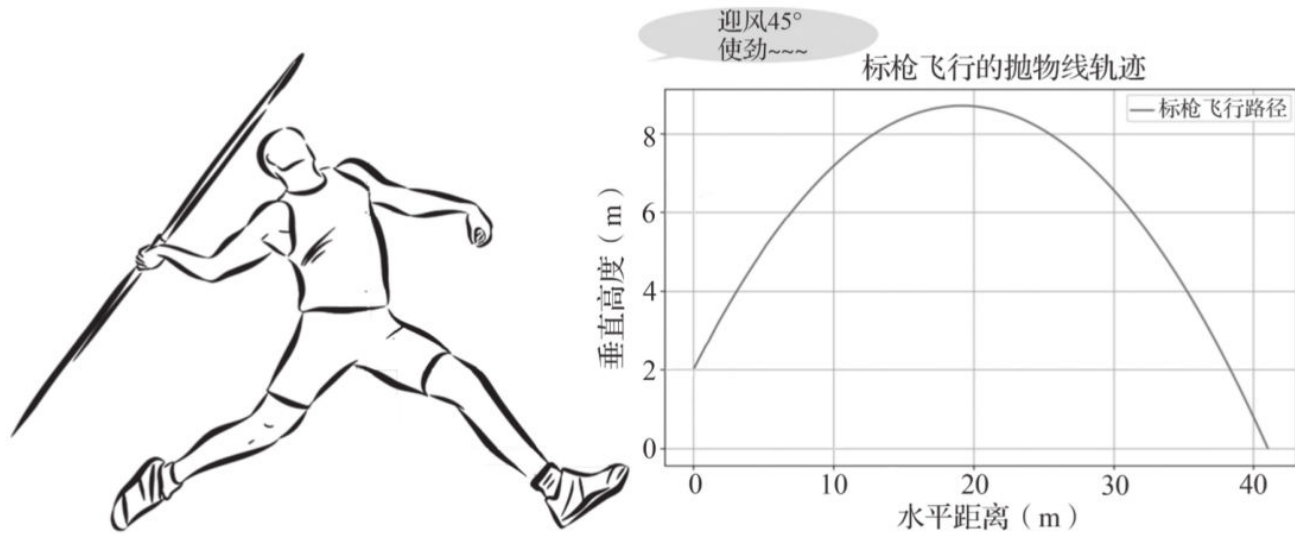


图9.17 投掷期间的小脑调整优化的过程

9.3.2 神经重塑：运动如何优化数学脑网络

1. 小脑-顶叶通路的双重作用：从运动协调到数学建模

传统神经科学将小脑简单归类为“运动协调中心”，但近十年神经影像学与计算神经科学的突破性研究彻底改写了这一认知。DTI弥散张量成像显示，小脑齿状核与顶叶角回之间的白质纤维束密度与心算速度有着高度的相关性。这种结构-功能耦合的发现，彻底改变了我们对数学脑网络的理解。

进一步的研究表明，小脑可以通过以下两条途径参与数学处理。

(1) 运动-符号转换通路

小脑VI小叶接收来自前运动皮层的信号，将其转化为符号化表征，再经丘脑传递至顶叶下小叶。这条通路解释了为何手势比划分数时，顶叶皮层会同步激活，即身体动作通过小脑完成了运动到符号的认知翻译。

(2) 误差修正环路

小脑蚓部通过比较预期动作（如心算步骤）与实际认知操作的差异，实时调整认知策略。这种“实时纠错”机制与运动中调整投掷力度的神经逻辑高度同源。

基于上述发现，未来具身智能系统的数学教育应用正突破传统边界：

1) 动态触觉反馈。智能数学教学手套通过指尖振动频率模拟数值大小。当学生进行分数运算时，手套会生成对应比例的触觉刺激，强制激活小脑-顶叶通路。实验数据显示，使用该装置的儿童心算速度提升27%。

2) 运动轨迹分析。通过摄像头捕捉手指微动作，如无意识敲击桌面，利用卷积神经网络识别其与错误解题模式的相关性，实时提供运动矫正建议。例如，当检测到学生在解方程时频繁出现“手腕快速抖动”，系统会识别其为“符号混淆”错误，实时投影提示“检查变量定义域”，并通过振动反馈引导调整书写姿势。

2. 镜像神经元系统的数学潜能：从动作模仿到概念内化

想象你正在看老师拼七巧板，当老师的手移动三角形时，你的大脑里其实在“偷偷模仿”这个动作——这就是镜像神经元系统在发挥作用，如图9.18所示。

艾米是一名上课爱走神的小朋友。假设现在有一款智能手环，可以根据艾米的身体机能做出实时反馈，从而成为艾米学习路上的隐形帮手。这款智能手环监督艾米的学习过程如图9.19所示，其不同程度的干预措施及生理效应如表9.4所示。

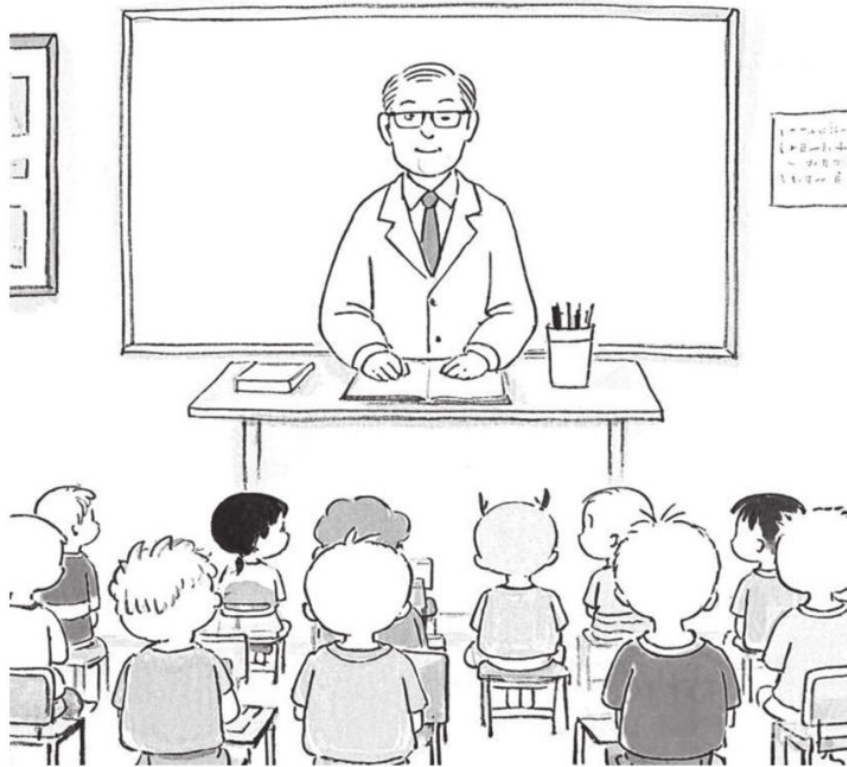


图9.18 课堂上的模仿学习

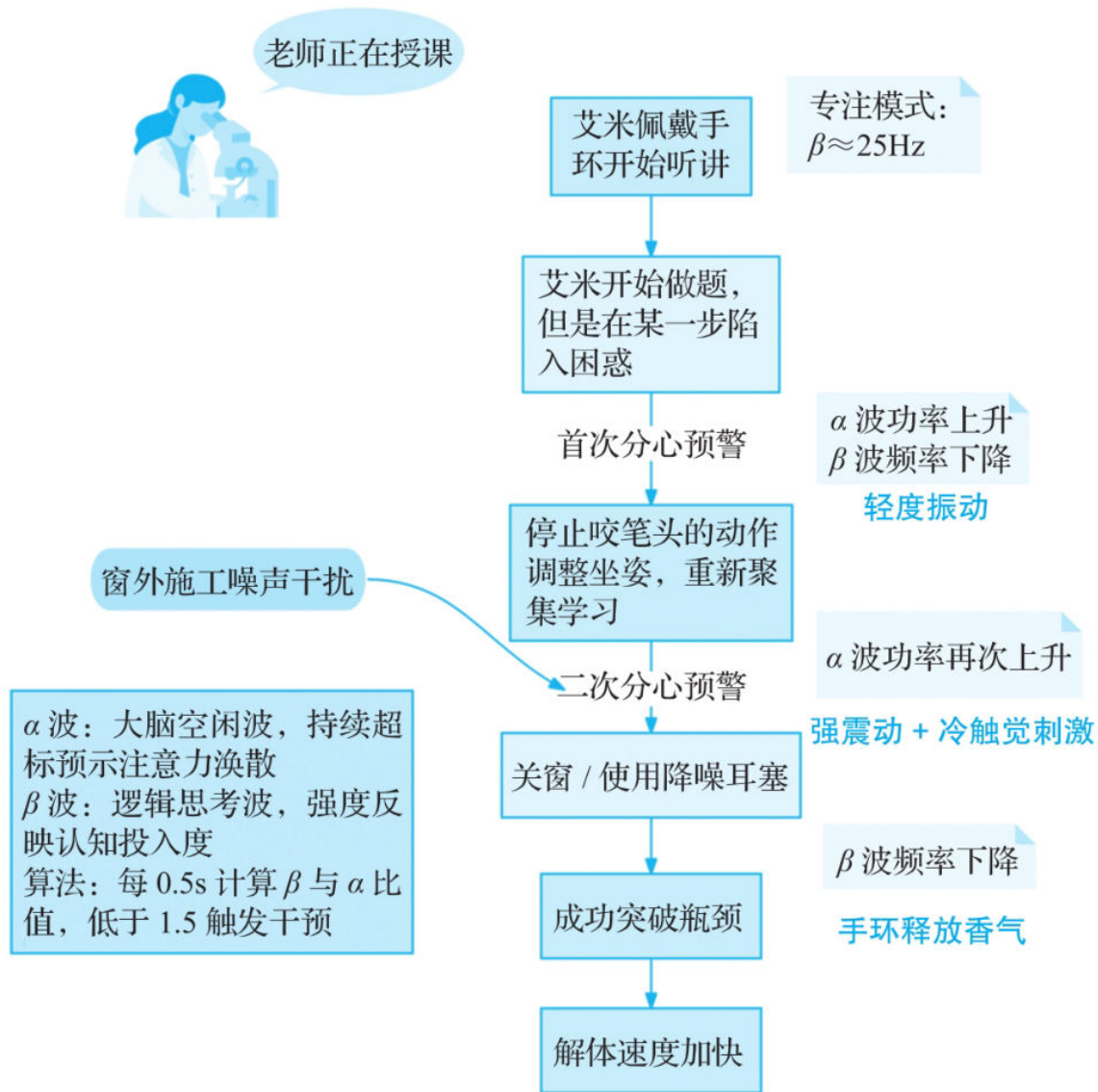


图9.19 智能手环监督学习过程

表9.4 不同程度干预措施及生理效应

分心程度	干预措施	生理效应
轻度	微震动	激活皮肤机械感受器
中度	震动 + 冷刺激	触发蓝斑核去甲肾上腺素释放
重度	震动 + 冷刺激 + 气味提示	同时激活嗅觉通路与边缘系统

该案例揭示了具身智能用于教育的两个突破方向:

□ 即时神经反馈使抽象思维过程“可视化”，学生能像运动员调整动作一样优化思考策略。

□ 具身认知技术打破了“纯脑力劳动”的局限，使身体状态成为数学学习的可控变量。

9.3.3 具身认知视角下的机械臂控制教学

具身认知的隐喻映射理论强调，抽象数学概念本质上是身体经验的隐喻延伸。该理论认为，身体的结构、感觉运动系统和活动形式塑造了高级认知过程。例如，“线性关系”这一抽象概念可能源于人们直线行走的身体体验，而“曲率”则可能来自转弯时的本体感觉。在这些具体体验中，人们逐渐形成了对抽象数学概念的理解和表征。

下面以机械手臂的关节角度分析为例，说明运动手臂全流程的控制策略，如图9.20所示。

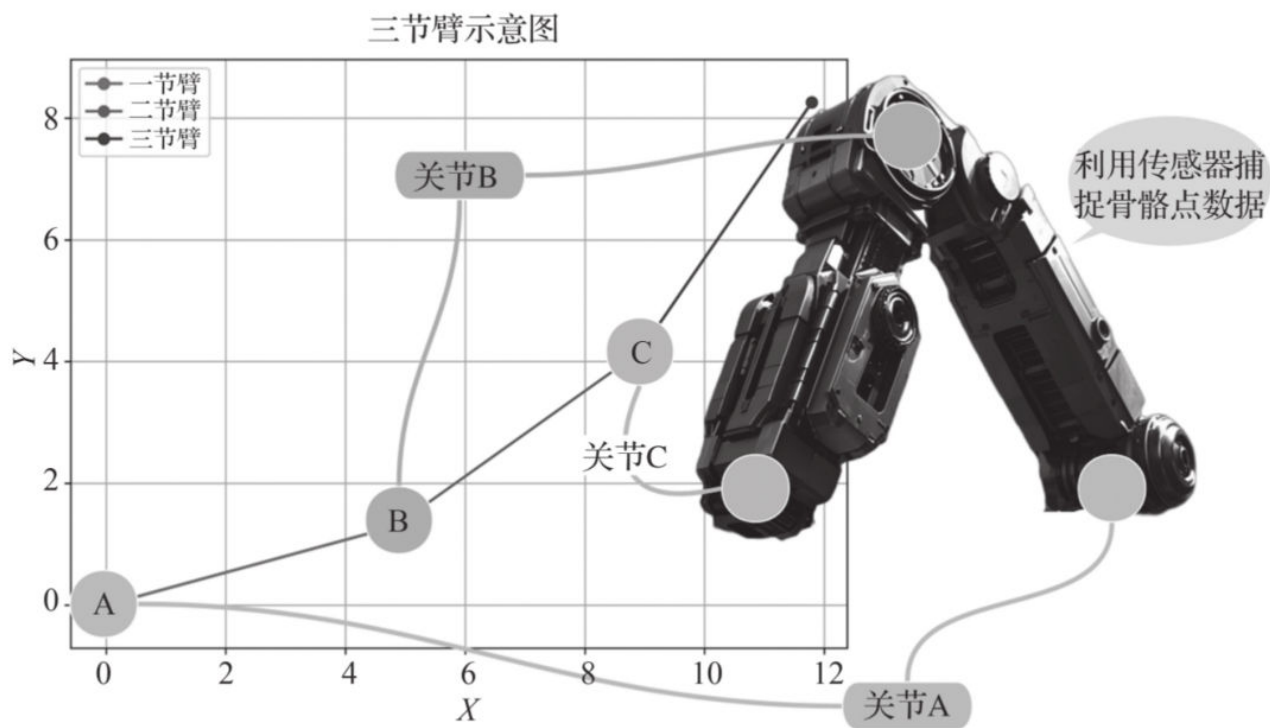


图9.20 机械手臂的关节角度分析

1. 关节角度分析：空间推理的量化评估

本环节的实现路径为：多传感器数据融合→运动学建模→空间拓扑分析→认知能力映射。

- 1) 多传感器数据融合。使用深度传感器捕捉骨骼点数据，通过TOF技术实现毫米级定位精度；利用内置IMU捕获关节角速度，提升采样频率以捕捉微动作。
- 2) 运动学建模，确定关节角度计算模型，给定三维空间中三个关节点坐标：

$$A(x_A, y_A, z_A), B(x_B, y_B, z_B), C(x_C, y_C, z_C)$$

定义向量

$$\overrightarrow{AB} = B - A = \begin{pmatrix} x_B - x_A \\ y_B - y_A \\ z_B - z_A \end{pmatrix}$$

$$\overrightarrow{BC} = C - B = \begin{pmatrix} x_C - x_B \\ y_C - y_B \\ z_C - z_B \end{pmatrix}$$

点积运算

$$\overrightarrow{AB} \cdot \overrightarrow{BC} = (x_B - x_A)(x_C - x_B) + (y_B - y_A)(y_C - y_B) + (z_B - z_A)(z_C - z_B)$$

向量范数

$$\|\overrightarrow{AB}\| = \sqrt{(x_B - x_A)^2 + (y_B - y_A)^2 + (z_B - z_A)^2}$$

$$\|\overrightarrow{BC}\| = \sqrt{(x_C - x_B)^2 + (y_C - y_B)^2 + (z_C - z_B)^2}$$

关节角度计算

$$\theta = \arccos\left(\frac{\overrightarrow{AB} \cdot \overrightarrow{BC}}{\|\overrightarrow{AB}\| \cdot \|\overrightarrow{BC}\|}\right)$$

上式中， $\theta \in [0, \pi]$ ，此模型广泛应用于人体运动分析、机器人逆运动学、虚拟姿态评估和医疗康复健康等领域。

3) 空间拓扑分析。构建关节空间图结构模型，将关节点抽象为“节点”、关节间连接定义为“边”，通过图遍历算法与拓扑特征提取分析关节空间布局的逻辑合理性；同时，借助拓扑数据分析等技术刻画动作轨迹的空间形状特性，验证其是否符合人体运动学空间的生理约束。

4) 认知能力映射。通过空间拓扑分析实现两个维度的能力提升：一方面，基于标注的运动认知数据集训练深度学习模型（如LSTM、图神经网络），将连续关节角度信号映射为认知量化指标；另一方面，结合运动科学理论构建规则推理框架，通过模糊逻辑、证据合成等方法，实现关节角度特征到认知状态的“定性-定量”映射。

2. 运动节奏监测：机械臂工作记忆负荷的频谱解析

本环节的实现路径为：信号预处理→相空间重构→Lyapunov指数计算→认知状态分类。

1) 信号预处理。采用小波变换（db4小波基）滤除高频噪声（>10Hz），利用ICA算法分离惯性运动与生理震颤实现降噪处理，计算运动过程的主要频率成分（FFT分析），并提取样本熵表征运动复杂度以实现特征提取。

2) 相空间重构。通过互信息法确定最佳时延 τ ，采用虚假近邻法确定重构规则。

$$\mathbf{X}(t) = \begin{pmatrix} a(t) \\ a(t+\tau) \\ a(t+2\tau) \\ \vdots \\ a(t+(m-1)\tau) \end{pmatrix} \in \mathbb{R}^m$$

其中

$$a(t) \in \mathbb{R}, t=1, 2, \dots, N$$

上述公式中，涉及的符号及其用法如表9.5所示。

表9.5 符号及其用法

符号	数学意义	典型取值	物理意义
τ	时间延迟	通过互信息法确定	数据相关性衰减周期
m	嵌入维度	通过虚假近邻法确定	系统自由度数量
t	时间索引	$t \leq N - (m - 1)\tau$	观测时刻
$X(t)$	重构状态向量	—	系统在 m 维相空间中的瞬时状态

3) Lyapunov指数计算。基于相空间重构得到的多维时间序列采用经典方法计算系统的最大Lyapunov指数。该指数反映系统对初始条件的敏感程度：若指数为正，表明任意相邻运动轨迹会随时间呈现“指数级发散”的运动状态，对应机械臂在高记忆负荷下运动的复杂度与不稳定性；若指数为负或零，表示相邻轨迹会随时间呈现“指数级收敛”的运动状态，体现运动的周期性/规律性。

4) 认知状态分类。将Lyapunov指数、信号预处理提取的样本熵（运动复杂度）、FFT主频率成分等特征，输入支持向量机（SVM）、卷积神经网络（CNN）等机器学习分类器，通过训练建立“特征-认知状态”映射关系，最终实现对机械臂操作过程中不同工作记忆负荷等级（如低、中、高负荷）或操作熟练度等级的自动识别与分类。

3. 手势轨迹建模：教学策略认知阶段解析

手势轨迹建模的实现路径为：手势轨迹捕捉→分形维度计算→认知阶段判定→教学策略推荐。

1) 手势轨迹捕捉。以10ms为间隔对手部中心坐标点进行采样，获取原始轨迹序列，采用多次样条插值曲线进行平滑处理，计算运动速度的变异系数（CV），并统计运动方向的香农熵以实现特征参数化，如图9.21所示。

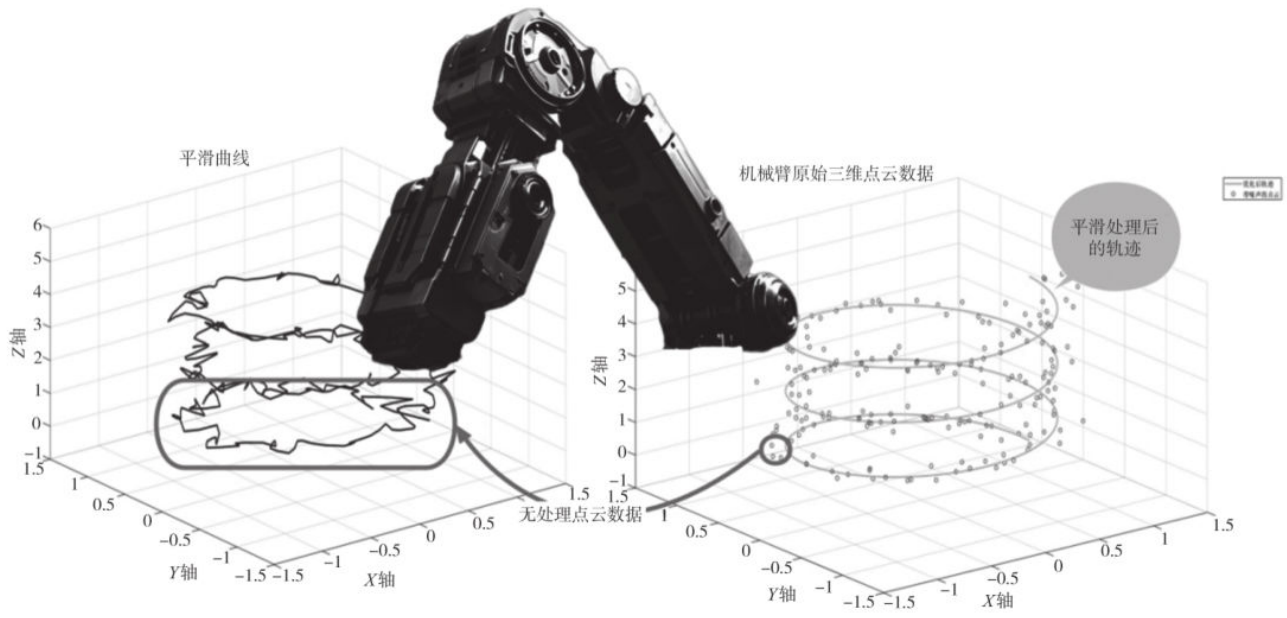


图9.21 机械臂的跟踪采样

速度的变异系数（CV）的计算公式如下：

$$CV = \frac{\text{速度波动幅度}}{\text{平均速度}} \times 100\%$$

CV值越小，控制越稳定；反之则控制波动较大。香农熵则代表变化的多样性，低熵表示控制策略稳定，高熵表示控制策略变化大。

2) 分形维度计算。分形维度是描述物体复杂程度的数学指标，其中轨迹越复杂，分形维度越高，同时表明思维越活跃、越发散。分形维度的计算流程如图9.22所示。

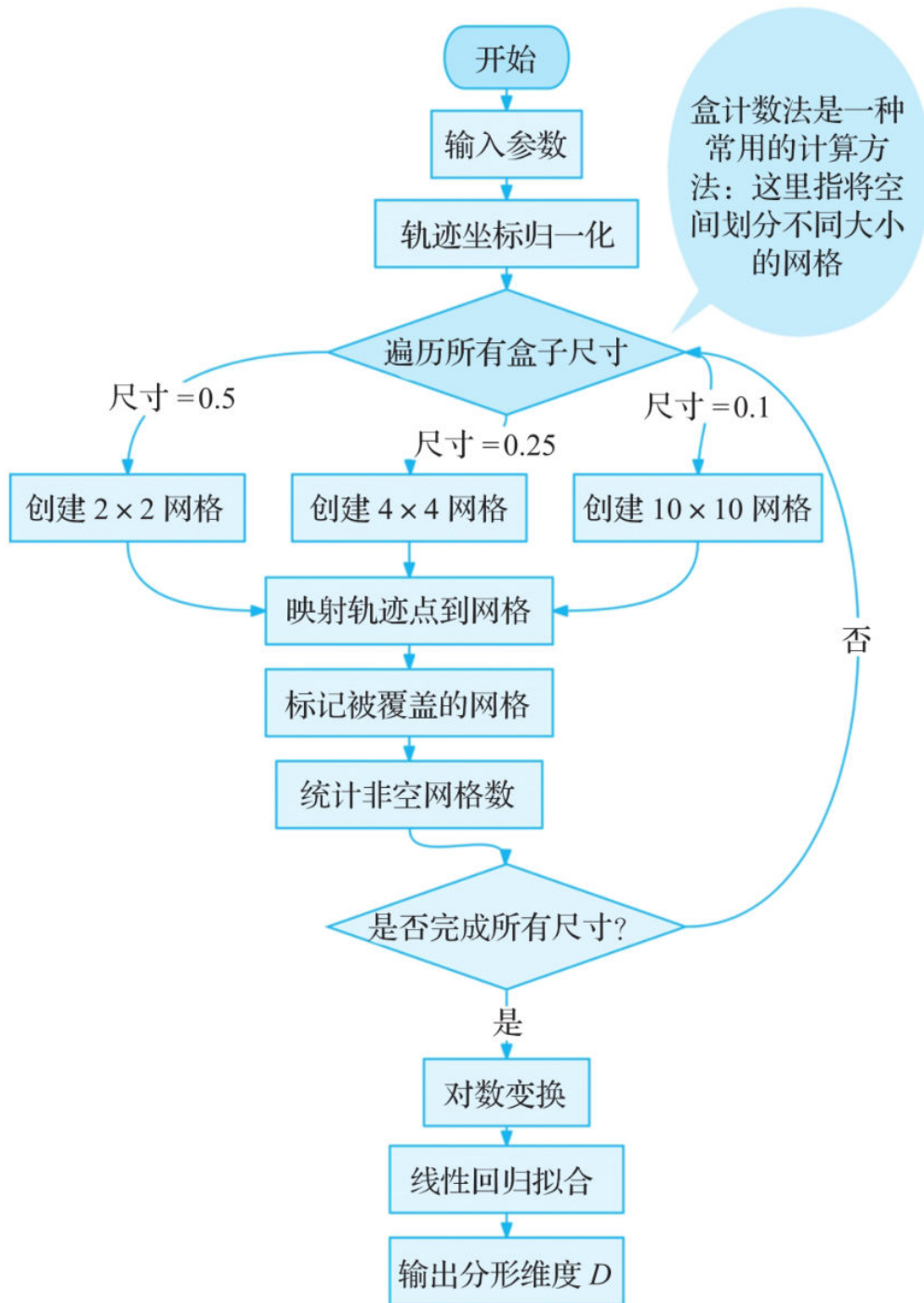


图9.22 分形维度计算流程

分形维度输出后，系统进入教学决策阶段，流程如图9.23所示，其不同类型的数据分析如表9.6所示。

表9.6 不同类型的数据分析

学生类型	分形维度	手势特征	系统响应
直线型	1.05	机械重复动作	推荐创意绘画活动
正常型	1.48	自然流畅轨迹	显示鼓励性反馈
混乱型	1.82	频繁无规律抖动	触发放松小游戏

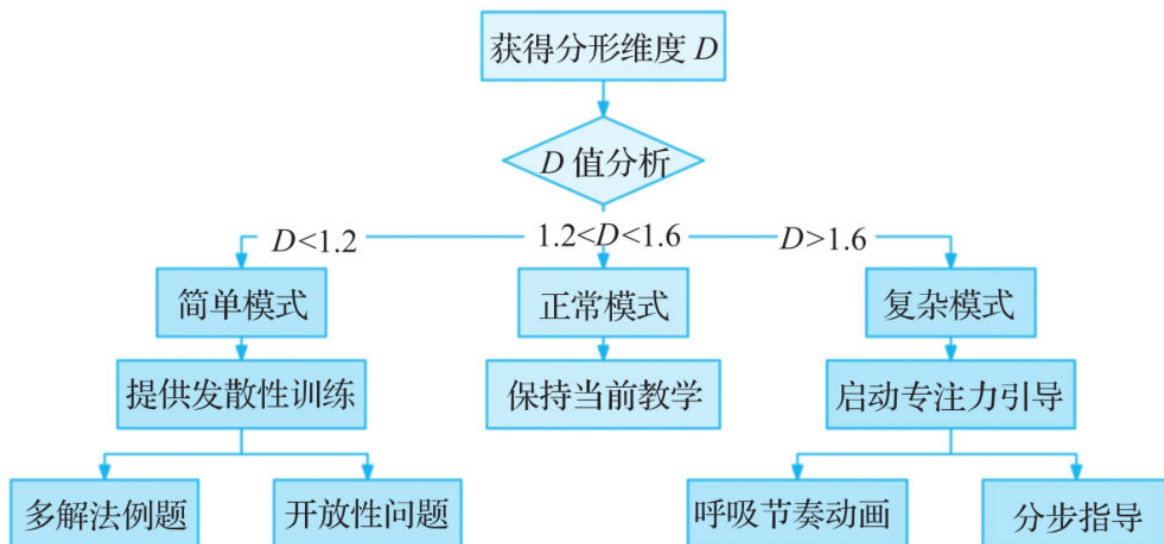


图9.23 分形维度计算后的教学决策流程

具身智能强调智能体通过身体-环境互动实现认知发展，其核心挑战在于动作复杂性无法量化，而分形维度正好提供了量化分析工具，通过数学模型将手势轨迹的“空间填充能力”映射到“思维活跃度”，解决了“动作复杂程度无法客观衡量”的难题，其工作过程如图9.24所示。

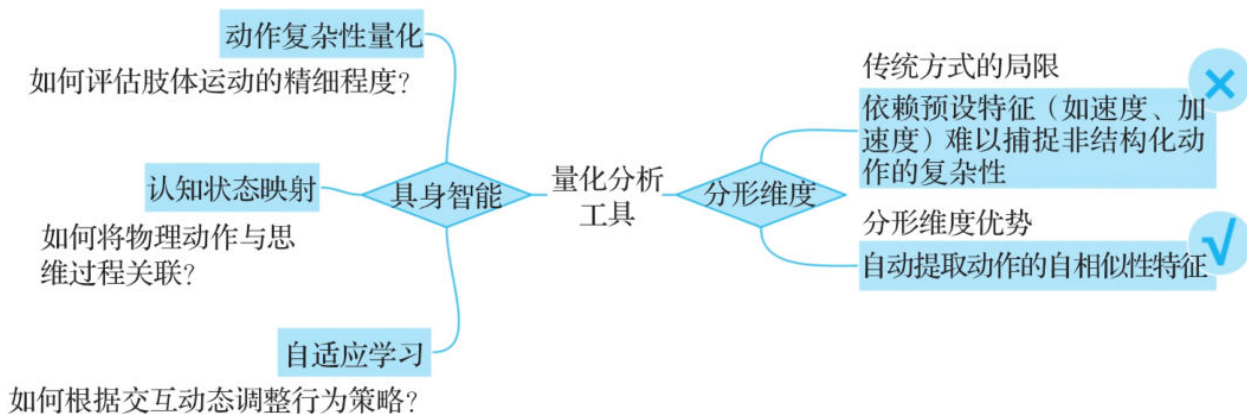


图9.24 量化分析工具的工作过程

结合多模态数据，系统可进一步优化策略选择，教学伪代码示例如下：

```
# 伪代码：分形维度与力反馈驱动的策略选择
def select_strategy(trajectory_D, force_variance):
    # 低维度 + 低力波动：机械重复，需激发创造性
    if trajectory_D < 1.4 and force_variance < 0.2:
        return "创意模式"
    # 中维度 + 中力波动：正常流畅，需巩固与鼓励
    elif 1.4 <= trajectory_D <= 1.8:
        return "自适应模式（如进阶任务、正向反馈）"

    # 高维度 + 高力波动：混乱无序，需放松与引导
    else:
        return "探索模式"
```

3) 认知阶段判定。基于分形维度 D 值量化划分学生认知状态：

- $D < 1.2$ ：对应“直线型”学生，认知处于简单模式。
- $1.2 < D < 1.6$ ：对应“正常型”学生，认知处于正常模式。
- $D > 1.6$ ：对应“混乱型”学生，认知处于复杂模式。

4) 教学策略推荐。根据认知阶段判定结果，输出数据驱动的精准干预：

- 简单模式：推荐发散性训练（创意绘画）、多解法例题、开放性问题，激发思维灵活性。
- 正常模式：保持当前教学节奏，给予鼓励性反馈。
- 复杂模式：启动专注力引导（呼吸节奏动画）、分步指导，或针对混乱型学生触发放松小游戏，缓解认知负荷。

CHAPTER 10 第10章 太空身体改造

在人类对火星的探索蓝图中，科学家设想了一种仿生探测器的雏形——未来它或许会在火星的红色荒漠中，用类似生物触须的柔性传感器轻触岩石。与传统探测器不同，它的运动不会依赖地面预设的程序脚本，也不会完全由地球指令遥控，而是依托内置的多模态感知系统实时采集重力场变化、宇宙辐射波动及岩石成分的地质反馈等数据，通过具身智能算法自主整合信息，进而“涌现”出适应复杂地形的探索行为。

这种设计指向一个关键命题：在宇宙极端环境下，如何让智能体通过与身体的物理交互和对环境的持续感知，逐步进化出不需要人工干预的生存与探索策略。本章将围绕这一前沿方向，探讨太空特殊物理条件对具身智能系统的挑战，以及如何通过“身体-环境”的动态耦合实现自主适应性进化。

10.1 太空环境中的身体重塑

10.1.1 低重力环境下的感知变化

1. 为什么要重塑感知系统

在低重力环境下，地球演化百万年的感知系统面临根本性失效。以火星为例，当踏上火星的那一刻，你会明显感觉到：

□ 前庭系统紊乱：内耳耳石对重力的检测灵敏度下降30%~40%，导致空间定向障碍发生率提升4~5倍；运动病发作频率显著增加。

□ 本体感觉失真：肌肉纺锤体信号衰减，关节位置觉误差达 $\pm 15^\circ$ 。

□ 视觉-运动失联：物体坠落速度改变，火星表面重力加速度为 3.71m/s^2 （地球表面重力加速度为 9.81m/s^2 ），导致抓取动作失败率提升38%；距离判断误差达25%。

图10.1是感知系统重塑的四个维度。

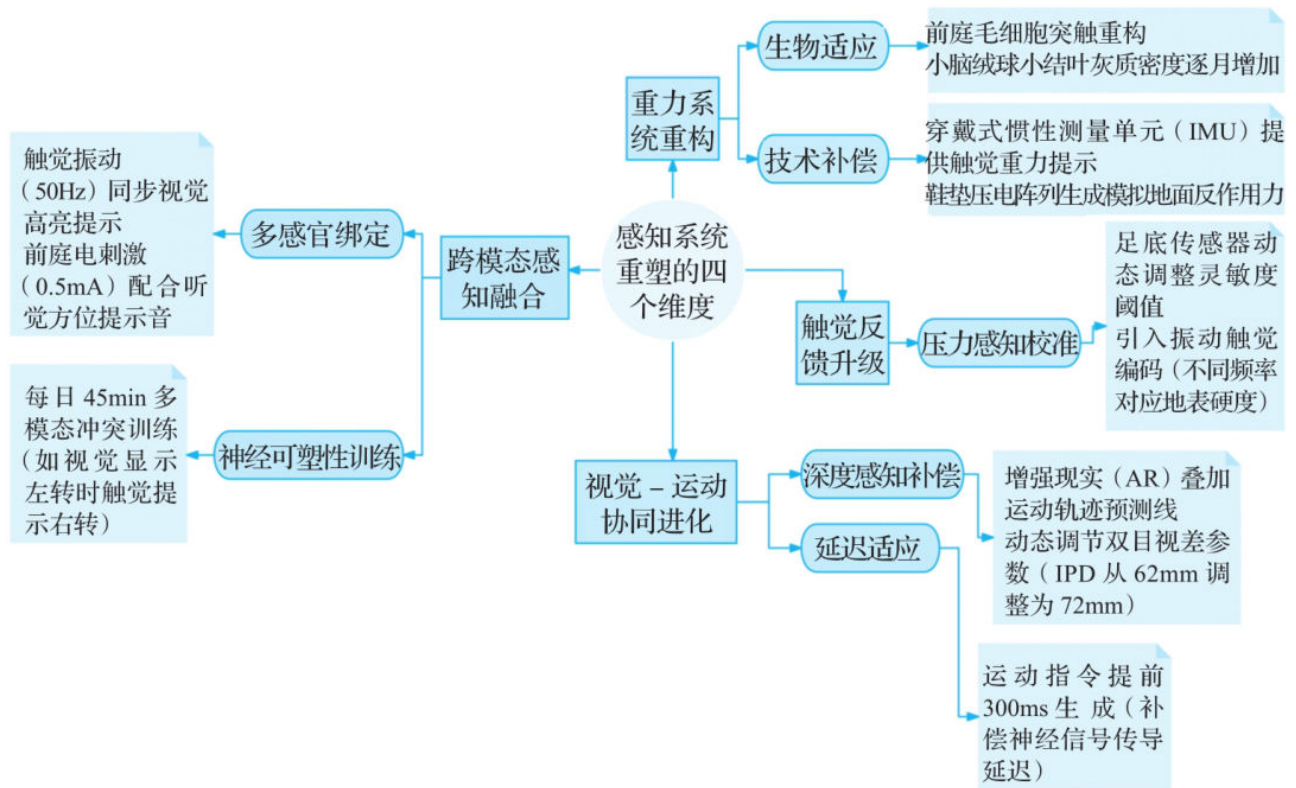


图10.1 感知系统重塑的四个维度

2. 重塑感知系统的技术实现路径

针对火星低重力环境下感知系统失效的核心挑战，具身智能体的感知系统重塑需通过环境感知-动态控制-策略优化的闭环技术链实现，具体路径如下。

(1) 设置自适应控制策略

实时监测地形、重力等变化，基于强化学习预训练的控制策略网络，结合实时感知数据动态调整运动参数，建立容错修复机制，出现异常状况时启动备用方案。

(2) 闭环智能调节系统

系统以0.1s (10Hz) 为周期完成“感知-决策-执行”闭环，利用动态控制器实时调节关节力度，为每个动作序列（如移动、抓取、攀爬）定义多维度评分指标并打分，根据综合得分情况生成最优控制策略模型，如图10.2所示。

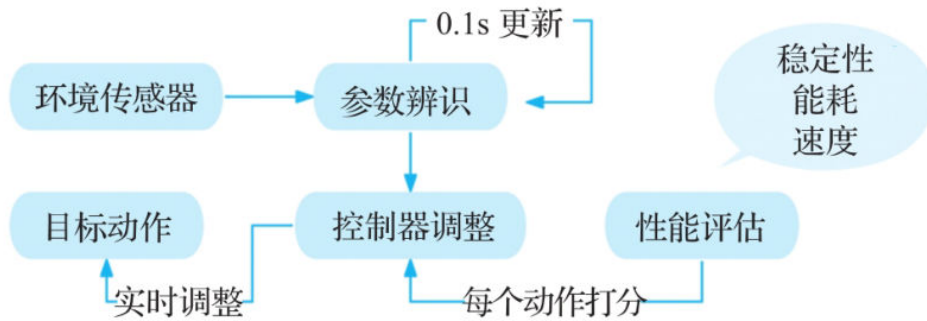


图10.2 感知系统重塑的技术实现路径

作为闭环系统的关键子模块，重力补偿模型通过物理建模与数据驱动结合，修正低重力对运动控制的影响，重力补偿模型如下：

$$\tau_{\text{joint}} = J^T [M(g)\ddot{q} + C(q, \dot{q}) + G(g)]$$

$C(q, \dot{q})$

式中， τ_{joint} 表示关节需要输出的力矩（控制目标）； J^T 表示雅可比矩阵的转置，将末端执行器的力/力矩映射到关节空间； $M(g)$ 表示质量矩阵，描述机器人在当前重力下的惯性特性（与重力方向相关的惯性分布）； \ddot{q} 表示关节加速度； $C(q, \dot{q})$ 表示科里奥利力和离心力项，由关节运动速度引起； $G(g)$ 表示重力项，反映重力对关节力矩的影响。

其中，重力项 $G(g)$ 是公式中唯一直接依赖重力加速度的部分，其物理意义是机器人各关节为抵抗重力所需提供的力矩。在火星环境下，该力矩为：

$$G(g_{\text{Mars}}) = m \cdot g_{\text{Mars}} \cdot h(q)$$

式中， $G(g_{\text{Mars}}) = 0.38G(g_{\text{Earth}})$ ，代表火星表面重力加速度和地球表面重力加速度的近似关系，系统通过调整 $G(g)$ 的权重系数消除重力干扰，同时保证运动精度。

10.1.2 具身智能的适应性运动策略

早期的火星车（如“勇气号”）采用固定步态程序，就像人类穿着硬底靴走沙滩——虽然能走，但深一脚浅一脚，既费力又危险。其核心问题在于预设动作无法应对复杂地形变化，从而导致能量浪费严重且机械磨损快。为了解决上述问题，新一代的探测器通过三项革新突破了现有局限。

(1) 强化学习训练

在超高精度的3D地形模型中进行海量虚拟行走训练，每次跌倒后优化神经网络参数，不断总结失败经验。经过大量训练后，形成超过500种地形应对策略的“步态库”。

(2) 动态参数调整

在训练过程中，根据环境特征不断对参数进行调整优化，以提升最终输出效果。其中，不同环境特征的调整策略及效果如表10.1所示。

表10.1 不同环境特征的调整策略及效果

环境特征	调整策略	效果
沙地松软度增加	步幅缩短 20%，足底接触面扩大	下陷风险降低 75%
坡度 > 15°	重心后移 30%，扭矩提升 40%	攀爬成功率从 45% 提高至 92%
风速 > 20m/s	步频降低 50%，足部吸附力增强	抗倾倒能力提升 3 倍

(3) 在线进化机制

每走一公里自动分析运动数据，发现动作效率低下时启动局部强化学习优化，更新后的步态策略通过星链网络同步给其他机器人，如图10.3所示。

传统机器人就像瑞士军刀，为了实现功能多样性，会进行大量的模块化设计，并通过同一平台底座进行整合，结果导致机器人虽然功能多，但整体看起来十分笨拙，如图10.4所示。

面对星际探索与复杂场景等任务，新一代多模态系统应该像液态金属终结者一样，包含三大突破方向：

- ❑ 形态拓扑重构。例如机器人在走路时脚上是足式结构，在高速移动时改为轮式结构，在飞行时可以变为飞行翼；关节采用仿生球窝结构，大幅度提升自由度。
- ❑ 能量智能分配。参照当前的油电混动汽车：当低功率时采用发电机，需要高功率时则转化为发动机。
- ❑ 自主决策系统。通过激光雷达和热成像实时构建当前区域的地形热力图，AI系统在50ms内评估最佳运动模式的组合。

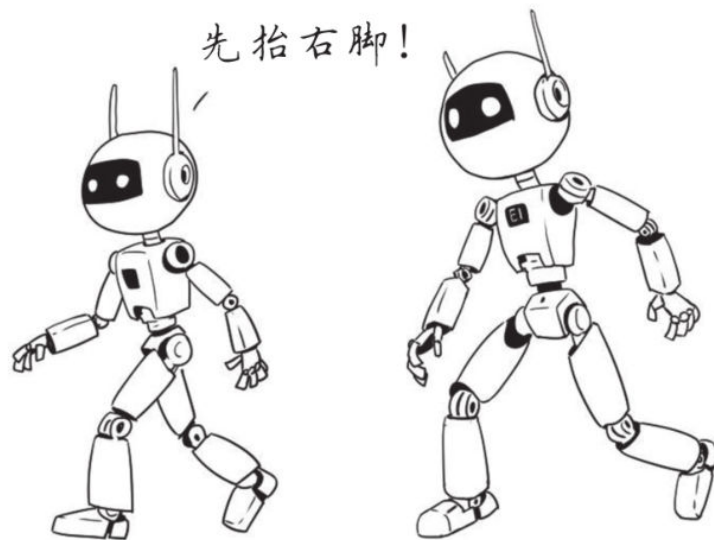


图10.3 机器人之间的数据共享



图10.4 笨拙的传统机器人

10.1.3 让机器拥有“生命体征”

借鉴人类肌肉的收缩特性，科学家开发出了同样可以改变形状的材料。常见的形状记忆合金材料包括镍钛基、铜基、铁基记忆合金等，它们各自具有独特的特点，且都基于一定的相变原理来实现形状记忆效应，如图10.5所示。

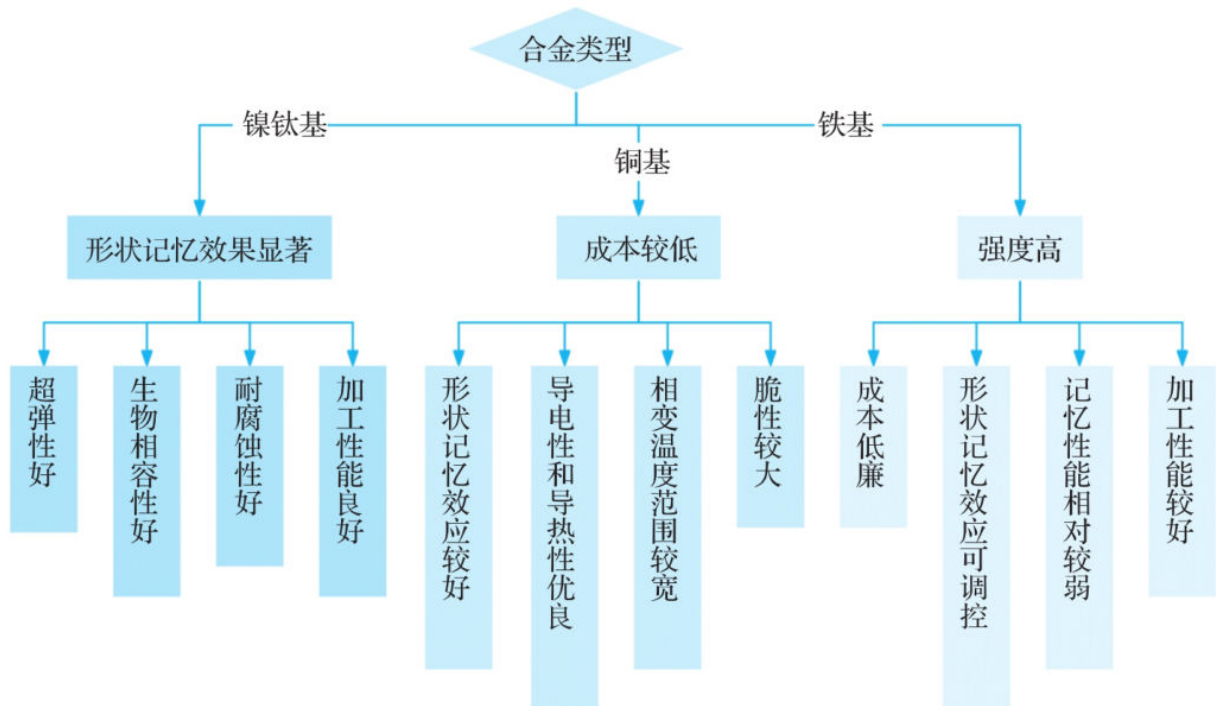


图10.5 不同合金类型的特性

为实现机械皮肤的类生物自愈能力，研究者借鉴人体皮肤“损伤-凝血-修复”的自然机制，提出基于微胶囊技术的智能修复方案。在金属表面，每平方厘米均匀嵌入3000个树脂胶囊（直径100 μm）。当金属皮肤受到轻微损伤时，胶囊破裂释放修复剂，并在紫外线的催化下完成皮肤的愈合，其原理如图10.6所示。表10.2展示了修复过程的参数分析。

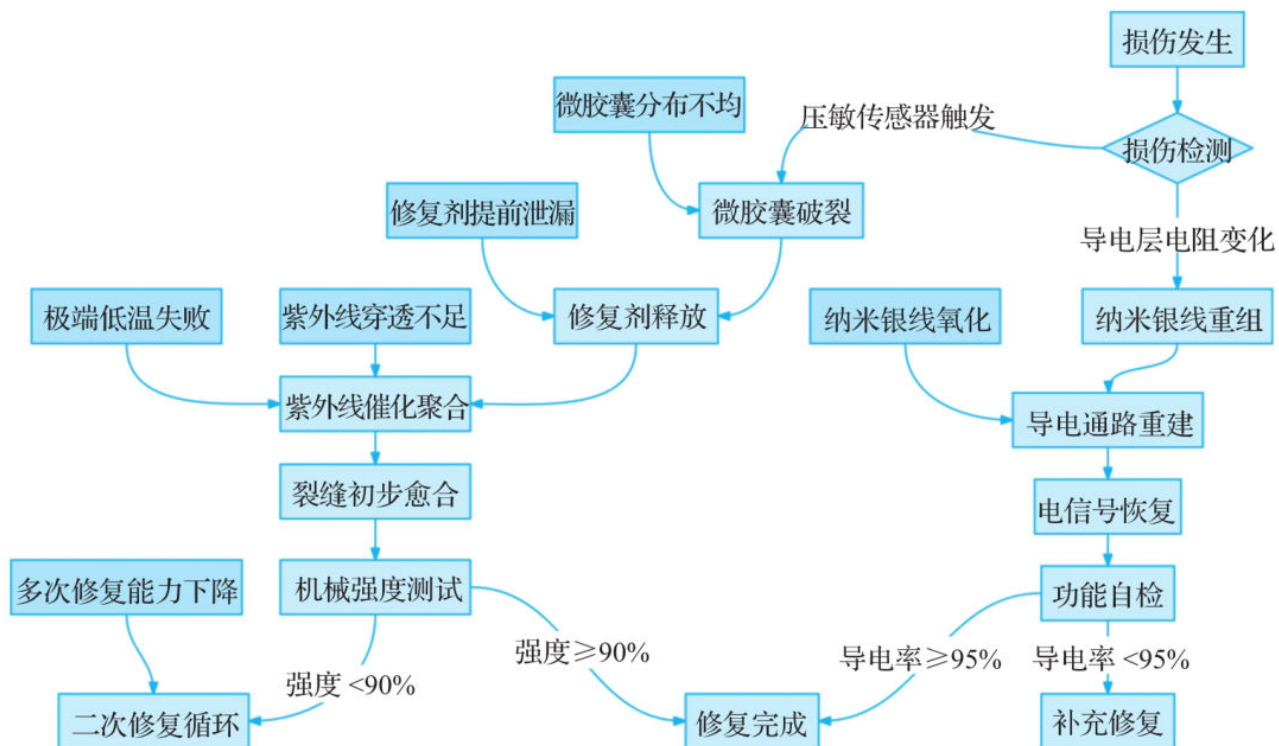


图10.6 自修复皮肤原理

表10.2 修复过程的参数分析

步骤	子步骤 / 机制	描述	关键参数 / 指标
1. 损伤发生	—	机械划痕或冲击导致材料表面破损	典型损伤尺度：0.1~5mm 裂缝
2. 损伤检测双通道	力学检测	压敏传感器触发，检测压力变化	灵敏度：0.1N
	电学检测	导电层电阻突变，通过电信号变化定位损伤区域	电阻变化阈值： $\Delta R > 10\%$
3. 修复机制激活	微胶囊破裂	损伤处微胶囊破裂，释放修复剂（环氧树脂+光引发剂）	微胶囊直径：50 μ m
	纳米银线重组	断裂处电场引导纳米银线自组装，重建导电通路	自组装速度：0.5mm/min
4. 修复执行	化学修复	紫外线催化修复剂聚合，完成裂缝初步固化	紫外线波长：365nm；固化时间：30min
	物理修复	导电网络逐步恢复，确保电信号传输功能	导电恢复率：24h内达95%

(续)

步骤	子步骤 / 机制	描述	关键参数 / 指标
5. 自检与迭代	机械强度测试	压痕法检测修复区域机械强度	强度达标阈值: $\geq 90\%$ 原始强度
	导电性能验证	验证导电网络恢复状态	导电达标阈值: $\geq 95\%$ 原始导电率
	二次修复循环	若未达标, 触发二次修复流程	最大修复次数: 3次 (实验室环境)

针对金属皮肤微胶囊自修复系统的工程化挑战, 目前已识别出六大核心风险点。各风险点的发生概率与对系统整体性能的潜在影响等级如图10.7所示。

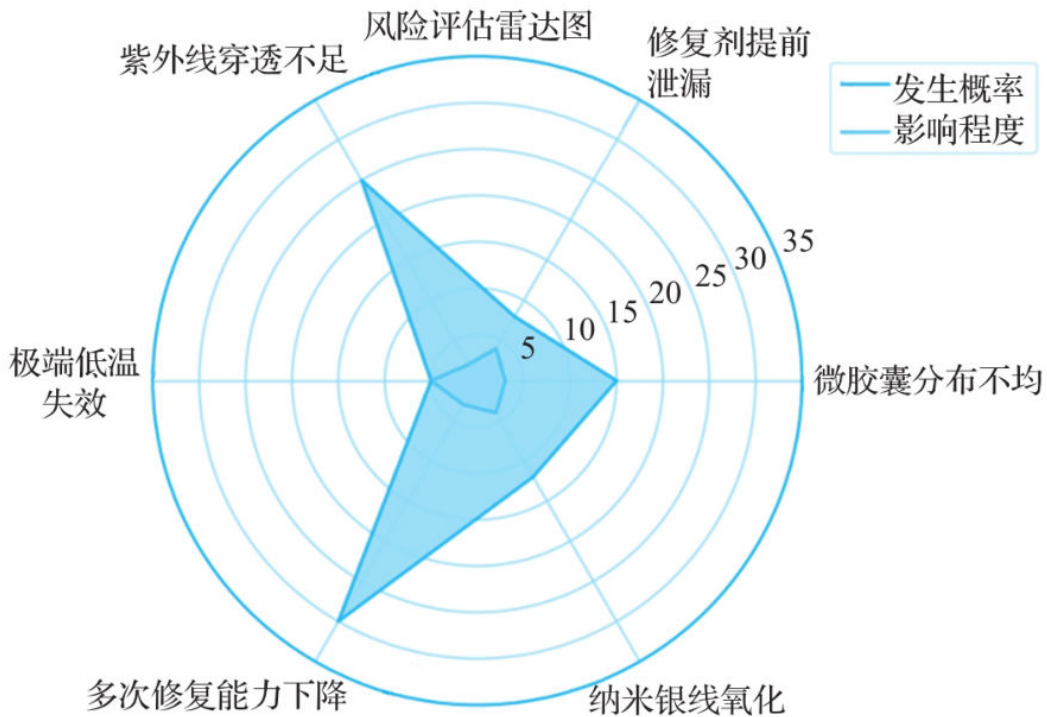


图10.7 自修复皮肤的风险点

10.2 智能系统的协同进化

10.2.1 多模态感知融合

1. 异构传感器网络构建

在极端的太空环境中，构建一个全面且精准的感知体系是智能系统实现协同进化的基础。异构传感器网络的构建旨在打造“电磁-物质-能量”三位一体的感知体系，以实现太空环境的多维度探测，如图10.8所示。

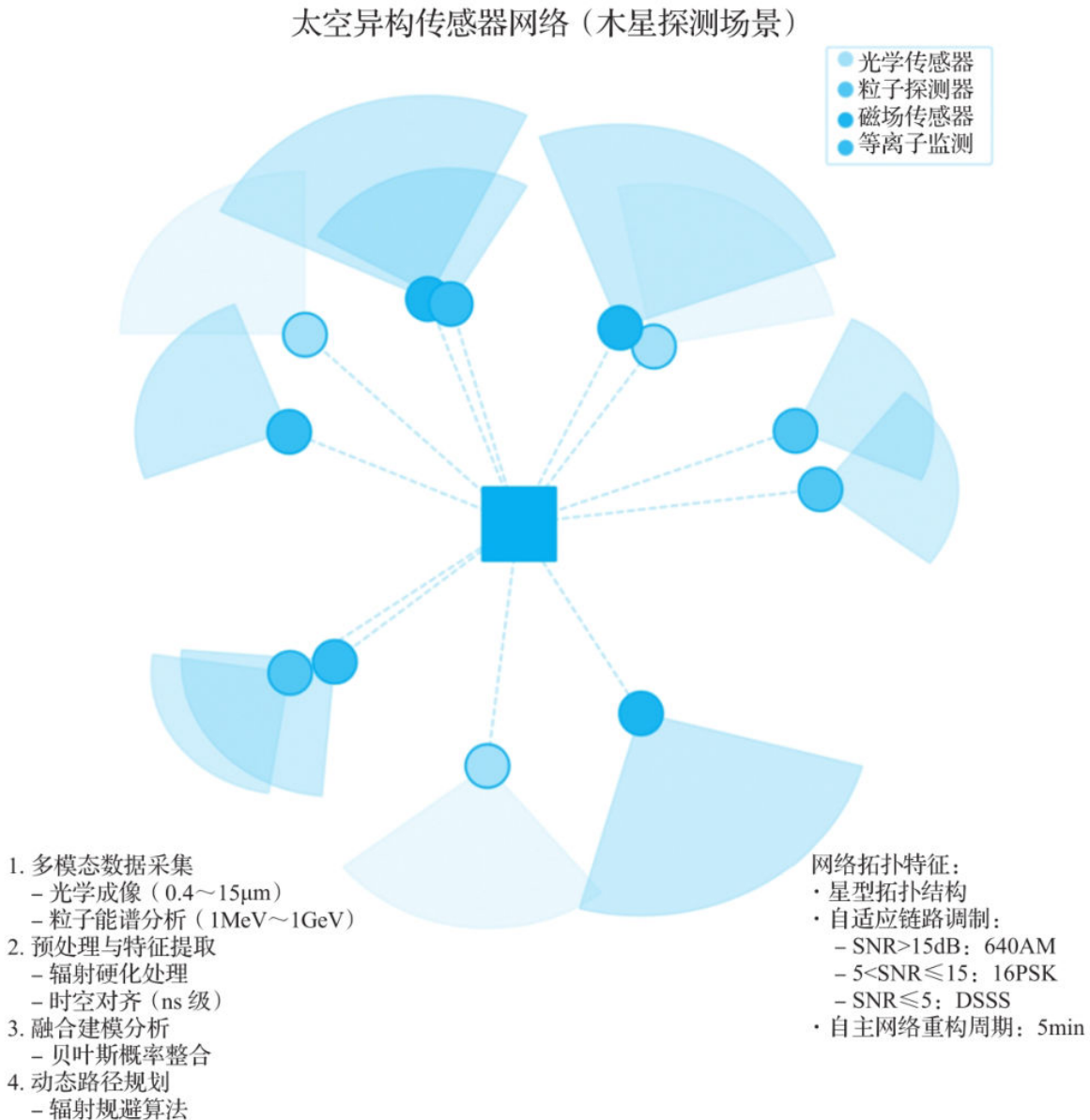


图10.8 跨维度的太空传感器

该感知体系整合了多种类型的传感器。

□ 光学相机涵盖可见光与红外波段，能够捕捉太空物体的视觉特征，无论是遥远星系的微弱光芒还是近地小行星的表面纹理，都能清晰成像。

- 粒子探测器专注于宇宙射线和太阳风的监测，通过分析这些高能粒子的特性，了解太阳活动对太空环境的影响。
- 磁场传感器实时感知太空磁场的变化，为航天器导航和定位提供关键信息。
- 声波阵列用于探测太空中的微弱声波信号，这些信号可能蕴含着天体活动的奥秘。

这些传感器的数据协同机制是实现跨维度感知的关键。不同传感器采集到的数据在经过初步处理后，会被传输到中央处理单元进行融合分析。

例如，在木星探测任务中，伽马射线探测器和磁场传感器的数据融合发挥了重要作用。伽马射线数据能够反映木星辐射带的高能粒子分布，而磁场数据则揭示了辐射带的动态变化规律。通过将两者结合，科学家可以准确地定位辐射带的动态变化，从而为航天器规划安全的飞行路径，有效规避辐射损伤。

2. 动态环境预测挑战

在太空环境中，动态环境预测对于智能系统的生存和任务执行至关重要。然而，深空通信延迟成为实时建模的一大障碍。以数字孪生技术为例，它通过同步物理环境与虚拟模型，实现对动态环境的预测，如小行星带避障。但由于通信延迟，地面控制中心与航天器之间的数据传输存在时间差，导致虚拟模型无法及时反映物理环境的最新变化。

微陨石轨迹建模也面临着同样的问题。微陨石的运动速度极快，其轨迹在秒级时间内就可能发生显著变化。而通信延迟使得地面控制中心无法实时获取微陨石的最新位置信息，难以准确预测其轨迹，从而增加了航天器遭遇微陨石撞击的风险。

为了解决这些问题，边缘计算和轻量化模型压缩技术应运而生。边缘计算将数据处理任务从地面控制中心转移到航天器上，使航天器能够在本地对传感器数据进行实时分析和处理，减少对地面通信的依赖。轻量化模型压缩技术通过对复杂模型进行简化和优化，降低计算量和存储需求，使航天器能够在有限的计算资源下实现高效的建模和预测，如图10.9所示。

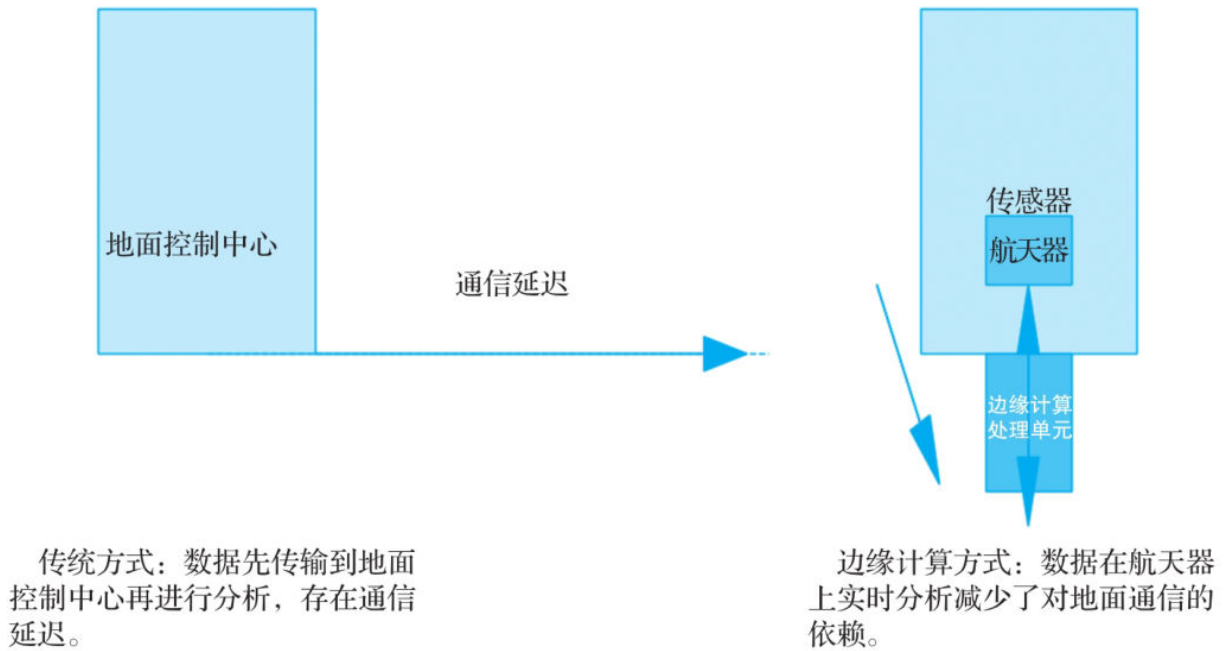


图10.9 边缘计算概念

通过这些技术的应用，智能系统能够在一定程度上克服深空通信延迟的影响，提高动态环境预测的准确性和实时性。

10.2.2 群体具身智能的协作机制：蜂群式太空作业系统

1. 分布式共识算法

在蜂群式太空作业系统中，分布式共识算法是保障系统稳定运行的关键。拜占庭容错（BFT）协议在节点失效场景中发挥着重要作用。太空环境复杂多变，部分节点可能会因太阳风暴干扰或自身故障而失效，这就需要一种能够在这种情况下仍能达成任务共识的算法，即分布式共识算法，其架构如图10.10所示。

BFT协议通过局部通信机制，使各个节点之间进行信息交互。每个节点将自己的状态和任务信息发送给相邻节点，相邻节点接收到信息后，会根据预设规则进行验证和处理。在节点失效的情况下，其他正常节点通过多数投票的方式确定最终的任务决策。

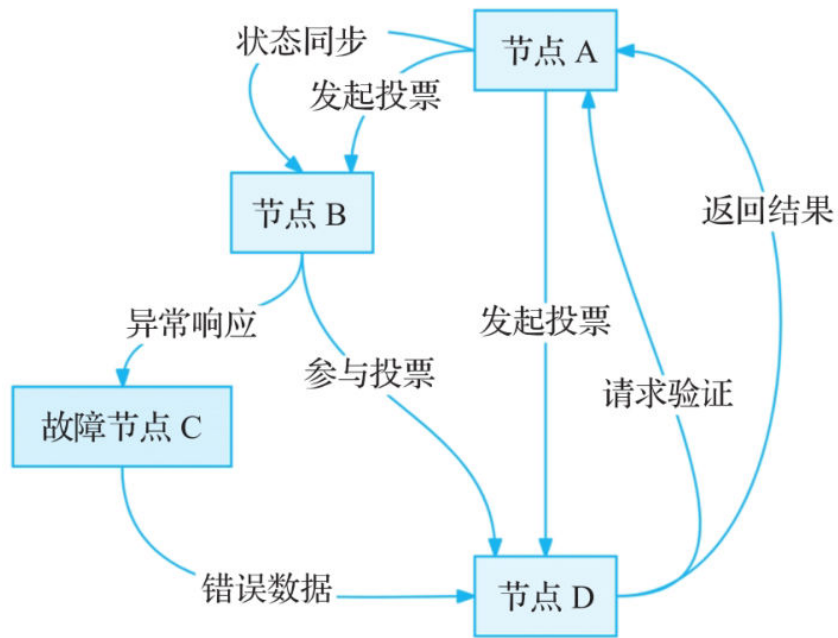


图10.10 分布式共识算法的架构

例如，当一个侦察卫星节点失效时，周围的其他侦察卫星会根据自己的感知数据和接收到的信息，通过BFT协议进行投票，决定是否继续执行原任务或者调整任务策略。

2. 物理耦合技术

在蜂群式太空作业系统中，物理耦合技术是实现大型结构模块化组装的关键。然而，微重力环境给群体动力学建模带来了巨大难题。在微重力环境下，物体的运动规律与地球上有很大不同，传统的动力学模型难以准确描述物体之间的相互作用。

流体力学与多体控制理论的交叉应用在解决这一问题上具有重要意义。在微重力环境下，物体的运动可能会受到流体的影响，例如航天器周围的稀薄气体。同时，多个物体之间的相互作用也变得更加复杂，需要考虑多体系统的动力学特性。然而，目前对于这种复杂环境下的动力学建模还不够完善，难以准确预测物体的运动轨迹和相互作用。

机械臂互锁和电磁吸附技术为物理耦合提供了创新解决方案，如图10.11所示。机械臂互锁能够实现物体之间的刚性连接，电磁吸附则可以在一定程度上实现灵活的和分离。但这些技术在微重力环境下的应用也面临挑战，例如机械臂的操作精度和电磁吸附的稳定性都需要进一步提高。因此，要实现蜂群式太空作业系统的高效物理耦合，还需在群体动力学建模和相关技术上进行深入研究和创新。

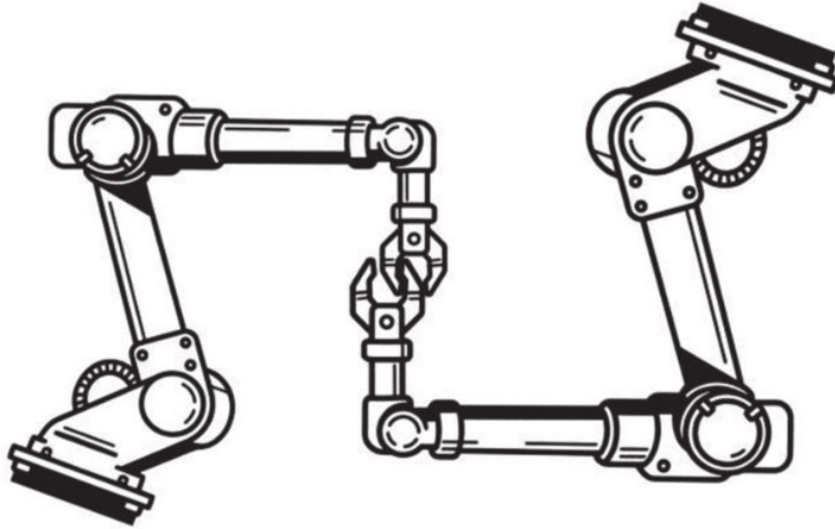


图10.11 机械臂互锁

10.2.3 动态认知架构：面向未知任务的实时决策重构

1. 元学习框架

在太空探索中，当面对未知任务时，智能系统的实时决策重构能力至关重要。元学习框架的应用为智能系统提供了在轨快速适应新任务的能力。

预训练模型是元学习框架的核心。这些模型在地面经过大量数据的训练，具备一定的通用知识和能力。当航天器在轨工作期间接收到新任务（如外星样本采集）时，预训练模型可以通过少量样本进行快速微调。这种微调策略基于模型的性能优化，通过对新任务数据的学习，调整模型的权重，使其能够更好地适应新任务的需求。

可拆卸神经模块的设计为任务流程的动态重组提供了可能。在遇到突发故障时，如机械臂损毁，系统可以迅速拆卸受损的神经模块，并重新组合其他模块，以切换任务流程。例如，原本用于控制机械臂的模块可以被替换为用于激光切割的模块，从而使航天器能够继续执行任务。

火星探测器应对沙尘暴的未来技术方向之一是元学习框架的应用。设想当沙尘暴突袭时，探测器的能源供应受到严重影响。通过元学习框架，探测器基于实时功率波动、大气参数等少量数据，能够快速调整能源分配策略，关闭非核心载荷，优先保障核心系统的运行。这种实时决策重构能力使探测器能够在极端环境下生存并继续完成任务。

2. 人机互信

在智能系统的实时决策重构过程中，人机互信是一个不可忽视的问题。决策权限分级机制的建立，是保障人机互信的关键。

随着智能系统的自主能力不断提高，过度自主可能导致设备“失控”的风险。例如，在武器化操作方面，如果智能系统拥有过高的自主决策权，可能会引发不可预测的后果，如图10.12所示。因此，设置决策权限分级是必要的。

不确定性量化（UQ）指标的透明化设计有助于提高人机互信。通过向人类操作者提供决策逻辑的透明度，如“避障置信度 $\geq 90\%$ ”，人类可以更好地理解智能系统的决策过程，从而增强对系统的信任。

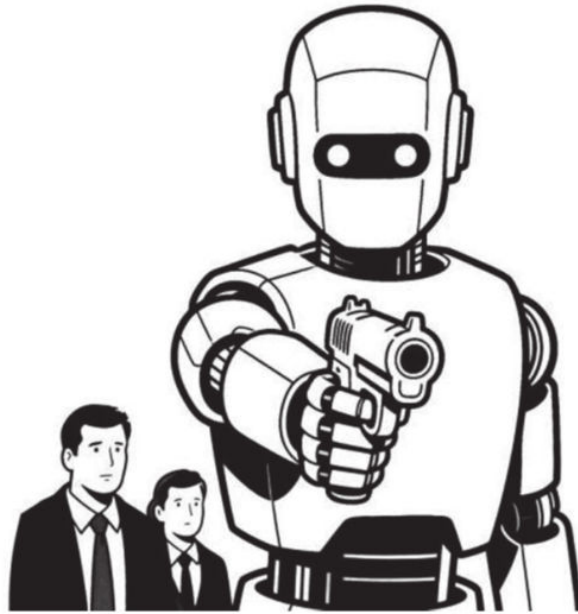


图10.12 失控的人工智能

然而，这种透明度也需要在一定范围内进行。如果过于详细地公开决策逻辑，可能会泄露系统的敏感信息，从而威胁到任务的安全。因此，在设计不确定性量化指标时，需要在透明度和安全性之间找到一个平衡点。通过合理的决策权限分级和不确定性量化指标的透明化设计，可以有效保障人机互信，确保智能系统在太空探索中安全、可靠地运行。

10.2.4 太空极端条件下的健康管理与应急响应

在太空极端条件下，智能系统的自主健康管理直接决定任务存续能力，其中推进器故障的早期预测与诊断尤为关键——推进器作为姿态控制与轨道转移的核心执行机构，其异常可能导致探测器失控或任务失败。AI健康诊断系统中的时序异常检测技术正是实现推进器状态实时监控的核心手段。

LSTM网络是一种常用于时序异常检测的深度学习模型。它能够学习推进器运行数据的时间序列模式，通过对历史数据的分析，建立正常运行状态的模型。当推进器的实时运行数据出现与正常模式不符的情况时，LSTM网络能够及时识别出这些异常，如图10.13所示。

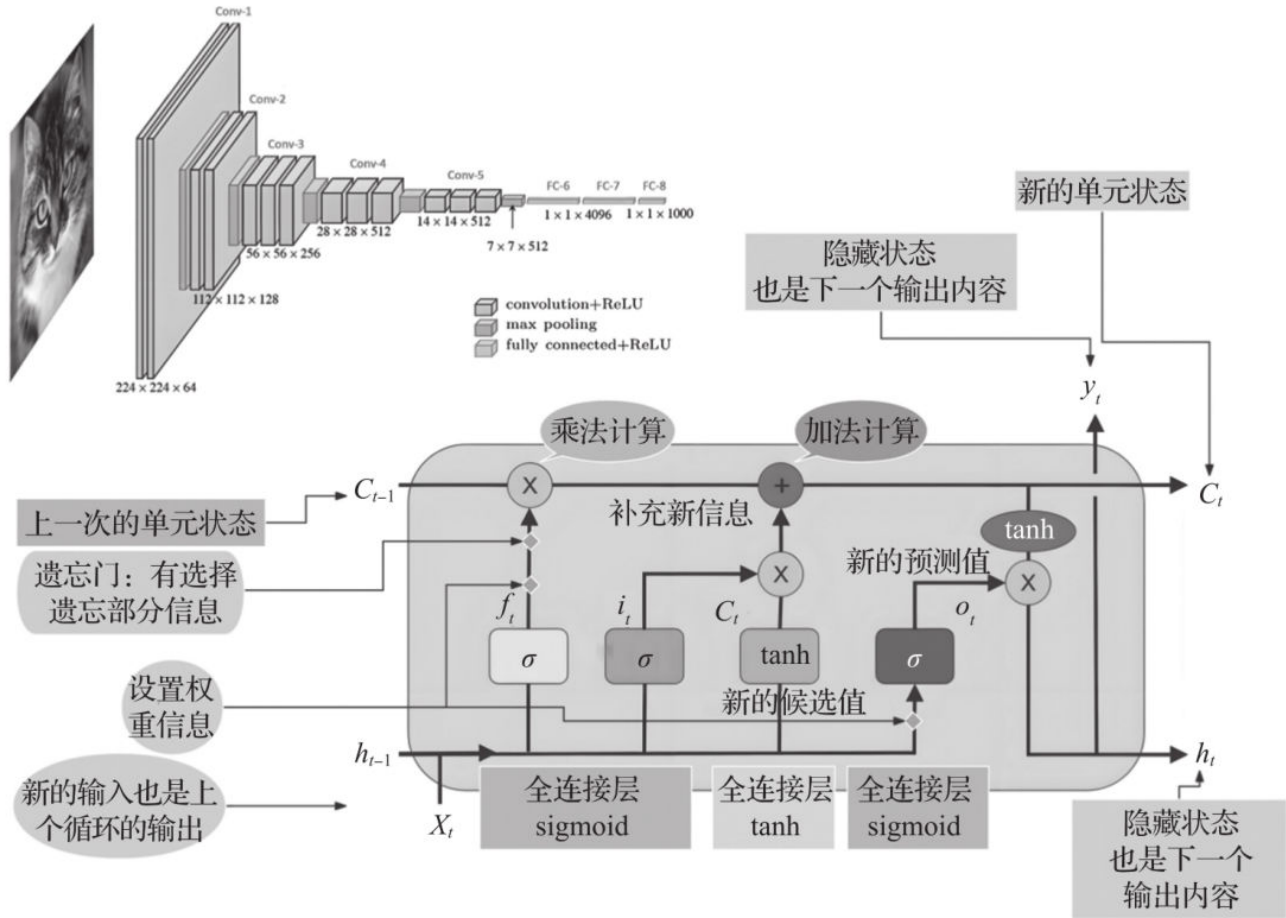


图10.13 LSTM网络

在LSTM网络完成推进器时序异常检测的基础上，性能阈值的科学设定与分级响应机制是AI健康诊断系统实现“检测-决策”闭环的关键环节。根据推进器的设计指标、在轨安全裕度和历史故障数据设定系统性能的阈值。当推进器的性能指标低于阈值，如能源效率低于30%时，系统会触发紧急协议。紧急协议可能包括调整推进器的运行参数、切换备用推进器等措施，以优先保障核心生存功能。

通过这种方式，AI健康诊断系统能够提前发现潜在故障，为智能系统在太空极端条件下的生存提供有力保障。

10.2.5 模块化机器人的太空环境自适应与群体协同机制

在太空探索中，达尔文式硬件进化为智能系统的持续发展提供了新途径。模块化机器人的设计是实现这一进化的基础，其核心在于模块化设计原理。模块化机器人由多个独立的功能模块组成，每个模块都具备特定的功能，如运动、感知、操作等。这些模块通过标准化的接口进行连接，使得它们可以方便地进行组合和替换。

当模块化机器人面临不同的太空环境时，3D打印部件替换过程就成为进化的关键环节。首先，机器人会对自身的状态和环境进行评估，确定需要改进的部位。然后，利用携带的3D打印设备，根据预先存储的设计方案或实时生成的优化方案，打印出合适的部件。最后，机器人通过自身的操作机构将新部件替换掉旧部件，完成硬件的更新。

以月球低重力环境为例，模块化机器人在这种环境下需要强化腿部支撑结构。由于月球的重力只有地球的六分之一，传统的腿部结构可能无法满足机器人在月球表面的运动需求。通过达尔文式硬件进化，机器人可以打印并安装更坚固的腿部部件，增强腿部的支撑力和稳定性。这种进化路径的选择基于环境的需求和机器人的功能目标，使机器人能够更好地适应月球环境，完成各种任务。

在智能系统的自主进化过程中，群体知识共享网络发挥着至关重要的作用。星际互联网作为群体知识共享网络的核心，为跨星球系统之间的进化经验同步提供了可能。

星际互联网采用延迟容忍网络技术，能够在长距离、高延迟的太空通信环境下实现数据的可靠传输，如图10.14所示。不同星球上的智能系统可以通过星际互联网分享各自的进化经验和数据，使整个群体能够快速学习和适应新的环境。



图10.14 外星生命在传递信息

群体知识共享网络的最终目标是构建“认知-物理”双螺旋进化模型。在这个模型中，智能系统的认知能力和物理形态相互影响、共同进化。通过星际互联网共享的知识和经验，智能系统可以不断优化自身的认知模型，进而指导物理形态的进化；而物理形态的进化又为认知模型提供更多的数据和反馈，促进认知能力的进一步提升。这种双螺旋进化模型使智能系统具备类似生命的适应性，能够在复杂多变的太空环境中持续发展。

CHAPTER 11 第11章 AI智能的发展畅想

传统AI长期依赖离散符号逻辑与结构化数据，其“离身性”设计导致智能系统与物理环境存在本质割裂——机器人的感知、决策与行动被分割为独立模块，缺乏实时交互反馈。这种局限使其在动态环境中表现脆弱：例如早期轮式机器人难以应对湿滑地面，或工业机械臂在未知障碍物前频繁停机。

具身认知理论对此提出根本性修正：智能的本质并非符号推理，而是生物体通过身体结构与环境持续交互的动态过程。该理论强调“身体即认知载体”，即感知、行动与环境约束共同构成智能的基础框架，形成“感知-行动-反馈”的闭环。

11.1 具身学习框架的构建原理

11.1.1 从突触关键期到AI动态发育

人类婴儿的早期大脑发育呈现显著的时间窗口敏感性，即出生后至3岁左右是突触发生与修剪的关键期，如图11.1所示。此阶段约完成90%的突触连接建立，随后通过经验依赖的突触修剪形成高效神经回路。这种“早期高速可塑性+经验驱动塑形”的发育模式，为具身智能系统的自主学习提供了核心启示：智能的涌现并非预先编程，而是通过与环境的持续交互，在发育关键期内动态构建感知与行动的回路。

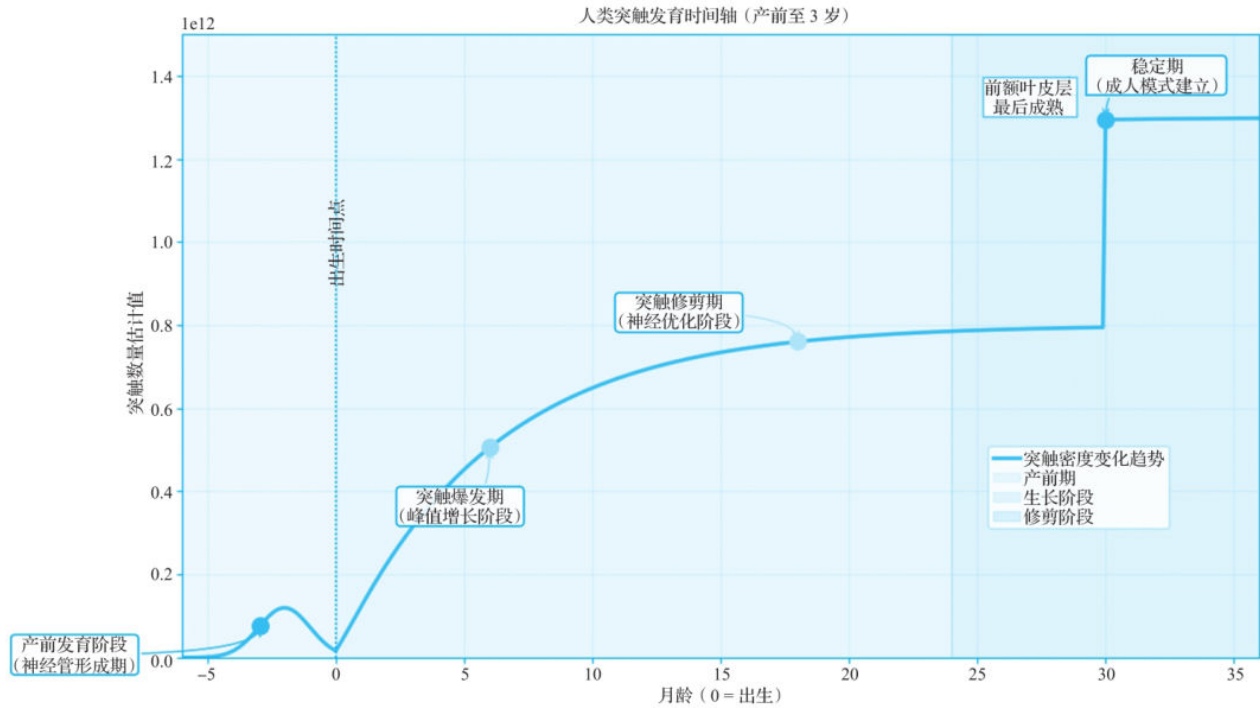


图11.1 婴儿3岁前的大脑发育

研究者通过动态权重调整机制模拟这一过程，实现机器人的自学习过程，其动态权重调整与反射控制的模型伪代码如下：

```
class BioInspiredController:
    def __init__(self):
        # 敏感期可塑性模块
        self.plasticity = STDPPlasticity(
            tau_plus=20.0, # LTP 时间常数
            tau_minus=40.0, # LTD 时间常数
            a_plus=0.1, # 增强率
            a_minus=0.05 # 抑制率
        )

        # 反射弧控制模块
        self.reflex_arc = ReflexArc(
            delay=15, # 信号传导延迟 (ms)
            gamma_gain=0.7, #  $\gamma$  环路增益
```

```

        renshaw_decay=0.9 # 闰绍抑制衰减
    )

def update(self, sensor_data):
    # 处理本体感觉输入 (模拟肌梭反馈)
    imu_feedback = self.process_imu(sensor_data['imu'])

    # 执行敏感期权重调整
    if self.in_critical_period():
        self.weights = self.plasticity.apply(
            self.weights,
            firing_rate=imu_feedback
        )

    # 计算反射补偿量
    reflex_comp = self.reflex_arc.compute(
        desired_torque=sensor_data['target'],
        actual_velocity=imu_feedback['velocity']
    )

    # 生成最终控制指令
    return self.motor_model(
        self.weights @ reflex_comp
    )

```

不同生物结构的机器人实现模式及功能对比如表11.1所示。

表11.1 不同生物结构的机器人实现模式及功能

生物结构	机器人实现模式	功能
α 运动神经元	高速执行器驱动模块	直接控制效应器 (肌肉 / 电机), 脉冲编码调制特性匹配生物神经信号特征
γ 运动神经元	6 轴 IMU 实时监测模块	提供本体感觉反馈, 自适应增益调节机制模拟肌梭的动态敏感性
闰绍细胞	前馈抑制神经元网络	实现运动平滑控制, 相位超前补偿机制匹配生物系统的负反馈时间常数

在机器人控制中，机器人自学习架构被重构为分布式微控制器网络，借鉴小脑绒球层的信号处理机制，建立多尺度传感器融合架构，如图11.2所示。

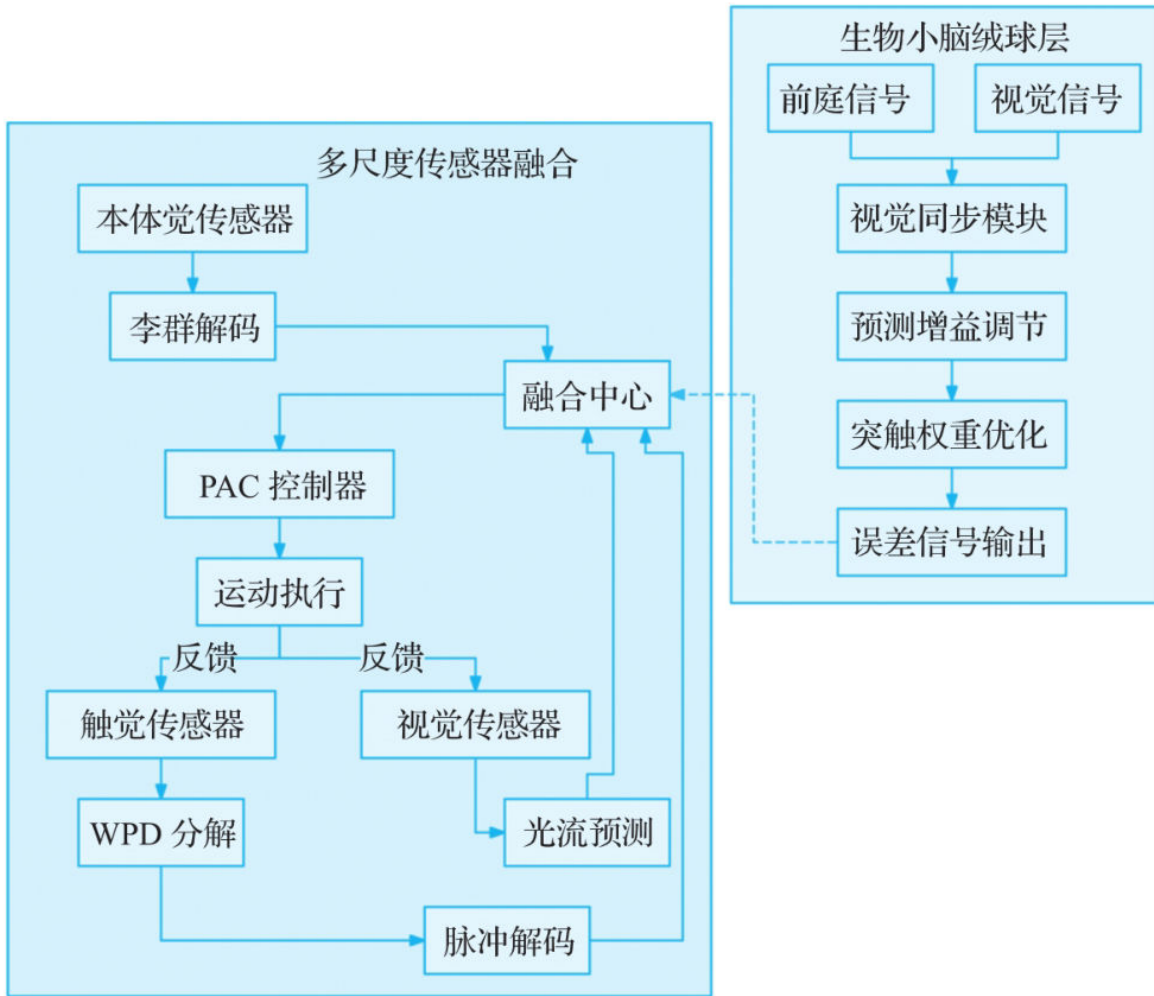


图11.2 分布式微控制器网络

11.1.2 感觉运动经验对认知架构的影响

近年来，类脑计算与强化学习技术的交叉研究探索了感觉运动经验对认知架构的影响。通过构建基于脉冲神经网络（SNN）的生物启发式多模态感知系统，研究者发现物理交互产生的时序化感觉运动信号流，能够在类脑模型中优化表征空间的拓扑组织，进而影响决策策略的形成与记忆编码机制。

感觉运动经验就是通过“边做边学”积累的身体智慧。简单来说，就是“身体行动+感官反馈”的组合记忆。

比如学骑自行车感觉身体摇晃时（感觉），你本能地扭动车把来调整重心，通过反复练习后形成了肌肉记忆；打羽毛球时，通过眼睛判断球路，手臂肌肉自动调整挥拍力度，逐渐掌握扣杀技巧；摸热水杯时，手指接触发烫的杯体后大脑瞬间指挥缩手，下次看到类似杯子就会更小心。

上述内容的关键点在于不是单纯用眼睛看或耳朵听，而是身体的主动参与。每次行动后，大脑都会总结经验，随着经验的不断累积，身体反应也变得更快、更精准，如图11.3所示。

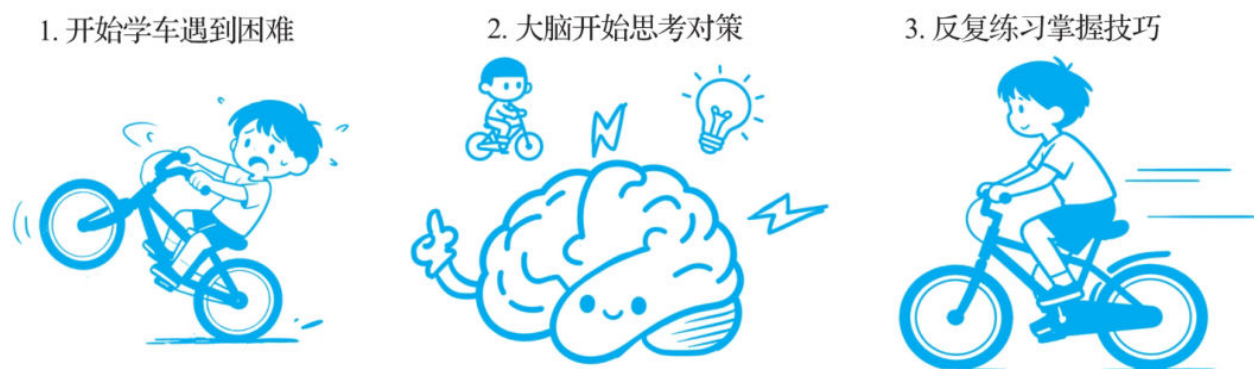


图11.3 感觉运动经验的学习特性

这种跨模态的动态耦合机制，其神经科学基础源于感觉运动系统的协同进化，为增强AI系统的可解释性提供了潜在理论框架。部分实验表明，通过解析感觉运动经验与认知表征的映射关系，可能开辟突破深度学习“黑箱”难题的新路径。

1. 感觉统合机制：多模态信号的时空编码

(1) 多模态信号对齐的神经动力学基础

感觉统合机制的核心在于多模态信号的时空编码。生物神经系统通过进化形成了精妙的跨通道时间相位耦合机制，研究表明，当视觉、本体觉与触觉信号的时间偏差控制在较短时间窗口内时，感觉皮层神经元会产生有效响应。

这一生物智能原理正在深刻影响AI系统的多模态处理架构设计。MIT媒体实验室研发的类脑计算机芯片通过事件驱动传感器与异步脉冲神经网络（SNN）的协同，实现了微秒级精度的多模态信号动态对齐。

在模拟复杂动态环境的机器人导航实验中，当视觉与惯性测量单元的相位差被优化控制在要求的时间窗口以内时，同步定位与地图构建（SLAM）的均方根误差（RMSE）将会大幅度降低。与传统卷积神经网络架构相比，该类脑时空编码范式在

应对传感器噪声和运动模糊时表现出更强的鲁棒性，为开发具有生物启发性的智能系统提供了具有实践价值的解决方案。

（2）自组织映射（SOM）的物理交互驱动演化

SOM通过物理交互驱动的特征学习展现了生物启发的认知演化机制。受Hebbian学习规则启发，研究者将环境经验驱动的突触可塑性原理融入SOM算法后发现：在机械臂三维空间探索实验中，通过引入阻尼振荡器模拟基底神经节同步活动，SOM输出层神经元展现出与关节角度空间拓扑结构的高度一致性，其映射保真度超过90%。这种自组织特性使机械臂在未知物体抓取任务中的成功率大幅提升。

针对时序动作模式学习，研究者开发了时序池化（TP-SOM），通过动态调整时间窗口对动作序列进行层级化特征提取。在包含多类手写汉字笔画的数据集测试中，TP-SOM的识别准确率达到90%以上，较优化前的3D-CNN模型提升近20%，尤其在连笔字识别中表现出更强的时序鲁棒性。

该自组织架构在自动驾驶场景中的有效性同样得到了验证：通过融合激光雷达点云、摄像头图像与毫米波雷达速度场数据，构建动态环境语义图谱，使复杂路况下的决策响应时间缩短27%，场景理解准确率提升15%。这种无监督学习自适应优化特征空间的能力，为处理高维时序数据流提供了类脑计算的新范式。

2. 运动技能获得的计算表征

（1）爬行阶段的涌现学习机制

在类脑机器人平台RoboTurtle的仿真实验中，采用近端策略优化（PPO）算法训练的机械龟在虚拟崎岖地形上展现出运动模式的阶段性演化。

这种“反射-探索-自主”的分层学习过程，本质是PPO算法通过时序差分奖励函数驱动策略网络逐步拟合生物运动发育的“经验依赖可塑性”规律——与新生儿通过重复探索优化运动模式的神经发育机制高度吻合：新生儿在6个月时通过反射动作探索环境，12个月时开始自主爬行，最终在2岁时完成直立行走的质变，如图11.4所示。

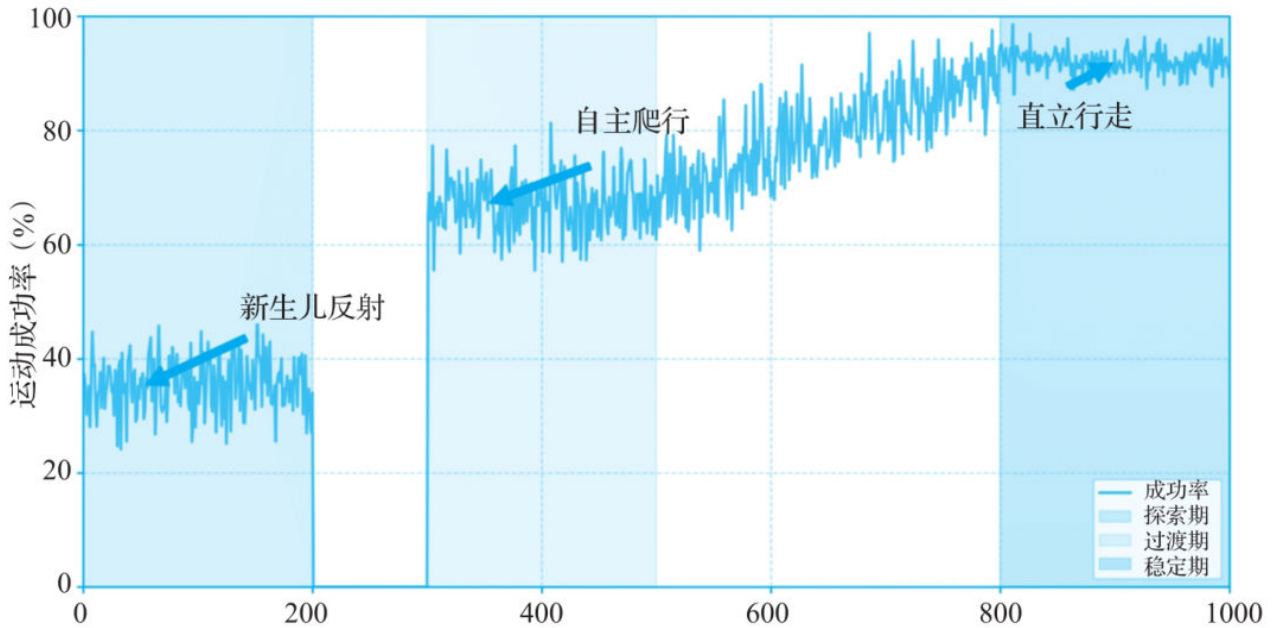


图11.4 新生儿的行走进化

(2) 迁移学习的零样本泛化边界

MIT团队开发的跨地形移动机器人通过元学习 (Meta-Learning) 框架, 验证了机器人迁移学习的“零样本泛化”能力及其生物-机械系统的临界边界:

1) 平面迁移。在虚拟沙箱环境中预训练的行走策略可直接迁移至真实草地、瓷砖等未训练地形。实验数据显示, 策略在真实环境中的运动成功率接近虚拟环境, 验证了元学习通过“学习环境不变特征”实现的零样本适应能力。

2) 斜坡泛化。针对未在训练中接触的斜坡, 机器人通过本体觉反馈与策略网络局部更新, 动态调整步长与髋关节扭矩, 运动成功率得到显著提升。此过程模拟了生物神经系统的“在线学习”, 即无须全局重训练, 仅通过局部感知误差触发策略微调。

3) 失效临界。针对大坡度场景, 本体觉反馈延迟与机械响应延迟的耦合作用导致策略崩溃, 提示存在生物-机械系统的临界阈值效应。

3. 从感知到决策的层级重构

(1) 前额叶皮层的延迟补偿机制

人类前额叶皮层 (PFC) 通过动态时序门控实现延迟补偿, 其内部神经环路可通过调节神经元激活时序, 缓解信息传递延迟对决策的影响。受此启发, 研究者利用门

控循环单元（GRU）模拟PFC的时序处理特性，取得以下进展：

1) 决策延迟补偿：在动态目标追踪任务中，引入可变延迟门控

（ $\tau \in [50, 200\text{ms}]$ ），降低模型反应时间的标准差，这一策略更贴近人类驾驶员在复杂路况下的“预判-调整”决策模式，从而使追踪误差减少15%。

2) 工作记忆增强：通过多尺度时序门控，GRU在序列记忆任务（如数字回忆）中可准确复现9~10个序列数字长度，错误率较基线模型降低20%。此机制模拟了PFC对“组块化记忆”的编码能力（如将数字按语义分组存储），提升了长程依赖信息的保持效率。

PFC的延迟补偿机制在自动驾驶决策系统中具有直接应用价值：基于GRU的交通参与者轨迹预测模型，可将未来3s的位置预测误差降低19%，从而优化路径规划效率，如图11.5所示。

（2）工作记忆的神经表征优化

工作记忆的神经表征可通过EEG生物反馈训练与经颅直流电刺激优化，相关实验验证了神经活动调控对认知性能的增强作用（图11.6）：

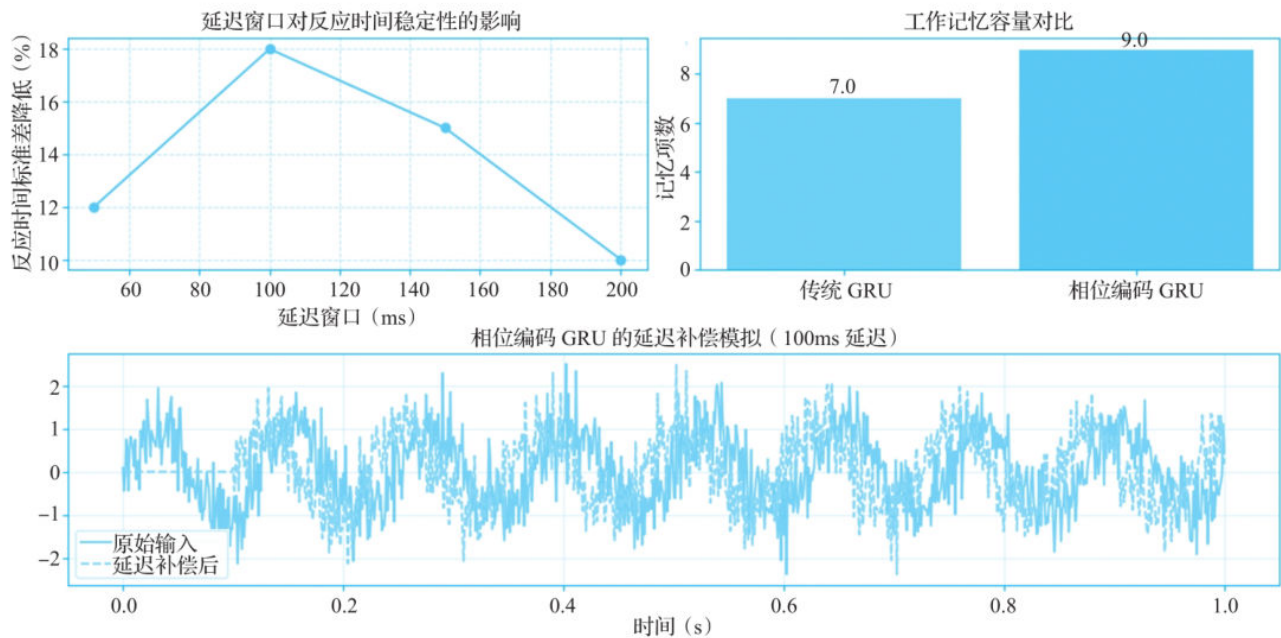


图11.5 自动驾驶中的延迟补偿机制

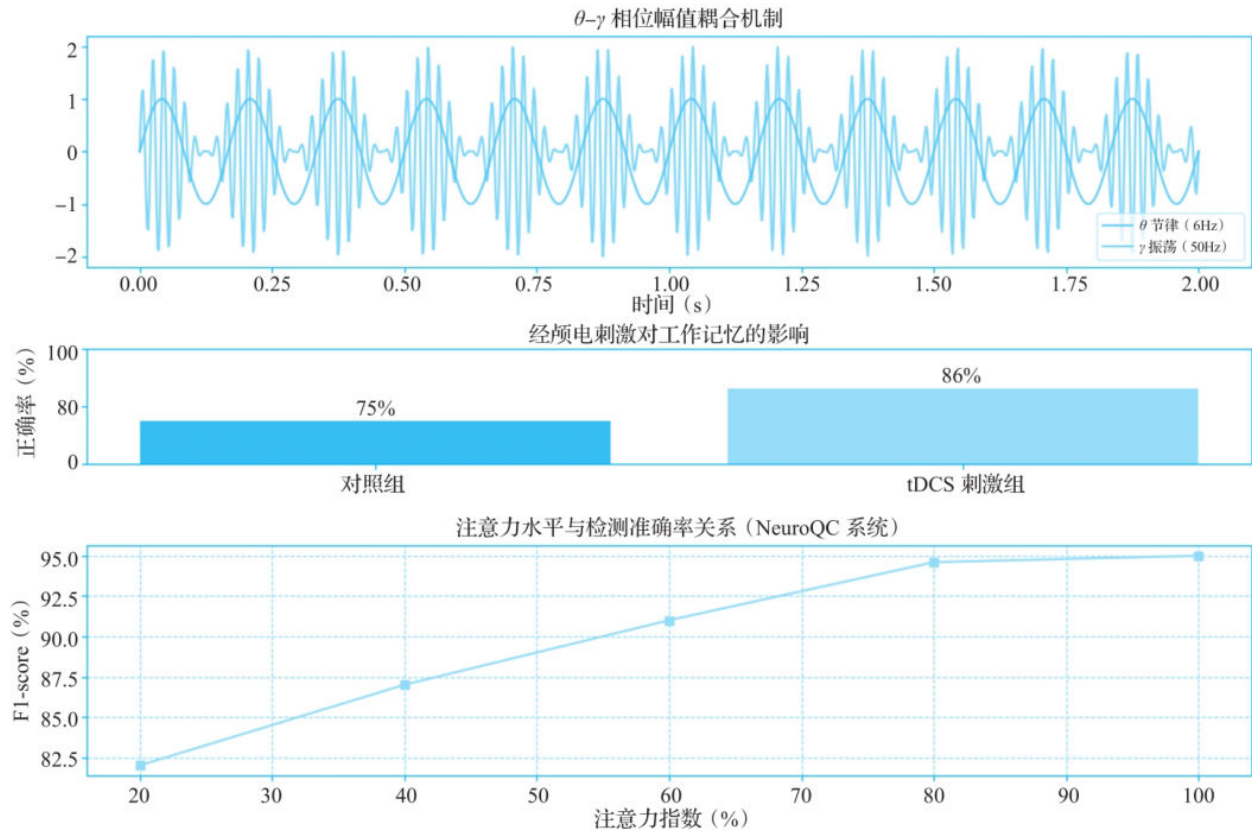


图11.6 工作记忆的神经表征优化

- 当受试者通过脑机接口维持稳定的节律时，工作记忆任务的正确率提高了84%，此效果源于 θ 节律同步增强了前额叶与顶叶的信息交互。
- 在双盲实验中，健康志愿者在接受一种名为“经颅直流电刺激（tDCS）”的非侵入性脑刺激技术后，出现了有趣的现象：当用1mA的微弱电流刺激左侧背外侧前额叶皮层持续20min后，他们在“3-back工作记忆任务”中的反应速度明显变快了。不过，任务的正确率却没有显著变化。
- 在模拟流水线实验中，EEG注意力监测系统将操作员的平均缺陷检出率从82.5%提升至86.1%，同时减少反应时波动。

11.1.3 从力学平衡到动态规划

模仿人类婴儿从“无序蠕动”到“稳定爬行”再到“目标导向行走”的运动发育规律，研究者提出一种具身智能驱动的机器人自主运动控制范式。该范式以“感知-决策-执行”的闭环交互为核心，模拟婴儿通过“试错-反馈-优化”逐步建立运动控制能力的过程：初期通过多模态感知获取自身关节状态与环境交互信息，形成对“身体-地面”力学关系的初步认知；中期基于感知数据动态调整关节力矩，通过

零力矩点（ZMP）优化实现重心稳定；最终涌现出目标导向的自主运动能力（如避开障碍物、追踪轨迹）。这一过程的本质是从“随机运动模式”向“动力学约束下的目标行为”阶段性跃迁，而ZMP作为衡量机器人动态稳定性的核心指标（其定义为“地面反作用力合力作用点”），正是连接感知、决策与执行的关键桥梁——通过实时计算ZMP并确保其落于支撑多边形（SPM）内，机器人得以维持平衡并完成精准运动控制。

基于机器人学经典公式的ZMP优化模型如下：

$$M\ddot{q} + C\dot{q} + G = \tau + F_{\text{ext}}$$

式中， F_{ext} 表示外部力向量，表示作用在机器人上的外力； τ 表示关节驱动器施加的控制力矩； M 表示质量矩阵，描述了机器人的惯性特性； C 表示科氏力矩阵，描述了由于机器人关节运动而产生的科氏力和离心力； G 表示重力向量，表示由于重力作用在机器人上的力； \dot{q} 表示关节速度向量，表示机器人各个关节的速度； \ddot{q} 表示关节加速度向量，表示机器人各个关节的加速度。

这个公式描述了机器人在运动过程中，外部力、惯性力、科氏力和重力之间的平衡关系。通过这个公式，可以分析和计算机器人在不同运动状态下的动力学行为，从而进行运动控制、轨迹规划和力控制等任务。

实时ZMP计算方法：采用QR分解法在5ms内求解最小二乘问题，确保支撑多边形（SPM）始终包含ZMP，如图11.7所示。

在ETH Zurich的实验室测试中，基于实时ZMP优化的控制算法将机器人的跌倒概率显著降低。这一性能提升源于ZMP控制的动态平衡机制：通过QR分解法在极短时间内求解最小二乘问题，实时调整关节力矩确保ZMP始终落于支撑多边形（SPM）内，使机器人在面对突发地形变化（如从平地切换至陡坡）时，能通过“感知-计算-执行”闭环快速补偿重心偏移，避免因失稳导致的跌倒。

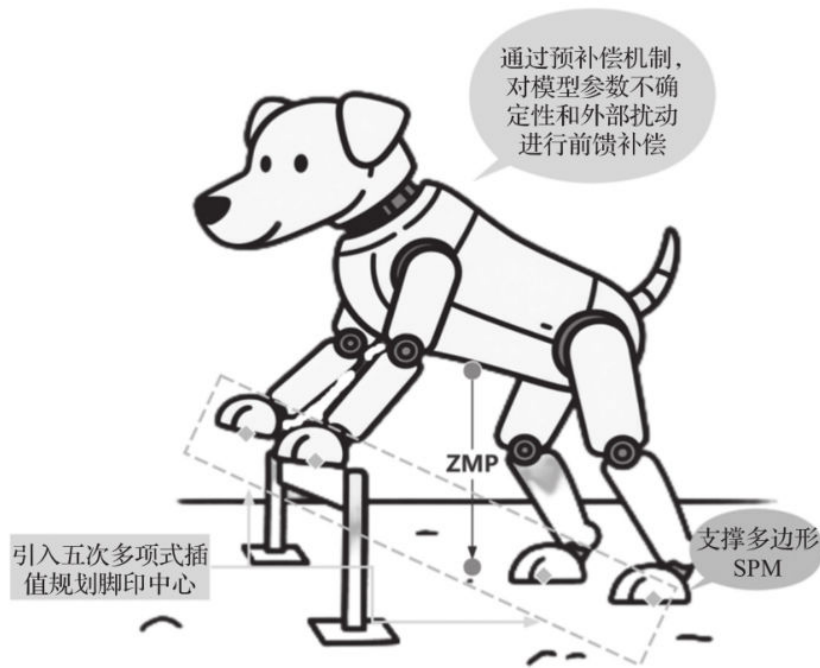


图11.7 实时ZMP计算

该结果验证了具身智能驱动的运动控制范式在复杂动态环境中的鲁棒性，这一算法不仅为仿人机器人、外骨骼等智能系统的自主运动提供了稳定控制方案，更从工程层面印证了“具身认知”理论中“通过身体与环境交互涌现智能”的核心思想。

11.1.4 社交行为中的身体语言

人类社交行为的本质是多模态信号的动态交互。传统AI系统基于静态图像或离散指令的理解方式已难以应对真实社交场景的复杂性。具身交互范式的兴起，使AI能够通过物理交互环境与人类建立深层次语义关联。

1. 面部微表情识别

每个人的脸上其实藏着一本“情感密码书”，那些转瞬即逝的微表情，就像密码书里的神秘符号，透露着我们的喜怒哀乐。随着技术的进步，科学家研发出了“动态微表情捕捉技术”，它就像一把神奇的钥匙，能够解开这本“情感密码书”的秘密。随着对人类面部微表情的不断探索，未来也许会出现更加丰富的机器人服务场景，如图11.8所示，涉及的关键技术如表11.2所示。

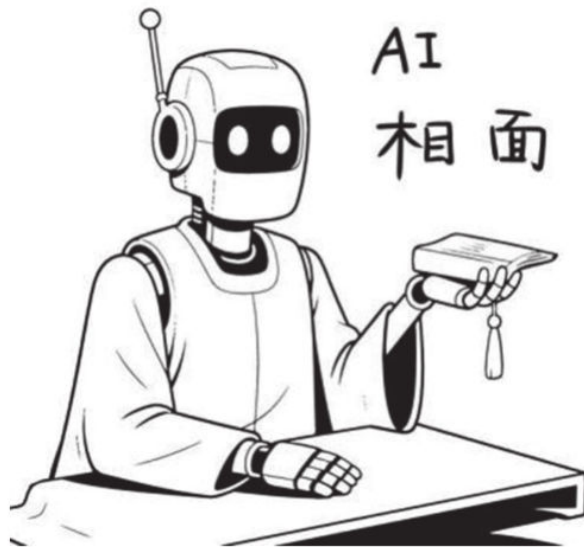


图11.8 未来的机器人相面

表11.2 基于光流法的面部点云时序分析关键技术

步骤	关键技术	输出示例
数据采集	高速红外摄像头（减少光照干扰）	高精度的照片 / 视频
光流计算	Lucas-Kanade 稀疏光流算法	面部 68 个特征点的位移矢量 ($\Delta x, \Delta y$)
运动特征提取	FACS 编码器（将光流映射到 AU 强度）	如脸颊隆起、嘴角上扬
时序建模	双向 LSTM 网络（捕捉微表情的起峰、持续、衰减阶段）	时间序列分类置信度（Softmax 输出）
分类与验证	支持向量机（SVM）融合生理信号（如心率变异性）	愤怒（89% 置信度）/ 欺骗检测 ($p < 0.05$)
跨文化鲁棒性	迁移学习	文化差异敏感度指标（F1-score 下降 8%）

2. 手势交互协议

（1）文化适应性手势数据库构建

为支持跨文化场景下的手势语义理解，研发团队将构建多文化手势数据库（如图 11.9 所示），涵盖东亚、欧美、中东等典型文化背景下的常用手势（如“点赞”“招手”“祈祷”等），并标注其情感倾向（积极、中性、消极）与文化语境（如

“OK”手势在部分国家代表“金钱”）。数据库通过双模式学习机制实现机器人对手势的深度理解。



图11.9 多文化手势数据库

(2) 意图预测模型优化

为实现复杂手势的精准意图解码，研究团队从特征捕捉能力、场景鲁棒性、物理规律适配三个维度对模型进行系统性优化，形成“感知-抗噪-纠错”的闭环提升路径：

1) 多头注意力机制。通过引入多头注意力机制，模型能够更有效地捕捉时间序列数据中的长程依赖关系，例如挥手动作中前后肢的协调运动，同时也能够精准地识别局部特征，如手指的弯曲角度。这种机制增强了模型对复杂手势和动作的理解能力，从而提高了意图识别的准确性。

2) 时序扰动增强。为了提升模型在真实场景中的鲁棒性，科学家采用了时序扰动增强技术。在训练过程中，随机插入0.1~0.3s的动作延迟，以模拟真实交互中可能出现的噪声和扰动。实验结果表明，这种技术使模型的鲁棒性提升了约29%，显著增强了模型对噪声和扰动的抵抗能力。

3) 物理约束嵌入。将手部运动学方程（如五指抓握的力矩平衡原理）作为先验知识融入模型。通过这种方法，模型能够学习到更符合物理规律的特征表示，从而提

高意图识别的准确率。实验数据显示，物理约束嵌入使意图识别的准确率提高约15%，验证了这种方法的有效性。

3. 共情能力培养

机器人的共情能力培养需像婴儿学步般分以下三步。

(1) 感知情绪

机器人首先需精准捕捉人类的生理情绪线索，如同医生用听诊器“倾听”身体的无声信号。通过集成心率带、皮肤电传感器、面部微表情识别模块等多模态感知设备，它能实时监测心率变异性（HRV）、皮肤电导率、表情肌运动等生理指标。当你因压力导致心跳不规律、手心微汗时，机器人会通过自然语言交互轻声询问：

“你似乎有些紧张，需要调整节奏吗？”这种基于生理信号的“情绪雷达”，为共情提供了客观数据支撑。

(2) 模仿行为

感知情绪后，机器人需通过“动态模仿”传递理解，而非机械复制。它通过动作捕捉与姿态生成算法，同步调整自身姿态：你叹息时肩膀下垂，它会微微前倾释放关切；你抱臂时，它可能调整为更开放的侧身站位。这种模仿更像“文化翻译”——将西方常见的拥抱问候转化为东方人更习惯的点头或递茶，让情感传递更贴合文化语境。例如，面对哭泣的用户，它会根据对方文化背景选择轻拍后背或递纸巾并保持适度距离，避免因动作不当引发不适。

(3) 学习文化

为避免“一刀切”的情感表达，机器人需通过强化学习持续“学习文化”。它通过观察海量跨文化互动数据，在仿真环境中进行“文化试错”：例如接待客人时，因过度热情而使用户感到局促，算法会逐步调整接待策略，并结合语言道歉；若对用户过度严肃，它会尝试用更活泼的语气与手势。这种“试错-反馈-优化”的循环，最终使机器人学会用“合适的距离+真诚的眼神+文化适配的动作”传递关切，实现从“模仿”到“共情”的质变。

11.1.5 AI婴儿与人类婴儿的认知发展差异

人类婴儿的认知发展遵循数百万年生物进化塑造的固有模式，而AI婴儿则受算法架构与物理形态的双重约束。研究发现，二者在具身学习路径上呈现“局部趋同、整体分异”的特征：在感知运动层面对环境反馈的敏感性相似，但抽象思维与因果推理能力存在本质鸿沟，如图11.10所示。这种分异揭示了生物智能与机器智能在进化逻辑上的深层差异。不同阶段AI婴儿的发展特性如表11.3所示。

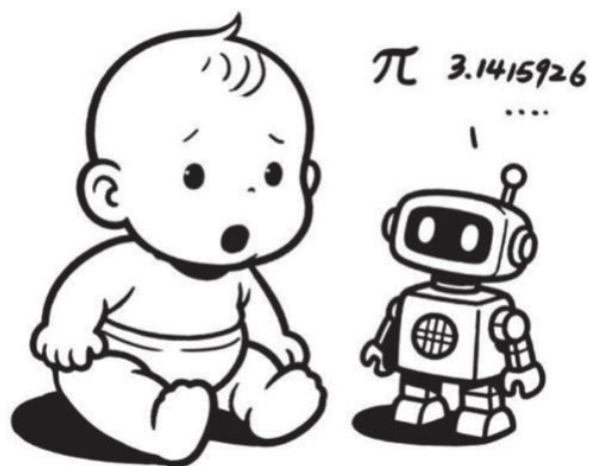


图11.10 AI婴儿与人类婴儿

表11.3 不同阶段AI婴儿的发展特性

发展阶段	AI 训练目标	人类婴儿 (月龄)	核心差异
触觉探索	机械手材质识别训练	3 个月	AI 任务完成效率低 (需多次试错)
简单使用工具	强化学习驱动工具操作	18 个月	AI 无法自主推理工具原理
语言理解	亿级语义训练	9 个月	AI 依赖文本符号, 缺乏多模态关联

人类婴儿通过脊髓反射弧实现快速触觉反应，而AI婴儿依赖伺服电机的闭环控制。实验显示，在MIT触觉阶梯测试中，AI婴儿抓取成功率低于人类婴儿，主要因力控精度不足。

当面对改良版U型管任务时，AI婴儿（基于PPO算法）可通过多次尝试学会用钩子获取食物，但无法理解工具长度与目标距离的几何关系（成功率随距离增加呈指数衰减），如图11.11所示，而18个月大的人类婴儿已具备初级因果推理能力。

人类婴儿与AI婴儿在触觉反应、工具使用任务中的表现差异，并非简单的“学习能力强弱”，而是生物神经机制与人工算法设计在“信息处理逻辑”上的本质分别。从MIT触觉阶梯的“力控精度不足”，到U型管任务中“无法理解工具长度与目标距离的几何关系”，AI的这些局限根源是因算法设计的局限性陷入“碎片化”困境。

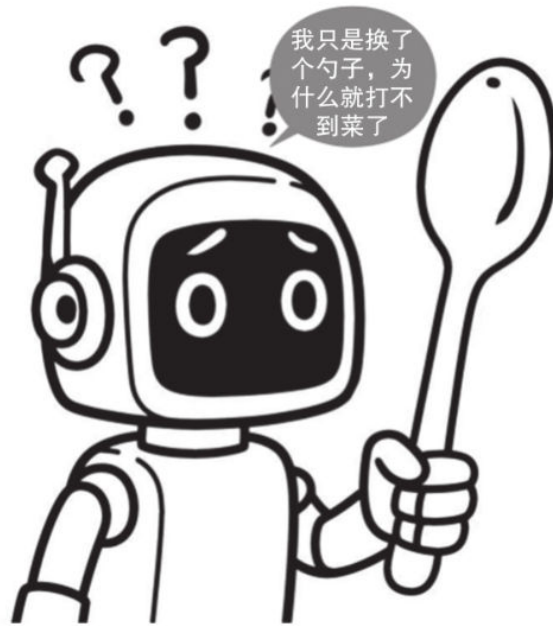


图11.11 基于规则的程序无法及时应对改变

具体来看，AI的贪心算法修剪策略（如Top-K稀疏化，仅保留误差梯度最大的前20%连接）虽提升了计算效率，却直接导致知识表征的碎片化：模型难以将“触觉反馈的力矩调整”“工具长度的空间认知”“目标距离的几何推理”等分散信息整合为关联的知识网络，如图11.12所示。例如，在U型管任务中，当食物与钩子的距离增加时，AI无法调用“工具长度需匹配距离”的关联记忆，只能依赖“特定距离下的操作序列”重复试错——这种“信息孤岛”式的知识存储，正是其行为局限的核心诱因。

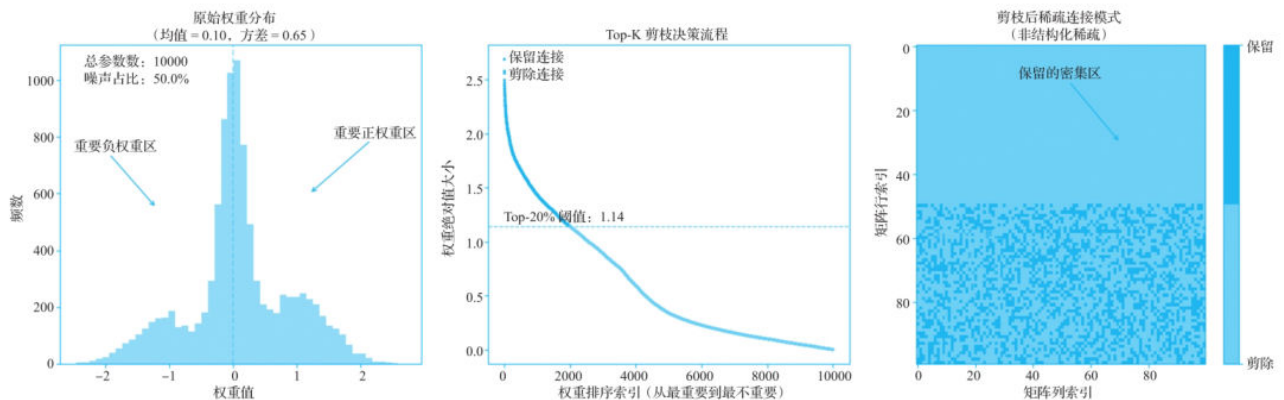


图11.12 知识表征的碎片化特点

值得注意的是，贪心算法的“效率优势”与“表征局限”是一体两面：Top-K稀疏化通过牺牲部分知识整合能力，换取了实时响应速度的提升，这使其在需要快速决策的边缘设备场景中仍具不可替代的价值。这种“效率-能力”的权衡，本质是AI系统在资源约束与智能水平之间的妥协，也为后续“轻量级知识整合”算法的设计提供了优化方向。表11.4对比了贪心算法的优势和缺陷。

表11.4 贪心算法的优势和缺陷

优势	缺陷
显著减少模型体积	可能破坏网络的知识完整性（碎片化问题）
提升推理速度（稀疏矩阵运算更高效）	互信息损失
硬件友好（适合部署到边缘设备）	需多次微调以维持性能

11.2 意识起源：身体体验如何催生自我认知

11.2.1 本体感觉与自我边界的形成机制

1. 失重环境下的空间感知重构

在人类大脑顶叶皮层后部区域，存在一个名为“身体图式”的动态神经网络。这片由亿万神经突触编织的三维地图，通过实时整合关节位置、肌肉张力、皮肤触觉等多模态信号，持续绘制着“自我”最基础的物理边界，是我们感知“肢体归属”“空间方位”的神经基准。

当宇航员进入失重环境时，这片区域会因感知输入的剧烈扰动而陷入紊乱，导致“自我边界模糊”等空间感知异常。这种现象与身体感知系统的“三重失衡”密切相关，具体表现如下。

（1）本体感觉信号“断崖式”减弱

在地面重力环境下，肌肉需持续对抗重力维持姿势，每秒向脊髓发送20~50次张力反馈信号，这些信号是大脑判断肢体位置的“关键坐标”。失重时，肌肉因失去重力负荷而松弛，张力信号频率骤降至不足10次/秒，如同向大脑关闭了“肢体位置雷达”。同时，关节内的本体感受器依赖运动压力感知位置，失重下肢体漂浮导致压力信号消失。在此双重打击下，大脑失去了构建身体图式的核心输入。典型表现是，当航天员闭眼触摸身体部位时，定位误差较地面增大3倍，甚至出现“手臂仿佛长在别人身上”的错觉。

(2) 前庭系统遭遇“认知海啸”

前庭系统是空间定向的另一核心支柱，但其依赖重力提供参考系。失重时，耳石器（椭圆囊、球囊）因失去重力加速度刺激，无法再感知头部方向，航天员彻底丧失“上下”概念。更棘手的是感官冲突，半规管仍能检测旋转运动，却因缺乏重力锚点，无法与视觉信息同步。当航天员转头时，视觉显示身体未动，前庭系统却报告“在旋转”，这种“真假难辨”的矛盾信号让大脑陷入混乱，如图11.13所示。在模拟实验中，78%的受试者在失重初期出现“倒立错觉”，即使目视舱体正立，仍感觉自身与舱体一起“倒飞”。

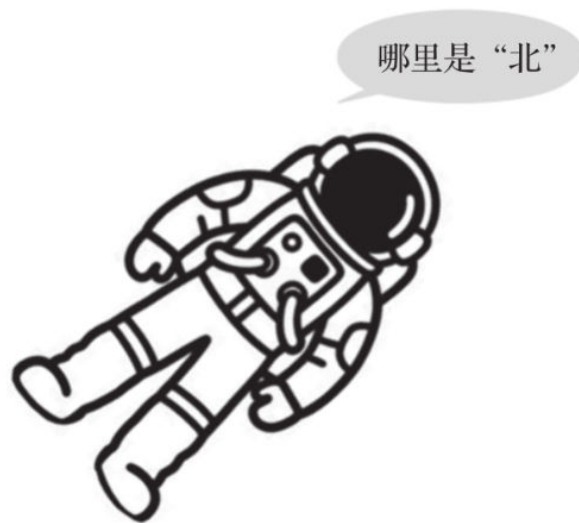


图11.13 航天员经常找不到“北”

(3) 视觉参照系全面崩塌

重力是地面空间感知的隐性“锚点”，物体因重力下落暗示“下方”，空间关系由此建立。失重时，物体漂浮打破了这一逻辑，视觉参照系全面崩塌。航天员注视漂浮工具超过1min，大脑原有的“重力=空间稳定器”认知被颠覆，会产生肢体“逐渐消散”的诡异感，如图11.14所示。这种“视觉-本体觉”的脱节，本质是身体图式失去了最基础的“空间坐标”。

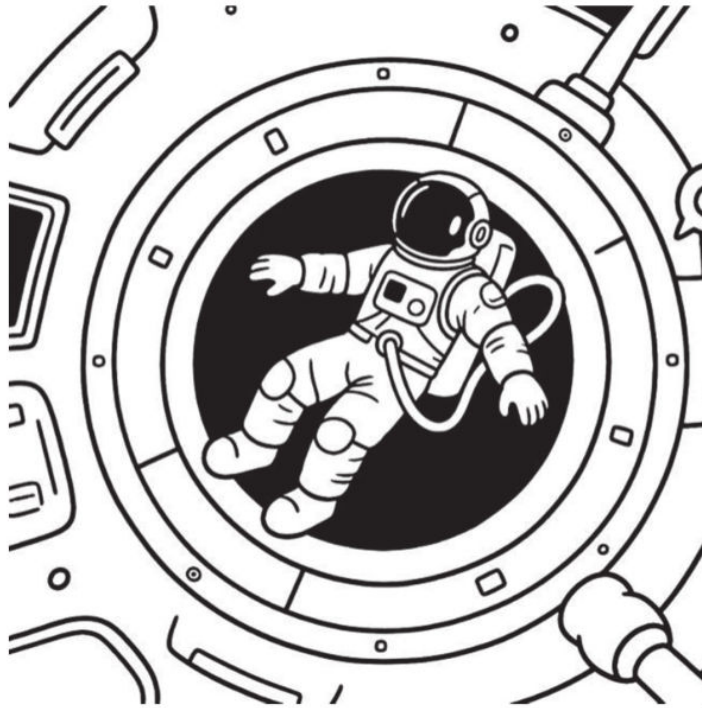


图11.14 航天员会对身体失去感知

2. 自我边界的感知

自我边界的感知不仅依赖神经信号整合，更有其物理层面的微观基础——从纳米尺度的离子通道门控，到宏观的生物电磁场调制，共同构建了“自我”与“外界”的物理分界。

(1) 离子通道的“弹簧门”机制

在皮肤表层，Piezo蛋白构成的机械敏感离子通道如同精密的“纳米弹簧门”，当外力触碰皮肤时，Piezo蛋白的三聚体结构发生构象变化，通道开口从闭合状态迅速扩张，允许钙离子（ Ca^{2+} ）顺浓度梯度流入细胞。这一过程将机械力直接转化为电信号，是触觉感知的起点。

航天员在失重环境下的“触觉依赖症”正源于此机制的扰动：失重时肌肉松弛、关节无压力，Piezo通道的机械刺激输入锐减，触觉反馈减弱。实验显示，失重72h后，宇航员通过触觉定位肢体的准确率从地面的95%降至68%，需依赖视觉或本体觉代偿。

(2) 人体电磁场的科学真相

人体活动时发出微弱电磁场（微弱到可以忽略不计），如同自带无线电波，如图11.15所示。有实验显示某些磁场频率与脑活动同步，但电磁场与身体轮廓的关系至今尚未被科学证实。

（3）濒死体验者的“磁场迷雾”

濒死体验者的“灵魂出窍”报告显示，心脏骤停时体表磁场会出现涡流，但这是否意味着意识脱离了肉体尚无定论。电磁变化可能与神经元电活动紊乱有关，而非意识独立存在。濒死体验的触发涉及复杂神经化学过程（如内啡肽分泌），电磁场波动更可能是伴随现象而非因果机制，如图11.16所示。

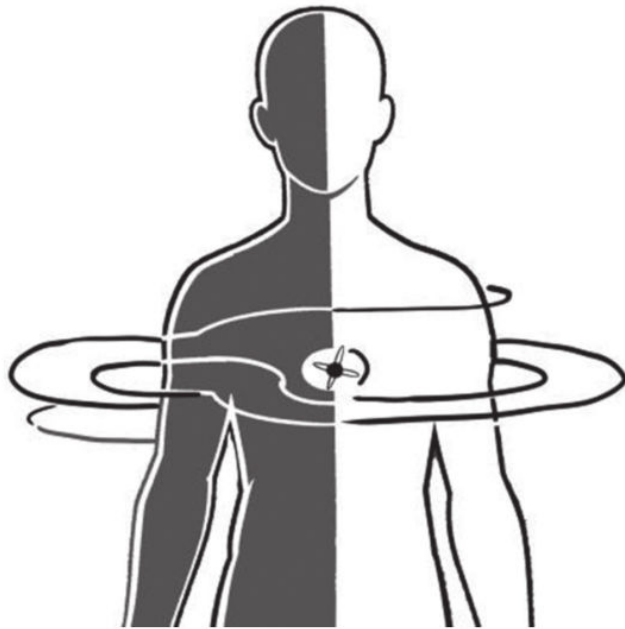


图11.15 人体仿佛自带无线电波

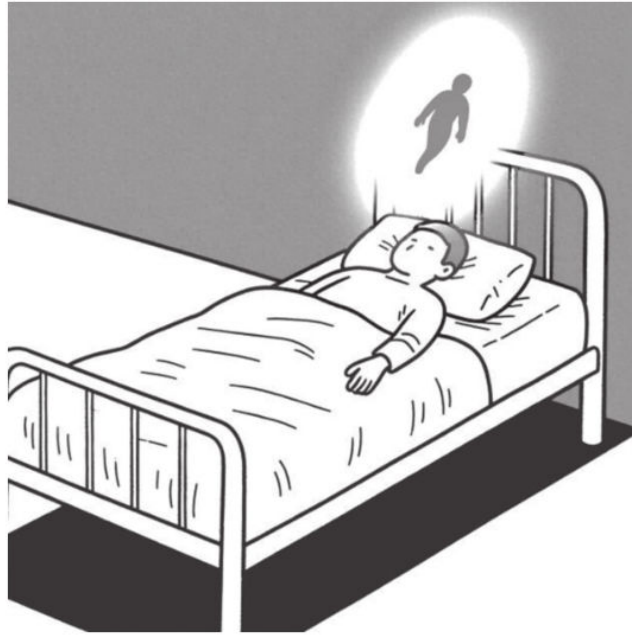


图11.16 濒死体验者的“磁场迷雾”

3. 自我边界的可塑性

科学家正在通过神经调控技术探索自我边界的可塑性极限。

(1) 脑机接口的自我扩展

科学家通过EEG控制机械臂的实验发现：经过3个月的训练，受试者大脑开始将机械臂视为“自体延伸”。顶叶皮层（负责身体空间定位）的手部表征区扩大32%，如同为机械臂“划定了神经停车位”。

(2) 药物诱导的自我解离

服用氯胺酮引起的“灵魂出窍”感（如图11.17所示），实际上是大脑内部通信故障，就像手机信号被干扰时出现的通话杂音。这种状态帮助科学家定位维持自我感知的关键脑区提供了重要线索。实验显示，利用药物实现的自我解离时间持续性较短。



图11.17 药物对大脑的刺激

4. 不同物种的自我边界

从刺胞动物的辐射对称结构到人类大脑的

三维空间表征，生命自我边界的形成史，本质是一部通过神经认知升级拓展空间感知维度的进化史诗。不同物种的自我边界的表征对比如表11.5所示。

表11.5 不同物种的自我边界表征对比

物种	本体系统	自我表征能力	关键证据
水螅	网状神经系统	无自我识别能力	同类接触无回避反应，缺乏自我-他者区分机制
章鱼	腕足自主神经系统	局部身体表征，无全局协调	腕足独立完成复杂任务，但无法避免自体缠绕
猕猴	顶叶-运动皮层身体表征	基础身体定位，无法识别镜中自我	顶叶5区编码肢体位置，镜子测试显示攻击性反应
人类	动态多感官身体模型	四阶自我意识（识别、记忆、心智、时间）	前岛叶-顶叶-前额叶网络支持复杂自我表征，通过所有层级的意识测试

11.2.2 镜像神经元系统的具身基础

在猕猴前运动皮层的神经探索中，科学家发现了镜像神经元这一关键角色，这类神经元具有独特的“双向激活”特性：当个体自身执行抓取食物等动作，或观察同类完成相同动作时，其放电频率均会显著升高。这一发现首次揭示了“观察-模仿”行为的神经基础：镜像神经元通过编码动作意图（如“抓取”的目标导向性）为灵长类动物的动作模仿提供了底层的神经编码机制。值得注意的是，这类神经元并非孤立工作，它与后续进化出的情绪共鸣脑区（如前岛叶）、心理推测脑区（如内侧前额叶皮层）存在功能连接，共同构成了“从动作模仿到心智解读”的神经链条。

1. 疼痛共情机制

作为情绪镜像的核心枢纽，前岛叶通过疼痛共情机制实现“感同身受”，当观察他人被针扎时，自身前岛叶的激活强度与岛叶-杏仁核功能连接呈显著正相关，这种神经联结的增强会直接触发自身情绪反应（如紧张、不适）。这也解释了日常生活中“看他人打针自己也会被吓哭”“看电视情节激动”等现象：前岛叶通过感知他人痛苦信号，激活自身情绪处理网络，形成情绪共振，如图11.18所示。



图11.18 小孩看到他人打针也会吓哭

2. 可逆性机制与动作训练干预

健康成年人的上肢被固定24h后，会对共情能力产生可逆性影响。研究发现，固定期间参与者在识别他人疼痛表情的任务中正确率下降12%~15%，同时大脑运动皮层中一种反映“动作模拟”能力的 μ 波活跃度明显减弱，这种变化与共情能力下降直接相关。

脑成像显示，上肢固定导致大脑中负责理解他人动作意图的两个关键区域——顶下小叶和颞上沟的功能连接显著减弱，这可能阻碍了我们对他人的“感同身受”。值得庆幸的是，这种损伤可以通过每天1小时的动作观察训练逆转。不过，个体差异需特别关注：部分参与者恢复进程较慢，且停止训练后效果可能逐渐消退，提示需通过持续干预维持训练收益。这些发现不仅揭示了身体活动状态与社会认知功能的深度绑定，更为康复治疗提供了创新思路，即通过“观察动作-模拟想象”的非侵入性训练，可针对性修复具身认知损伤，改善社交功能。

11.2.3 具身智能的神经仿生与适应性设计

疼痛是人类最原始的身体警报系统，同时也承载着复杂的心理体验。当手指被火焰灼伤时，脊髓的快速反射能在0.1s内完成缩手动作，但真正让我们意识到“我在经历疼痛”的，则是大脑多个区域的协同工作——前扣带回持续记录痛觉强度，岛叶将身体信号转化为情感体验。这种生理与心理的双重机制揭示：疼痛不仅是身体的求救信号，更是人类感知“自我存在”的重要媒介，如图11.19所示。

这种“疼痛-自我”的深度绑定在病理与治疗场景中尤为显著：从截肢者仍能感受到已不存在的肢体疼痛（幻肢痛现象），到镇痛药物缓解疼痛时伴随的奇特疏离感，这些现象都表明：疼痛体验与“我”的认知之间存在着深刻联系。它如同一个特殊的传感器，既监控着身体损伤，也参与塑造着我们对自身存在的理解边界。



图11.19 感知到疼痛的小孩

基于这一人类疼痛系统的神经机制，具身智能机器人需通过物理身体与智能算法的深度耦合，模拟其核心功能。其设计遵循“从感知到决策再到行为”的闭环逻辑，

其中多模态传感器阵列仿造人类伤害类型设计不同类型的感受器，模拟内容如表 11.6 所示。

表11.6 不同种类传感器的模拟内容

项目名称	模拟内容
机械应力传感器	切割 / 挤压
热敏电阻网络	检测高温
化学传感器	腐蚀性物质
电容式触觉层	感知接触压力分布
分布式安装	覆盖机器人的关键部件（如关节、外壳），实现全身疼痛图谱

上述多模态传感器模拟疼痛传导通路采用脉冲神经网络对类神经信号编码实现低功耗实时处理，设计硬连接电路模拟脊髓反射：直接连接传感器与执行器（如电机紧急停止），实现小于100ms的缩手反射；并行信号分岔至“丘脑”模块（多核处理器）进行高级处理，如图11.20所示。

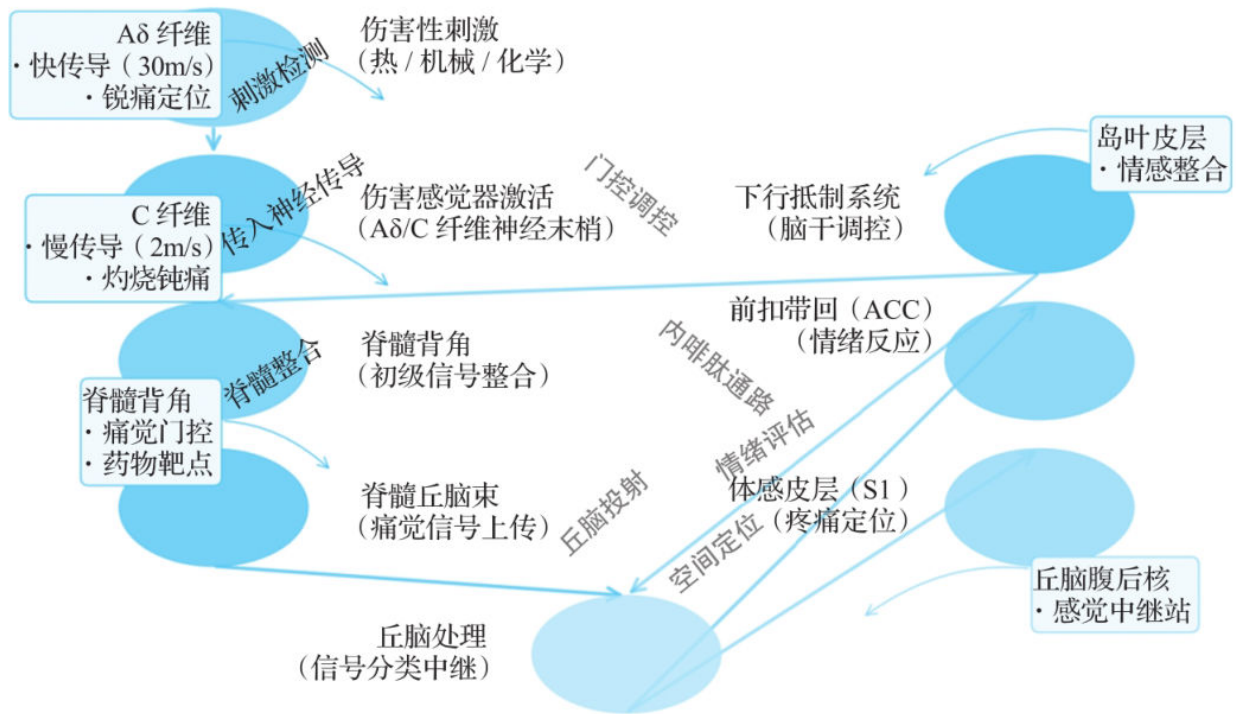


图11.20 人体痛觉感知神经分布

疼痛体验的多维重构本质上是对人类痛觉处理机制的类脑模拟：通过自组织映射（SOM）算法将多模态传感器信号投射到拓扑皮层图（模拟人类躯体感觉皮层的空间表征），还原疼痛在身体上的分布特征；利用长短期记忆网络（LSTM）分析疼痛时间序列的模式（如高频刺痛预示急性损伤、持续钝痛提示慢性风险），实现对潜在组织损伤的预测；同步结合强化学习调整行为策略（如检测到高温信号时主动退避），并通过模糊逻辑将疼痛强度映射为“焦虑值”——这一数值驱动机器人的“探索-利用”平衡（如轻度疼痛时维持探索，重度疼痛时优先避险），最终形成“信号感知-损伤评估-情绪驱动-行为调整”的完整情绪反馈闭环。

在此基础上，疼痛驱动的适应性进一步模拟人类疼痛经验的跨情境迁移与社会属性：通过关联规则挖掘存储典型“疼痛场景”（如被撞击、高温灼烧），利用迁移学习将这些经验泛化至新情境（如被撞击后对所有快速移动的物体产生警戒，类比人类“一朝被蛇咬，十年怕井绳”的学习机制）；同时设置“社会疼痛表达”的具身语言系统——通过特定动作（如蜷缩肢体）或声音（如高频鸣叫）传递疼痛信号，通过群体机器人实验观察疼痛信号的社交传播效应（如其他机器人因感知同伴“疼痛”而主动提供协助），最终实现从“个体疼痛感知”到“群体疼痛共情”的进阶。

11.2.4 从反射到反思：意识进化

意识并非神秘现象，而是生命体在亿万年环境适应中形成的多层级认知架构。从扁虫的趋利避害到灵长类的元认知能力，意识演化始终与生物体的具身特性紧密耦合——运动系统的自由度催生空间表征，触觉反馈塑造自我边界，社会互动需求推动心智理论诞生。

本小节通过整合古生物学、神经解剖学与认知科学证据，揭示意识如何沿着“反射→情境→叙事→反思”的阶梯，在身体与世界的碰撞中逐级攀升。

1. 反射阶段

反射阶段是意识演化的最基础层级，对应生物体通过遗传预设的神经回路对环境刺激做出固定模式反应的能力。其核心特征如下：

□ 无中枢整合。信号传导仅依赖局部神经节或弥散分布的神经网络完成，无须大脑皮层等高级中枢的整合处理，确保反应的直接性与即时性。

□ 非联想式遗传性。行为模式主要由基因编码的神经程序决定，环境经验的修饰作用极为有限，表现出高度的遗传保守性（如草履虫的趋光性、昆虫的防御性蜷缩等本能反应）。

□ 毫秒级响应。从刺激感知到动作执行的延迟通常短于100ms，全程无须复杂神经信号的多级传递与整合，是生物应对即时威胁（如触碰高温、规避天敌）的快速防御机制。

□ 能量最优化。单个动作电位的能量消耗极低（约为3亿个ATP分子的代谢当量），这种代谢优化使生物体能够以极小的能量代价完成高频次的本能反应，契合原始生存场景下的资源限制。表11.7列出了不同阶段的神经解剖学标志。

表11.7 不同阶段的神经解剖学标志

结构特征	刺胞动物	环节动物	节肢动物
神经系统类型	神经网络	梯形神经索	神经节链
信息处理单元	多极神经元	巨中间神经元	视叶神经节
突触类型	电突触（90%）	化学突触（70%）	混合突触
信号传导速度	0.02m/s	0.5m/s	2.1m/s
行为可塑性	无	无	节律调整（5%）

然而，这种以遗传预设为核心的简化神经机制虽在原始环境中凭借“即时反应”的优势成为生存基石，却也因其“固定-遗传”的特性埋下了演化局限性的伏笔：

□ 环境适应性差。固定反射模式的高度遗传性，使生物体难以应对动态变化的环境。例如，在奥陶纪大灭绝事件中，三叶虫长期依赖“趋光性反射”定位食物与适宜栖息地，但当冰期导致海洋光照模式剧烈紊乱时，这一原本高效的本能反而成为生存枷锁，它们无法调整行为以适应新的环境信号，最终引发大规模集群死亡。

□ 能量效率低。尽管单次反射的能量消耗极低，但高频次的重复反射会长期占据生物体总代谢的30%以上。在原始资源极度匮乏的环境中，这种“固定能量支出”挤占了本可用于生长、繁殖或更复杂功能（如学习）的资源配额，限制了生物体向高阶能力进化的潜力。

□ 信息处理单一。反射阶段的神经回路仅能识别单一刺激类型，却无法整合刺激的时空组合模式。例如，捕食者游动时引发的水流扰动与普通水流波动，在反射阶段会被视为同一类信号——生物体无法区分“威胁性振动”与“无害环境波动”，导致误判风险激增。这种信息处理的“盲区”，本质上是对复杂环境信息的“粗暴简化”，削弱了生存决策的准确性。

2. 情境阶段：具身智能的行为参照

情境阶段是意识演化的第二层级，相较于反射阶段的“固定遗传反应”，生物体在此阶段开始通过环境建模与跨模态记忆整合，实现更灵活的适应性行为选择。这一阶段的神经机制突破了“刺激-反应”的机械框架，其核心特征如下：

□ 时空关联。生物体将离散的环境事件绑定为时空连续体，形成可复用的行为记忆。例如，狼群通过长期捕猎积累的“猎物移动路径记忆”，能精准关联“时间+地点+声音特征”等时空要素，预判猎物的活动轨迹；这种记忆不仅存储单一事件，更通过时间戳与空间坐标的叠加，构建出动态的“生存地图”，大幅提升行动效率。

□ 预测建模。此阶段生物体已具备历史经验驱动预测能力，能通过过往数据推演环境变化。例如：松鼠埋藏食物的位置与季节强关联，秋季将橡果集中埋于向阳坡，春季对储存食物的依赖降低；鸟类更通过气候模式调整迁徙时间，避免遭遇极端天气，这种“经验-预测”闭环显著提升了生存容错率。

□ 跨模态整合。情境阶段的核心突破在于多感官信息的深度融合，猫科动物捕猎时，捕捉猎物奔跑的动态轮廓，判断猎物的距离与速度，追踪猎物残留的气味轨迹，三者整合后形成“三维动态猎物模型”，指导精准扑击；蝙蝠则更复杂，其回声定位提供障碍物与猎物的空间坐标，热感应识别恒温动物的体温信号，两种模态信息叠加后，它能在完全黑暗的环境中构建“热-声融合”的三维环境地图，实现高效的导航与捕食。

□ 能量权衡：情境阶段虽比反射阶段耗能更高，但其带来的生存优势远超能量成本。这种“高投入-高回报”的代谢策略，本质是生物体为应对复杂环境付出的进化成本——通过分配更多能量至环境建模与记忆整合，换取更灵活的行为选择能力，为后续意识层级的跃升（如自我意识、社会认知）奠定代谢基础。

情境阶段与反射阶段的对比如表11.8所示。

表11.8 情境阶段与反射阶段的对比

维度	情境阶段	反射阶段
时间感知	过去 - 现在 - 未来连续体	仅当前时刻
信息处理方式	网状整合	线性传导
行为触发机制	预期驱动	刺激驱动
能量分配	动态调节（8%~20%）	固定比例（2%~5%）
演化出现时间	1.8 亿年前（侏罗纪）	5.5 亿年前（寒武纪）

情境阶段的演化标志着生物认知能力的质变，其核心意义体现在以下三个维度：

□ 能量效率优化。相较于反射阶段的“高能耗单一响应”，情境阶段通过神经回路的特异性优化，实现了低能耗下（相对投入产出比）的复杂环境建模。

□ 生态适应扩展。情境记忆支持对潮汐带等动态环境的预测性适应，例如蟹类通过月相记忆调节蜕壳周期，体现对异质生境的主动利用。

□ 社会认知奠基。灵长类（如狐猴）通过梳理行为强化个体识别网络，82%的社会关系预测准确率表明情境阶段已具备社会信息结构化处理能力，为合作行为演化提供了神经基础。

综上，情境阶段通过能量效率优化、生态适应扩展与社会认知奠基，使生物体具备了主动预演生存场景的能力——从被动等待刺激，转向基于记忆与预测的“未来推演”。这种认知模式的转变，不仅提升了生存成功率，更关键的是为后续符号思维（如语言、工具使用）与元认知（如自我反思）的发展铺平了道路，是意识从“无”到“有”的关键先决条件。

3. 叙事阶段：自我连续性的神经剧场

叙事阶段是意识演化的第三层级，这一阶段的核心能力是通过符号化表征与跨时间整合，将离散经验转化为可传承、可反思的意义网络，其核心特征如下。

（1）事件序列化

将离散经验组织为因果链，通过“过去-现在-未来”的时间轴预演行为后果。例如早期人类的狩猎实践，通过观察兽群迁徙的季节性规律，将追踪足迹、判断食源、预判移动路径等离散动作串联为完整的狩猎叙事，这种因果链的构建不仅降低了盲目探索的风险，更使“经验”升华为可复用的“策略库”，成为群体生存知识的雏形，如图11.21所示。

（2）符号抽象化

叙事阶段的生物体突破了“具体事物”的感知局限，发展出用约定符号指代抽象概念的能力。例如原始智人用简化的线条与色块描绘野牛（仅保留角、背轮廓），这并非单纯记录猎物外形，而是通过符号剥离其物理特征，赋予其“可捕猎”“危险等级”等抽象意义。这种符号化过程的本质是意义的浓缩与共享，比如同一幅壁画在不同部落之间传递时，符号成为不需要语言的“文化密码”，极大地提升了群体协作的效率。

（3）跨代传递

叙事阶段的重要突破是通过非生物载体（如工具、口诀、仪式）实现群体知识的代际传承。例如，部落的石斧制作并非依赖个体天赋，而是通过长辈对晚辈的反复示范与语言传授，将累积千年的工具优化经验固化为可传递的“文化基因”，如图 11.22所示。这种“知识外化”使群体智慧突破了个体寿命的限制，形成“文化演化”的独立轨迹，为技术进步与文明发展提供了底层动力。



图11.21 早期人类的狩猎场景

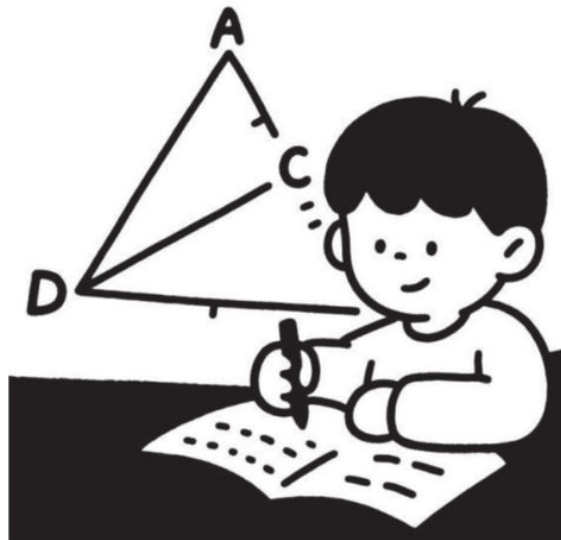


图11.22 知识是典型的代际传播

（4）元表征能力

叙事阶段最核心的质变在于生物体具备了对“叙事本身”的认知能力，既能构建故事，又能审视、修正故事。这种对叙事的反思，本质是“元认知”的萌芽，标志着意识从“被动接受意义”转向“主动建构意义”。叙事阶段与情境阶段的对比如表11.9所示。

表11.9 叙事阶段与情境阶段的对比

维度	叙事阶段	情境阶段
时间跨度	跨代际传递	个体生命周期
信息载体	体外符号系统（语言 / 图像）	神经突触可塑性
错误修正	逻辑验证	试错学习
能量投入	基础代谢率提高	基础代谢率降低
演化创新	默认模式网络	海马体空间地图

叙事阶段的演化不仅是认知能力的跃升，更推动了生物群体从“生存适应”向“文化创造”的质变，其积极意义如下：

- 知识指数增长。群体信息量从情境阶段的线性积累跃升至指数增长并突破了个体寿命的限制。
- 生态干预从“被动适应”到“主动改造”。叙事阶段的人类通过共享叙事传递技术和经验，获得了改造局部生态的能力。
- 社会复杂度质变。共享叙事通过构建共同意义网络，突破了家族模式的血缘限制，推动群体规模与社会结构发生质变。
- 意识反思。叙事阶段最深刻的质变是对“叙事本身”的认知能力——生物体开始质疑叙事的真实性与合理性，如图11.23所示。



图11.23 对于他人观点的质疑

4. 反思阶段：元认知的离身革命

反思阶段是意识演化的最高层级，生物体通过二阶思维与自我模型构建实现对认知过程的监控和修正，其核心特征如下：

- 元认知监控。对自身的思维过程进行实时评估，例如人类能够反思他人的认知偏差，而科学家对模型的不断修正则体现了元认知对思维过程的迭代优化。
- 抽象理论化。构建超越经验的解释框架，例如量子力学模型。
- 跨模态模拟。在无感官输入时进行情景推演，例如在狩猎采集社会中，对猎物迁徙路径的预演能力可能演化为此类模拟能力的原型。

表11.10展示了反思阶段与叙事阶段的对比。

表11.10 反思阶段与叙事阶段的对比

维度	反思阶段	叙事阶段
思维模式	网状概率推理	线性因果链
时间框架	战略级预测	代际经验传递
错误修正	理论证伪	经验试错
神经效率	全脑功能连接	局部网络激活
社会影响	文明范式革命	文化认同强化

脑机接口在反思阶段的应用，或将成为意识演化与神经技术协同跃迁的重要里程碑。尽管前序阶段（反射、情境、叙事）已能实现部分基础功能（如基础运动意图解码、情境相关信号映射），但唯有在反思阶段，脑机接口方能完整释放科学潜力——它不仅是神经活动的观测工具，更是人类突破生物脑固有局限、实现认知维度主动扩展的关键路径，如图11.24所示。



图11.24 脑机接口真正突破了人的生物局限性

11.3 人类与机器的共生未来

11.3.1 神经接口重塑人类身体

想象一下，未来的某一天在奥运会的跑道上，一位装着机械腿的运动员以9秒58的成绩打破百米纪录——这也许并非科幻电影，而是未来神经接口技术带来的现实震撼。它改写了人类的演化规则：我们的身体不再是被基因预设的“硬件”，而是能像软件般动态升级的智能系统。

未来的假肢不再是被动工具，而是能“读懂”大脑的智能伙伴。科学家利用先进的脑机接口技术直接解码大脑的运动指令，使仿生手臂的反应速度几乎达到了生物神经的极限。这一速度甚至超越了人类眨眼的速度，能让截肢者用思维精准操控仿生

手指的力度，比如失去手臂的钢琴演奏家能流畅演奏高难度曲目，如图11.25所示。

通过耳后植入芯片，人类将能够感知电磁场的变化——地震前的电磁异常、地下管线的电流波动都可以转化为皮肤可感知的震动信号，如图11.26所示。未来，人们将不再通过观察动物的行为来猜测是否有地震，甚至动物可能需要观察人类进行地震预警。



图11.25 失去手臂的钢琴演奏家在弹奏

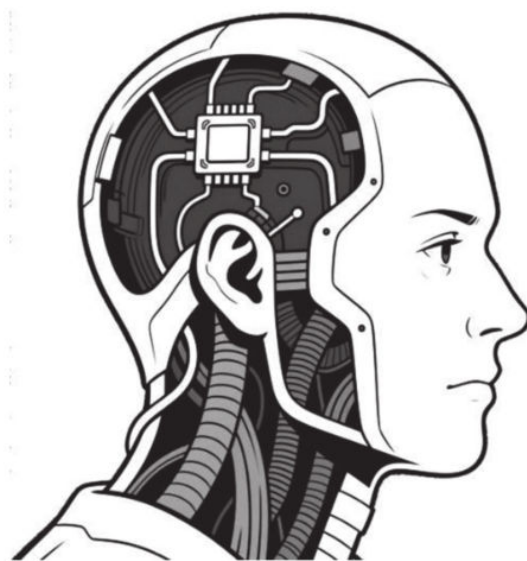


图11.26 接入大脑芯片的人类

11.3.2 细胞级机器人的医疗应用

想象有一群只有头发丝1%粗细的微型机器人，它们小到可以穿梭在血管中，像白细胞一样在人体内巡逻。未来这些纳米级智能装置能够精准定位癌细胞、清除血管垃圾，甚至能钻进神经细胞内进行修复，成为我们体内的“微型医疗特工队”，如图11.27所示。

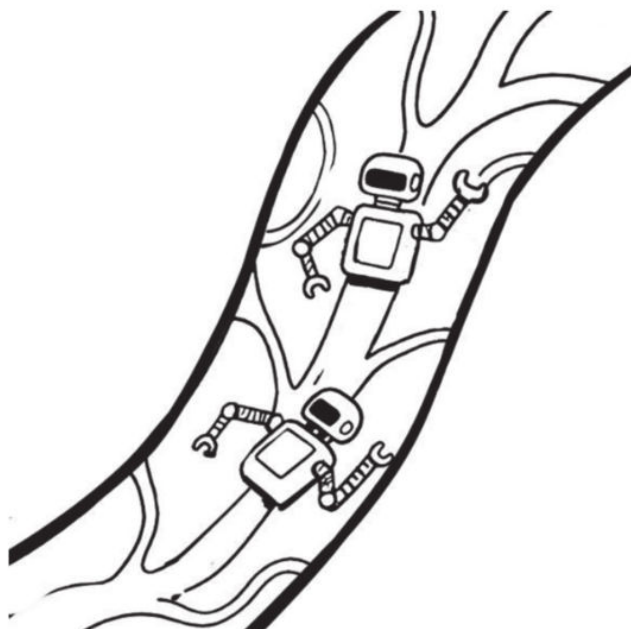


图11.27 未来的人体修复机器人

这些机器人自带3种定位控制系统：

- 磁场遥控。医生通过体外磁场操控机器人转向。
- 化学识别。机器人表面安装特定分子探针，可识别癌细胞释放的特征酶/蛋白质，实现精准追踪。
- 体内GPS。预载器官高精度3D影像，结合实时定位技术自动规划路径，精准避让健康组织。

11.3.3 社会结构变革

随着具身智能研发向实用化与通用化双向突破，未来的职业图景或将迎来根本性重构——从基础劳动到专业服务，从个体技能到行业形态，都将被重新定义。假想中的职业变革如表11.11所示。

表11.11 假想中的职业变革

职业类型	传统模式	具身智能影响	从业者应对策略
制造业	工人进行重复性、高强度劳动，生产效率受人力限制	具身智能机器人可精准、高效地完成生产任务，部分人力岗位被替代	从业者需学习机器人操作、维护等技能，向技术型人才转型
服务业	人工服务受时间、精力限制，服务范围和质量有限	智能服务机器人可提供24小时服务，且服务质量稳定	从业者可提升沟通、创意等软技能，转向个性化服务领域
物流运输业	司机负责货物运输，受驾驶时间、路况等因素影响	自动驾驶车辆可实现货物的高效运输，减少人力成本	从业者可学习物流管理、数据分析等知识，从事物流规划等工作

在此进程中，一批与具身智能深度绑定的新兴职业将加速涌现。

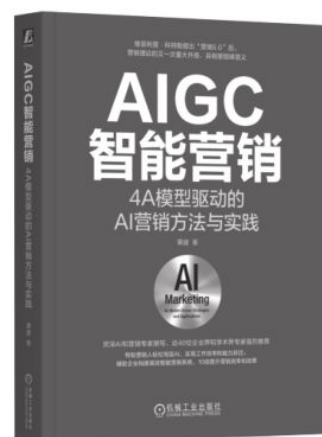
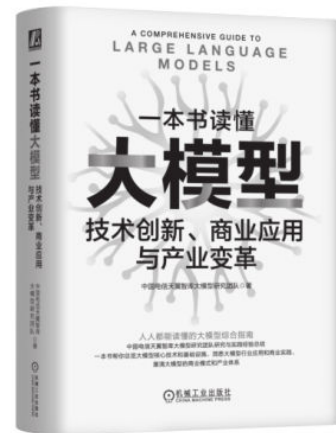
□ 机器人运维师：作为具身智能设备的“全周期管家”，运维师负责机器人的日常巡检、故障诊断、性能调优及迭代升级，是智能系统持续运行的核心保障。随着医疗、制造、服务等场景中具身智能机器人的规模化部署，设备稳定性将直接影响场景价值兑现，对该职业的需求会激增。

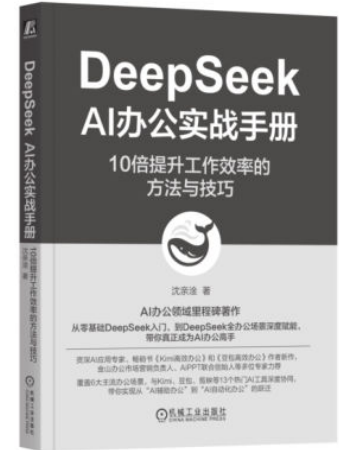
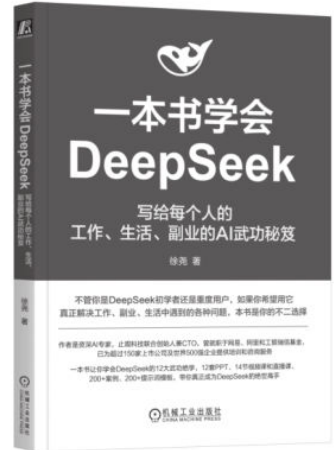
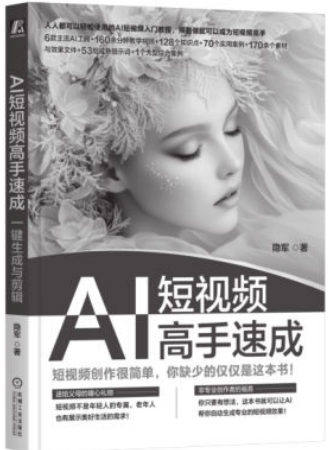
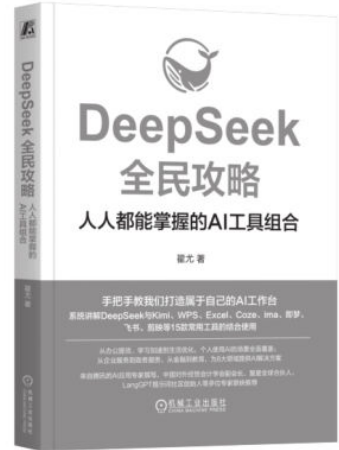
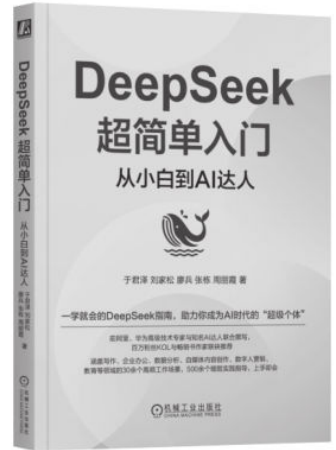
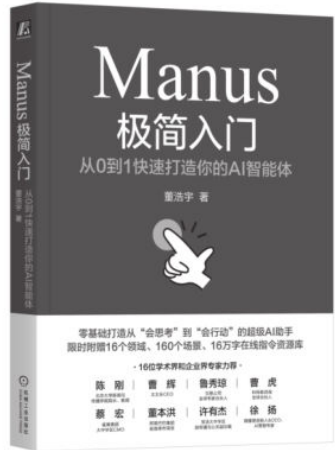
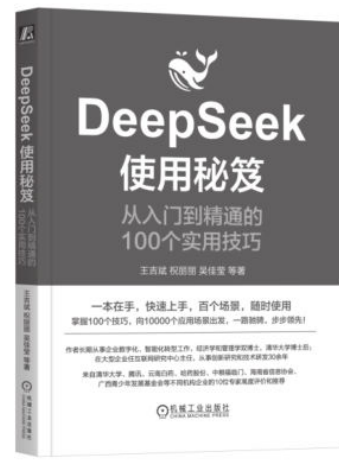
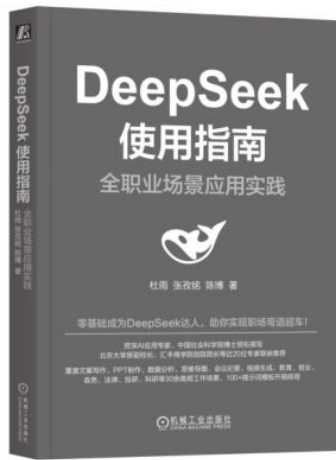
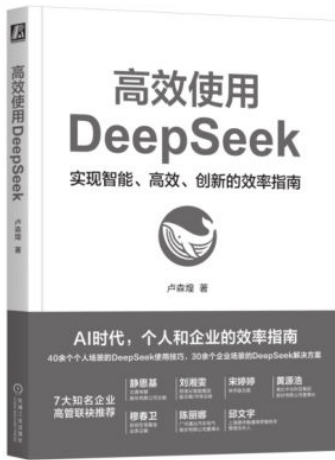
□ 具身智能训练师：训练师专注于智能体的“能力进化”，通过设计多模态训练方案、动态优化算法参数，提升智能体在非结构化场景下的任务执行效率与泛化能力。他们是具身智能从“实验室可用”迈向“真实场景好用”的关键推手。

此外，智能体交互设计师与具身智能数据分析师等职业也将同步崛起：前者聚焦人机/设备与设备交互界面的优化，破解“智能体如何更自然地理解人类指令”的命题；后者通过挖掘训练数据与运行日志，为模型迭代提供决策支撑，打通“数据反哺智能进化”的闭环。

这些职业不仅填补了具身智能产业链的人才缺口，还将推动社会分工向“智能系统协作管理”与“人机能力互补”深化，为未来产业升级提供关键智力引擎。

推荐阅读





| 作者简介 |



李昂

中国矿业大学机电工程专业博士、力学博士后，长三角国创中心青年研究员，先后担任西交利物浦等多所高校研究生导师，累计培养硕博研

究生 10 余人。深耕工程机械与人工智能交叉领域，是国内第一批建筑机器人研发从业者，始终坚持在传统行业探索技术创新的路上。

主持及参与国家级、省部级科研项目 10 余项，授权专利 30 余项，长期致力于推动人工智能与工程机械的深度融合与技术落地。先后出版了《机器学习数学基础：概率论与数理统计》《Tensorflow 与神经网络》两部著作，写作风格诙谐生动，擅用漫画、现实案例拆解专业知识，让硬核技术变得通俗易懂。



王庆先

徐州瑞斯克装备技术有限公司董事，高级工程师，长安大学、山东大学交通学院、淮安大学校外研究生导师。主持省部级项目十余项，累

计发表论文 30 余篇，授权专利 100 多项，主持修订国家标准 1 项，主持编团体标准 3 项。

张陈 长三角国创中心道路研究所总经理

这是一本颠覆认知的跨学科科普佳作，深入浅出地拆解具身智能的底层逻辑与分布式协作密码。无论你是科技爱好者、教育从业者，还是好奇读者，都能在其中刷新对智能的认知，窥见人类与机器共生的未来图景，沉浸式探索这份“身体与智能”的奇妙联结！

郭秉义 华南理工大学博士，加拿大不列颠哥伦比亚大学联合培养博士，上市公司智能化研发负责人

打破“智能仅存于大脑”的固有认知！本书带你看透具身智能“感知-行动”的底层逻辑，从分布式协同到人机共生趋势，既解析技术原理，又探讨伦理挑战，想把握AI下一站风口的人不容错过！

朱宁 微软资深科学家

不止讲理论，更重真应用！从柔性机器人、VR具身学习到太空探索、智慧医疗，本书把具身智能的核心技术拆解为可感知的生活场景，零基础也能看懂，是渴望解锁未来科技落地逻辑的读者的不二选择！

何晓琦 华中科技大学博士，北京大学博士后，福建商学院金融学院副教授

从蟑螂逃生的本能到章鱼触手的协同，从蜂群筑巢到蚁穴温控，这本书用海量自然案例解锁具身智能密码，让生物学、工程学与 AI 知识跨界碰撞，通俗解读“自然是最好的设计师”，科技迷必藏！

妙趣横生的具身智能



客服电话: (010) 88361066 88379833 68326294

上架指导: 计算机/人工智能

ISBN 978-7-111-80255-6



9 787111 802556 >

定价: 89.00元